



HAL
open science

**Cergy, département du Val d'Oise (95), ZAC des
Linandes 2, 3ème tranche [OA 109013]**

Jean-Gabriel Pariat, Caroline Touquet Laporte-Cassagne, Benjamin Bapst,
Sandrine Robert, Bruno Foucray

► **To cite this version:**

Jean-Gabriel Pariat, Caroline Touquet Laporte-Cassagne, Benjamin Bapst, Sandrine Robert, Bruno Foucray. Cergy, département du Val d'Oise (95), ZAC des Linandes 2, 3ème tranche [OA 109013]. OA 109013, SRA - Île-de-France; SDAVO. 2012, 158 p. hal-04532727

HAL Id: hal-04532727

<https://hal.science/hal-04532727v1>

Submitted on 4 Apr 2024

HAL is a multi-disciplinary open access archive for the deposit and dissemination of scientific research documents, whether they are published or not. The documents may come from teaching and research institutions in France or abroad, or from public or private research centers.

L'archive ouverte pluridisciplinaire **HAL**, est destinée au dépôt et à la diffusion de documents scientifiques de niveau recherche, publiés ou non, émanant des établissements d'enseignement et de recherche français ou étrangers, des laboratoires publics ou privés.



Distributed under a Creative Commons Attribution - NonCommercial - NoDerivatives 4.0
International License

Le Conseil général
soutient la recherche archéologique

Cergy

Département du Val d'Oise (95)

“ZAC des Linandes II” 3^e tranche

Rapport de diagnostic archéologique
du 05/09/2011 au 14/10/2011

Arrêté de prescription : 2011-424

Arrêté de désignation : 2011-500

Par
Jean-Gabriel Pariat

Avec la collaboration de
Caroline Touquet Laporte-Cassagne
Benjamin Bapst
Sandrine Robert
Bruno Foucray

Conseil général du Val d'Oise
Service départemental d'archéologie
Abbaye de Maubuisson
95310 Saint-Ouen-l'Aumône

DRAC
Service régional de l'archéologie d'Ile-de-France
47, rue Le Peletier
75009 Paris



-6000

-2200



-500



+100



+1914/18

Janvier 2012

Cergy

« ZAC des Linandes II », 3^e tranche

Département du Val d'Oise (95)

Rapport de diagnostic archéologique
du 05/09/11 au 14/10/11

Arrêté de prescription : 2011–424

N° INSEE de la commune : 95 127

Par Jean-Gabriel PARIAT

Avec la collaboration de

Caroline Touquet Laporte-Cassagne
Benjamin Bapst
Sandrine Robert
Bruno Foucray

Conseil Général du Val d'Oise
Service départemental d'archéologie
Abbaye de Maubuisson
95 310 Saint-Ouen-l'Aumône

DRAC
Service régional de l'archéologie d'Ile-de-France
47 rue Le Peletier
75 009 PARIS

Janvier 2012

Sommaire :

Fiche signalétique.....	4
Intervenants et moyens mis en œuvre.....	5
Mots clés des thesaurus.....	6
Tableau récapitulatif des résultats.....	7
Notice scientifique.....	8
Documents administratifs.....	9
Introduction.....	12
1 – Contexte géographique et géologique.....	12
2 – Contexte historique et archéologique.....	17
3 – Stratégies et méthodes mises en œuvre.....	18
4 – Traitement et archivage des données.....	19
5 – Les occupations archéologiques.....	21
5.1 – Le Néolithique.....	21
5.1.1 – Les matières premières.....	21
5.1.2 – Le débitage.....	23
5.1.3 – Typologie.....	24
5.1.4 – Attribution chrono-culturelle.....	25
5.1.5 – Bilan.....	26
5.2 – L'âge du Fer.....	26
5.2.1 – La batterie de silos sud-est.....	26
5.2.1.1 – Le silo F4.....	26
5.2.1.2 – Le silo F46.....	30
5.2.1.3 – Le silo F47.....	32
5.2.2 – La batterie de silos sud-ouest.....	35
5.2.2.1 – Le silo F33.....	35
5.2.2.2 – Le silo F34.....	36
5.2.2.3 – Le silo F52.....	40
5.2.2.4 – Les structures non fouillées.....	40
5.2.3 – Le mobilier céramique des structures protohistoriques.....	43
5.2.3.1 – Répartition du mobilier par structures.....	45
5.2.3.2 – Caractéristiques morphologiques et typologiques.....	45
5.2.3.3 – Comparaisons typologiques et chronologie.....	47
5.2.3.4 – Description des céramiques.....	49

5.2.4 – Synthèse et perspectives.....	54
5.2.4.1 – Chronologie.....	54
5.2.4.2 – Vers une approche spatiale et fonctionnelle.....	57
5.2.4.3 – Reconstituer un terroir à l'âge du Fer?.....	57
5.3 – L'Antiquité.....	57
5.3.1 – L'enclos.....	57
5.3.2 – La structure 16.....	64
5.3.3 – Un bâtiment.....	66
5.3.4 – Un ferrier.....	70
5.3.5 – Les autres structures.....	74
5.3.6 – Synthèse et perspectives.....	76
5.4 – L'époque moderne.....	77
5.4.1 – État des connaissances avant le diagnostic.....	77
5.4.2 – Le diagnostic de 2011.....	77
5.4.3 – Apport du diagnostic de 2011.....	77
5.5 – L'époque contemporaine.....	78
5.5.1 – La fosse F42.....	78
5.5.2 – La tranchée d'infanterie de la Première Guerre Mondiale.....	79
5.5.2.1 – État des connaissances avant l'opération.....	79
5.5.2.2 – La tranchée d'infanterie explorée en 2011.....	79
5.5.2.3 – Une connaissance qui s'enrichit.....	81
Conclusion générale.....	82
Bibliographie.....	83
Liste des figures.....	86
Annexe 1 – Étude archéo-géographique.....	89
Annexe 2 – Catalogue des structures non datées.....	105
Annexe 3 – Fiche d'identification numismatique.....	115
Annexe 4 – Inventaire des prélèvements.....	117
Annexe 5 – Inventaire des structures et des logs.....	121
Annexe 6 – Inventaire du mobilier.....	137
Annexe 7 – Inventaire des photographies.....	147

FICHE SIGNALÉTIQUE

Région : Île-de-France

Département : Val d'Oise (95)

Commune : Cergy

Code INSEE : 95 127

Lieu-dit ou adresse : ZAC des Linandes

Cadastre : parcelles n° ZC 89-90, 266-268-270-272-274-276-282-320pp-284pp-108, 291 à 293 du cadastre

Coord. Lambert 93 :

X : 630 661,915

Y : 6 883 731,582

Altitude : 96 m NGF

Propriétaire des terrains : Communauté d'agglomération de Cergy-Pontoise

Arrêté de prescription n° : 2011-424 en date du 17/06/2011

Arrêté de désignation n° : 2011-500 en date du 26/07/2011

Responsable désigné : Jean-Gabriel PARIAT

Organisme de rattachement : Conseil Général du Val d'Oise

Maître d'ouvrage des travaux : Cergy-Pontoise Aménagement

Nature de l'aménagement : Construction d'un éco-quartier

Opérateur chargé des travaux : Service départemental d'archéologie du Val d'Oise (SDAVO)

Surface du projet d'aménagement : 134 000 m²

Dates d'intervention sur le terrain : 5 septembre au 14 octobre 2011

Surface diagnostiquée : 12 219 m² % de la surface sondée : 9,1 %

Résultats

Problématique de recherche et principaux résultats :

Préalablement à l'aménagement d'un écoquartier, un diagnostic archéologique a été prescrit par les services de l'État au lieu-dit «ZAC des Linandes» sur la commune de Cergy (Val d'Oise – 95).

L'attention des services de l'État a été alertée en particulier par la présence avérée de nombreux vestiges archéologiques dans cette zone, parmi lesquels une ferme gauloise fouillée en 2008 ou bien encore une voirie médiévale explorée en 2010.

Résultats : Le diagnostic conduit en 2011 a révélé différents vestiges témoignant d'une fréquentation de la zone à différentes époques. On notera notamment la mise en évidence d'une occupation de la fin du 1^{er} âge du Fer, période méconnue en Val d'Oise, ainsi qu'un ensemble de structures du Haut-Empire.

Lieu de dépôt temporaire du matériel archéologique :

SDAVO – Abbaye de Maubuisson – 95310 Saint-Ouen-l'Aumône

INTERVENANTS ET MOYENS MIS EN ŒUVRE

Intervenants scientifiques :

SRA: Dorothee Chaoui-Derieux Conservateurs en charge du dossier
SDAVO: Jean-Gabriel Pariat Responsable scientifique

Intervenants administratifs :

DRAC Ile-de-France, SRA: Bruno Foucray Conservateur régional de l'archéologie
SDAVO: Patrice Rodriguez Chef de service
Bernard Poirier Responsable archéologie préventive
CPA: Hélène Chouf Chargé de projet

Aménageur : Communauté d'Agglomération de Cergy-Pontoise (CACP)

Financement : Redevance

Terrain :

Préparation : Jean-Gabriel Pariat, Sandrine Robert, Bernard Poirier

Terrain : Jean-Gabriel Pariat, Anaïs Lebrun, Benjamin Bapst, Céline Gillain, Jérôme Féru,
Christian Kappès

Topographie : Jean Gabriel Pariat

Post-fouille :

Lavage et tamisage du mobilier : Jean-Gabriel Pariat, Anaïs Lebrun, Benjamin Bapst,
Christian Kappès, Pierre Mousnier

Restauration : Florence Dussère

Mise au propre des plans et coupes, DAO : Anaïs Lebrun, Jean-Gabriel Pariat

Bases de données : Benjamin Bapst, Anaïs Lebrun, Jean Cumin, Jean-Gabriel Pariat

Mise en forme rapport : Jean Cumin

Collaborations :

Contexte historique, archéogéographie :	Sandrine Robert	SDAVO
Expertise céramique : gauloise	Caroline Touquet Laporte-Cassagne	SDAVO
antique	Didider Vermeersch	UCP
Expertise lithique :	Benjamin Bapst	CDD SDAVO
Expertise métal :	Aurélien Lefeuvre	SDAVO
Numismatique :	Bruno Foucray	SRA

Intervenants techniques :

Terrassement mécanique : 1 pelleteuse hydraulique de 22 tonnes sur chenilles, avec godet de curage de 2 m.
Conducteur : Benjamin Moy (Société Beaussire)

MOTS CLÉS DES THESAURUS

Chronologie :

<input type="checkbox"/>	Paléolithique
<input type="checkbox"/>	inférieur
<input type="checkbox"/>	moyen
<input type="checkbox"/>	supérieur
<input type="checkbox"/>	Mésolithique et Épipaléolithique
<input checked="" type="checkbox"/>	Néolithique
<input type="checkbox"/>	ancien
<input type="checkbox"/>	moyen
<input type="checkbox"/>	récent
<input type="checkbox"/>	Chalcolithique
<input type="checkbox"/>	Protohistoire
<input type="checkbox"/>	Âge du Bronze
<input type="checkbox"/>	ancien
<input type="checkbox"/>	moyen
<input type="checkbox"/>	récent
<input checked="" type="checkbox"/>	Âge du Fer
<input checked="" type="checkbox"/>	Halstatt (premier âge du Fer)
<input checked="" type="checkbox"/>	La Tène (second âge du Fer)

<input checked="" type="checkbox"/>	Antiquité romaine (gallo-romain)
<input type="checkbox"/>	République romaine
<input checked="" type="checkbox"/>	Empire romain
<input checked="" type="checkbox"/>	Haut-Empire (jusqu' en 284)
<input type="checkbox"/>	Bas-Empire (de 285 à 476)
<input type="checkbox"/>	Époque médiévale
<input type="checkbox"/>	haut Moyen Âge
<input type="checkbox"/>	Moyen Âge
<input type="checkbox"/>	bas Moyen Âge
<input checked="" type="checkbox"/>	Temps modernes
<input checked="" type="checkbox"/>	Époque contemporaine
<input type="checkbox"/>	Ère industrielle

Sujets et thèmes :

<input type="checkbox"/>	Édifice public
<input type="checkbox"/>	Édifice religieux
<input checked="" type="checkbox"/>	Édifice militaire
<input type="checkbox"/>	Bâtiment
<input type="checkbox"/>	Structure funéraire
<input checked="" type="checkbox"/>	Voirie
<input type="checkbox"/>	Hydraulique
<input checked="" type="checkbox"/>	Habitat rural
<input type="checkbox"/>	Villa
<input checked="" type="checkbox"/>	Bâtiment agricole
<input type="checkbox"/>	Structure agraire
<input type="checkbox"/>	Urbanisme
<input type="checkbox"/>	Maison
<input type="checkbox"/>	Structure urbaine
<input type="checkbox"/>	Foyer
<input checked="" type="checkbox"/>	Fosse
<input type="checkbox"/>	Sépulture
<input type="checkbox"/>	Grotte
<input type="checkbox"/>	Abri
<input type="checkbox"/>	Mégalithe

<input type="checkbox"/>	Artisanat alimentaire
<input type="checkbox"/>	Argile : atelier
<input type="checkbox"/>	Atelier métallurgique
<input checked="" type="checkbox"/>	Artisanat
<input type="checkbox"/>	Autre

Nb	Mobilier
<input checked="" type="checkbox"/>	362 Industrie lithique
<input type="checkbox"/>	Industrie osseuse
<input checked="" type="checkbox"/>	973 Céramique
<input type="checkbox"/>	Restes végétaux
<input checked="" type="checkbox"/>	625 Faune
<input type="checkbox"/>	Flore
<input checked="" type="checkbox"/>	507 Objet métallique
<input type="checkbox"/>	Arme
<input checked="" type="checkbox"/>	Outil
<input type="checkbox"/>	Parure
<input type="checkbox"/>	Habillement
<input type="checkbox"/>	Trésor
<input checked="" type="checkbox"/>	1 Monnaie
<input checked="" type="checkbox"/>	1 Verre
<input type="checkbox"/>	Mosaïque
<input type="checkbox"/>	Peinture
<input type="checkbox"/>	Sculpture
<input type="checkbox"/>	Inscription
<input type="checkbox"/>	Autre

Études annexes	
<input type="checkbox"/>	Géologie
<input type="checkbox"/>	Datation
<input type="checkbox"/>	Anthropologie
<input type="checkbox"/>	Paléontologie
<input type="checkbox"/>	Zoologie
<input type="checkbox"/>	Botanique
<input type="checkbox"/>	Palynologie
<input type="checkbox"/>	Macrorestes
<input checked="" type="checkbox"/>	An. de céramique
<input type="checkbox"/>	An. de métaux
<input type="checkbox"/>	Acq. des données
<input checked="" type="checkbox"/>	Numismatique
<input type="checkbox"/>	Conservation
<input checked="" type="checkbox"/>	Restauration
<input type="checkbox"/>	Autre

TABLEAU RÉCAPITULATIF DES RÉSULTATS

Chronologie	Structures	Mobilier	Interprétation
<i>Néolithique</i>	<i>Néant</i>	<i>Éclats</i> <i>Hache polie</i> <i>Armature</i>	<i>Habitat ?</i>
<i>Premier âge du Fer</i>	<i>10 silos</i>	<i>Céramique</i> <i>Os animal</i> <i>Métal</i> <i>Torchis</i> <i>Matériel de mouture</i>	<i>Habitat</i>
<i>Antiquité</i> <i>Haut-Empire</i>	<i>1 enclos</i> <i>1 ferrier</i> <i>1 bâtiment</i> <i>1 fosse</i> <i>1 fossé</i>	<i>Céramique</i> <i>Os animal</i> <i>Métal</i> <i>Terre cuite</i> <i>architecturale</i> <i>Matériel de mouture</i> <i>Scories</i>	<i>Habitat, artisanat</i>
<i>Moderne</i>	<i>1 chemin</i>	<i>Céramique</i>	<i>Circulation</i>
<i>Contemporain</i>	<i>1 tranchée</i> <i>d'infanterie</i>	<i>Métal</i> <i>Verre</i> <i>Céramique</i>	<i>Conflit récent</i>

NOTICE SCIENTIFIQUE

Notice scientifique résumant les principaux résultats de l'opération

Une troisième tranche de diagnostic a été réalisée dans la plaine des Linandes à Cergy, préalablement à un aménagement de la Communauté d'Agglomération de Cergy-Pontoise.

Dans un contexte archéologique déjà riche si l'on en juge par les opérations passées, la campagne de l'automne 2011 a livré de multiples témoins d'occupation.

Bien qu'hors contexte, les vestiges néolithiques sont relativement nombreux et apparaissent régulièrement dans des poches de limon sableux. La transition entre le 1^{er} âge du Fer et le 2nd âge du Fer est caractérisée par deux batteries de silos distantes de 300 m. L'Antiquité, plus particulièrement le Haut-Empire, est représentée au travers d'un petit enclos sans doute à vocation agricole et artisanale. Enfin, les époques moderne et contemporaine sont respectivement caractérisées par une voie et une tranchée d'infanterie de la Première Guerre Mondiale.

Ce diagnostic, riche, contribue à compléter notre connaissance de l'occupation du sol dans la plaine des Linandes au cours du temps. Il soulève de nombreuses questions afférentes notamment aux mécanismes de transition entre le 1^{er} âge du Fer et le 2nd âge du Fer, ou bien encore à l'artisanat de la métallurgie dans l'Antiquité.



Liberté • Égalité • Fraternité
RÉPUBLIQUE FRANÇAISE

PRÉFET DE LA RÉGION D'ILE-DE-FRANCE

Direction régionale
des affaires culturelles d'Ile-de-France

Affaire suivie par : Dorothee CHAOUI-DERIEUX
Service régional de l'archéologie
Fax : 01 56 06 51 80
Mél : dorothee.derieux@culture.fr
BF/DCD/ [2011-1701] 2011 n° 3198
Votre dossier réf.: CT/HC/2011-625

Arrêté n° : 2011-424



Le Préfet de la région d'Ile-de-France

VU le code du patrimoine, livre V ;

VU le décret n° 2004-490 du 3 juin 2004 relatif aux procédures administratives et financières en matière d'archéologie préventive ;

VU le dossier adressé en date du 11/04/2010, référence CT/HC/2011-625, concernant des terrains situés à 95000 Cergy-Pontoise, ZAC de la Plaine des Linandes II - 3e tranche de diagnostic archéologique, par GERGY-PONTOISE AMENAGEMENT permettant d'établir les emprises du projet et de calculer les superficies soumises à diagnostic ; reçu à la Direction régionale des affaires culturelles - service régional de l'archéologie le 19/04/2011 ;

VU l'arrêté de prescription de diagnostic n° 2011-337 en date du 09/05/2011 comportant des mentions erronées sur la surface à diagnostiquer;

CONSIDERANT que, en raison de leur nature et de leur localisation, les travaux envisagés sont susceptibles d'affecter des éléments du patrimoine archéologique (abords sud du site gaulois et gallo-romain fouillé récemment) ;

CONSIDERANT qu'il est nécessaire de mettre en évidence et de caractériser la nature, l'étendue et le degré de conservation des vestiges archéologiques éventuellement présents afin de déterminer le type de mesures dont ils doivent faire l'objet ;

Le présent arrêté annule et remplace l'arrêté n° 2011-337 en date du 09/05/2011 ;

ARRETE

Article 1er : Un diagnostic archéologique sera réalisé sur le terrain faisant l'objet des aménagements, ouvrages ou travaux susvisés, sis en :

région : Ile-de-France

département : Val-D'Oise

commune : Cergy-Pontoise

adresse : ZAC de la Plaine des Linandes II - 3e tranche de diagnostic archéologique

cadastre : Section ZC - parc. 89-90 266- 268-270- 272- 274- 276- 282 -320 pp- 284 pp- - 108, 291 à 293

propriétaire : Etablissement Public Foncier du Val d'Oise et Communauté d'Agglomération de Cergy-Pontoise

Le diagnostic archéologique comprend, outre une phase d'exploration du terrain, une phase d'étude qui s'achève par la remise du rapport sur les résultats obtenus.

Article 2 : Le diagnostic sera réalisé sous la maîtrise d'ouvrage de l'Institut National de Recherches Archéologiques Préventives ou du service archéologique de collectivité territorialement compétent, agréé au titre de l'article L. 522-8 du code du patrimoine (Conseil général du Val-d'Oise - Service départemental d'archéologie du Val-d'Oise). Les conditions de sa réalisation seront fixées contractuellement en application des articles 28 et 29 du décret n° 2004-490 susvisé. Le demandeur devra s'assurer que les terrains sont en état d'être diagnostiqués. Entre autre, il devra avoir préalablement réglé les questions d'accessibilité et de sécurité et obtenu les autorisations du ou des propriétaires et ayant-droits. Il sera exécuté conformément au projet d'opération élaboré par le maître d'ouvrage désigné pour réaliser le diagnostic archéologique sur la base des prescriptions suivantes :

Objectifs : mise en évidence de la présence ou de l'absence de vestiges archéologiques. Dans l'éventualité de présence de vestiges, l'opération devra caractériser lesdits vestiges : état de conservation, profondeur d'enfouissement, épaisseur des niveaux archéologiques, densité, attribution chronologique, surface concernée.

Principes méthodologiques : réalisation de tranchées d'évaluation ou de sondages ponctuels, adaptés à la morphologie et à la topographie du terrain, avec élargissements localisés autour des vestiges structurés. La surface ouverte en sondage doit être au minimum égale à 10 % de l'emprise du projet. Un quart des structures mises au jour doit être testé au minimum. Préalablement au démarrage sur le terrain de l'opération de diagnostic, le responsable scientifique désigné prendra contact avec l'agent du Service régional de l'archéologie chargé du suivi de cette opération, afin d'établir un premier bilan de la documentation existante sur l'environnement géologique, historique et archéologique.

Qualification du responsable scientifique : archéologue habitué à sonder de vastes surfaces

Article 3 : Le diagnostic portera sur une emprise de 134000 m² conformément au plan joint (voir carte donnée par C.P.A.).

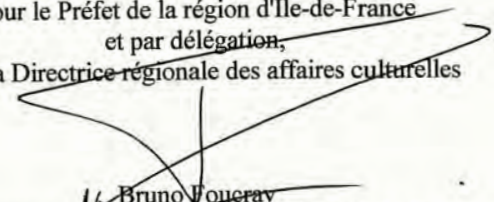
Article 4 : Le service régional de l'archéologie adressera l'inventaire, transmis par l'Institut National de Recherches Archéologiques Préventives ou le service archéologique de collectivité territorialement compétent, agréé au titre de l'article L. 522-8 du code du patrimoine, des vestiges archéologiques mobiliers recueillis au cours de l'opération de diagnostic à la personne physique ou morale propriétaire du terrain à la date de début de l'intervention archéologique et l'informerá de ses droits.

Le mobilier archéologique ne pourra cependant donner effectivement lieu au partage, prévu par l'article L. 531-11 du code du patrimoine susvisé, qu'au terme de son étude scientifique et après remise du rapport d'opération au service régional de l'archéologie, laquelle remise intervient après l'achèvement de la phase terrain du diagnostic. La propriété du mobilier archéologique est fixée, après les délais légaux d'étude et de revendication, par l'article L. 523-14 du code du patrimoine.

Article 5 : La Directrice régionale des affaires culturelles est chargée de l'exécution du présent arrêté, qui sera notifié à GERGY-PONTOISE AMENAGEMENT et au(x) maître(s) d'ouvrage nommé(s) à l'article 2 du présent arrêté.

Paris, le 17/06/2011

Pour le Préfet de la région d'Ile-de-France
et par délégation,
pour la Directrice régionale des affaires culturelles


Bruno Voueray
Conservateur régional de l'archéologie d'Ile-de-France

Original : INRAP Direction Centre/Ile-de-France - 31, rue Delizy - 93698 Pantin cedex

Service archéologique de collectivité agréé (Conseil général du Val-d'Oise - Service départemental d'archéologie du Val-d'Oise - Abbaye de Maubuisson - 95310 Saint-Ouen-l'Aumône)

Copies : GERGY-PONTOISE AMENAGEMENT - à l'attention de Madame Hélène CHOUF - Immeuble le Verger - Rue de la Gare - 95000 Cergy-Pontoise -



Liberté • Égalité • Fraternité
RÉPUBLIQUE FRANÇAISE

PRÉFET DE LA RÉGION D'ILE-DE-FRANCE

Direction régionale
des affaires culturelles d'Ile-de-France

Affaire suivie par : Dorothée CHAOUI-DERIEUX
Service régional de l'archéologie
Tél : 01 56 06 51 80
Fax : 01 56 06 52 01
Mél : dorothee.derieux@culture.fr
BF/DCD/ [2011-1701] 2011 n° 3902
Votre dossier réf.: CT/HC/2011-625

Arrêté n°:2011-500

Le Préfet de la région d'Ile-de-France

VU le code du patrimoine, livre V ;

VU les décrets n° 2011-573 et 2011-574 du 24 mai 2011 relatifs à la partie réglementaire du code du patrimoine, notamment les articles R 522-1 et R 523-22 ;

Vu l'arrêté n° 2011-424 en date du 17/06/2011 portant prescription de diagnostic archéologique sur le terrain situé : ZAC de la Plaine des Linandes II - 3e tranche de diagnostic archéologique à Cergy-Pontoise ;

CONSIDERANT que, en raison de leur nature et de leur localisation, les travaux envisagés sont susceptibles d'affecter des éléments du patrimoine archéologique et qu'une opération de diagnostic doit être mise en place ;

ARRETE

Article 1 : L'opération sera réalisée sous la maîtrise d'ouvrage du Conseil général du Val-d'Oise - Service départemental d'archéologie du Val-d'Oise. Les conditions de sa réalisation sont fixées par convention.

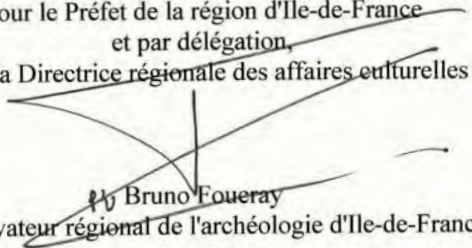
Article 2 : Monsieur Jean-Gabriel Pariat est désigné(e) comme responsable scientifique du diagnostic.

Article 3 : La Directrice régionale des affaires culturelles est chargée de l'exécution du présent arrêté, qui sera notifié au Conseil général du Val-d'Oise - Service départemental d'archéologie du Val-d'Oise.

Paris, le 26/07/2011

Pour le Préfet de la région d'Ile-de-France
et par délégation,

pour la Directrice régionale des affaires culturelles


Bruno Foueray

Conservateur régional de l'archéologie d'Ile-de-France

Original : Intéressé
Copies : Maître d'ouvrage et Opérateur
Préfecture de département
Gendarmerie
Mairie de Cergy-Pontoise

Introduction

Le Service départemental d'archéologie du Val d'Oise (SDAVO) a effectué un diagnostic archéologique entre le 5 septembre et le 14 octobre 2011 sur des parcelles appartenant à la Communauté d'Agglomération de Cergy-Pontoise (CACP), au lieu-dit «ZAC des Linandes» à Cergy (95), préalablement à l'aménagement d'une zone pavillonnaire.

L'emprise des terrains à diagnostiquer, de 13,4 ha, est bordée au nord par l'avenue de la Paix, au sud par le boulevard de l'Oise, à l'ouest par une zone pavillonnaire et à l'est par des lignes haute tension.

Il s'agit ici de la troisième tranche de diagnostic affectant la plaine des Linandes¹.

L'opération de terrain a mobilisé à plein temps trois archéologues du SDAVO : Jean-Gabriel Pariat (responsable d'opération), Anaïs Lebrun (contractuelle) et Benjamin Bapst (contractuel). Face à la richesse des vestiges exhumés, cette équipe de base s'est ponctuellement renforcée d'étudiants et de bénévoles : Céline Gillain (Master 1 à l'Université de Cergy-Pontoise), Jérôme Féru (Master 1 à l'Université de Paris 1) et Christian Kappès (bénévole).

Les travaux de laboratoire ont été menés en collaboration avec plusieurs spécialistes rattachés à diverses institutions : Benjamain Bapst (SDAVO, industrie lithique néolithique), Florence Dussère (SDAVO, restauration), Bruno Foucray (SRAIF, numismatique), Aurélien Lefeuvre (SDAVO, métallurgie), Caroline Touquet Laporte-Cassagne (SDAVO, céramique protohistorique) et Didier Vermeersch (Université de Cergy-Pontoise, céramique antique).

1 – Contexte géographique et géologique

La ville de Cergy se situe à 30 km au nord-ouest de Paris, en rive droite de l'Oise (fig. 1, fig. 4). Les parcelles soumises au diagnostic, qui occupent un plateau légèrement vallonné, se situent au sud des emprises diagnostiquées ou fouillées entre 2007 et 2010, immédiatement en bordure sud du boulevard de la Paix. Le point culminant du site se situe à 96 m NGF. Globalement, les parcelles s'inscrivent sur une ligne de crête arrondie qui s'abaisse sensiblement d'ouest en est de Puiseux-Pontoise (100 m NGF) vers Cergy (60 m NGF).

Cette croupe est marquée dès son sommet par des amorces de thalwegs, sous forme de douces combes qui plongent en se creusant vers les vallées proches de la Viosne au nord (fond de vallée à 30 m NGF) et de l'Oise au sud (fond du méandre à 22 m NGF).

Cinq logs ont été répartis sur l'ensemble de l'emprise de fouille. Ils permettent d'observer l'érosion du site.

Le log n° 1, dans la tranchée 2, se situe en bas de pente dans la partie sud-est de l'emprise à 89,98 m NGF (fig. 2). Ce sondage réalisé sur 1,10 m de large atteint 1,36 m de profondeur (fig. 3). La couche supérieure, de terre végétale, avoisine 40 cm d'épaisseur. Elle recouvre un limon grossier brun gris, peu compact et hétérogène de 10 cm d'épaisseur recelant des vestiges lithiques épars. Sous celle-ci, une couche limoneuse grossière brun orangé, compacte et hétérogène a été reconnue sur 70 cm d'épaisseur. Enfin un limon fin jaune clair, peu compact, et homogène s'étendait sur les trente derniers centimètres.

Le log n° 2 se trouve vers le sommet du plateau, dans la partie centrale de l'emprise à 93 m NGF. Pratiquées sur 1 m de large, les investigations ont été menées jusqu'à 2,50 m de profondeur. À cet endroit, la terre végétale est épaisse de 16 cm. Elle recouvre un limon grossier brun-gris, peu compact et hétérogène, de 22 cm d'épaisseur. La couche sous-jacente, épaisse de 34 cm, est un limon grossier brun-orangé foncé, compact

1 Pariat 2007, Pariat 2010, Lefeuvre 2010a.

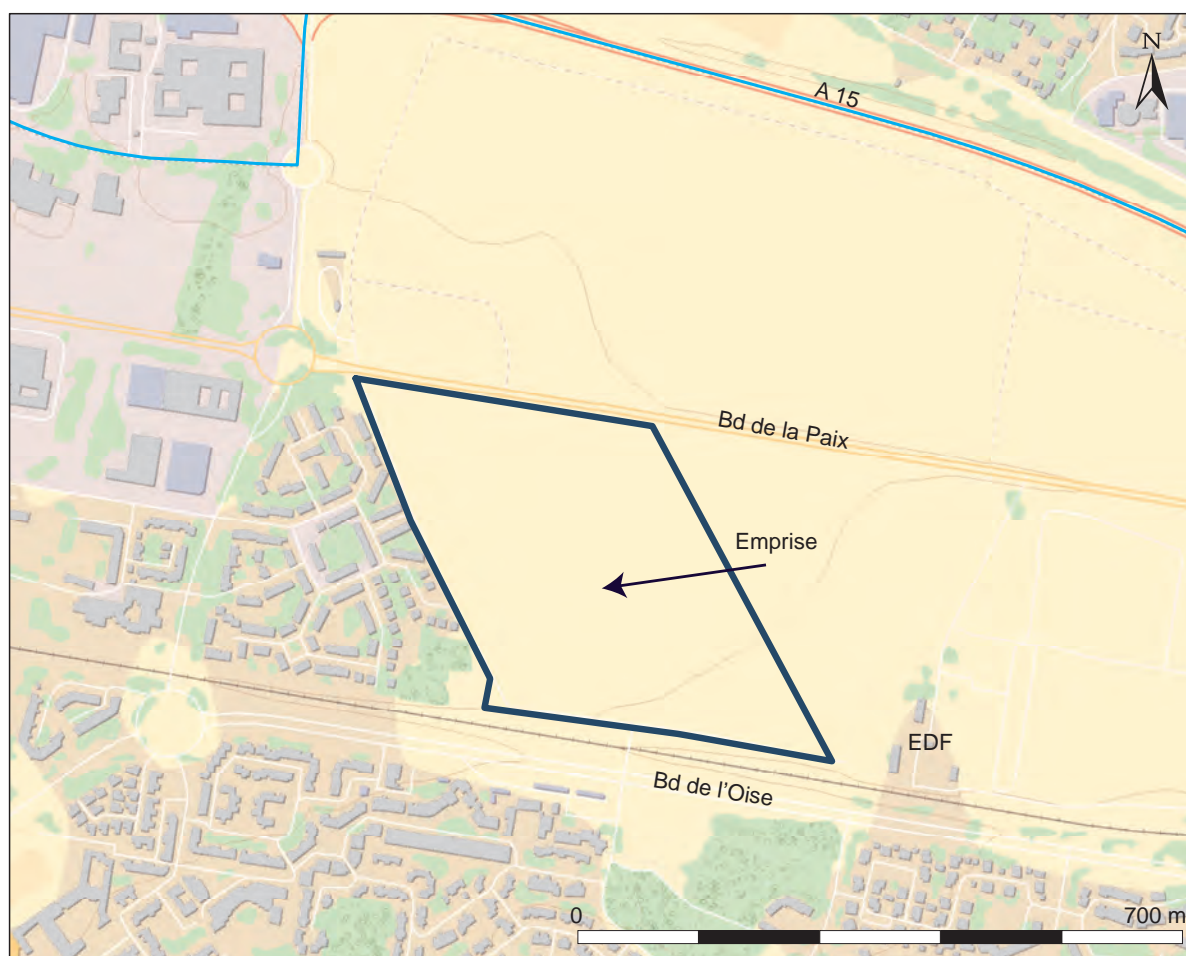


Fig. 1 : Plan de localisation du site (DAO : J.-G. Pariat).



Fig. 2 : Localisation des logs pratiqués dans l'emprise du site (DAO : J.-G. Pariat).

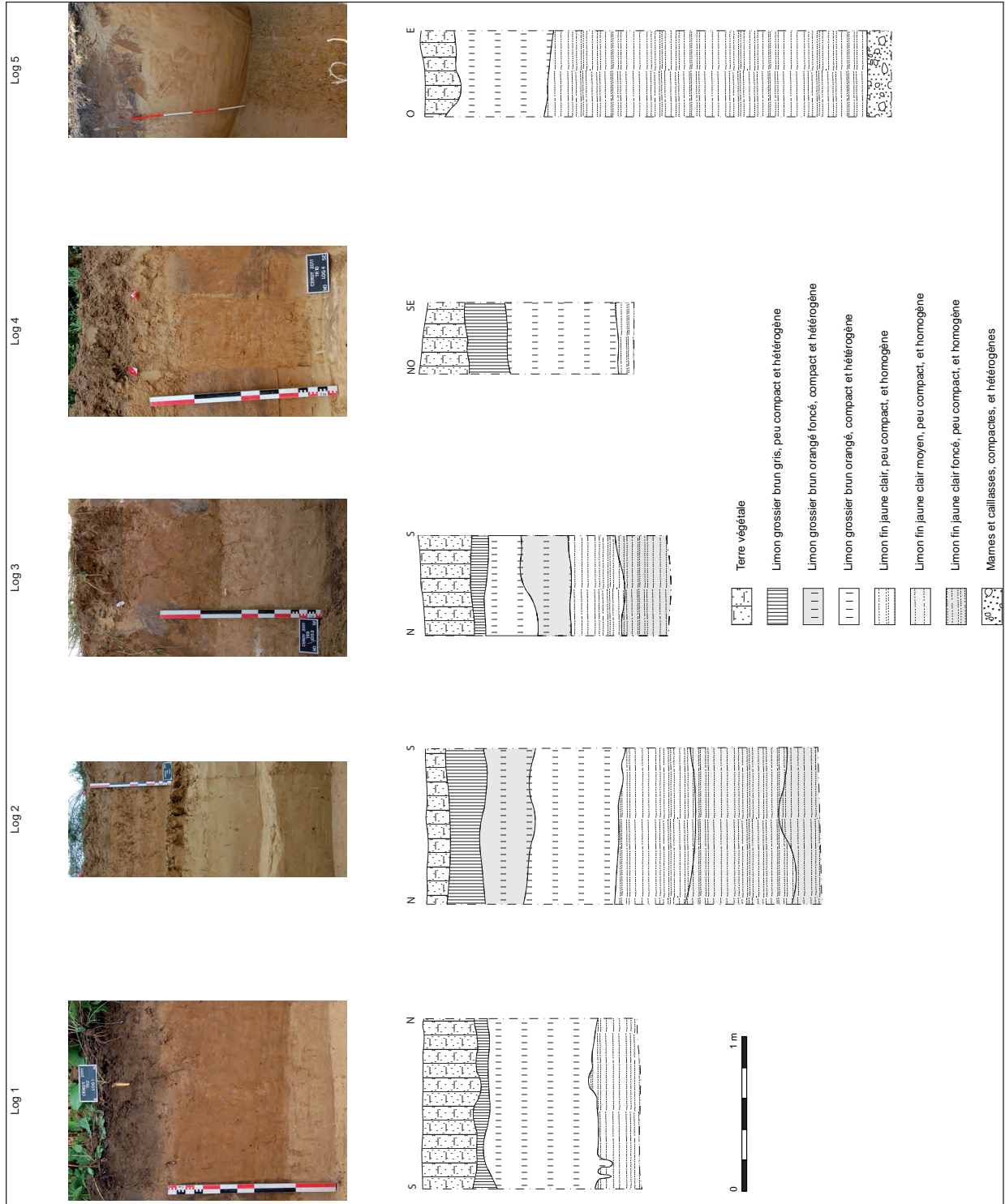


Fig. 3 : Les cinq logs (Clichés : A. Lebrun, J.-G. Pariat, DAO : A. Lebrun).

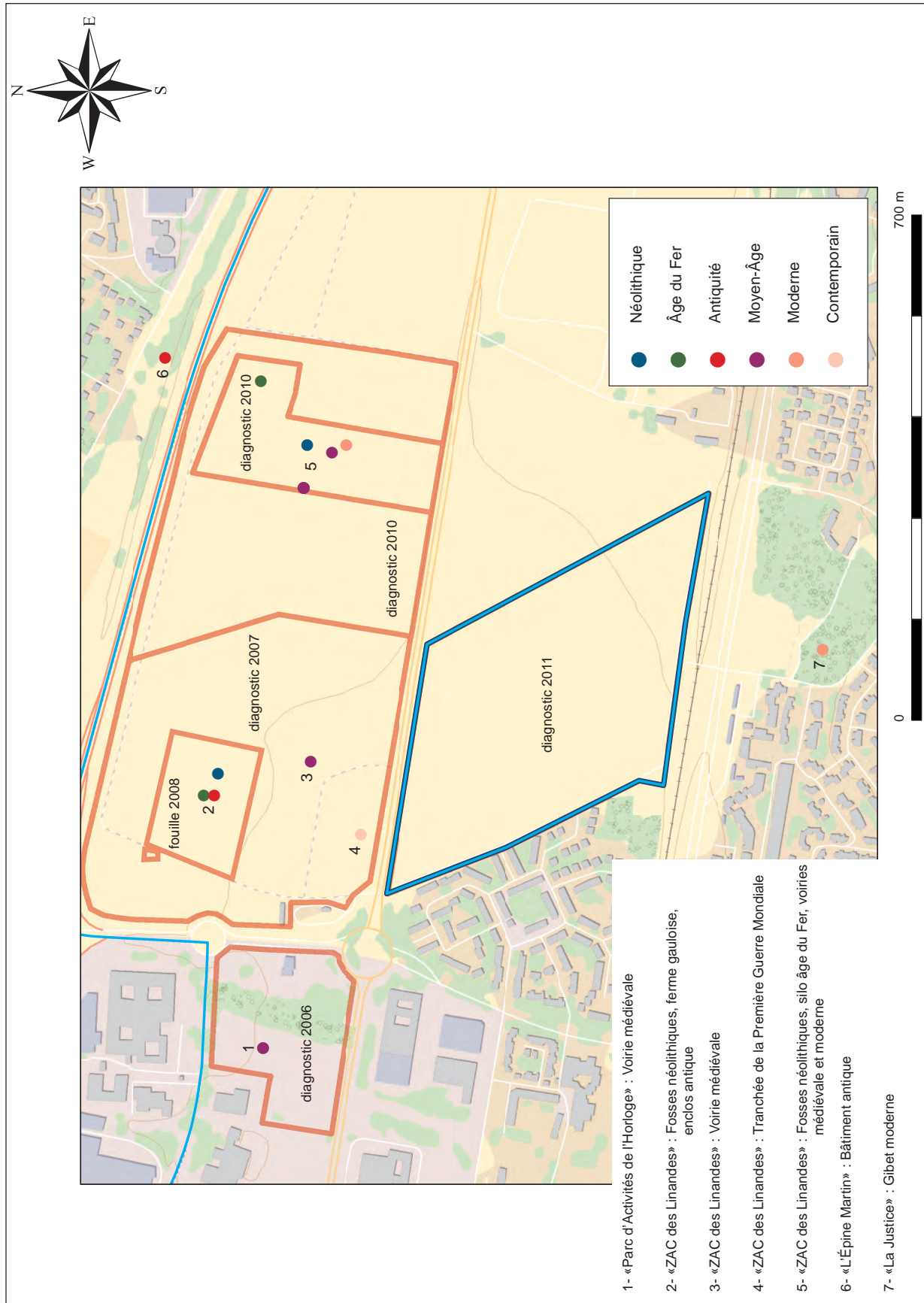


Fig. 4 : Sites archéologiques identifiés dans un rayon de 1 km autour de l'emprise du diagnostic (DAO : J.-G. Pariat).

et hétérogène. Elle laisse ensuite place à une couche de limon grossier brun-orangé, compact et hétérogène, de 54 cm d'épaisseur. Puis, trois couches de limon fin jaune clair, peu compactes et homogènes, ont été distinguées sur une épaisseur de 1,24 m.

Le log n° 3 se situe dans la tranchée 8, à mi-pente, dans la partie sud-ouest de l'emprise à 92,73 m NGF. Les observations ont été réalisées à partir d'un sondage de 0,60 m de large par 1,60 m de profondeur. La terre végétale, d'une épaisseur de 40 cm, laisse place à une couche de limon grossier brun gris, peu compacte et hétérogène de 10 cm d'épaisseur. Sur les 50 cm suivant, on retrouve, comme dans le cas du log 2, deux couches limoneuses grossières brun orangé compactes et hétérogènes. Puis, vers 90 cm de profondeur, se succèdent deux horizons de limon fin jaune clair homogène et peu compact.

Le log n° 4 se situe en limite d'emprise, dans la tranchée 10, au nord est à 92,64 m NGF. Il a été ouvert sur une largeur de 0,46 m et sur une profondeur de 1,38 m. La terre végétale est épaisse de 30 cm. Elle laisse place à un limon grossier gris clair hétérogène de 22 cm d'épaisseur. Puis on retrouve un limon grossier brun orangé, compact et hétérogène sur 74 cm d'épaisseur. *In fine*, apparaît un limon fin jaune clair, peu compact et homogène d'environ 10 cm.

Le log n° 5 se situe dans la tranchée 14 vers l'ouest à 96,19 m NGF. Il a été ouvert sur une largeur de 0,48 m et sur une profondeur de 3 m. La terre végétale est épaisse de 30 cm. Elle recouvre une couche de limon grossier brun-orangé compact et hétérogène, de 60 cm d'épaisseur. La couche sous-jacente correspond à un limon fin jaune clair, peu compact, et homogène conservé sur 2 m d'épaisseur. Enfin, une couche de marnes et caillasses, compacte et hétérogène, apparaît à 2,80 m de profondeur environ.

Pour conclure, les cinq logs pratiqués sur l'emprise du diagnostic renseignent utilement l'état de conservation du site. La partie sud-ouest de la plaine semble plus érodée, la couche de limon fin jaune clair apparaissant à 0,50 m sous la surface seulement. La partie nord du plateau est, semble-t-il, plus faiblement érodée si l'on s'en

tient à l'apparence des logs 4 et 5 où le limon fin jaune clair apparaît au minimum à 0,90 m de profondeur.

2 – Contexte historique et archéologique

La plaine des Linandes fait l'objet d'une urbanisation croissante depuis 2006. Les opérations archéologiques qui ont accompagné cette évolution ont renouvelé l'image de l'occupation de ce territoire au cours du temps (fig. 4).

Dans un rayon de 1 km autour de l'emprise diagnostiquée, les vestiges néolithiques sont rares et dispersés. Outre un probable menhir, les témoins d'occupation renvoient au Néolithique moyen et au Néolithique récent / final. En 2008, une fouille a révélé trois fosses attribuées à ces deux périodes². En 2010, c'est lors d'un diagnostic que fut mis en évidence un segment de fossé juxté par une fosse du Néolithique final³.

La Protohistoire est exclusivement représentée par des vestiges du Second âge du Fer. En 2006, un diagnostic archéologique réalisé au Parc d'Activités de l'Horloge a livré quelques tessons protohistoriques roulés, hors de tout contexte archéologique⁴. Plus récemment, en 2007 et 2008, les opérations des Linandes ont révélé un double enclos gaulois associé à des structures renvoyant aux sphères domestique et funéraire. Cette occupation témoigne de la présence d'une petite élite rurale gauloise sur ces terres vers la fin du second siècle avant notre ère⁵.

Pour l'Antiquité, les vestiges connus renvoient soit à des découvertes anciennes, soit à des occupations fortement érodées. Ainsi, des poteries gallo-romaines sont signalées au lieu-dit «Le Parquet» au XIX^e s.. Près du cimetière actuel, au «Grand Plant», une nécropole recelait du mobilier attribué au Bas-Empire⁶. Au début des années 1980, les travaux de l'autoroute A15 au

2 Pariat 2009.

3 Pariat 2010.

4 Rosenberger 2006.

5 Pariat *et al.* sous presse.

6 Collin, Toussaint 1998.

lieu-dit «l'Épine Martin» ont livré des vestiges d'un bâtiment des II^e et III^e s. ap. J.-C. En 2008, lors de la fouille des Linandes, un établissement rural du I^{er} s. ap. J.-C., caractérisé par un enclos à caractère agricole, a été mis au jour⁷. En 2010, un diagnostic a révélé un fossé et une fosse recelant des vestiges de la fin du Haut-Empire parmi lesquels une intaille, objet peu commun⁸. Enfin, signalons la présence d'un axe de circulation structurant du territoire, la Chaussée Jules César déjà largement étudiée⁹.

L'époque médiévale est attestée au lieu-dit «Le Parquet» où du mobilier mérovingien est issu d'une nécropole¹⁰. En 2007, le diagnostic de la plaine des Linandes a révélé la présence d'une voie médiévale très érodée correspondant au «Vieux Chemin de Rouen». Ce même axe fut également repéré en 2006, mais non identifié comme appartenant à cette voirie¹¹. Recoupé en 2010, il s'est avéré être partiellement pavé¹².

À l'époque moderne, la route royale Paris-Rouen, actuel boulevard de la Paix, supplante ce vieux chemin. Enfin, deux sites caractérisent l'époque contemporaine. La Pyramide de Laneth est un monument élevé en 1828 par Charles de Laneth (1757-1832), général, homme politique français et propriétaire du château d'Osny, à la mémoire de ses neveux et amis morts pour la patrie. Il fut inscrit au titre des monuments historiques le 27 janvier 1948¹³.

Un segment de tranchée de la Première Guerre Mondiale a été mis au jour lors du diagnostic réalisé par le SDAVO en 2007¹⁴. Cet ouvrage n'avait pas servi.

Le secteur de la plaine des Linandes recèle donc de nombreux indices d'occupation dans les parcelles proches de la zone diagnostiquée. L'époque néolithique y est documentée ainsi que l'âge du Fer, l'Antiquité et le Moyen Âge, les époques

moderne et contemporaine. Il subsiste cependant de nombreuses zones d'ombre, certaines époques étant méconnues comme l'âge du Bronze, ou étant incomplètement appréhendées à l'instar du Moyen Âge.

3 – Stratégies et méthodes mises en œuvre

L'emprise totale des parcelles à diagnostiquer s'étend sur 13,4 ha. Elle a été scindée en deux secteurs, A et B, de part et d'autre d'une haie plantée d'arbustes divisant la partie centrale des terres selon un axe nord-est / sud-ouest. Ainsi le secteur A désigne les deux-tiers sud-est de l'emprise et le secteur B désigne le tiers nord-ouest (fig. 5, fig. 7).

Deux zones n'ont pas été explorées. La première, au sud-est, correspond à une décharge sauvage. À cet endroit les quelques tests réalisés ont révélé que les limons avaient été, au moins partiellement, décapés. La seconde, dans l'angle sud-ouest, correspond à une aire de promenade située en bordure d'un chemin piéton dévolu, à terme, à un aménagement paysager. En accord avec l'aménageur et le Service régional de l'archéologie, il a été décidé de ne pas explorer cette partie du site, sauf en cas d'absolue nécessité.

Le décapage a été réalisé durant quinze jours à l'aide d'une pelle hydraulique de 20 tonnes équipée de godets lisses de curage de 2 m et 3 m de large. 12 219 m² ont été décapés, soit 9,1 % de l'emprise totale. Le terrain a été systématiquement quadrillé à raison d'une tranchée tous les 30 m, implantée dans le sens de la pente pour le secteur A et perpendiculairement à celle-ci dans le secteur B. Cette démarche a notamment permis de recouper deux structures connues avant le début de l'opération : une voie moderne dans le secteur A (cf. annexe 1), une tranchée d'infanterie de la Première Guerre Mondiale¹⁵.

Ponctuellement, un élargissement sous forme de fenêtre a pu être effectué afin de mieux caractériser certaines structures.

7 Pariat 2009.

8 Lefeuvre 2011a.

9 Robert dir. 2010.

10 Collin, Toussaint 1998.

11 Rosenberger 2006.

12 Pariat 2010.

13 Wabont in Pariat dir. 2009, p. 24.

14 Pariat 2007.

15 Pariat 2007.



Fig. 5 : Vue du secteur A en cours de décapage (Cliché : J.-G. Pariat).

L'enlèvement des terres s'est fait, conformément à la pratique, sous le contrôle d'un archéologue posté face à la pelle hydraulique. Les limons sont apparus sous la terre végétale et les structures archéologiques mises en évidence ont été fouillées mécaniquement ou manuellement, à 10 %, à 50 % ou à 100 % selon leur taille, leur intérêt et leur « potentiel informatif ».

Chaque structure identifiée a été repérée dans l'espace en trois dimensions (X, Y, Z) à l'aide d'un GPS de type Leica Orphéon 1200.

Tous les vestiges ont par ailleurs fait l'objet d'un enregistrement minimal. Ainsi, dès son niveau d'apparition, chaque structure a été relevée en plan à l'échelle 1/20^e et photographiée. Une fiche a été systématiquement créée dans un cahier d'enregistrement. Par ailleurs, les structures fouillées ont été relevées en coupe et chaque minute de terrain a reçu un numéro d'ordre. Enfin, certains ensembles ont fait l'objet de photographies verticales à l'aide d'un appareil photo fixé à une potence.

La découverte de structures en creux, notamment des silos de la fin du 1^{er} âge du Fer, a conduit

à affiner cette stratégie de terrain. Ainsi, quatre moitiés de silo ont été explorées manuellement et deux mécaniquement. Cette pratique permet des observations et un recueil d'informations complémentaires (caractérisation des couches, maille de prélèvement du mobilier etc.). Chaque silo a fait l'objet d'un prélèvement de 20 litres de sédiment au minimum, de préférence dans des couches organiques ou denses en vestiges

4 – Traitement et archivage des données

Le mobilier a été lavé et conditionné au SDAVO. Une attention toute particulière a été portée à certains tessons de céramique peints de la fin du 1^{er} âge du Fer. Ces pièces ont été nettoyées à l'aide d'une éponge à peine humide de façon à préserver les décors peints. D'autres vestiges, tels les torchis ou les scories, ont été séchés puis brossés à sec. Enfin, une fibule antique et une monnaie ont été dégagées pour étude (fig. 6).

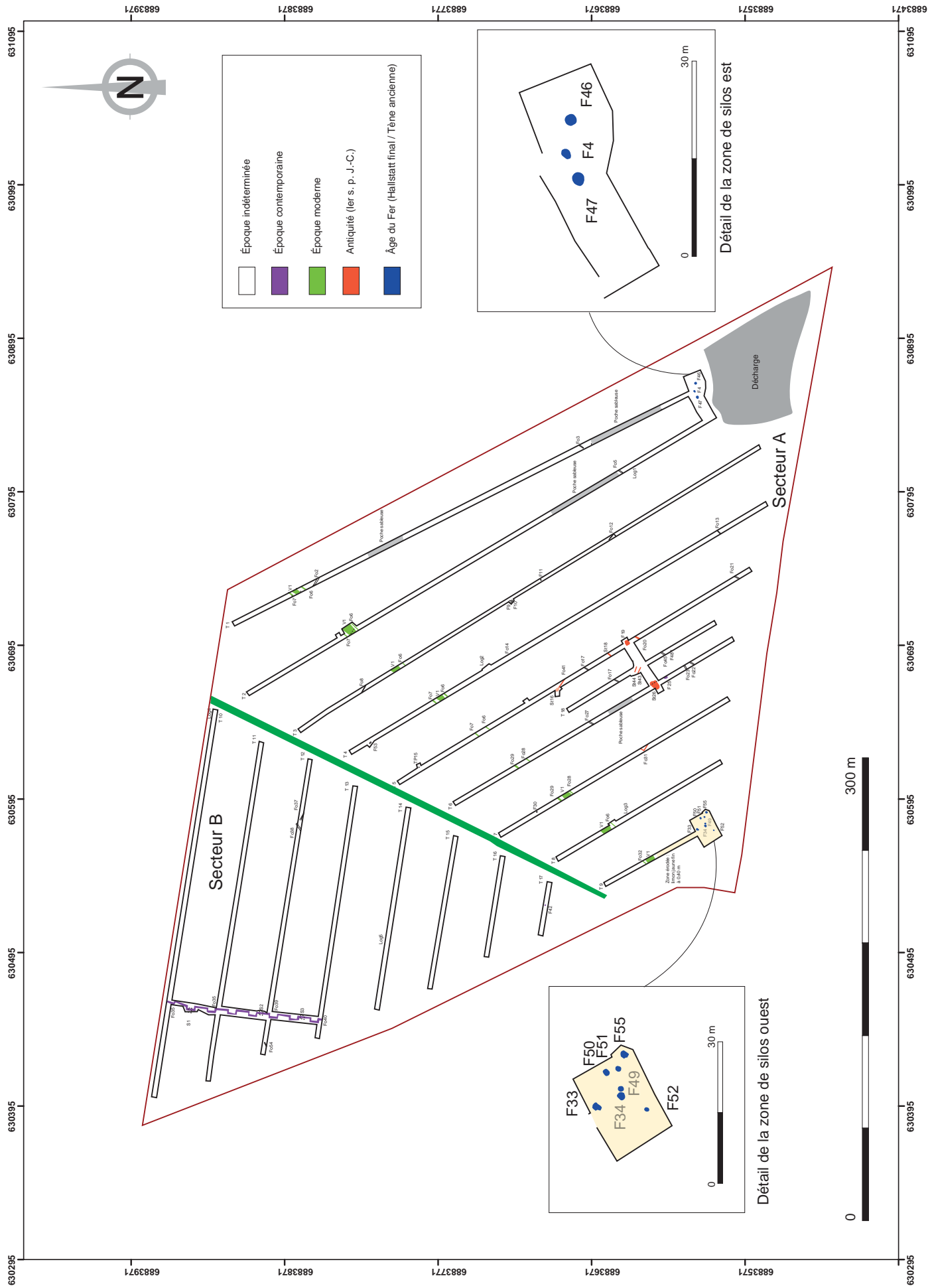


Fig. 7 : Plan général phasé du site (Topographie et DAO : J.-G. Pariat)



Fig. 6 : Vue de détail d'une fibule antique
(Cliché : J.-G. Pariat).

Les sédiments prélevés ont été tamisés au jet à l'aide de deux tamis d'une maille de 2 mm et 500 microns. Ces prélèvements ont été rapidement triés pour en évaluer le potentiel dans le cadre du présent diagnostic, puis conditionnés et inventoriés dans une base de données développée sur le logiciel «Access» (cf. annexe 3). Leur étude approfondie reste à faire.

La documentation papier a été informatisée. Les inventaires des structures et du mobilier ont été rassemblés dans une base de données développée sur le logiciel «Access», et les photographies ont été recensées sur un fichier «Excel» rangées dans des sous-dossiers par jour, une mention indiquant le caractère publiable ou pas du cliché (cf. annexes 4, 5, 6).

Les plans et coupes des structures ont été vectorisés sur le logiciel «Adobe Illustrator», version CS4. Ceux qui ne sont pas exploités dans le corps du texte sont rassemblés en fin de volume (cf. annexe 2). Les clichés pris à la potence ont été assemblés grâce au logiciel «PanoramaMaker», version 4.

Le mobilier est intégralement conservé au SDAVO.

5 – Les occupations archéologiques

Dès les premiers sondages, des indices d'occupation sont apparus. Ils renvoient à différentes époques de la Préhistoire récente, de la Protohistoire et de l'Histoire : le Néolithique, l'âge du

Fer, l'Antiquité, l'époque moderne et l'époque contemporaine (fig. 7). Ils sont présentés ici par ordre chronologique du plus ancien au plus récent.

5.1 – Le Néolithique

(Par B. Bapst et J.-G. Pariat)

La présence dans l'équipe de terrain d'un spécialiste de l'industrie lithique néolithique a favorisé une collecte raisonnée du mobilier potentiellement attribuable à la Préhistoire récente. Si aucune structure ne peut-être rattachée avec certitude à l'époque néolithique, les pièces en silex sont pourtant assez fréquentes dans le secteur A. Elles sont, dans les tranchées 1, 2 et 6, presque systématiquement associées à des horizons de limon argilo-sableux fin gris clair (fig. 8). Ainsi, par exemple, 33 pièces ont été prélevées dans un horizon de la tranchée 6. Les contraintes de temps n'ont pas permis d'observer l'épaisseur de ces horizons.

La tranchée 9, même si elle n'a livré que peu de pièces, recèle la plus grande quantité d'outils, tous piégés dans des structures de l'âge du Fer.

Enfin la tranchée 3 a livré des silex taillés mais également une structure (F11) possiblement néolithique recelant un dizaine d'éclats. De surcroît, les mètres carrés environnants cette fosse ont livré une dizaine d'éclats de module compris entre 0,5 cm et 2 cm. Malgré tout, compte tenu des doutes qui subsistent sur son attribution chronologique, cette structure est présentée dans la section dévolue aux vestiges d'époque indéterminée (cf. annexe 2).

La série se compose de 106 pièces lithiques taillées. Leur état de conservation est assez remarquable : la patine est rare et les altérations mécaniques post-dépositionnelles sont absentes.

5.1.1 – Les matières premières

Cette série comprend 7 principales matières premières et 6 pièces sont réalisées dans des matériaux plus marginaux. Enfin, le matériau de 5 pièces est indéterminable car brûlé.



Fig. 8 : Tranchée 6, niveau d'apparition de l'horizon limoneux argilo-sableux gris clair (Cliché : J.-G. Pariat).

Le silex secondaire gris

Il s'agit d'un matériau translucide à opaque, de couleur grise pouvant tirer sur le vert ou le blond. Il présente des passées et des taches blanchâtres ainsi que des fossiles infra-millimétriques. Son cortex est crayeux, très fin et non-pulvérulent, non roulé, sa couleur variant du blanc au marron-orangé très clair. Il a probablement été collecté en position primaire.

Ce type de silex est majoritaire sur le site avec un total de 63 occurrences. Selon toute vraisemblance, il s'agirait du même silex secondaire gris que celui distingué en 2008¹⁶.

Le silex blanc

13 pièces en silex à grains fins, blanc à blanchâtre et très peu translucide, ont été identifiées. Sur certaines d'entre elles, des fossiles (spicules ou spongiaires) sont visibles : il s'agirait donc d'un silex secondaire.

16 Garmond *in* Pariat 2009.

Les silex blonds

Dans la série, 8 pièces sont en silex blond translucide à grains fins. Si certaines présentent des passées et des fossiles tendant à les rapprocher de silex secondaires, d'autres présentent très peu de caractères discriminants, sans pour autant qu'il soit possible de les distinguer des premières. Les *faciès* de recouvrement sont fréquents parmi les silex blonds, aussi ont-ils été regroupés¹⁷. Un éclat semble cependant se distinguer des autres : il s'agit d'un silex azoïque, sans la moindre inclusion, très homogène et très translucide.

Le silex secondaire noir

4 artefacts en silex noir à grains fins ne présentent pas de passées ni de taches. Leur cortex est crayeux et d'épaisseur millimétrique. Il pourrait s'agir du même silex secondaire noir que celui distingué en 2008.

17 Aubry 1991, Joussaume *et al.* 2002.

Le silex secondaire gris hétérogène

4 pièces sont réalisées dans ce type de silex, dont un fragment de hache polie (fig. 9) et la seule armature de la collection (fig. 10). C'est un silex à grains fins, gris opaque, présentant des passées blanches et grises très claires et très resserrées, ainsi que de très nombreuses taches blanches et fossiles. Ce type de matériau pourrait être un *faciès* du silex secondaire gris décrit précédemment. Il a été appelé hétérogène afin de le distinguer du précédent, car les passées, les taches et les fossiles y sont bien plus présents.



Fig. 9 : Fragment de hache polie issu de la tranchee 5 (Cliché : B. Bapst).

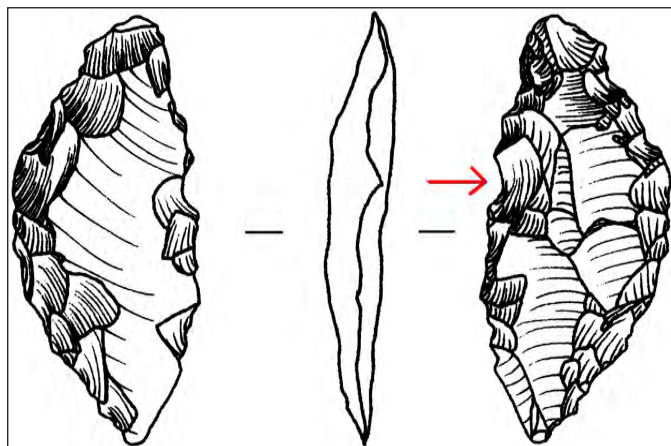


Fig. 10 : Armature issue de la tranchee 18, échelle 1 (Dessin : B. Bapst).

Le grès

Deux éclats de grès grossier à forte composante de quartz ont été retrouvés. Il est de couleur brun-gris à gris et présente des passées grises claires.

Le silex beige

Ce silex à grains fins est de couleur beige tirant sur le gris clair. Il présente des taches blanches et grises, et de nombreuses inclusions de fossiles infra-millimétriques ou longues de plusieurs millimètres. L'unique pièce correspondant à ce matériau est un fragment de hache polie (fig. 11).

5.1.2 – Le débitage

Quatre *nucléi* ont été retrouvés. Trois d'entre eux ne présentent pas suffisamment d'enlèvements pour pouvoir reconstituer la ou les méthodes de débitage. Le dernier est un *nucléus* sur éclat peu exploité, débité par méthode unipolaire visant à produire de petits éclats, inférieurs au centimètre pour la plupart (fig. 12). Si les produits de ce nucléus sont présents au sein du corpus, il n'a pas été possible de les identifier.

Par contre, les méthodes et objectifs des débitages sont visibles sur les produits et déchets, qui sont très majoritairement constitués d'éclats débités par percussion directe dure.



Fig. 11 : Fragment de hache polie issu de la tranchee 2 (Cliché : B. Bapst).

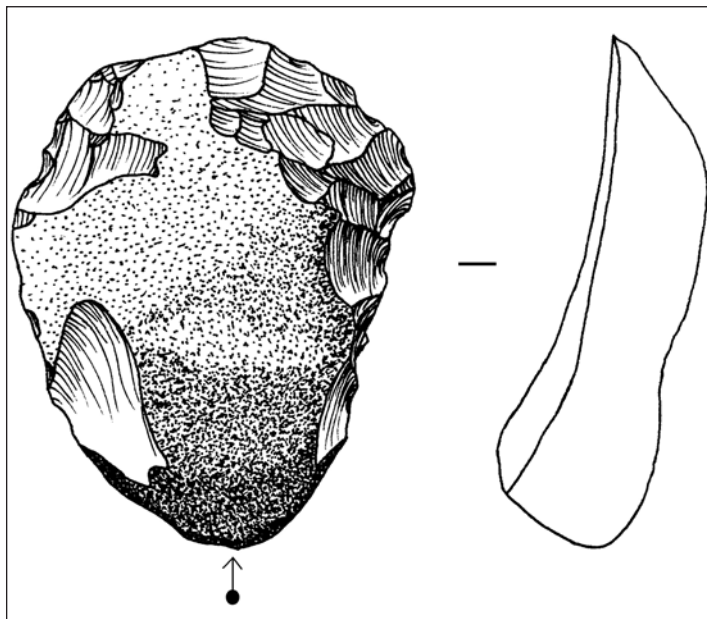


Fig. 12: Nucléus obtenu par débitage unipolaire issu de la tranchée 6, échelle 1 (Dessin: B. Bapst).

Les éclats

La quantité d'éclats présentant sur la face supérieure des négatifs parallèles unidirectionnels est équivalente à ceux comportant des négatifs multidirectionnels. Cela trahit plusieurs séquences de débitage, l'une unipolaire et d'autres multipolaires indéterminées. Le but recherché au travers de ces mises en forme est difficilement restituable car les outils sur éclat sont trop peu nombreux, une partie des pièces étant réalisée sur des déchets de taille, l'autre sur des éclats peu caractéristiques.

Les lames

Trois lames ont été isolées au sein de la série. Aucune partie proximale n'est conservée, rendant impossible la caractérisation des techniques de débitage. Par ailleurs, aucun déchet de taille caractéristique des débitages laminaires n'a été identifié. Malgré le faible nombre de lames, deux modules semblent apparaître, d'une part un petit module représenté par un individu de 1,5 cm de largeur, retrouvé dans la tranchée 6, d'autre part un grand module représenté par deux individus de 2,4 et 2,6 cm de largeur. Ces deux lames ont été retrouvées dans des silos de l'âge du Fer de la tranchée 9 (F33 et F52), dans la partie sud-ouest de l'emprise. L'une d'elle est rebroussée et présente sur sa face supérieure un négatif lui aussi

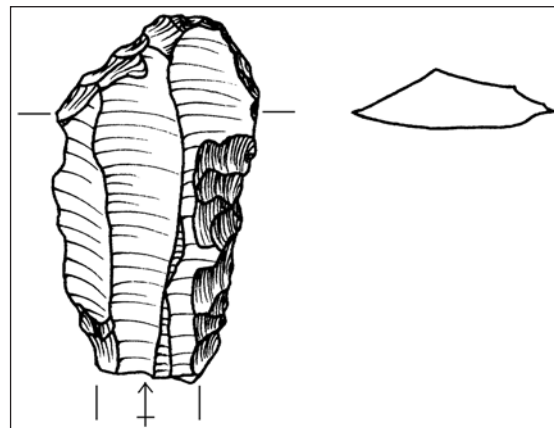


Fig. 13: Grattoir sur lame issu du silo F52, échelle 1 (Dessin: B. Bapst).

rebroussé; l'autre a un front de grattoir aménagé en partie distale (fig. 13). Ces deux lames, en silex secondaire gris, sont à trois pans, et présentent des bords et des arêtes réguliers.

5.1.3 – Typologie

Les grattoirs

Parmi les huit grattoirs, sept sont réalisés dans un silex secondaire gris, le dernier est dans un autre matériau indéterminé.

Ils sont tous façonnés sur éclat à l'exception d'un seul, obtenu sur lame. L'un d'eux est aménagé sur un éclat présentant des négatifs d'enlèvements parallèles unidirectionnels, et deux autres sont aménagés sur des éclats de dégrossissage, dont un cortical.

Leurs fronts sont majoritairement réguliers et la retouche peut être abrupte à semi-abrupte. Trois grattoirs proviennent de la tranchée 9, et ont été retrouvés dans des silos de l'âge du Fer.

Les éclats retouchés

Ces trois pièces ont peu de points communs. Ni la nature de la retouche (répartition, angulation, régularité...) ni le type du support (gabarit, morphologie...) ne se retrouve d'une pièce à l'autre. Aussi, ces pièces répondaient sans doute à des intentions différentes.

Deux de ces éclats, retrouvés dans la tranchée 9, sont en silex secondaire gris.

Les fragments de haches

Les deux fragments de hache polie évoqués précédemment sont façonnés dans des matériaux différents (silex secondaire gris hétérogène et silex beige). Ces fragments sont trop ténus pour pouvoir discuter des caractéristiques des haches dont ils proviennent.

L'armature

Il s'agit plus précisément d'une ébauche d'armature de flèche perçante réalisée sur un éclat en silex secondaire gris hétérogène.

La retouche est bifaciale et concerne majoritairement le bord gauche de l'éclat support, lui donnant une silhouette en arc de cercle. Cette forme permet de dire que l'armature aurait dû être amygdaloïde ou losangique.

Elle a sans doute été abandonnée du fait de l'impossibilité d'aboutir au résultat escompté. Cette pièce est en effet trop déjetée pour pouvoir réaliser une armature amygdaloïde ou losangique, la retouche ayant provoqué une trop grande dissymétrie entre le bord gauche et le bord droit de l'éclat support. Sur le bord gauche se trouve d'ailleurs un enlèvement de retouche mal maîtrisé qui a provoqué une coche (fig. 10 : flèche rouge), empêchant toute tentative de finition.

Le perçoir

Cet outil est en silex secondaire gris sur éclat allongé, de dégrossissage ou de mise en forme. Une retouche directe abrupte concerne les parties mésiale et distale du bord gauche de la pièce, ainsi que la moitié distale de son bord droit, et une retouche inverse semi-abrupte concerne la moitié proximale de son bord droit.

5.1.4 – Attribution chrono-culturelle

La présence de haches polies, d'une pointe de flèche et les supports indifférenciés des grattoirs indique une fréquentation du secteur au Néoli-

thique. Malgré la taille réduite de cet ensemble, les trois lames et l'armature permettent de discuter la chronologie.

Si l'on exclut le Paléolithique supérieur, les lames apparaissent dans la région dès le Néolithique ancien et perdurent jusqu'au Cerny. L'aménagement de grattoirs en bout de lames est d'ailleurs connu à ces périodes¹⁸. Ce type de pièce se raréfie ensuite au Chasséen¹⁹. Des lames régulières et de gros gabarit réapparaissent ensuite au Néolithique récent avant de disparaître à nouveau au Néolithique final²⁰. Hélas les fragments de lames découverts aux Linandes sont d'un type très ubiquiste et ne peuvent être attribuées à une période précise du Néolithique.

Les armatures perçantes apparaissent dans le Bassin parisien à partir du Cerny, mais l'ébauche des Linandes ne partage pas les caractéristiques de ces types (armatures trapues et triangulaires, petite taille)²¹.

Le matériel lithique taillé retrouvé au Linandes en 2008 présente des caractéristiques (tranchets et surtout armatures tranchantes) qui ont permis d'attribuer au moins une partie des pièces au Cerny ou à la fin du Cerny, voire début du Chasséen. Ce matériel partage des points communs avec celui décrit dans le présent rapport, en particulier la très nette domination du silex secondaire gris dans le corpus. Mais il existe aussi des différences, avec d'une part la présence d'armatures tranchantes et de tranchets dans la série de 2008, et d'autre part la présence d'une armature perçante et de lames dans la série de 2011. Le matériel de 2011 étant au moins partiellement compatible avec la datation du matériel de 2008, peut-on alors supposer que le matériel de 2008 et de 2011 relève pour partie d'une même occupation ? L'hypothèse mérite d'être formulée mais paraît peu probable. Il est plus prudent de considérer que nous sommes en présence de deux occupations non contemporaines.

18 Allard 2005, Augerau 1997.

19 Garmond 2007.

20 Augerau *et al.* 2007.

21 Augereau 1997.

5.1.5 – Bilan

Les résultats du diagnostic de 2011 offrent des perspectives engageantes pour la recherche néolithique au sein du département. En effet, plusieurs zones réparties sur le secteur A ont livré des concentrations de pièces lithiques suggérant la proximité d'un site.

Les objets exhumés dans la tranchée 9 proviennent surtout de silos gaulois. Ils sont donc en position secondaire et pourraient trahir l'existence d'une implantation néolithique détruite partiellement ou intégralement par cette réoccupation plus récente.

Dans la tranchée 3, la structure F 11 potentiellement néolithique peut se trouver à proximité d'autres structures.

Enfin, dans la partie centrale de la tranchée 6, une poche sableuse a livré de nombreuses pièces lithiques qui suggèrent là encore la proximité d'un site.

Ainsi, les zones d'ombre subsistantes à l'issue de cette opération sont multiples et conduisent à s'interroger sur les modes d'implantation en contexte de plateau au Néolithique.

5.2 – L'âge du Fer

Plusieurs vestiges se rattachent à l'âge du Fer. Ils se répartissent sur une vaste surface dans le secteur A. Dans l'ensemble, deux grands cas de figure ont été rencontrés : d'une part des structures où des *artefacts* gaulois sont mélangés à des pièces antiques ; d'autre part des structures abritant exclusivement du mobilier gaulois. Le premier cas de figure sera abordé ultérieurement, dans la section dévolue à l'Antiquité, puisque les objets gaulois sont en position secondaire dans des structures plus tardives.

Les structures clairement gauloises renvoient à la transition entre la fin du 1^{er} âge du Fer et le début du 2nd âge du Fer. Au total, 10 structures en creux ont été repérées en surface dans deux zones distantes d'environ 300 m. Les six qui ont été sondées se sont avérées être des silos.

La première zone, au sud-est dans la tranchée 1, regroupe au moins trois silos (F4, F46, F47) sur une aire de 620 m². Tous ont été explorés par moitié, manuellement ou mécaniquement. La seconde zone, au sud-ouest dans la tranchée 9, rassemble sept silos au minimum (F33, F34, F49, F50, F51, F52, F55) sur une aire de 295 m². Trois d'entre eux ont été explorés manuellement et l'ensemble de la zone a été rebouchée à l'issue du diagnostic.

5.2.1 – La batterie de silos sud-est

5.2.1.1 – Le silo F4

Ce silo est apparu dès 0,40 m de profondeur, immédiatement sous la terre végétale. Son contour, sub-circulaire, se démarque assez mal du sédiment encaissant limoneux grossier brun-orangé compact et hétérogène (fig. 14). Son diamètre à l'ouverture est de 1,20 m pour un diamètre à la base de 2 m, et une profondeur de 1,30 m depuis la surface du décapage. Il présente un profil tronconique et un comblement riche et varié (fig. 15).

Un limon fin compact caractérise les soixante premiers centimètres du remplissage. Vers l'est, une poche sous-jacente correspond à un limon fin compact meuble et aéré, de 35 cm d'épaisseur au maximum. La couche suivante est encore un limon fin d'une épaisseur de 45 cm, comportant cette fois des inclusions de charbons et de terre rubéfiée. À partir de 0,70 m de profondeur, différentes couches d'effondrement se superposent le long de la paroi est. Ainsi, un limon argileux de 50 cm d'épaisseur recouvre un limon argileux très charbonneux à inclusions de terre rubéfiée sur une hauteur maximum de 60 cm. Au fond, sur les dix derniers centimètres, un placage limono-argileux habille la paroi.

Du côté ouest, un limon fin meuble aéré de 50 cm d'épaisseur au maximum recouvre un limon très charbonneux à inclusions de terre rubéfiée, sur une épaisseur maximale de 40 cm. La couche sous-jacente est un limon fin présentant des fragments de torchis en quantité importante, sur une épaisseur de 15 cm (fig. 16). Cette concentration



Fig. 14 : Tranchée 1, silo 4, niveau d'apparition de la structure (Cliché : B. Bapst).



Fig. 16 : Tranchée 1, silo 4, concentration de blocs de torchis près de la paroi (Cliché : B. Bapst).

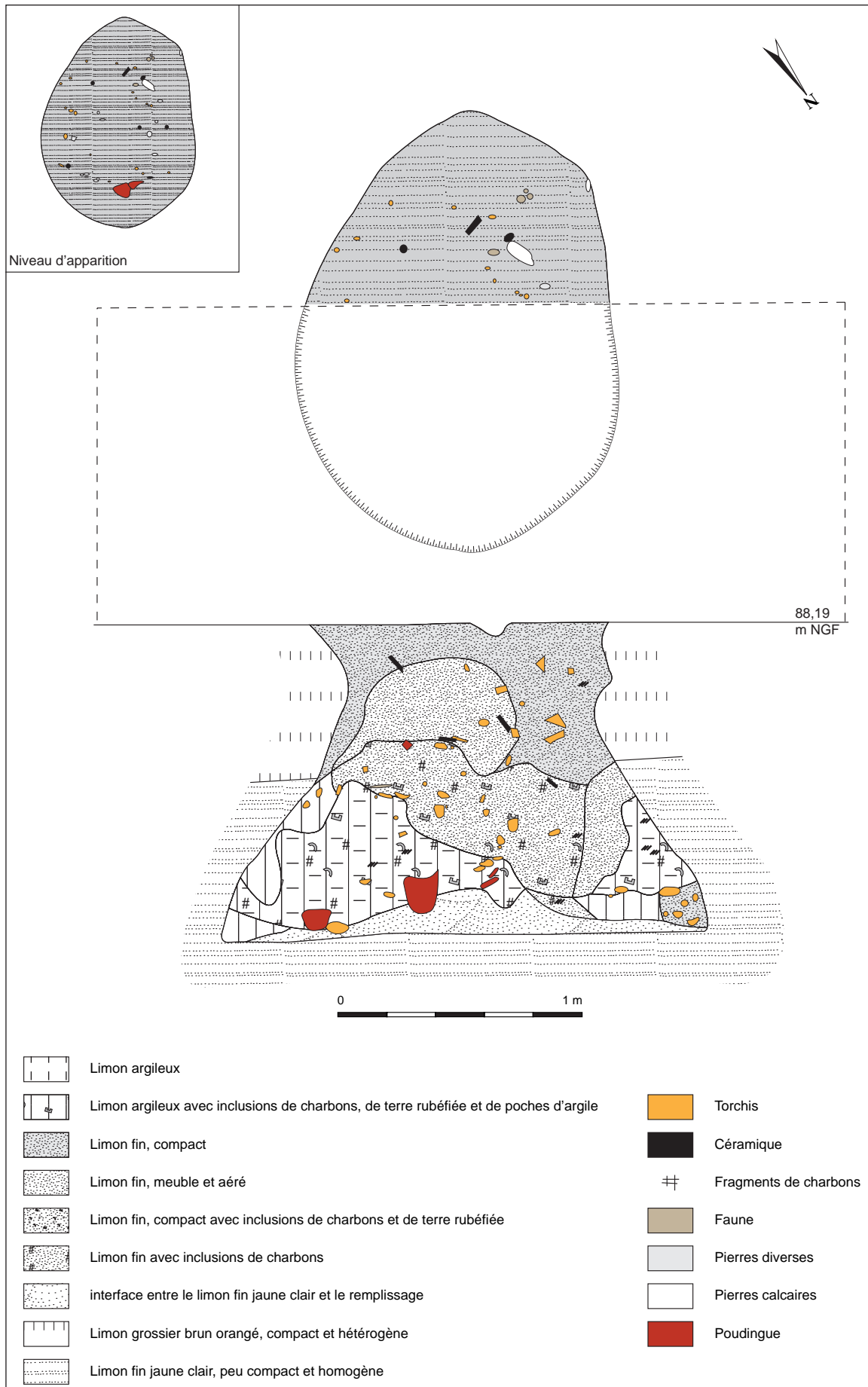


Fig. 15: Tranché 1, silo 4, plan et coupe (Relevé : B. Bapst, DAO : A. Lebrun).



Fig. 17: Tranchée 1, silo 4, -1,20 m / -1,40 m, fragment de torchis perforé (Cliché: J.-G. Pariat).

anormale de torchis pourrait provenir d'un aménagement de la paroi.

Quant à la partie centrale du remplissage, une poche de limon fin meuble de 10 cm d'épaisseur recèle des charbons. Elle laisse place à un horizon limono-argileux de 10 cm d'épaisseur, sous lequel se trouve une couche limoneuse fine jaune clair à sombre posé sur le substrat.

Le mobilier issu de ce comblement suit une répartition différentielle. La céramique est relativement abondante entre 0 et 0,50 m de profondeur, tout comme l'os présent jusqu'à 0,80 m de profondeur. La présence de bords à cordon digité permet une attribution à la transition Hallstatt final/Tène ancienne (cf. chapitre 5.2.3).

Les éléments de torchis évoqués précédemment tendent à se concentrer vers le fond de fosse et plutôt près des parois. Plusieurs blocs présentent des traces de clayonnage, dont un exemplaire perforé découvert entre 1,20 m et 1,40 m de profondeur (fig. 17) pour lequel nous n'avons pas trouvé de comparaison et qui mérite une étude approfondie.

Enfin, des morceaux de meule en poudingue ont été découverts dans les couches les plus profondes du remplissage (fig. 18).



Fig. 18: Tranchée 1, silo 4, -1,20 m / -1,40 m, partie active d'un fragment de meule (Cliché: J.-G. Pariat).

Ces différents vestiges traduisent une utilisation du silo comme fosse de rejet, au moins dans un second temps, les graines issues des refus de tamis témoignant de sa fonction initiale.



Fig. 19: Tranchée 1, silo 46, niveau d'apparition de la structure (Cliché : A. Lebrun).

5.2.1.2 – Le silo F46

Le silo F47 se trouve, à quelques mètres à l'ouest du silo F4, à l'opposé du silo F46. Il est apparu directement sous la terre végétale à 0,40 m de profondeur. Cette structure au contour circulaire se démarque de l'encaissant par un sédiment limoneux fin gris peu compact et homogène (fig. 19). Son diamètre à l'ouverture est de 1,80 m pour un diamètre à la base de 3 m, et pour une profondeur sous décapage de 1,59 m.

Ce silo présente un profil tronconique au remplissage riche et varié à composante majoritairement limoneuse (fig. 20). Les couches de comblement latérales correspondent à des horizons

limoneux plus ou moins grossiers variant du brun-orangé au jaune clair, et correspondant à l'encaissant. Elles se sont sans doute mises en place par effondrement des parois.

Le comblement principal atteint une épaisseur maximum de 1,20 m dans certains secteurs. Il s'agit d'un limon fin gris, peu compact et homogène, présentant des blocs calcaires chauffés épars. Deux poches de limon grossier brun-gris, compact et homogène, apparaissent vers le fond de ce premier comblement. La couche inférieure est limoneuse fine, grise, peu compacte, avec de nombreuses inclusions de charbons. L'essentiel des vestiges provient de cette couche d'une épaisseur maximum de 60 cm. Enfin, la couche

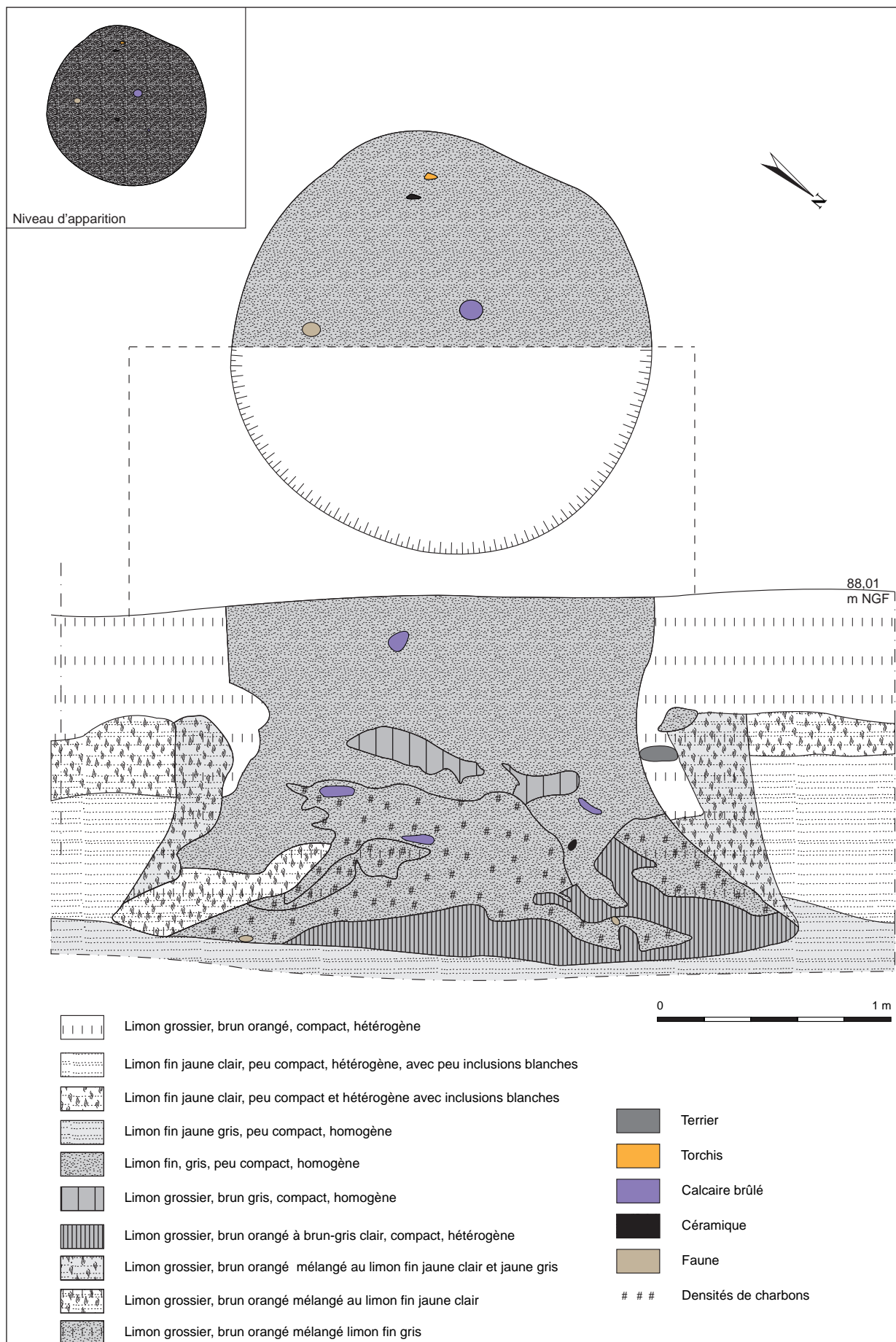


Fig. 20: Tranchée 1, silo 46, plan et coupe (Relevé: B. Bapst, J.-G. Pariat, DAO: A. Lebrun).



Fig. 21 : Tranchée 1, silo 46, coupe (Cliché : A. Lebrun).

qui recouvre le fond de fosse s'est mise en place depuis le nord-ouest et correspond à un limon grossier, brun-orangé à brun-gris clair, compact et hétérogène (fig. 21). Elle mesure entre 20 et 40 cm d'épaisseur.

Le mobilier recueilli se concentre entre 1 m et 1,40 m de profondeur. La céramique y est représentée par une demi-douzaine de formes renvoyant à la transition Hallstatt final / Tène ancienne. Une vingtaine de restes osseux animaux complète cet ensemble. Enfin, outre deux éclats de silex, un fragment de meule en poudingue provient de la couche limoneuse fine et grise évoquée plus haut.

5.2.1.3 – Le silo F47

Le silo F47 se trouve, à l'opposé du silo F46, à quelques mètres à l'ouest du silo F4. Apparu directement sous les labours, à 0,40 m de profondeur, son comblement limoneux grossier brun-gris, compact et hétérogène, à inclusions de particules blanches, se démarque de l'encaissant (fig. 22). Ce silo présente un contour circulaire et mesure 1,92 m de diamètre à l'ouverture pour 2,80 m de diamètre à la base. Il présente un profil tronconique et atteint 1,80 m de profondeur sous la surface du décapage (fig. 23).

Le remplissage est à nouveau à composante limoneuse. Plusieurs couches identifiées le long des parois sont, comme dans le cas des silos F4 et F46, des couches d'effondrement. La couche supérieure, qui peut atteindre 1 m d'épaisseur, est un limon grossier brun-gris compact hétérogène, et comporte des inclusions de particules blanches. Elle abrite de la céramique, du torchis et des nodules de charbon. La couche sous-jacente présente un profil irrégulier et semble s'être mise en place depuis le sud-est. Il s'agit d'un limon grossier gris foncé, peu compact et homogène, d'une épaisseur de 0,70 m. Il présente des inclusions de charbon et un fragment de meule. Enfin, les quatre-vingt derniers centimètres sont caractérisés par une succession de couches de limon fin gris clair à foncé, pauvre en vestiges (fig. 24).

Le mobilier, présent sur toute l'épaisseur du remplissage, se scinde en plusieurs grandes catégories : céramique, os animal, métal, matériel de mouture et torchis. Dix-sept formes céramiques ont été identifiées, parmi lesquelles un fond de faisselle, et renvoient à la transition Hallstatt final/Tène ancienne. Le matériel de mouture en poudingue ou en grès est relativement abondant et tend à se concentrer entre 1,40 m et 1,60 m de profondeur. Enfin, les fragments de torchis sont relativement abondants à partir de 0,80 m de profondeur. Plusieurs d'entre eux



Fig. 22: Tranchée 1, silo 47, niveau d'apparition de la structure (Cliché : A. Lebrun).



Fig. 24: Tranchée 1, silo 46, coupe (Cliché : J.-G. Pariat).

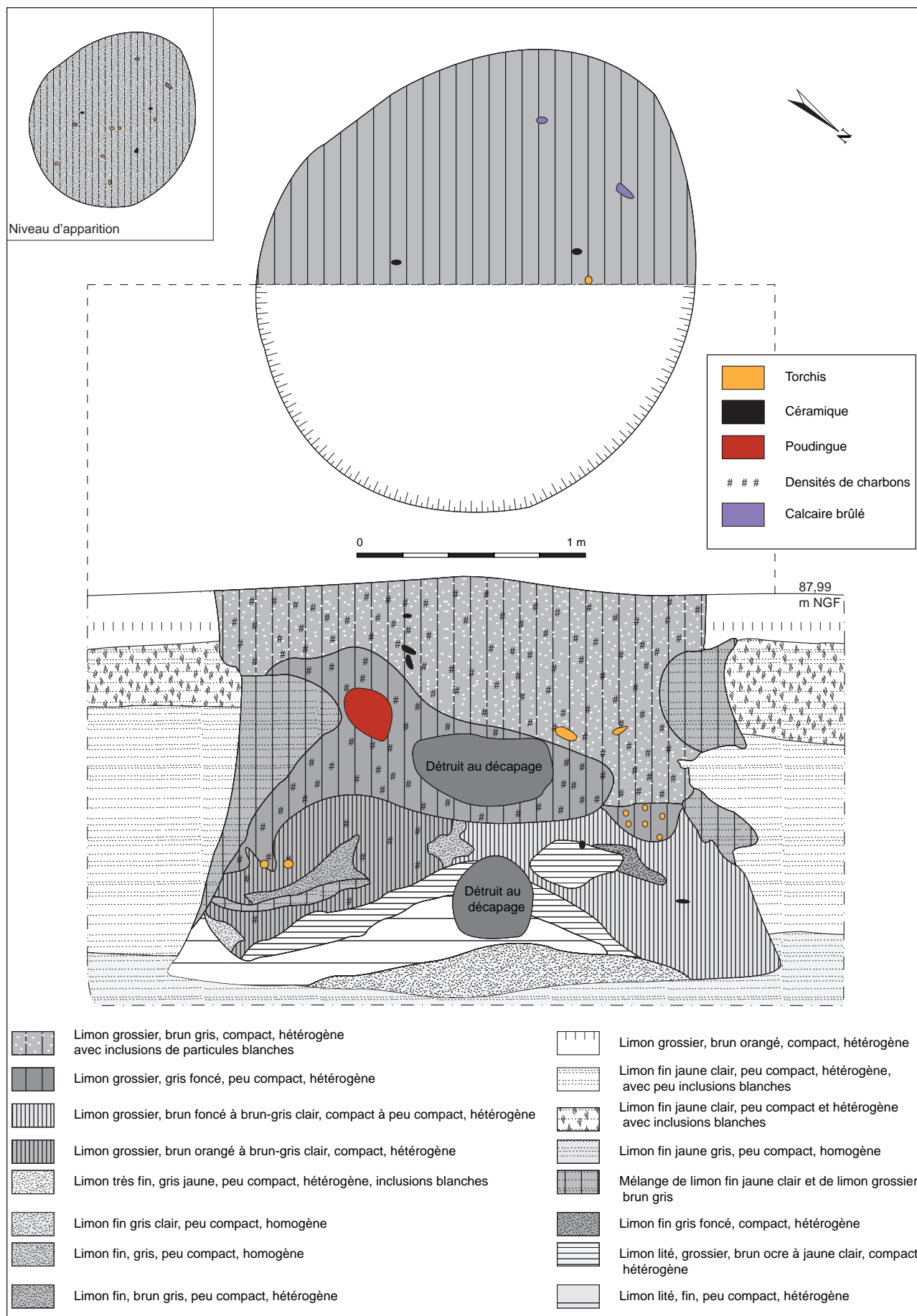


Fig. 23: Tranchée 1, silo 46, plan et coupe (Relevé : B. Bapst, J.-G. Pariat, DAO : A. Lebrun).



Fig. 25: Tranchée 1, silo 46, quelques fragments de torchis (Clichés: J.-G. Pariat).
a et b: torchis perforé / c et d: négatifs de branchage.

présentent des traces de branchages, et des perforations difficilement interprétables à ce stade du diagnostic (fig. 25). Leur couleur varie de l'orangé au noir, ce qui indique que certains ont subi l'action du feu.

5.2.2 – La batterie de silos sud-ouest

5.2.2.1 – Le silo F33

Le silo F33 est le plus septentrional des silos découverts dans la zone sud-ouest de l'emprise, au sud de la tranchée 9. Cette structure a été abordée manuellement durant les derniers jours

du diagnostic. Avant d'entreprendre ce sondage, nous l'interprétons comme une fosse simple. La fouille a révélé que deux silos se recoupaient à cet endroit, ce qui ne se voyait pas en surface. Aussi, il n'a pas été possible, faute de temps, de relever la coupe.

Apparaissant à 0,40 m de profondeur, cette structure au contour ovale présente un comblement limoneux gris, peu compact, homogène, qui se démarque assez nettement de l'encaissant (fig. 26). Son diamètre est de 1,80 m pour un diamètre de 2,76 m à la base qui inclut les profils tronconiques des deux silos. La profondeur depuis la surface du décapage est de 1,60 m.

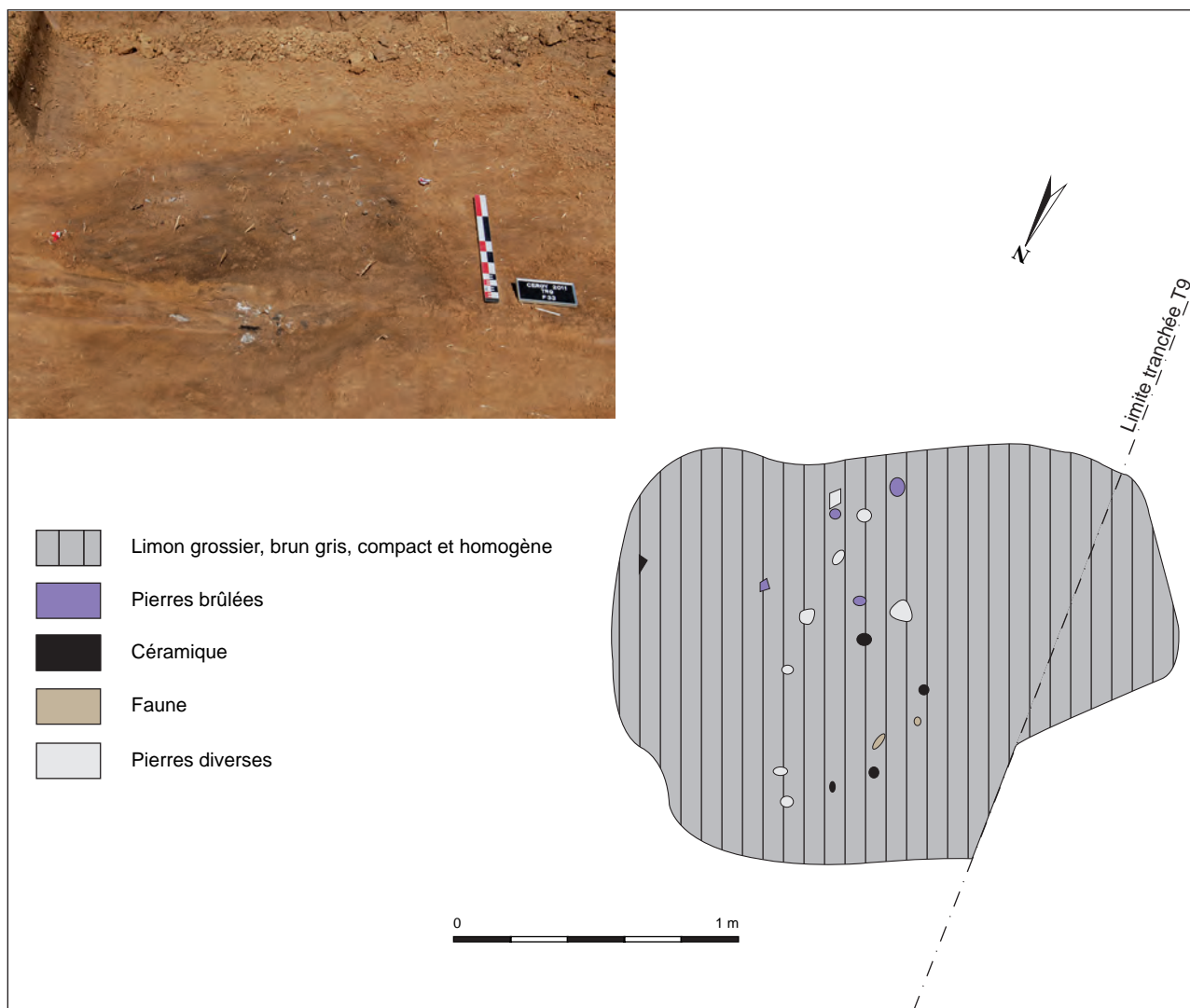


Fig. 26 : Tranchée 9, silo 33, vue en plan de la structure (Cliché : A. Lebrun, DAO : A. Lebrun).

Cinq couches composent le remplissage. La couche supérieure est un limon brun-noir organique, peu compact, recelant de nombreux fragments de céramique, d'os et de pierres brûlées (fig. 27). La couche sous-jacente est un limon brun-gris compact homogène. Elle laisse place à un limon fin brun-jaune contenant des fragments de charbon et de torchis. La couche suivante est un limon fin brun-gris foncé. Enfin, la couche de base est un limon meuble gris, cendreuse avec des inclusions de charbon (fig. 28).

Le mobilier exhumé se rapporte à 13 formes céramiques, dont une à décor digité, attribué à la transition Hallstatt final/Tène ancienne. 24 restes animaux et une dizaine d'objets de mouture complètent cette série.

5.2.2.2 – Le silo F34

Le silo F34 se situe à quelques mètres au sud du silo F33, dans la tranchée 9. Ce silo est apparu à 0,35 m sous la surface. En plan, il jouxte un autre silo (F49) et présente un contour sub-circulaire (fig. 29). Son comblement en plan est limoneux brun-gris peu compact, hétérogène à inclusions de terre rubéfiée. Le diamètre à l'ouverture de la fosse est de 1,44 m pour un diamètre à la base de 2,90 m. La profondeur maximale est de 1,44 m.

En coupe, ce silo au profil tronconique semble avoir recoupé un silo plus ancien (F49, fig. 30). Le remplissage se scinde en différentes couches à composante limoneuse. Le comblement supérieur est limoneux brun-gris, peu compact et hétérogène. Il recèle des fragments de terre



Fig. 27: Tranchée 9, silo 33, concentration de mobilier dans la couche supérieure (Cliché: A. Lebrun).



Fig. 28: Tranchée 9, silo 33, coupe (Cliché: J.-G. Pariat).

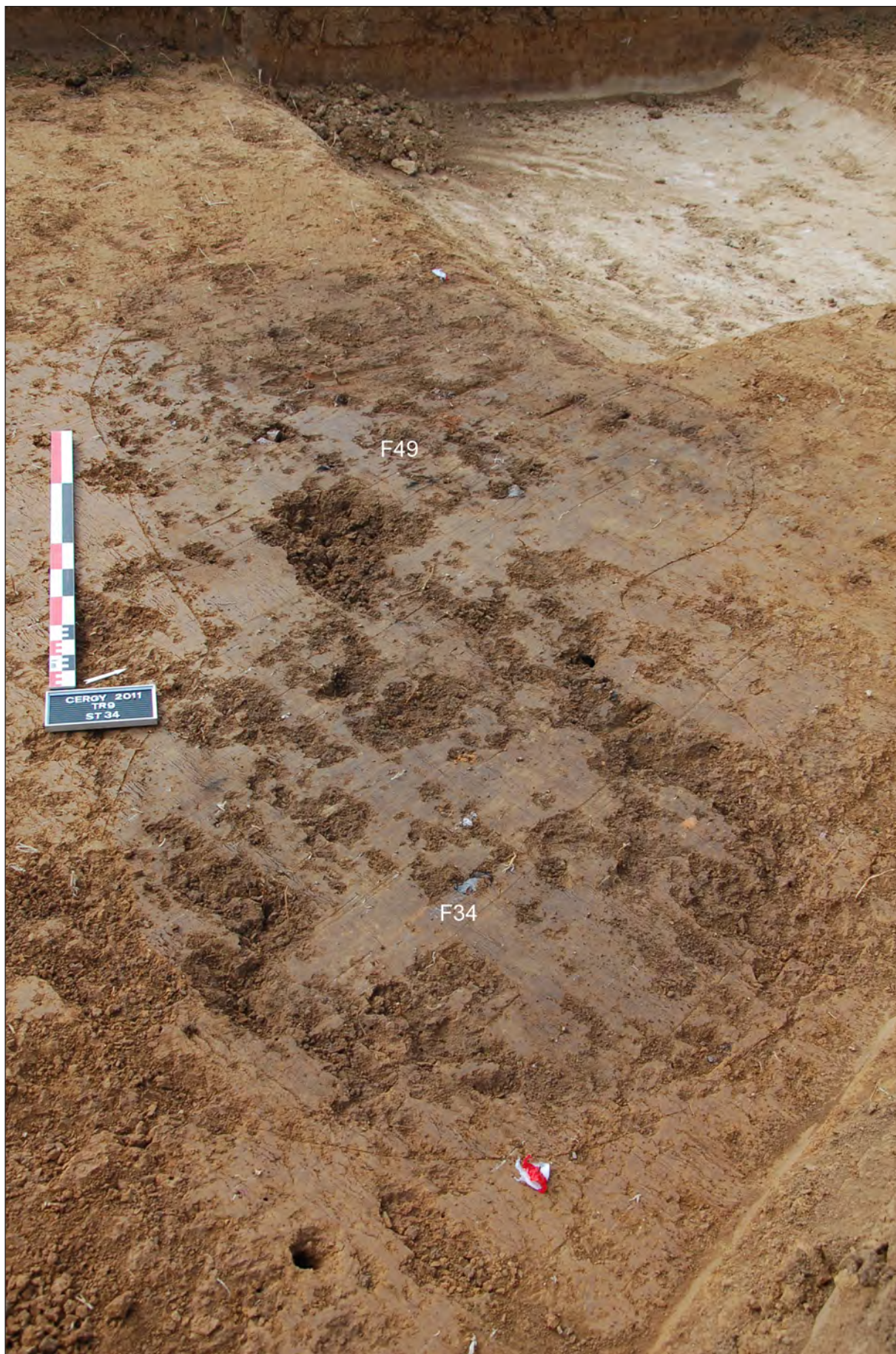


Fig. 29: Tranchée 9, silo 34, vue en plan de la structure (Cliché : A. Lebrun).

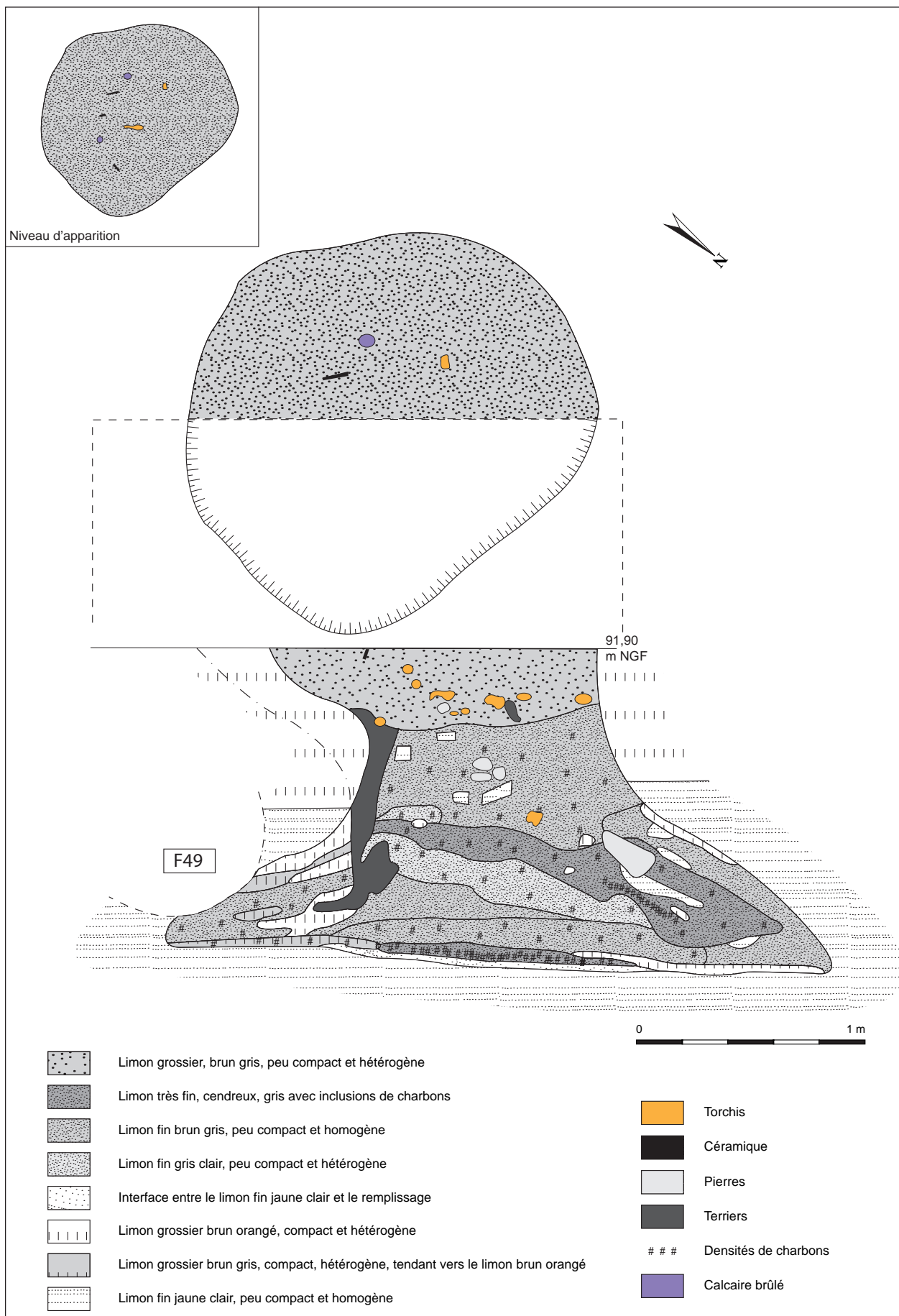


Fig. 30: Tranchée 9, silo 34, plan et coupe (Relevé et DAO: A. Lebrun).

rubéfiée sur toute son épaisseur (30 cm). La couche sous-jacente atteint par endroits 60 cm d'épaisseur. Il s'agit d'un limon sableux brun-gris avec quelques inclusions de terre rubéfiée et de charbons, peu compact et homogène. Elle recouvre une couche de limon gris très cendreuse, à caractère organique, homogène et meuble, de 10 à 40 cm d'épaisseur. L'essentiel des vestiges exhumés provient de cet horizon qui a été intégralement prélevé. Les couches sous-jacentes correspondent à des limons fins dont la teinte varie du brun-gris clair au gris foncé (fig. 31).

Le silo F34 est le plus riche quantitativement et qualitativement. Les formes céramiques issues de la couche cendreuse appartiennent à 27 récipients dont un orné d'un décor peint caractéristique de la transition Hallstatt final/Tène ancienne (cf. chapitre 5.2.3). Une fusaïole figure également parmi les objets en terre cuite.

Les restes osseux animaux sont assez nombreux avec plus de 200 pièces recensées. L'état de conservation de l'os est bon, les surfaces étant intactes malgré une fragmentation poussée. Parmi les espèces représentées, cochon, chien, bœuf et mouton figurent en bonne position²². Signalons également la présence plus anecdotique d'un os de canard colvert comportant une trace de découpe, ainsi que celle d'une corne, également découpée (fig. 32).

Plusieurs fragments de torchis comportent des traces de branchage. Enfin, différents fragments de meule proviennent du sommet de la couche cendreuse.

Après tamisage, le sédiment prélevé a livré quelques graines et de nombreuses écailles de poisson.

5.2.2.3 – Le silo F52

Le silo F52, localisé dans la tranchée 9, est la structure située le plus à l'ouest. Elle est apparue à 0,25 m sous la surface et son contour circulaire se démarque assez nettement grâce au comblement limoneux gris foncé, organique, compact et hétérogène (fig. 33). La fosse mesure 1,10 m de diamètre à l'ouverture pour 1,50 m à la base.

22 Détermination G. Jouanin (archéozoologue, CRAVO).

La profondeur maximale du creusement atteint 0,65 m. En coupe, le profil est tronconique (fig. 34). Ce silo apparaît très arasé par rapport aux précédents.

Le comblement principal, d'une épaisseur de 50 cm, est un limon grossier brun-gris compact et homogène au sein duquel on observe des zones à très forte densité de torchis. La base du remplissage se caractérise par un limon fin jaune clair, peu compact, hétérogène avec de rares inclusions blanches (fig. 35).

Le mobilier extrait provient des passes de fouille les plus profondes. 7 formes céramiques ont pu être reconstituées, et renvoient à nouveau à la transition Halstatt final/Tène ancienne. Une soixantaine d'ossements animaux et du matériel de mouture viennent compléter cet ensemble.

5.2.2.4 – Les structures non fouillées

Quatre structures en creux n'ont pas été explorées. Cependant, elles ont fait l'objet d'observations systématiques. Dans trois cas (F49, F50, F51), nous supposons que ces structures correspondent à des silos. Dans le quatrième cas (F55), la forme en plan conduit à une certaine prudence (fig. 36).

– La fosse F49 jouxte le silo F34, qui la recoupe. Apparue à 0,35 m sous la surface, elle présente un contour circulaire et se démarque assez nettement de l'encaissant. Son diamètre à l'ouverture est de 1,16 m (fig. 37).

– La fosse F50 se trouve dans la tranchée 9, dans la fenêtre pratiquée au sud-est. Apparue à 0,35 m sous la surface, son remplissage en plan limono-sableux grossier brun-gris peu compact et hétérogène laisse entrevoir une forme sub-circulaire. Son diamètre à l'ouverture avoisine 1,30 m.

– La fosse F51 se situe à quelques mètres à peine au sud de la fosse F50. Apparue sensiblement à la même profondeur, son comblement est limoneux grossier brun-gris, peu compact et hétérogène. De forme sub-circulaire, elle mesure environ 1,20 m de diamètre. Deux tessons de céramique protohistoriques atypiques ont été collectés en surface.



Fig. 31 : Tranchée 9, silo 34, coupe (Cliché : J.-G. Pariat).



Fig. 32 : Tranchée 9, silo 34, exemple de trace de découpe identifiée sur une côte (Cliché : J.-G. Pariat).



Fig. 33: Tranchée 9, silo 52, vue en plan de la structure (Cliché : A. Lebrun).

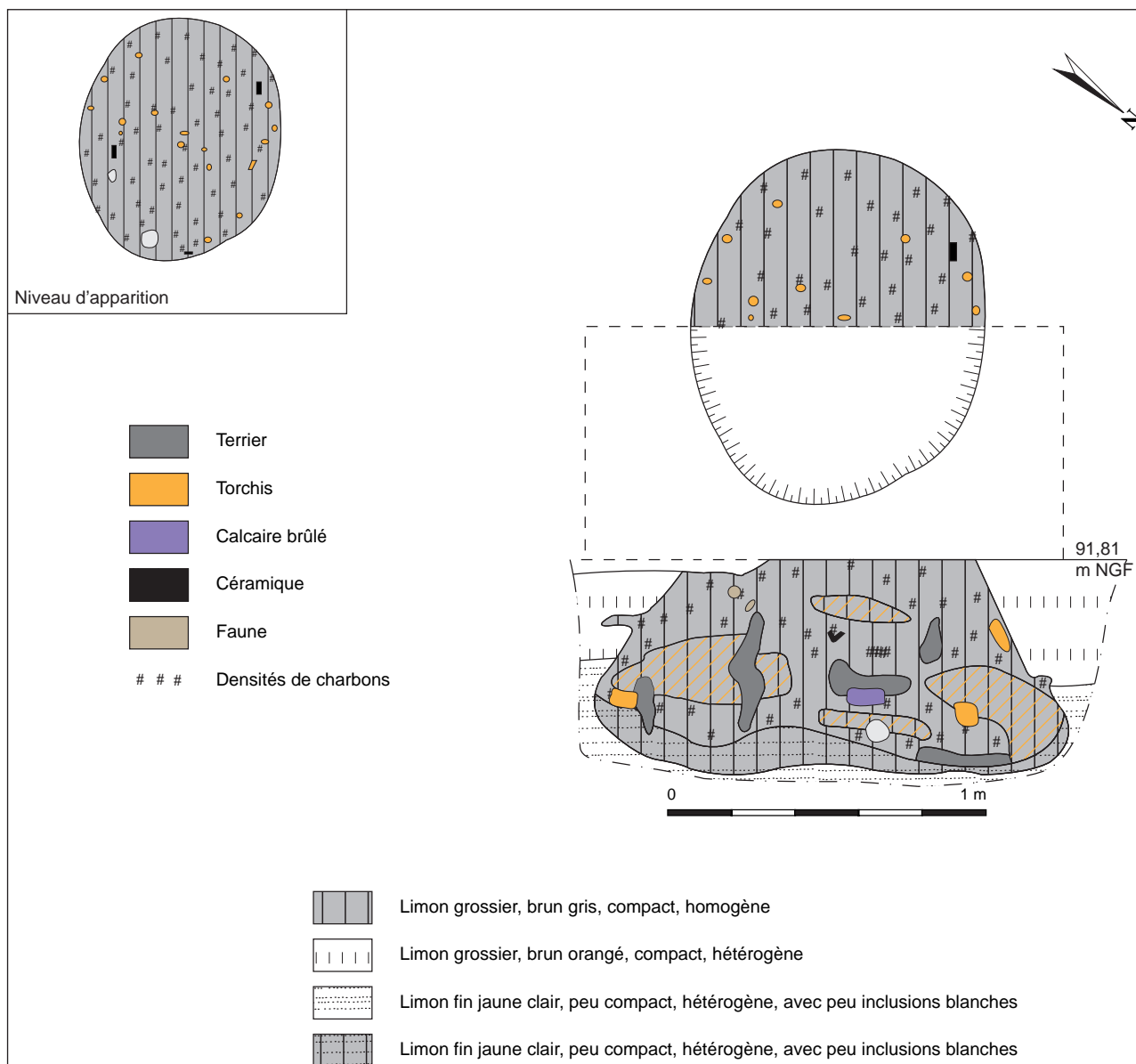


Fig. 34: Tranchée 9, silo 52, plan et coupe (Relevé et DAO : A. Lebrun).



Fig. 35 : Tranchée 9, silo 52, coupe (Cliché : A. Lebrun).



Fig. 36 : Tranchée 9, vue générale des structures dès leur niveau d'apparition (Cliché : J.-G. Pariat).

– La fosse F55 se situe en limite de décapage au sud. Son contour est plus difficile à circonscrire que pour les autres, tant le sédiment de remplissage se distingue mal de l'encaissant. Le contour apparaît sub-circulaire avec un remplissage limoneux argilo-sableux gris compact. Cette fosse mesure 1,60 m de long par 1,40 m de large et se trouve à 40 cm sous la surface.

5.2.3 – Le mobilier céramique des structures protohistoriques

(Par C. Touquet Laporte-Cassagne)

Le diagnostic a permis de recueillir 504 fragments de céramiques pour un poids total de 9,757 kg répartis dans 17 structures.

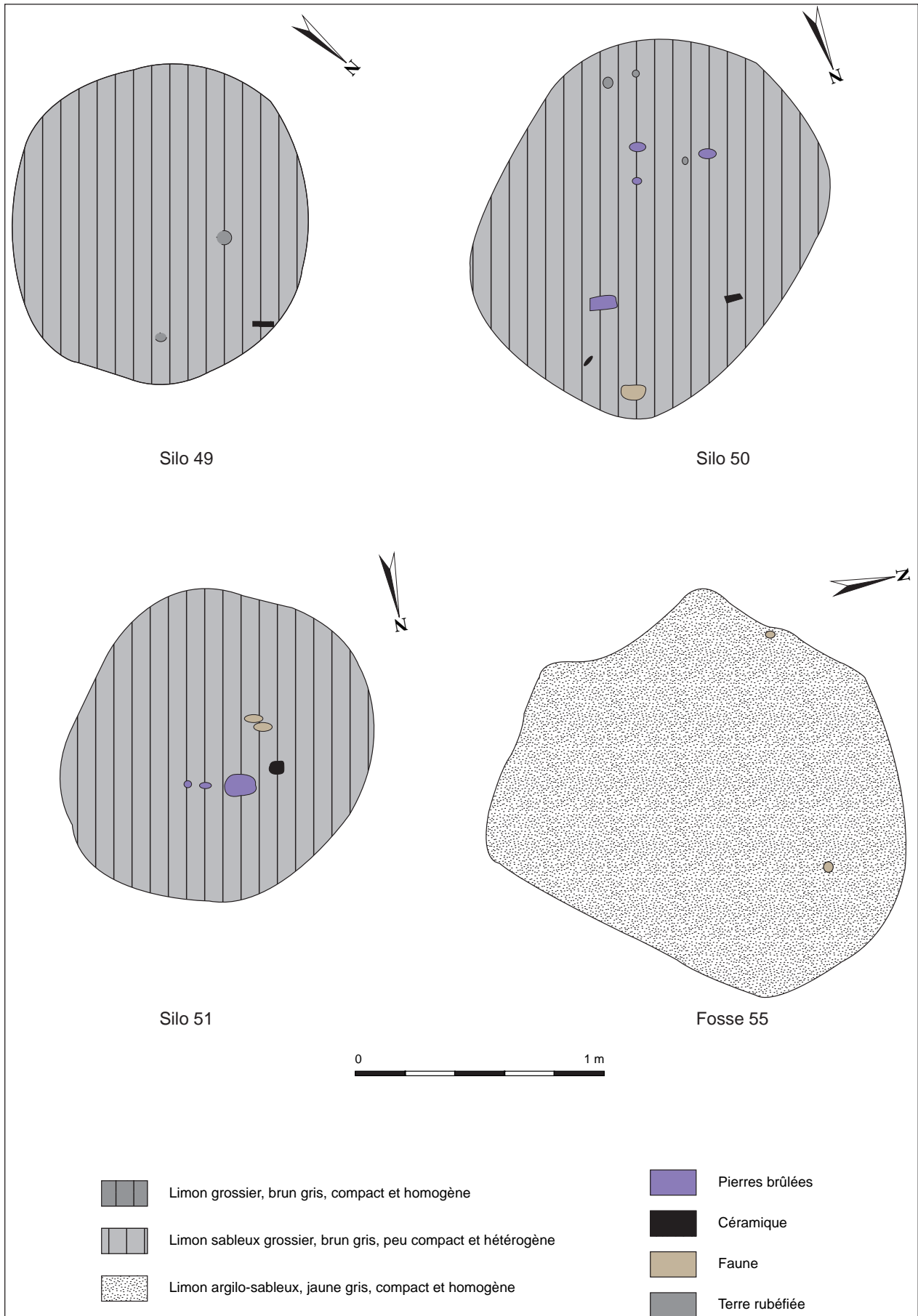


Fig. 37 : Tranchée 9, plans des structures 49, 50, 51, 55 (Relevés : A. Lebrun, J.-G. Pariat, DAO : A. Lebrun).

L'ensemble du matériel a fait l'objet d'un comptage après remontage par contexte, en nombre de fragments (NFR) et en nombre minimum d'individus (NMI), calculés sur les bords additionnés d'éléments susceptibles d'individualiser un récipient²³ (fond ou décor caractéristique), soit 97 individus. Il est également intéressant de noter certains remontages entre deux structures distinctes (silos 33 et 34, tranchée 9), qui témoignent de leur contemporanéité.

Dans l'ensemble, l'état de conservation des fragments est relativement bon. Quelques éléments, souvent recueillis sous le niveau de décapage ou mal cuits, sont friables ou présentent des surfaces érodées. Un vase au profil archéologiquement complet a été recueilli. Le corpus montre également un taux de fragmentation élevé, caractéristique des sites d'habitat, soit 0,19²⁴.

Quatre planches réunissant 31 dessins ainsi que deux planches photos accompagnent cette étude.

5.2.3.1 – Répartition du mobilier par structures

L'essentiel du mobilier se répartit entre six structures fouillées à 50% ou à 100% (cf. tab. 1). Il s'agit de silos situés au sud du diagnostic, dans les tranchées 1 et 9, distants d'environ 300 mètres. Le reste du matériel, relativement disparate, a été mis au jour lors du décapage de deux fosses interprétées comme des silos situés dans la tranchée 9, ainsi que lors de sondages manuels effectués dans des fossés répartis sur la moitié sud de l'emprise.

Certains fragments, vraisemblablement résiduels, ont également été identifiés dans des structures datées de l'époque antique ou moderne (tab. 1).

Cette étude portera donc principalement sur la céramique découverte dans les silos des tranchées 1 et 9.

Tranchée	Structure	Identification	NFR	NMI	Fouillé à
1	4	Silo	95	16	50%
	46	Silo	32	15	50%
	47	Silo	126	17	50%
2 et 5	7	Fossé	2		10%
5	16	Fossé	1		10%
6	22	Fossé	1		10%
	23	Fossé	2		10%
	27	Fossé	2		10%
7	31	Fossé	1		10%
	28	Fossé	4	1	non fouillé
9	33	Silo	55	13	50%
	34	Silo	108	27	50%
	52	Silo	24	7	50%
	51	Fosse	2		non fouillé
	55	Fosse	1		non fouillé
18	45	Fossé	1		non fouillé
	44	Mur	1	1	10%
Total			458	97	

Tab. 1 : Répartition du mobilier céramique par structures (les fragments découverts hors contexte n'ont pas été pris en compte, soit 46 tessons).

5.2.3.2 – Caractéristiques morphologiques et typologiques

Les fragments de céramiques sont exclusivement non tournés. Un faible lot de tessons n'a pu être identifié du fait du mauvais état de conservation et de la fragmentation élevée. Ils ont donc été inventoriés en indéterminés et représentent un peu plus de 6% du corpus.

L'étude des pâtes a permis de mettre en évidence une matrice commune constituée d'argile sableuse, mais en l'absence d'observation microscopique, les caractérisations minéralogiques n'ont pu être davantage approfondies. Néanmoins, l'examen à l'œil nu a permis de distinguer deux grandes catégories. Il s'agit des pâtes grossières qui représentent 64% et des pâtes mi-fines, représentées par 148 fragments, soit 29%.

Les pâtes grossières

Les observations réalisées à l'œil nu sur les pâtes grossières, ont permis de mettre en évidence l'utilisation du montage aux colombins, illustré notamment par des cassures préférentielles au niveau des jonctions, reconnues comme des zones de faiblesses. La technique du modelage du fond à partir d'une motte d'argile a également été identifiée par la présence de nombreuses traces digitées témoignant d'étirement de la pâte de la base vers la partie supérieure de la panse.

23 La comptabilisation des vases répond aux protocoles proposés lors de la Table-Ronde du Mont-Beuvray par P. Arcelin et M. Truffeau-Libre, 1998.

24 Le taux de fragmentation est obtenu par le rapport entre le nombre minimum d'individus (NMI) et le nombre de fragments (NFR).

Les pâtes grossières sont illustrées par des récipients dont la cuisson en atmosphère réductrice est souvent mal maîtrisée, que caractérisent des surfaces brunes à marrons ou orangées à rouges et à cœur sombre. Certains tessons présentent également les caractéristiques d'une sur-cuisson ou d'un repassage au feu : porosité importante, son métallique et fissures des parois.

Les pâtes sont siliceuses avec la présence de nombreuses inclusions comprises entre 1 et 5 mm réparties de manière aléatoire dans la matrice. Les dégraissants observés à l'œil nu sont de nature calcaire, quartzreuse ou chamottée. Les pâtes chamottées prennent souvent un aspect feuilleté, très friable.

Peu de traitements de surfaces ont été distingués. En effet, les vases sont simplement lissés à la main ou grossièrement à la touffe végétale ce qui leur confère un aspect très rugueux au toucher. Certains récipients n'ont pas fait l'objet d'attention particulière (surfaces laissées brutes).

Les décors observés sont principalement des impressions digitées portées sur la partie sommitale des bords. Un décor de petites incisions oblongues réalisées à l'aide d'un outil a également été identifié sur la jonction col/panse d'un récipient. Enfin, plusieurs fragments décorés d'un cordon d'argile digité ont été recueillis sur le site (Pl. 1-6 et Pl. 5-5).

Les formes identifiées correspondent à des formes basses ouvertes illustrées par des jattes tronconiques (Pl. 3-2, 3 et 10 et Pl. 4-1 et 5), carénées (Pl. 1-2) ou convexes (Pl. 3-4, 6 et 11), une jarre carénée de volume important (Pl. 1-1) ainsi que des faisselles tronconiques (Pl. 2-5 et Pl. 3-5). Une seule forme haute fermée a été identifiée, correspondant à un pot dont la forme générale de la panse n'a pu être déterminée (Pl. 1-4). Quelques fonds de diamètre important (environ 15 cm) ainsi que des fragments de panses d'épaisseur comprise entre 1 et 2 cm, laissent également envisager la présence de vases de stockage dans le corpus.

Enfin, un fragment de bord de jatte festonnée a également été mis au jour (Pl. 3-12).

Les pâtes mi-fines

Les pâtes mi-fines sont caractérisées par l'utilisation d'une argile sableuse contenant des inclusions inférieures à 1 mm encore visibles à l'œil nu, réparties de manière hétérogène dans la pâte. Seuls deux tessons présentent des inclusions calcaires ou quartzreuses, cette faible représentation plaçant ainsi en faveur d'une sélection de l'argile pour sa finesse. La structure même de la pâte est dense, et la cuisson en atmosphère réductrice semble être mieux maîtrisée. Les surfaces des tessons sont de couleur noire à marron-brune, parfois beige et à cœur sombre.

Le mode de façonnage est plus difficile à appréhender sur cette catégorie de récipients, ces derniers ayant pour la plupart subi une phase de finition importante sur leurs surfaces. Néanmoins, certaines fractures préférentielles semblent orienter la technique du façonnage vers celle du colombin, voire du modelage pour un récipient de petite taille.

Les récipients à pâte mi-fine présentent un aspect souvent très soigné des surfaces, à vocation à la fois fonctionnelle (étanchéité) et décorative. Ainsi, les surfaces sont systématiquement régularisées soit par un lissage appuyé (aspect mat et légèrement rugueux au toucher), soit par un polissage, voire lustrage, des deux faces au cours du séchage du vase.

Les décors identifiés correspondent à un décor couvrant d'incisions verticales ou horizontales réalisées au poinçon, sur la face externe (Pl. 2-6) ou interne (Pl. 5-4), ou un décor d'impressions digitées situées sur la partie sommitale du bord et à la jonction col/panse (Pl. 4-2). Le décor le plus récurrent sur les récipients à pâte mi-fine est le décor peint. Cinq récipients peints ou présentant des traces de peinture ont ainsi été identifiés. Cependant, ces décors sont difficilement appréciables du fait de leur mauvais état de conservation, ou de leur couleur (barbotine) qu'il est parfois délicat de distinguer de celle des surfaces des vases. Néanmoins, trois techniques d'application du décor peint ont pu être déterminées :

– utilisation de barbotine formant des décors géométriques ;

– application de motifs géométriques à la peinture ;

– association d’aplat de barbotine et de motifs géométriques à la peinture.

La barbotine identifiée est de couleur noire, sans relief. La peinture est rouge, ou orangée à rouge. Les motifs géométriques réalisées à la peinture sont des chevrons ; ils sont soit encadrés par une fine ligne incisée (Pl. 3-1 et Pl. 5-1), soit associés à des points (Pl. 3-8 et Pl. 5-2). Ce dernier type correspond au type 3 des motifs recensés à Milly-La-Forêt «le Bois Rond»²⁵ (Essonne). Les motifs de décor à la barbotine correspondent à de larges aplats verticaux espacés (Pl. 2-3) ou à des lignes verticales et horizontales proches du motif de l’échelle identifié à Milly-la-Forêt (Pl. 3-9 et Pl. 5-3).

Les formes identifiées correspondent à des formes basses ouvertes illustrées par des jattes (Pl. 2-2, Pl. 3-8 et Pl. 4-6) ou un micro-vase carénés (Pl. 2-4) et des jattes – ou bols ? – convexes (Pl. 4-2). Les formes hautes ouvertes sont également présentes dans le corpus, et identifiées comme des vases bouteilles (Pl. 1-5 et Pl. 2-3). Enfin, les formes basses fermées et ouvertes sont respectivement représentées par un individu : jatte carénée (Pl. 3-1) et jarre fortement carénée et de volume important (Pl. 2-1).

Les décors peints sont associés au vase bouteille et aux jattes carénées. La jarre carénée de gros volume semble également porter des traces de peinture rouge, mais elle est malheureusement mal conservée, ce qui ne permet pas d’en appréhender l’organisation générale. Les motifs à la peinture sont portés sur la partie supérieure de la panse, généralement sous la jonction col/panse.

Enfin, un exemplaire à pâte mi-fine présente un trou de réparation sur la partie supérieure de la panse, réalisé après cuisson.

L’*instrumentum* en terre cuite

Cette catégorie est représentée par un seul objet identifié comme étant une fusaïole, mise au jour dans le silo 34 (tranchée 9). Elle mesure 2,5 cm de diamètre pour 1,3 cm d’épaisseur, avec un diamètre de perforation compris en 2 et 4 mm. L’étroitesse de ce dernier, ainsi que la forte similitude morphologique avec des perles en terre cuite laisse cependant planer un doute quant à sa véritable fonction²⁶.

5.2.3.3 – Comparaisons typologiques et chronologie

Sur les 22 formes clairement identifiées, la répartition quantitative des récipients montre une majorité de jattes avec 15 individus. Ont également été recueillis 2 jarres, 2 vases bouteilles, 1 pot, 1 micro-vase et 2 faisselles.

– Les jattes tronconiques sont représentées par 5 individus. Elles sont majoritairement à pâte grossière et les surfaces sont grossièrement égalisées. Les lèvres sont droites, arrondies ou légèrement aplaties, sans inflexion. Ce type de récipient semble apparaître au Hallstatt final et se développe surtout au cours de La Tène ancienne et jusqu’à La Tène moyenne²⁷.

– Les jattes convexes sont au nombre de 5 individus et sont caractérisées par une panse plus arrondie et un bord en forme de bourrelet légèrement rentrant et pincé. Les exemplaires mis au jour sont en majorité à pâte grossière et surfaces très frustes, un seul vase étant à pâte mi-fine et présentant un décor d’impressions digitées sur la partie sommitale de la lèvre et sur la partie supérieure de la panse. Ce type de récipient est relativement bien connu sur les sites datés du Hallstatt final et de La Tène ancienne²⁸.

– Les jattes carénées sont représentées par 5 individus. Une jatte est à col droit et lèvre simple arrondie (Pl. 1-2). Deux autres exemplaires présentent un col haut et légèrement concave, ainsi qu’une lèvre épaissie arrondie et droite (Pl. 2-2

26 Viand *et al.* 2006, p. 105.

27 Marion 2004, vol.1, p.307

28 Bardel 2006, p. 86 (type C 100).

25 Bardel 2006, p. 95.

et Pl. 4-6). Le troisième récipient présente un col court et concave et une lèvre arrondie très légèrement déversée (Pl. 3-1). Ce dernier présente un décor peint, illustré par l'association d'aplat de barbotine noire sur lequel un décor de chevron finement incisé et peint en rouge a été réalisé. Cette association de décor peint délimité par de fines incisions est connue sur le site picard de Thiverny (Oise) daté du Hallstatt final²⁹. Le dernier exemplaire caréné présente un col haut et concave, et une lèvre simple arrondie très légèrement déversée. La carène est adoucie et le col est souligné d'une rainure réalisée au brunissoir sur pâte encore humide. Un décor peint réalisé sur la carène, représente une série de petits chevrons associés à des points, correspondant au motif de type 3 identifié à Milly-La-Forêt «Le Bois Rond»³⁰.

Ces quatre types de jatte carénée sont connus dès le Hallstatt final (Gonesse «ZAC des Tulipes Sud»³¹, Herblay «ZAC de l'Olympium»³²) jusqu'à La Tène moyenne, mais les exemplaires peints plaident en faveur d'une datation centrée sur la fin du Hallstatt final et le début de La Tène ancienne.

– Les deux jarres sont carénées. Le premier exemplaire est à pâte grossière calcaire et surfaces très frustes. Cet individu semble également avoir été repassé au feu. Il présente un décor de fines incisions oblongues réalisées à l'outil et portées sur la carène, ainsi qu'un décor d'impressions digitées sur le sommet de la lèvre. Cette forme fait écho à celle mise au jour sur le site de Meaux «ZAC du Luxembourg»³³, datée du Hallstatt final. La seconde jarre carénée est à pâte mi-fine sableuse (Pl. 2-1). Les surfaces ont été soigneusement polies et d'éventuelles traces de peintures rouges ont été observées. Cette forme, à la carène très anguleuse et à petite lèvre droite légèrement pincée, est connue sur les sites de Gonesse «ZAC des Tulipes Sud»³⁴, mais également à Milly-La-Forêt «Le Bois Rond»³⁵ et

Changis-sur-Marne «les Pétreaux»³⁶, tous datés de la fin du Hallstatt et du début de La Tène ancienne.

– Les deux parties supérieures des vases bouteilles sont à pâte mi-fine sableuse et les surfaces ont été soigneusement polies, voire lustrées. Les bords sont arrondis ou légèrement aplatis. L'un des deux exemplaires présente des traces d'un enduit noir assez brillant sur la face interne, correspondant sans doute à des vestiges de poissage. Le second exemplaire présente sur sa face externe des traces de barbotine noire assez délicates à identifier du fait du mauvais état de conservation. Il semblerait toutefois s'agir de larges bandes verticales espacées, sur lesquelles une ligne oblique beige clair (barbotine ?) semble avoir été réalisée. Ce type de récipient est proche des productions recueillies sur le site de Milly-La-Forêt³⁷, datées du Hallstatt final/La Tène ancienne.

– Le bord de pot mis au jour à Cergy est à pâte grossière chamottée, et les surfaces sont soigneusement lissées. La lèvre présente un décor digité sur son sommet, le col est court et légèrement concave. Un exemplaire découvert à Milly-La-Forêt peut être rapproché de cette forme³⁸ et daté de la transition Hallstatt final / La Tène ancienne.

– Le pot miniature est modelé à pâte mi-fine sableuse et surfaces polies. Il présente une carène anguleuse et une lèvre déversée arrondie. Ce type de micro-vase est largement diffusé depuis l'âge du Bronze, mais l'exemplaire présent dans ce corpus s'apparente aux formes du Hallstatt et de La Tène ancienne, en particulier par sa carène fortement prononcée.

– Les deux faisselles mises au jour à Cergy sont à pâte grossière calcaire ou sableuse et leurs surfaces sont lissées soigneusement sur leur face interne et plus grossièrement sur la face externe. Leur forme tronconique est conforme aux faisselles issues de contextes datés du Hallstatt final/La Tène ancienne³⁹.

29 Durvin et Brunaux 1983, p.14.

30 Bardel 2005, p. 95

31 Bauvais 2002, fig. 65 et fig. 67.

32 Valais 1993, fig. 41.

33 Marion 2004, vol. 2, p. 903

34 Bauvais 2002, fig. 59.

35 Bardel 2006, p. 193-n° 23

36 Marion 2004, vol. 2, p. 757.

37 Bardel 2006, p. 196 n° 30 et p. 207 n° 8

38 Bardel 2006, p. 81 (type G100)

39 Bardel 2006, p. 83, type A420.

Il est également intéressant de noter la présence de trois petits fragments de fond à cupule, réalisés dans des pâtes mi-fines sableuses et aux surfaces soigneusement polies. Ce type de fond est connu sur les sites datés du Hallstatt final, tels qu'à Thiverny⁴⁰ (Oise), Ecuelles Charmoy⁴¹ (Seine-et-Marne) ou à Milly-La-Forêt⁴² (Essonne).

Enfin, les décors couvrant d'incisions verticales ou horizontales réalisées au poinçon se rencontrent rarement sur les sites du Hallstatt final mais se développent largement à La Tène ancienne.

Les caractéristiques morphologiques et décoratives des fragments issus des silos des tranchées 1 et 9 répondent donc aux critères de datation de la transition du Hallstatt final et de La Tène ancienne connus dans le Bassin Parisien.

La découverte d'un tel corpus, associé à des structures d'ensilage distantes d'environ 300 mètres, est d'autant plus intéressante qu'elle illustre une période encore très faiblement représentée dans ce secteur du département. Une fouille extensive permettrait de préciser non seulement cette implantation rurale datée de la transition Hallstatt / La Tène, mais également d'alimenter le corpus de céramique de cette période charnière et d'en distinguer les aires d'influences. Ce nouvel ensemble permettrait en outre de constituer une collection de référence pour le nord-ouest de l'Ile-de-France.

Les autres fragments issus des structures réparties sur l'ensemble de l'emprise, ont également été identifiés comme appartenant aux productions protohistoriques, mais en l'absence de formes caractéristiques, aucune précision chronologique n'a pu être établie.

5.2.3.4 – Description des céramiques

Tous les objets céramiques ont été mis au net sur le logiciel Adobe Illustrator et réduits à l'échelle 1/3, à l'exception de la fusaiole laissée à l'échelle 1. Seuls les traitements de surfaces externes sont représentés : les surfaces grossièrement égalisées

sont réalisées au point (0,25 ou 0,5) ; les surfaces lissées sont représentées au point à 0,25 et les surfaces polies sont laissées neutres. Les décors d'incisions ou d'impressions sont réalisés au trait plein à 0,25 d'épaisseur. Les décors peints sont représentés en trame grisée foncée, rouge, orangée ou beige.

Les photographies ont été scannées puis laissées à l'échelle 1 avec ombrage réalisé sur le logiciel Adobe Photoshop.

Tranchée 1, silo 4 (fig. 38)

1 – Profondeur : -55 cm / -86 cm : bord et haut de panse de jarre carénée non tournée à pâte grossière calcaire et surfaces grossièrement égalisées. Le récipient semble avoir été repassé au feu (fragments très poreux, de couleur orangé brique). La lèvre est en forme de petit bourrelet légèrement déversé et présente un décor d'impressions digitées sur sa partie sommitale. Un décor de petites incisions oblongues a été réalisé sur la carène peu marquée. Diamètre à la carène : 44 cm.

2 – Profondeur : -3 cm / -13 cm : bord et haut de panse de jatte carénée non tournée à pâte grossière sableuse. La face interne a été soigneusement lissée et la face externe a été polie. La carène est anguleuse, la lèvre est droite arrondie. Diamètre à la carène : 27 cm.

3 – Profondeur : -34 cm / -55 cm : bord de vase indéterminé non tourné à pâte grossière sableuse et surfaces lissées grossièrement. La lèvre est droite et arrondie et présente un décor d'impressions digitées sur sa partie sommitale. Diamètre indéterminé.

4 – Profondeur : -117 cm / -139 cm : bord et haut de panse de pot non tourné à pâte grossière chamottée et surfaces lissées avec soin. La lèvre est droite et présente un décor d'impressions digitées sur sa partie sommitale. Le col est court et resserré. Diamètre à l'ouverture : 30 cm.

5 – Profondeur : -13 cm / -25 cm : bord et haut de panse de vase bouteille non tourné à pâte mi-fine sableuse et surfaces polies. La face interne présente les traces d'une sorte d'enduit noir très brillant. La lèvre est droite et légèrement biseautée. Diamètre à l'ouverture : 24 cm.

40 Durvin et Brunaux 1983, p. 28

41 Bardel 2005, p. 216, n° 4.

42 Bardel 2006, p. 220 n° 2

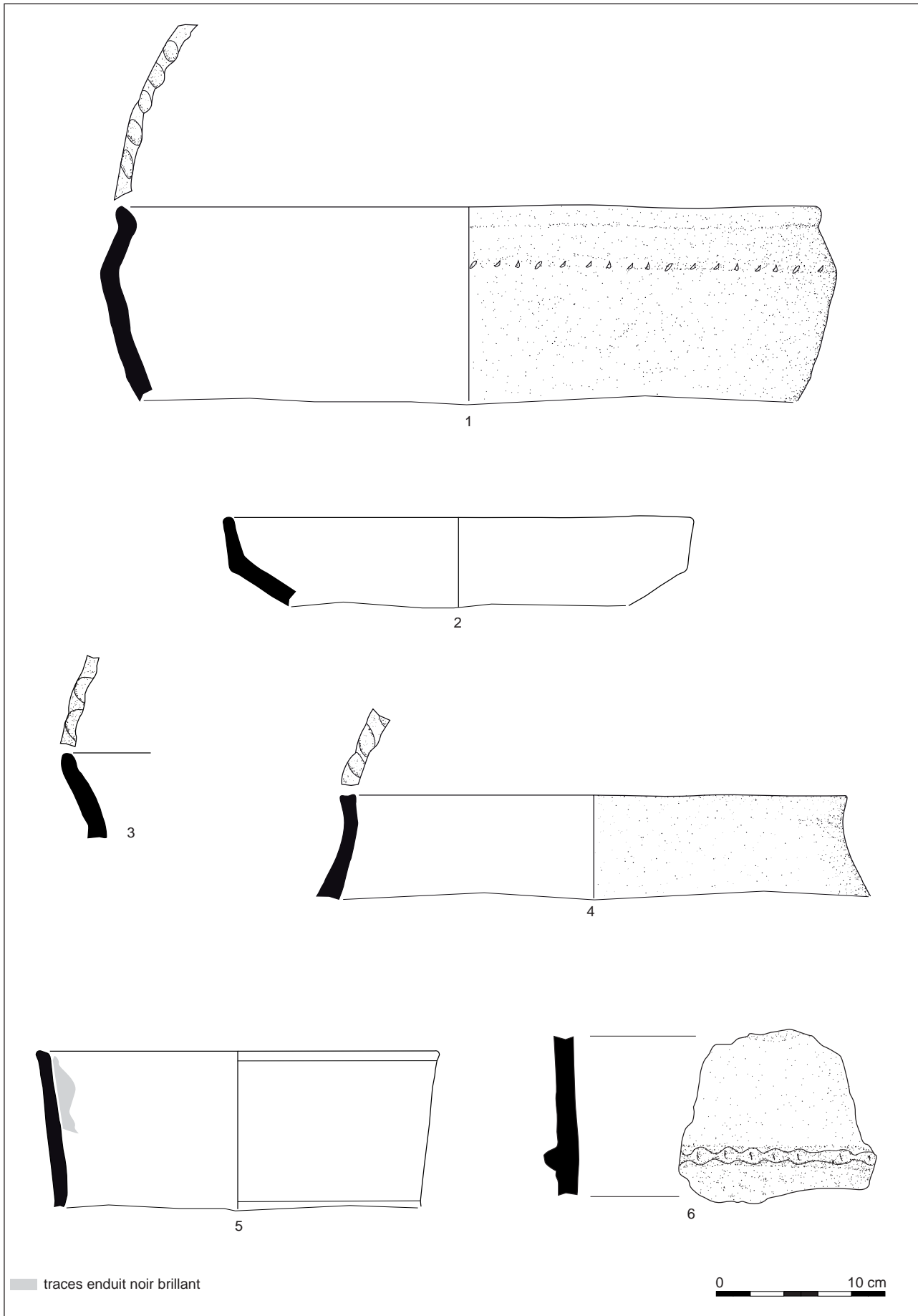


Fig. 38: Tranchée 1, silo 4, principales formes céramiques (Dessin, DAO : C. Toupet Laporte-Cassagne).

6 – Profondeur : –34 cm / –55 cm : Fragment de panse de pot (?) non tourné à pâte grossière sableuse et surfaces grossièrement égalisées. Décor de cordon d'argile appliqué sur la panse puis pincé et digité (traces d'ongles).

Tranchée 1, silo 47 (fig. 39)

1 – Profondeur : –160 cm / –180 cm : bord et panse de jarre carénée non tournée à pâte mi-fine sableuse et surfaces polies. La carène est fortement anguleuse, le col rentrant et la lèvre est droite arrondie et légèrement pincée. Des traces de peinture rouge ont été identifiées sur le col, sans pour autant en préciser la nature ni l'organisation. Diamètre à l'ouverture : 48 cm.

2 – Profondeur : –40 cm / –60 cm : bord et haut de panse de jatte carénée non tournée à pâte mi-fine sableuse et surfaces polies. La carène est anguleuse, le col est légèrement concave et la lèvre est droite arrondie. Diamètre à l'ouverture : 19 cm.

3 – Profondeur : –80 cm / –100 cm : bord et haut de panse de vase bouteille non tourné à pâte mi-fine sableuse et surfaces polies. La lèvre est aplatie. Traces de décor de bandes verticales à la barbotine noire et probable bande en diagonale de barbotine blanche (mal conservée). Diamètre à l'ouverture : 19 cm.

4 – Profondeur : –160 cm / –180 cm : bord et haut de panse de pot caréné miniature non tourné à pâte mi-fine sableuse et surfaces polies. La carène est anguleuse et la lèvre est déversée arrondie. Diamètre à l'ouverture : 7,5 cm.

5 – Profondeur : surface / –20 cm : bord et haut de panse de faisselle tronconique non tournée à pâte grossière calcaire et surfaces grossièrement égalisées. La lèvre est droite et légèrement pincée. Une série de trois petits trous compris entre 4 et 5 mm de diamètre ont été réalisés sur pâte humide à l'aide d'un outil (tube végétal ?). Diamètre indéterminé.

6 – Profondeur : –80 cm / –100 cm : fragment de panse de récipient non tourné à pâte mi-fine sableuse et surfaces polies. Un décor d'incisions réalisées au poinçon (?) est présent sur la face

externe sous forme de larges bandes verticales et horizontales, alternant avec des espaces polis.

Tranchée 9, silo 34 (fig. 40)

1 – Profondeur : –100 cm / –120 cm : bord et panse de jatte carénée non tournée à pâte mi-fine sableuse et surfaces polies. La carène est adoucie, le col est concave et la lèvre est légèrement déversée arrondie. La face externe présente un décor couvrant de barbotine noire sur lequel un chevron au contour finement incisé a été peint en rouge. Diamètre à l'ouverture : 13 cm.

2 – Profondeur : –80 cm / –100 cm : bord et panse de jatte tronconique non tournée à pâte grossière sableuse et surfaces grossièrement égalisées. La lèvre est droite arrondie. Diamètre à l'ouverture : 21 cm.

3 – Profondeur : –60 cm / –80 cm : bord et haut de panse de jatte tronconique non tournée à pâte grossière sableuse et surfaces grossièrement égalisées. La lèvre est droite arrondie. Diamètre à l'ouverture : 18 cm.

4 – Profondeur : –60 cm / –80 cm : bord et haut de panse de jatte convexe non tournée à pâte grossière sableuse et surfaces grossièrement égalisées. La lèvre est en forme de bourrelet pincé vers l'intérieur. Diamètre à l'ouverture : 24 cm.

5 – Profondeur : –80 cm / –100 cm : bord et haut de panse de faisselle tronconique non tournée à pâte grossière sableuse et surfaces grossièrement égalisées. La lèvre est droite et arrondie, une série de petits trous compris entre 4 et 6 mm ont été réalisés sur pâte humide à l'aide d'un outil (tube végétal ?). Diamètre à l'ouverture : 22 cm.

6 – Profondeur : –100 cm / –120 cm : bord et haut de panse de jatte convexe non tournée à pâte grossière sableuse et surfaces grossièrement égalisées. La lèvre est en forme de petit bourrelet arrondi. Diamètre à l'ouverture : 23 cm.

7 – Profondeur : surface / –20 cm : bord et haut de panse de récipient indéterminé (vase bouteille ?) non tourné à pâte mi-fine sableuse et surfaces polies. La lèvre est en forme de petit bourrelet arrondi légèrement déversée. Diamètre à l'ouverture : 33 cm.

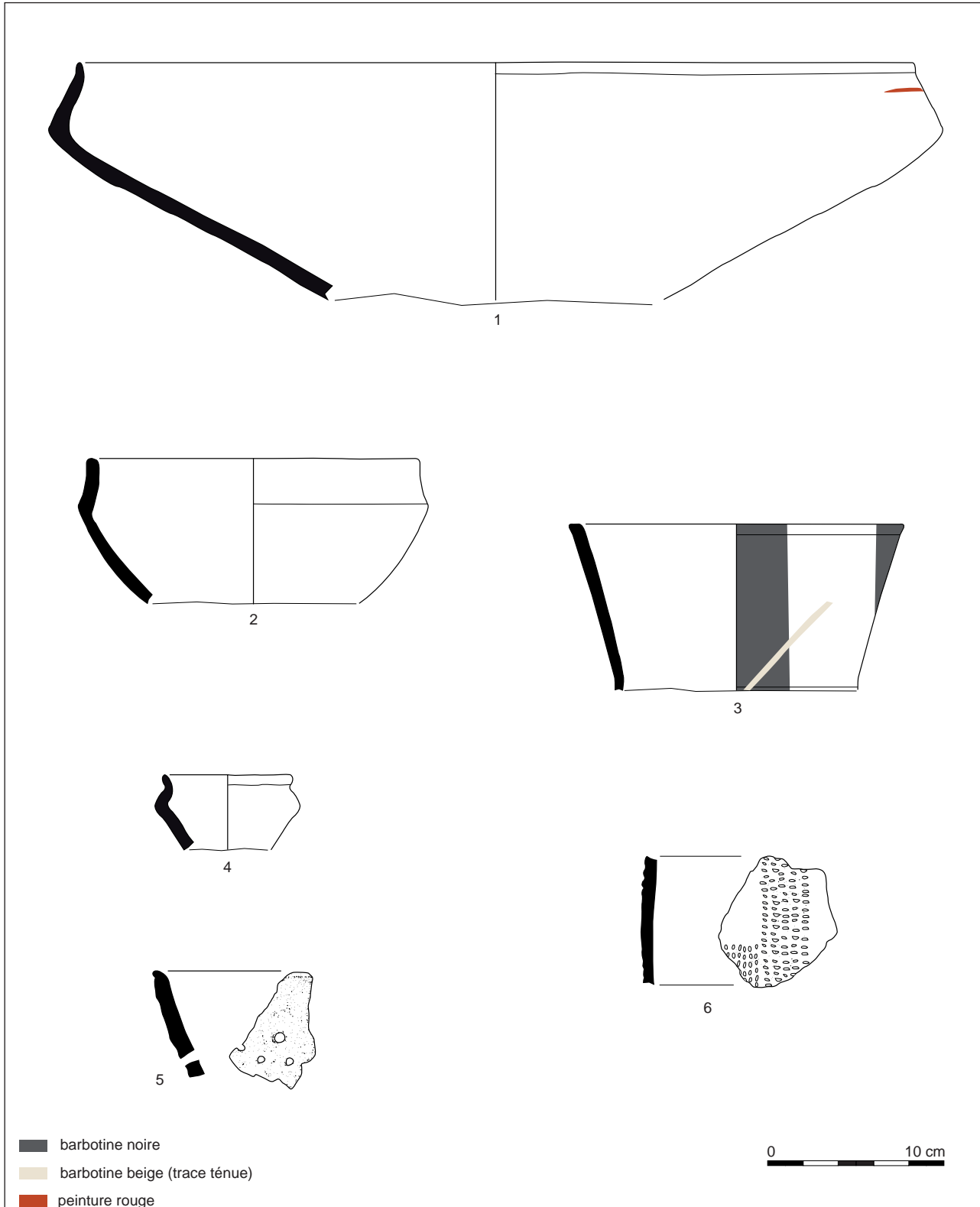


Fig. 39: Tranchée 1, silo 47, principales formes céramiques (Dessin, DAO : C. Toupet Laporte-Cassagne).

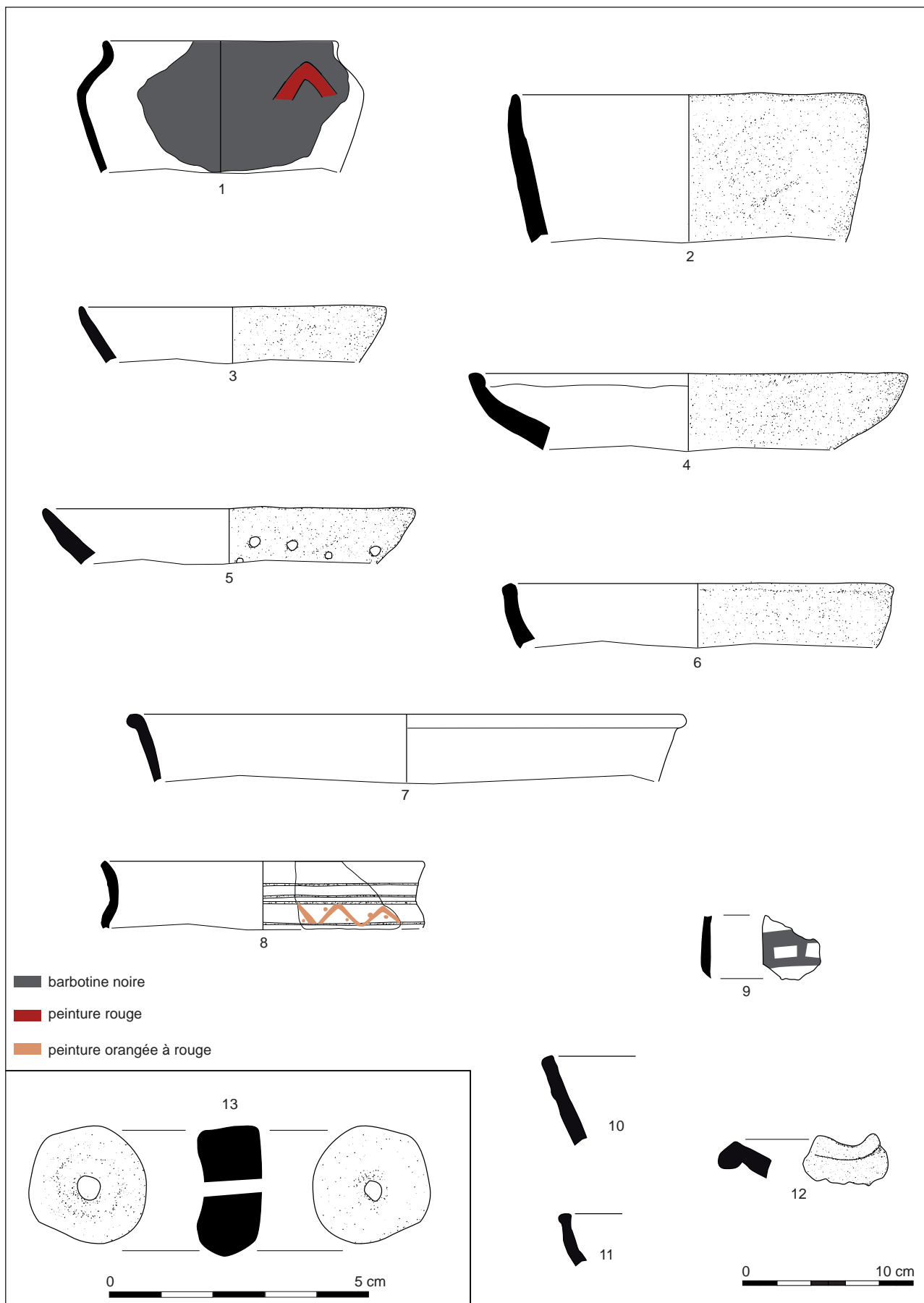


Fig. 40: Tranchée 9, silo 34, principales formes céramiques (Dessin, DAO: C. Toupet Laporte-Cassagne).

8 – Profondeur : surface / 20 cm : bord et haut de jatte carénée non tournée à pâte mi-fine sableuse et surfaces polies. La carène est adoucie, le col est resserré et la lèvre est légèrement déversée arrondie. Un décor de fines bandes horizontales réalisées à la pointe mousse se développe sur le col et sur la carène, entre lesquels a été réalisé un décor de chevrons et de points à la peinture orangé/rouge. Diamètre à la carène : 19 cm.

9 – Profondeur : –80 cm / –100 cm : fragment de panse non tournée à pâte mi-fine sableuse et surfaces polies. Un décor de lignes verticales et horizontales a été réalisé à la barbotine noire.

10 – Profondeur : –60 cm / –80 cm : bord et haut de panse de jatte tronconique non tournée à pâte grossière sableuse et surfaces grossièrement égalisées. Bord droit et arrondi. Diamètre indéterminé.

11 – Profondeur : –100 cm / –120 cm : bord et haut de panse de jatte convexe non tournée à pâte grossière sableuse et surfaces grossièrement égalisées. Lèvre en forme de bourrelet pincé. Diamètre indéterminé.

12 – Profondeur : –80 cm / –100 cm : bord de jatte festonnée (?) non tournée à pâte grossière sableuse et surfaces grossièrement égalisées. Diamètre indéterminé.

13 – Profondeur : –80 cm / –100 cm : fusaïole de 2,5 cm de diamètre et 1,3 cm d'épaisseur.

Tranchée 9, silos 33 et 52 (fig. 41, 42, 43)

1 – Silo 33, US 3 (–20 / –40 cm) : bord et haut de panse de jatte tronconique non tournée à pâte mi-fine sableuse et surfaces lissées. Lèvre droite et arrondie. Diamètre à l'ouverture : 23 cm.

2 – Silo 33, US 1 et 2 (0 / –20 cm) : bord et panse de jatte (bol ?) non tournée à pâte mi-fine sableuse et surfaces lissées. Lèvre droite arrondie et présentant un décor d'impressions digitées sur sa partie sommitale. Un décor d'impressions digitées souligne également la jonction col/panse. Certains fragments de ce vase ont également été retrouvés dans le silo 34. Diamètre à l'ouverture : 13 cm.

3 – Silo 33, US 1 et 2 (0 / –20 cm) : bord de récipient indéterminé, non tourné à pâte mi-fine

sableuse et surfaces polies. Lèvre en petit bourrelet arrondi et déversé. Diamètre à l'ouverture : 35 cm.

4 – Silo 33, US 1 et 2 (0 / –20 cm) : bord de récipient indéterminé, non tourné à pâte mi-fine sableuse et surfaces polies. Lèvre en forme de bourrelet déversé. Diamètre à l'ouverture : 28 cm.

5 – Silo 52, profondeur –20 cm / –40 cm : bord et panse de jatte tronconique non tournée à pâte grossière sableuse et surfaces grossièrement égalisées. La lèvre est droite arrondie et pincée vers l'intérieur. Diamètre à l'ouverture : 31 cm.

6 – Silo 52, profondeur –20 cm / –40 cm : jatte carénée non tournée à pâte mi-fine sableuse et surfaces lissées. Le fond est plat, la carène est adoucie, le col est légèrement concave et la lèvre est droite, épaissie arrondie. Diamètre du fond : 5,5 cm.

5.2.4 – Synthèse et perspectives

5.2.4.1 – Chronologie

L'étude des différentes céramiques associées aux silos protohistoriques découverts dans la partie sud de l'emprise permet d'affiner la chronologie de l'occupation. Malgré l'éloignement des deux zones abritant des structures protohistoriques, la datation proposée est homogène et renvoie à la transition Hallstatt final / Tène ancienne.

Cette période transitionnelle est méconnue en Val d'Oise. Les ensembles céramiques de référence sont rares et demanderaient à être enrichis par des fouilles exhaustives, les opérations les plus récentes, réduites à des diagnostics sans recherches approfondies comme au « Parc d'Activités de l'Horloge, Lot C » à Puiseux-Pontoise⁴³, ayant livré peu d'éléments.

La situation n'est pas si différente à l'échelle régionale. Ainsi, la période de transition entre le 1^{er} âge du Fer et le 2nd âge du Fer est mal connue dans le Sénonais où les faciès céramiques Hallstatt final demandent à être mieux documentés⁴⁴.

43 Durand 2006.

44 Desrayaud *et al.* 2011, p. 123.

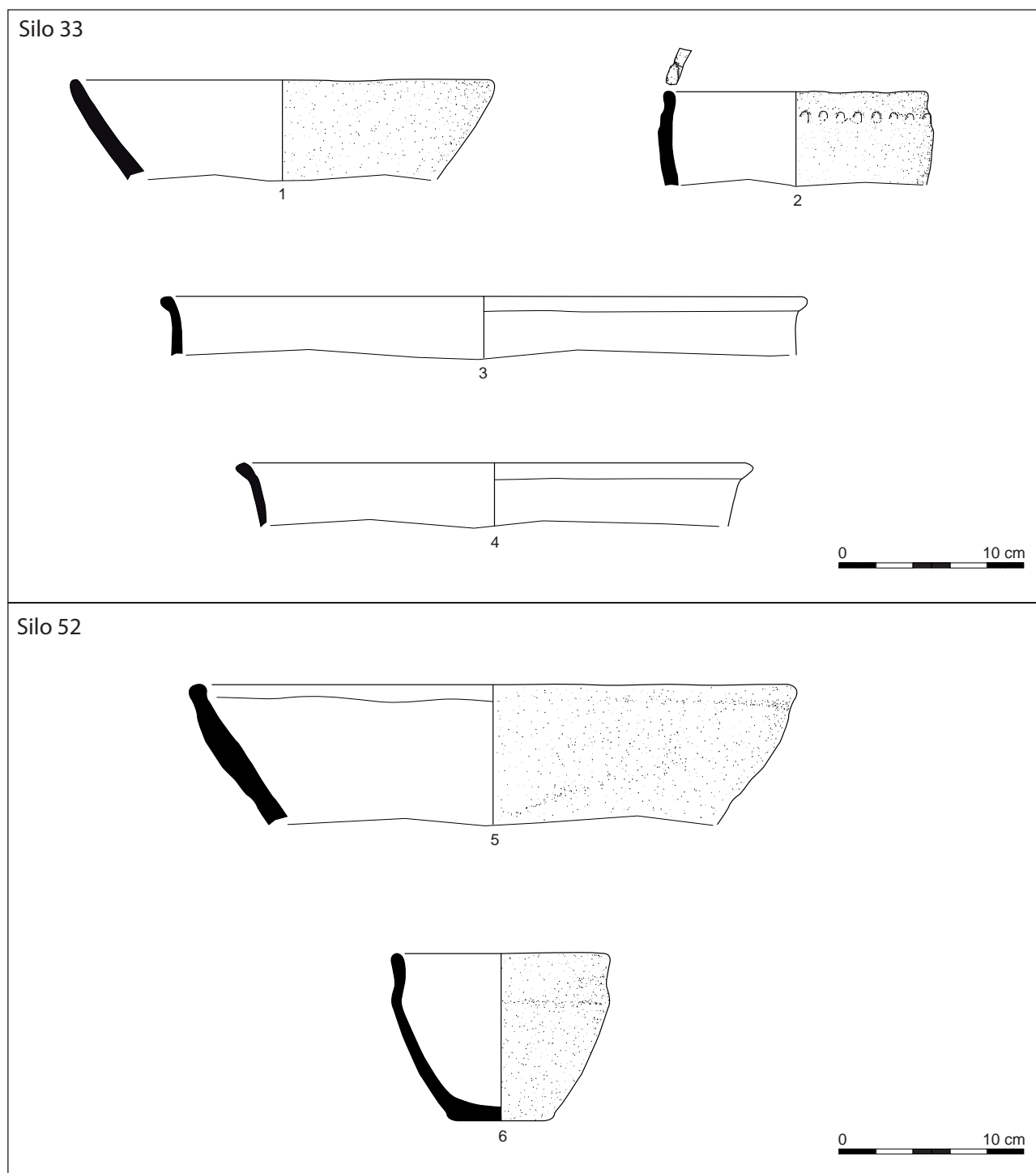


Fig. 41 : Tranchée 9, silos 33 et 52, principales formes céramiques
(Dessin, DAO : C. Toupet Laporte-Cassagne).

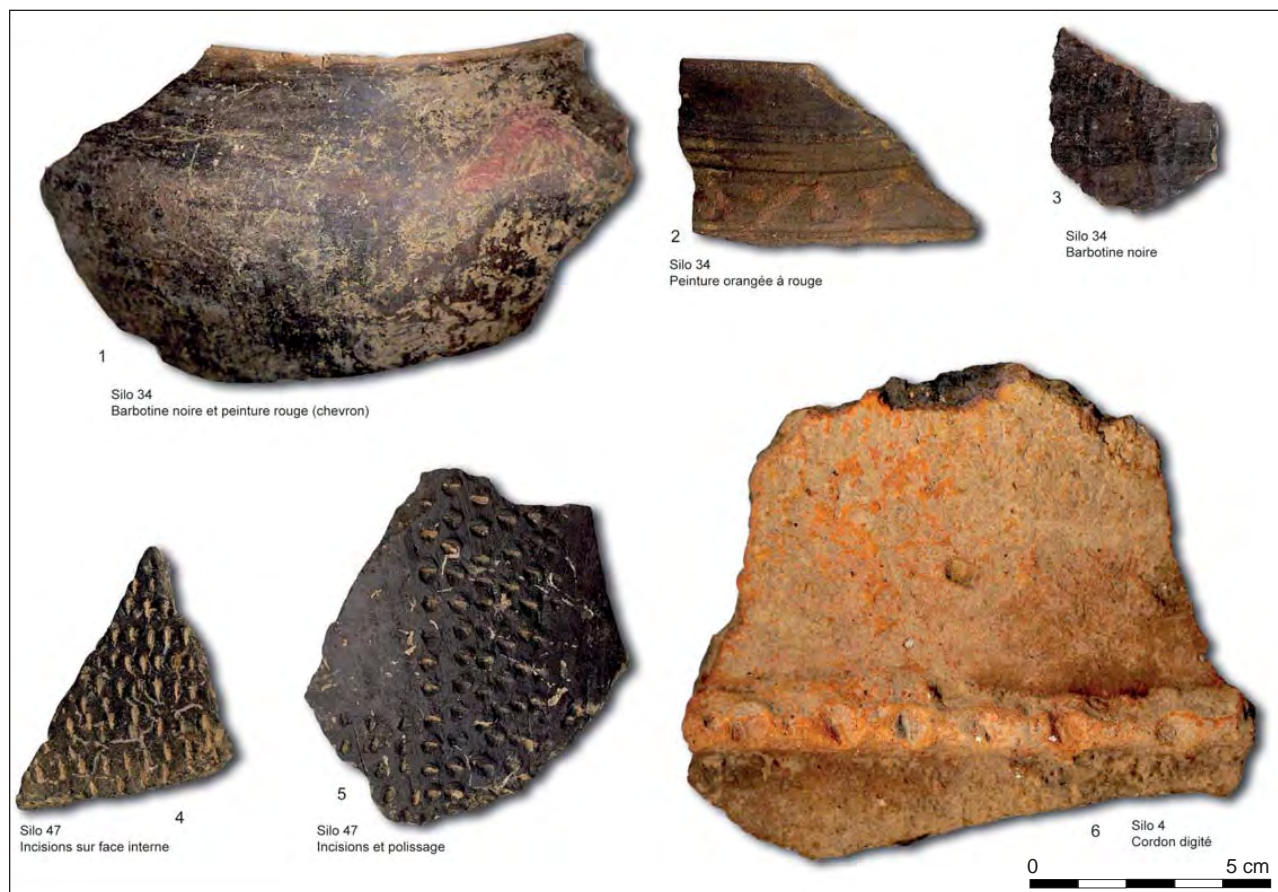


Fig. 42: Exemples de décors observés sur des tessons issus des silos
(Clichés : C. Toupet Laporte-Cassagne).



Fig. 43: Bord de faisselle et fusaïole issues des silos 34 et 47.
(Clichés : C. Toupet Laporte-Cassagne).

5.2.4.2 – Vers une approche spatiale et fonctionnelle

Les silos découverts en 2011, quelle que soit leur localisation, paraissent partager des points communs. Leur plan est le plus souvent sub-circulaire et leur profil tronconique. Une première analyse de leur comblement permet d'affirmer qu'ils ont eu plusieurs fonctions. D'abord dévolus au stockage pur et simple des denrées alimentaires (céréales notamment), ils ont ensuite été reconvertis en fosses détritiques, recueillant par exemple des rejets de foyer.

Les vestiges conservés ouvrent des perspectives. La présence de céramique décorée, d'os animaux et d'écaillés de poisson, de matériel de mouture et de torchis permettra de clarifier le statut de cette occupation singulière.

Du point de vue spatial, les silos se répartissent, en l'état actuel des investigations, en deux batteries distantes de 300 m. À ce stade, il est difficile de raisonner en termes de répartition spatiale, car le décapage n'est pas suffisamment extensif. Toutefois, par comparaison avec des sites fouillés extensivement, le cas de Cergy paraît dans la «norme». À Changis-sur-Marne «La Pelle à Four Sud», les formations sont espacées plus ou moins régulièrement de 300 à 500 m, l'habitat se trouvant entre les concentrations de silos⁴⁵ (fig. 44).

Par ailleurs, la caractérisation même de ces batteries soulève des questions. Si pour certains auteurs, un alignement des silos pourrait constituer une sorte de délimitation «artificielle» des parcelles⁴⁶, que penser d'un groupement plus resserré, comme c'est le cas à Cergy? Peut-on envisager un scénario plus chronologique, l'une de ces pratiques se substituant à l'autre? Seule une analyse typo-chronologique fine des sites couplée à une analyse spatiale, peut permettre de répondre à ces interrogations.

5.2.4.3 – Reconstituer un terroir à l'âge du Fer?

La mise au jour de deux zones de silos soulève la question de la présence d'un habitat dans les environs immédiats, qui pourrait se situer dans les 300 m qui les séparent. Les sites de la fin du 1^{er} âge du Fer ou du début du 2nd âge du Fer, qui correspondent sans doute à des habitats ouverts, sont difficiles à mettre en évidence car ils échappent facilement au maillage de l'archéologie préventive. Ils sont de fait peu fréquents⁴⁷.

La perspective d'investigations approfondies dans ce secteur de la plaine des Linandes offre l'opportunité d'établir progressivement un tableau évolutif des petites unités domestiques rurales protohistoriques sur une durée de presque 600 ans, en intégrant les données des opérations passées⁴⁸, un peu à l'image des travaux menés sur la plaine de Mondeville à Caen⁴⁹.

5.3 – L'Antiquité

Les vestiges rattachés à l'Antiquité se situent dans la moitié sud de l'emprise, entre les deux zones protohistoriques évoquées précédemment. Ils sont représentés par un enclos, un bâtiment, deux fosses, dont un ferrier, et une structure indéterminée (fig. 45). L'ensemble des vestiges mobiliers associés forme un corpus relativement homogène au sein duquel les formes céramiques les plus anciennes sont augustéennes et les plus récentes renvoient au second siècle ap. J.-C.⁵⁰

5.3.1 – L'enclos

Le diagnostic a conduit à la mise en évidence partielle d'un enclos. Au moins trois segments de fossé peuvent être attribués à cette structure avec certitude, compte tenu du mobilier qui s'y trouve : l'angle sud-ouest Fo31, le segment Fo20 et le segment Fo41. On peut sans doute y adjoindre

47 Blancquaert 2000.

48 Pariat dir. 2009.

49 Besnard-Vauterin 2009.

50 L'expertise du mobilier céramique antique a été réalisée par D. Vermeersch (MCF Université de Cergy-Pontoise).

45 Lafage dir. 2006, p. 153.

46 Gransar 2002.

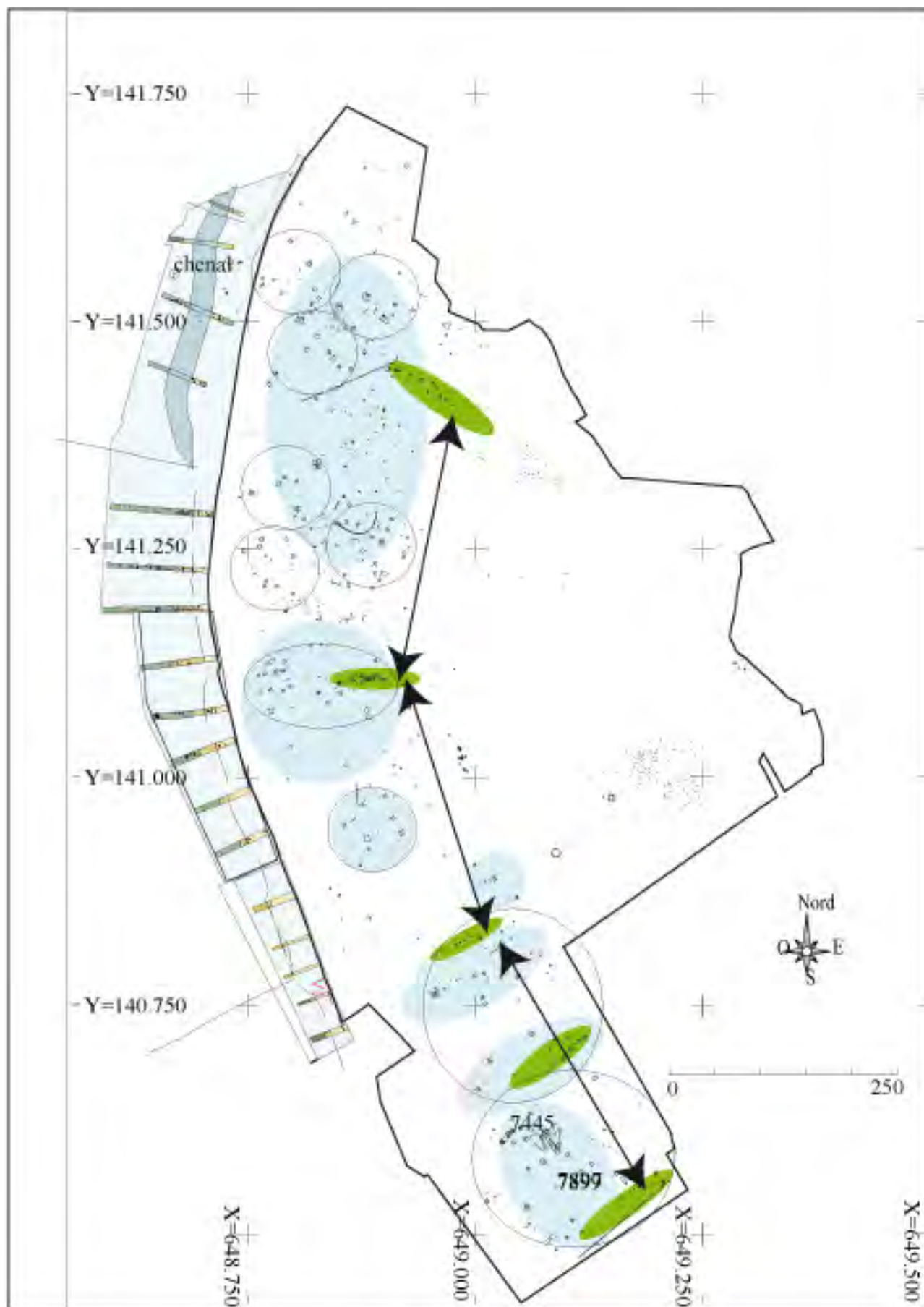


Fig. 44: Distribution des batteries de silos répartis sur les 60 ha du site de Changis (77, DAO : F. Lafage).

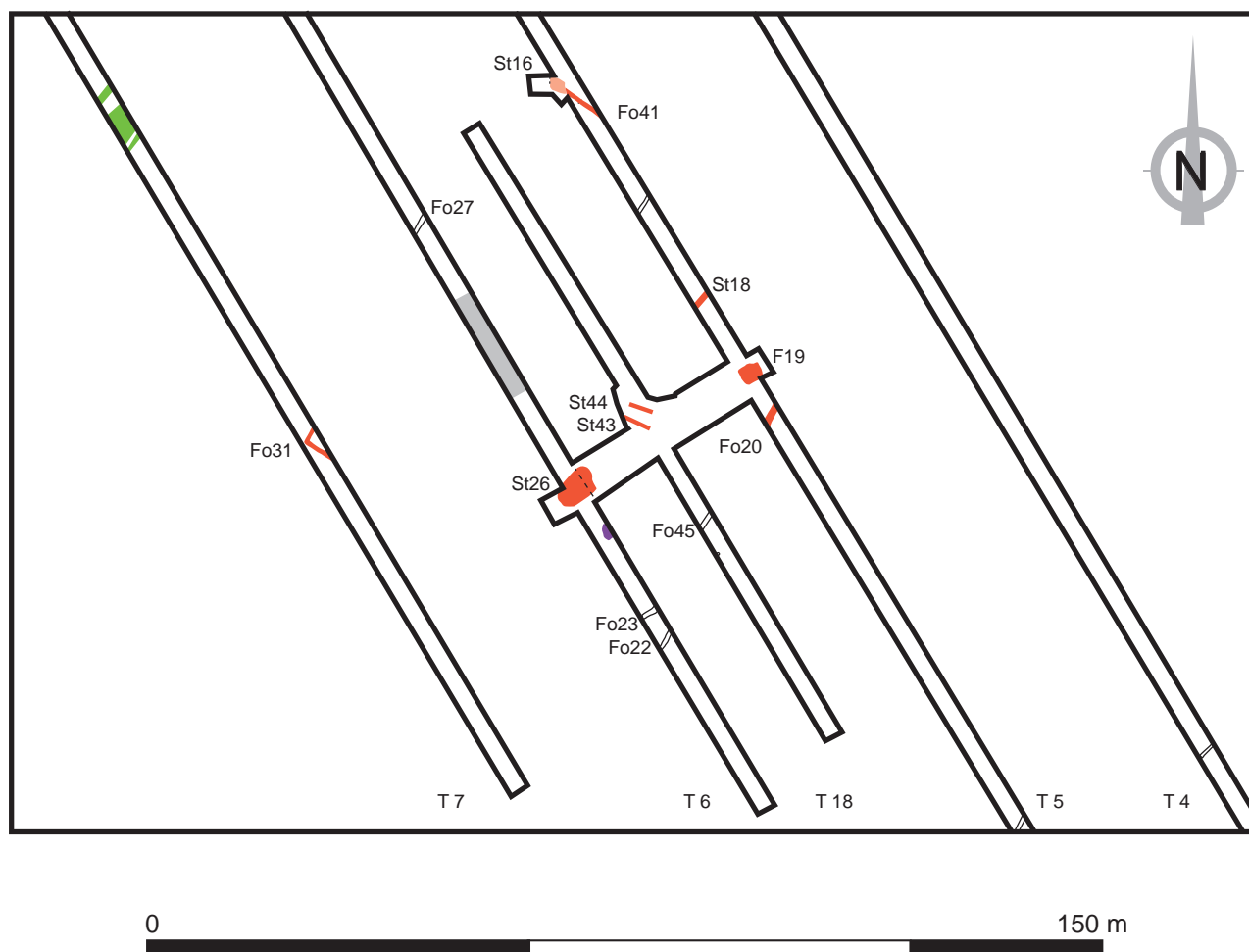


Fig. 45 : Plan détaillé de la zone antique, secteur A (Topographie et DAO : J.-G. Pariat).

les tronçons de fossé Fo22, Fo23, Fo27 et Fo45 dont les orientations sont compatibles avec les précédents, mais pour lesquels l'indigence du mobilier empêche toute datation absolue.

En l'état, il est impossible de déterminer la surface de cet enclos dont le plus long côté pourrait avoisiner 70 m.

Le seul angle de l'enclos repéré dans la tranche 7, baptisé Fo31, est apparu à mi-pente sous 0,67 m de terre végétale. Son profil est en U et il mesure en moyenne 0,70 m de large pour 0,20 m de profondeur (fig. 46). Les deux sondages pratiqués révèlent un comblement limoneux argilo-sableux avec quelques blocs de grès (fig. 47). Le mobilier recueilli, indigent, se réduit à 10 restes : du métal, de l'os, de la céramique protohistorique ou antique, et du silex.

Le tronçon de fossé Fo20 se trouve dans la partie sud de la tranche 5. Il est apparu à 0,65 m sous

la surface et se démarque assez nettement de l'encaissant limoneux brun-orangé grossier et hétérogène. Ce segment de fossé est orienté nord-est/sud-ouest. Le sondage pratiqué révèle un profil en cuvette avec une largeur de 1,12 m pour une profondeur de 0,18 m (fig. 48). Le comblement se caractérise par un limon argilo-sableux brun-gris peu compact et homogène ayant livré 3 tessons attribués au I^{er} s. ap. J.-C.

Le segment de fossé Fo41 se trouve dans la partie médiane de la tranche 5. Il se trouve à 0,40 m sous la surface actuelle du sol. En plan, le comblement limono-sableux brun-gris se démarque du substrat. À cet endroit, le fossé est orienté nord-ouest / sud-est et mesure 0,76 m de large. Les sondages pratiqués révèlent un profil en cuvette avec un comblement limono-sableux brun-gris à jaune clair, compact et homogène, de 35 cm d'épaisseur (fig. 49). Cette structure est recoupée par la structure 16, tant et si bien que



Fig. 46: Tranchée 7, niveau d'apparition de l'angle sud-est de l'enclos (Cliché: J.-G. Pariat).

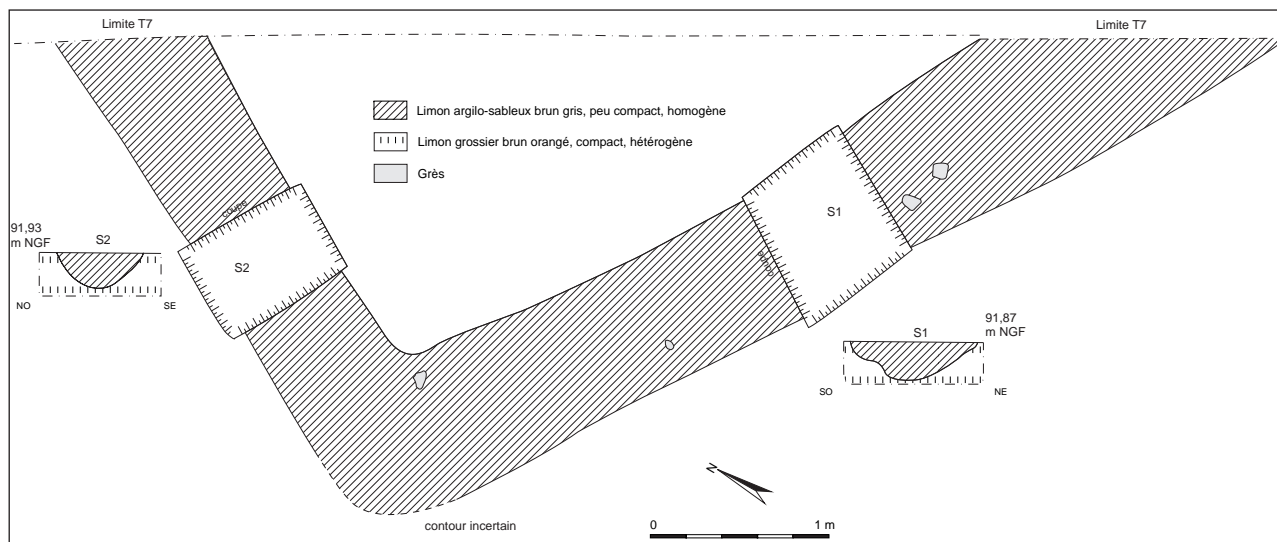


Fig. 47: Tranchée 7, plan et coupes du segment de fossé Fo31 (Relevé: J.-G. Pariat, DAO: A. Lebrun).

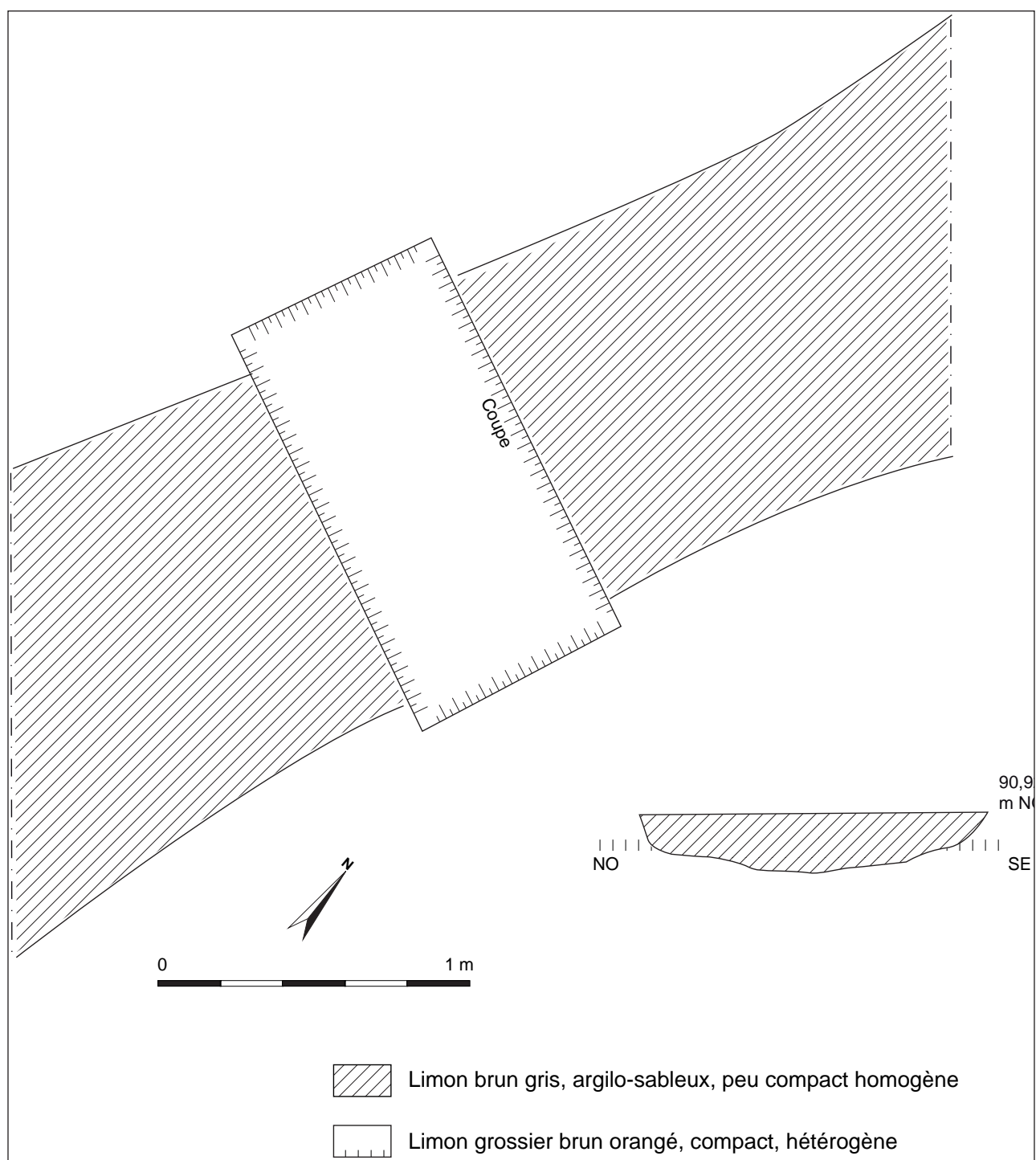


Fig. 48: Tranchée 5, plan et coupe du fossé Fo20 (Relevé : A. Lebrun, DAO : J.-G. Pariat).

le mobilier exhumé dans cette zone ne peut être attribué avec certitude à l'une ou l'autre des deux structures. Malgré tout, la céramique se rattache à l'Antiquité, plus particulièrement aux I^{er} et II^e siècles de notre ère.

Le tronçon de fossé Fo27 situé au milieu de la tranchée 6 se trouve à 0,50 m sous la surface (fig. 50). D'orientation nord-est / sud-ouest, il mesure 0,80 m de large pour 0,35 m de profon-

deur, et présente un profil en cuvette (fig. 51). Son comblement est limoneux brun-orangé gris, peu compact et hétérogène. Il recèle 3 restes céramique et lithique.

La portion de fossé Fo22 se trouve dans la partie sud de la tranchée 6, près du segment de fossé Fo23. Elle se trouve à 0,50 m sous la surface, présente une orientation nord-est / sud-ouest et son comblement en plan correspond à un limon

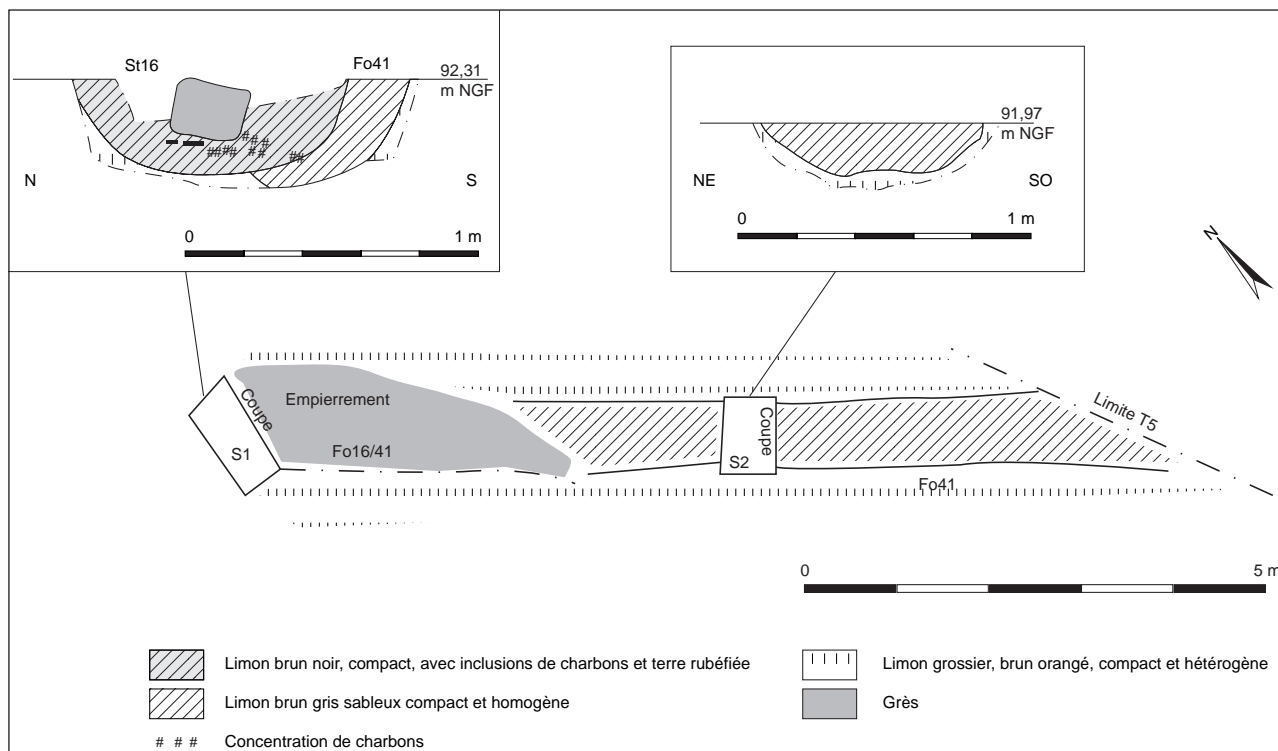


Fig. 49: Tranchée 5, plan et coupes du fossé Fo41 (Relevé et DAO: J.-G. Pariat).



Fig. 50: Tranchée 6, niveau d'apparition du segment de fossé Fo27 (Cliché: B. Bapst).

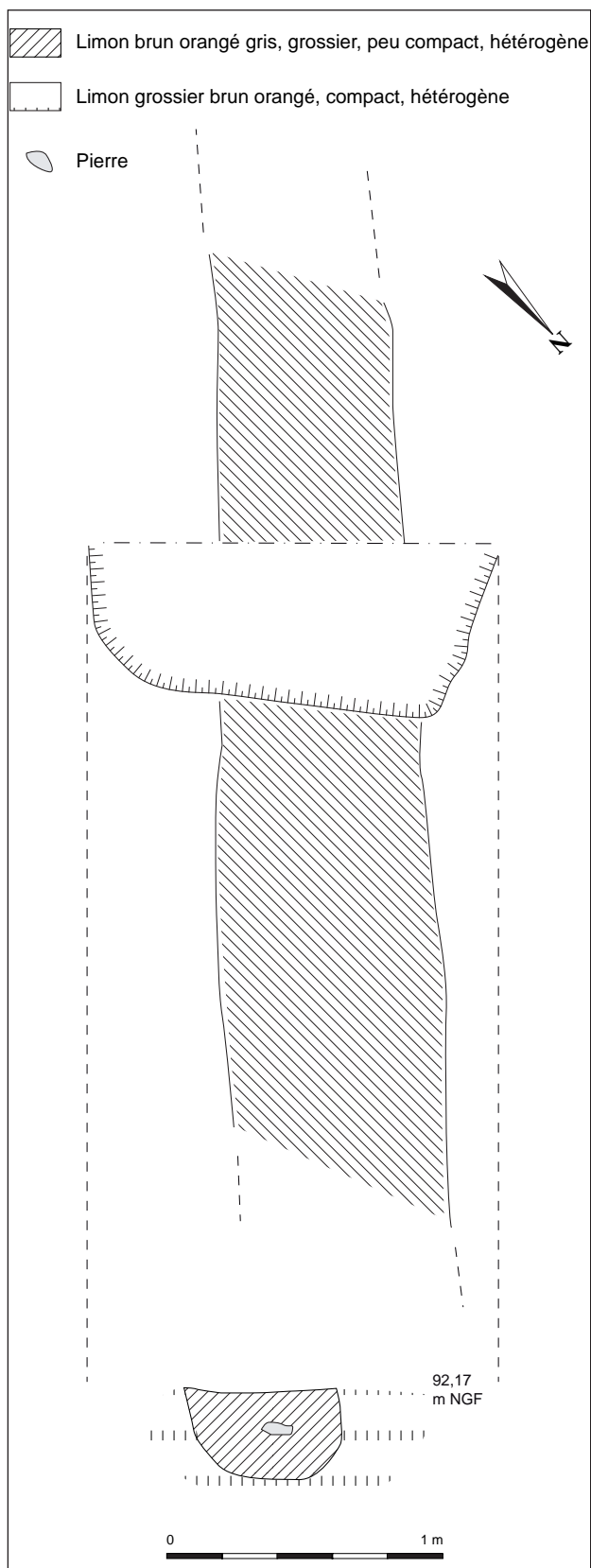


Fig. 51: Tranchée 6, plan et coupe du fossé Fo27 (Relevé: B. Bapst, DAO: J.-G. Pariat).

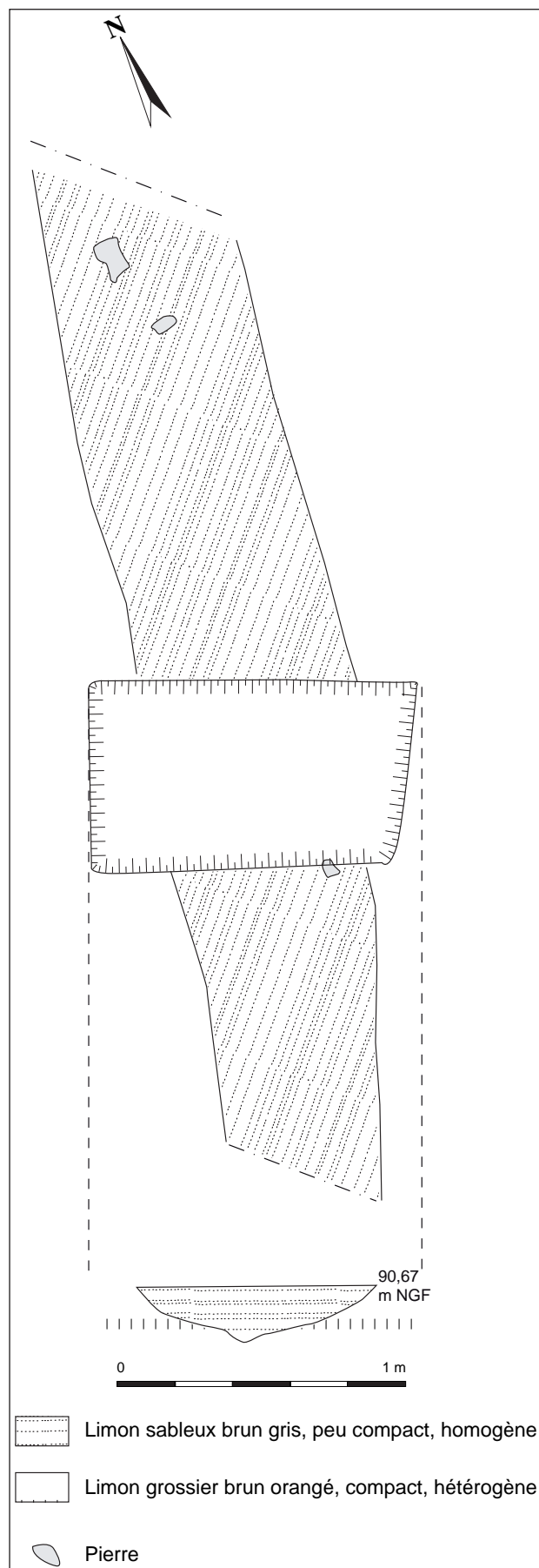


Fig. 53: Tranchée 6, plan et coupe du fossé Fo22 (Relevé: A. Lebrun, DAO: J.-G. Pariat).



Fig. 52: Tranchée 6, niveau d'apparition du segment de fossé Fo22 (Cliché : A. Lebrun).

argilo-sableux brun-gris peu compact et homogène (fig. 52). En coupe, les parois sont évasées et la partie centrale présente un léger recreusement (fig. 53). Le fond de couche est recouvert d'un sable blanc sur 1 mm d'épaisseur. La largeur du fossé est de 0,84 m pour une profondeur de 0,18 m. L'unique tesson issu du remplissage est protohistorique.

Le tronçon de fossé Fo23 se trouve à 0,50 m sous la surface dans la tranchée 6. Il présente sensiblement la même orientation que le segment Fo22. Son profil est en cuvette et il mesure 1 m de large pour 0,35 m de profondeur (fig. 54). Le comblement est un limon marron-orangé gris, grossier, compact, hétérogène. Il recèle 4 restes céramiques et osseux.

Ainsi, les segments de fossé Fo 22 et Fo23 appartiennent-ils soit à un même enclos, qui se dédoublerait dans ce secteur, soit à deux enclos distincts.

Enfin, le tronçon de fossé Fo45 se situe dans la partie sud de la tranchée 18. Il n'a pas été sondé. Son orientation coïncide avec celle des fossés Fo22 et 23. Le mobilier recueilli en surface se rapporte à deux restes, 1 tesson et 1 élément métallique.

5.3.2 – La structure 16

La structure 16 se trouve dans la tranchée 5, à mi-pente, où elle jouxte le fossé 41 qu'elle semble recouper. Elle est apparue à 0,40 m sous la surface du décapage, et se présente sous la forme

d'une bande de 7 m de long par 0,88 m de large au sein de laquelle des blocs de pierre sont grossièrement agencés (fig. 55). Les modules des blocs varient de 20 cm à 1 m de large, et aucun d'eux ne semble avoir été l'objet d'une mise en forme. Les matériaux en présence correspondent à du grès ou à du calcaire.

En coupe, les blocs semblent reposer sur le sommet d'une fosse aux parois sub-verticales à fond plat. Son comblement, observé sur 30 cm d'épaisseur, est limoneux brun-gris compact avec des inclusions de charbon et de terre rubéfiée (fig. 49). À la base des pierres, au nord-ouest, un vase sub-complet a été retrouvé écrasé en place dans le comblement supérieur. Il s'agit d'un type de céramique commune sombre (fig. 56).

Le mobilier associé à la structure 16 a été exclusivement retrouvé sous l'empierrement et se répartit en 5 éléments métalliques dont 2 clous, 17 tessons de céramique dont 15 appartiennent au vase évoqué plus haut. Ils peuvent être attribués aux I^{er} et au II^e siècles de notre ère. Un fragment d'os a également été exhumé. Enfin, une meule à va-et-vient complète cet assemblage (fig. 57). En position secondaire, elle a pu servir à la réduction du minerai de fer, comme c'est souvent le cas dans l'Antiquité⁵¹.

Cette structure pose des problèmes d'interprétation. L'agencement des blocs de pierres est trop incohérent pour qu'il s'agisse d'une fondation

51 Chevallier 1986.

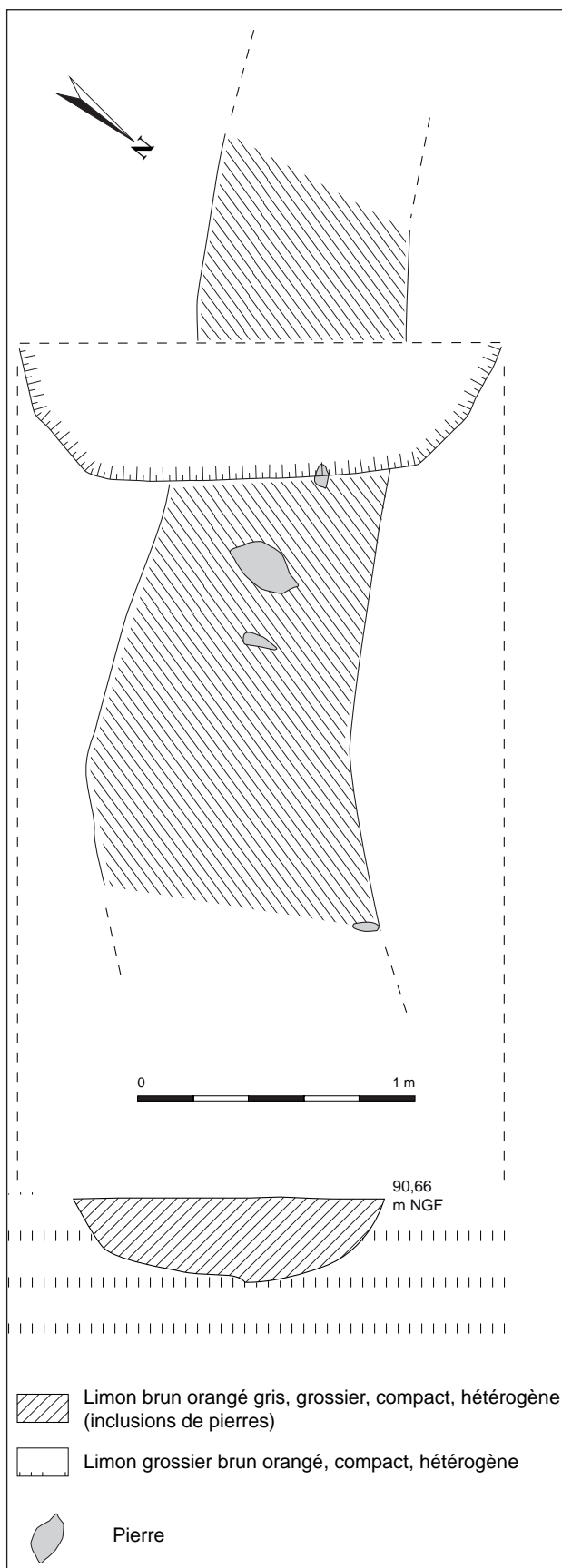


Fig. 54: Tranchée 6, plan et coupe du fossé Fo23 (Relevé : B. Bapst, DAO : J.-G. Pariat).



Fig. 55: Tranchée 5, structure St16, vue zénithale (Clichés : J.-G. Pariat).

de bâtiment. Peut-être faut-il faire un rapprochement avec une pratique de bornage des terres comme le décrit l'agronome *Siculus Flacus*⁵² : « ... sous certaines bornes, rien n'a été déposé, mais sous d'autres nous trouvons des cendres, des charbons ou des débris de poterie ou de verre, des pièces qu'on y a jetées, ou de la chaux ou du plâtre. »

Les bornes elles-mêmes sont rarement conservées. L'amas de pierre correspondant à la structure St16

52 Clavel-Levêque *et al.* 1993.

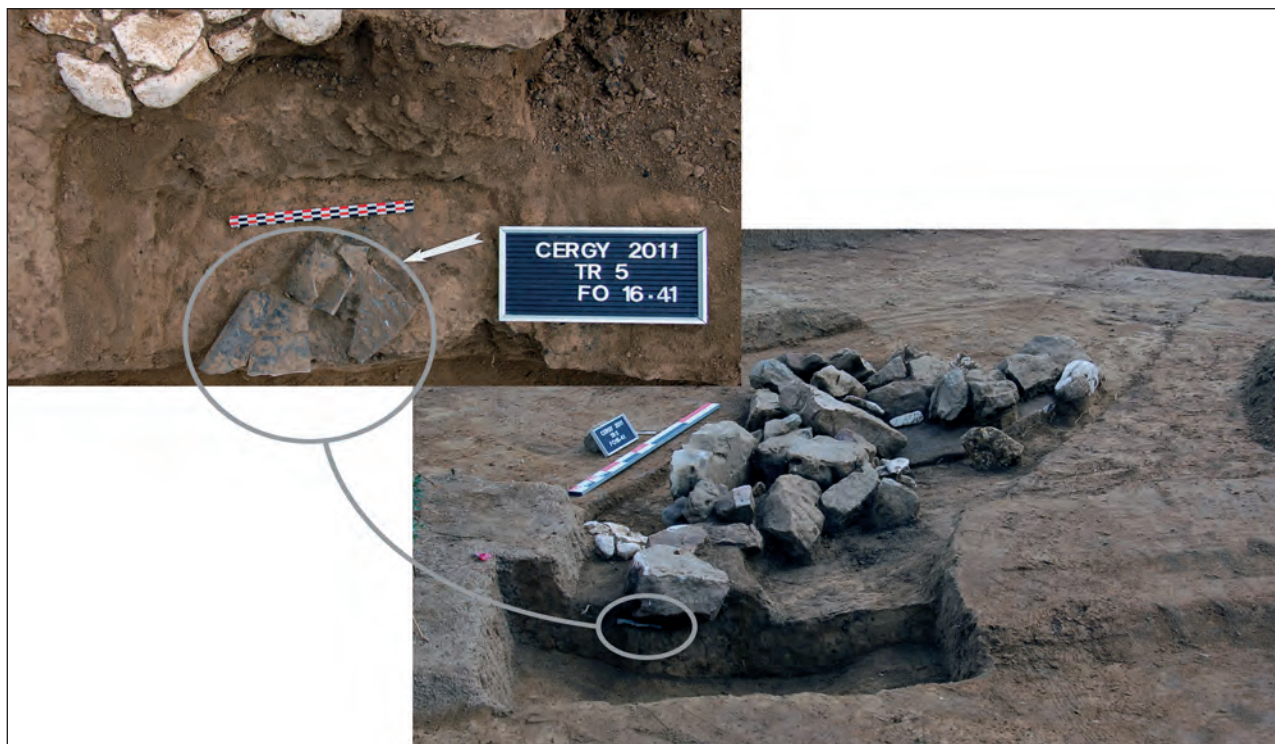


Fig. 56: Tranchée 5, structure St16, localisation et vue d'un vase écrasé en place sous l'empierrement (Cliché: J.-G. Pariat).



Fig. 57: Tranchée 5, structure St16, vue de détail d'une meule à va-et-vient (Cliché: J.-G. Pariat).

pourrait être une borne très érodée. Par ailleurs, le mobilier découvert sous l'empierrement partage des points communs avec ceux d'autres sites du même type en Île-de-France. La céramique est commune sombre le plus souvent, et plutôt issue du comblement final des structures⁵³.

Par conséquent, si la structure St16 de Cergy correspond bien à un système de délimitation de parcelle du type bornage, sa découverte vient

utilement alimenter un pan de recherche encore en friche.

5.3.3 – Un bâtiment

Les fondations d'un bâtiment ont été découvertes dans la partie centrale du secteur A, dans une fenêtre ouverte entre les tranchées 5 et 6. Ces vestiges ont été décapés en partie mécaniquement, nettoyés et fouillés manuellement.

53 Bruant *et al.*, à paraître.



Fig. 58 : Secteur A, entre tranchées 5 et 6, vue des fondations d'un bâtiment (Clichés et montage : J.-G. Pariat).

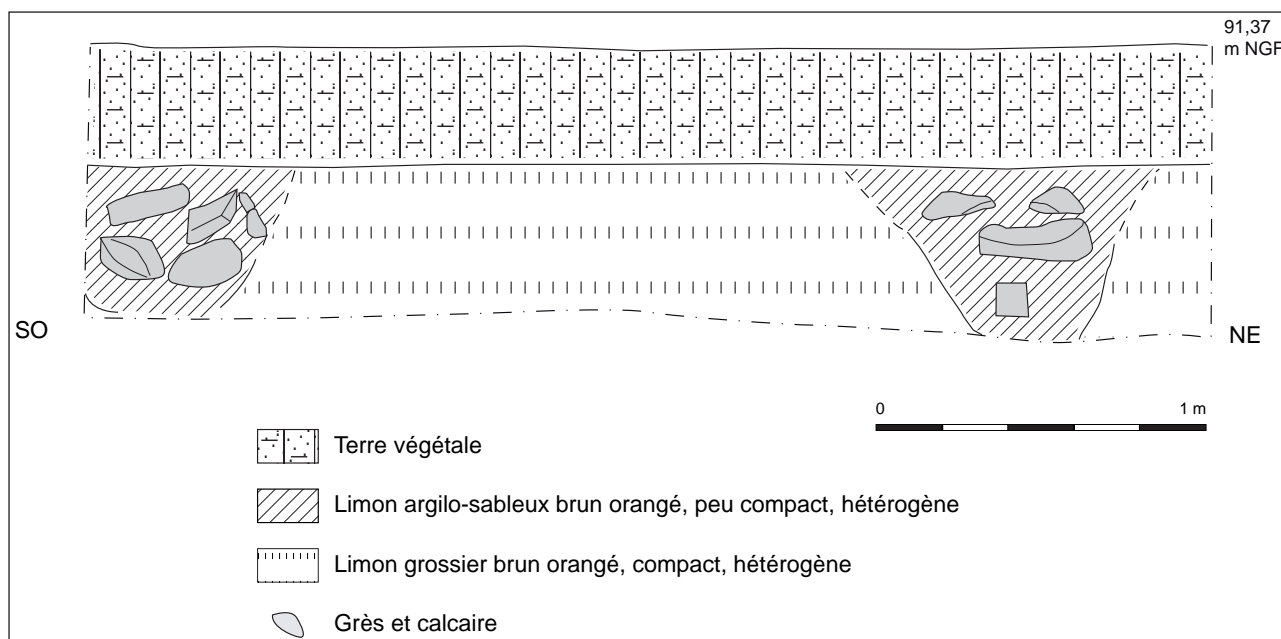


Fig. 60 : Secteur A, entre tranchées 5 et 6, coupe des fondations du bâtiment (Relevé et DAO : J.-G. Pariat).

Le bâtiment se présente sous la forme de deux alignements parallèles de blocs en pierre sèche dessinant un rectangle qui d'une aire de 8,856 m² (fig. 58). La distance séparant les deux alignements est de 2,70 m et l'orientation générale du bâtiment est nord-ouest / sud-est.

L'alignement sud, baptisé structure St43, est apparu à 0,30 m sous la surface. En plan, il a pu être distingué uniquement grâce à la présence de blocs de pierre, la terre de comblement se démarquant mal de l'encaissant limoneux brun-orangé grossier compact et hétérogène.



Fig. 59: Secteur A, entre tranchées 5 et 6, calages de poteau et des interruptions au niveau des fondations d'un bâtiment (Clichés et montage : J.-G. Pariat).

Les blocs se répartissent irrégulièrement sur une bande de 5 m de long par 0,85 m de large sur une épaisseur de 0,46 m. Vers l'ouest, on observe une absence presque totale de blocs sur 60 cm de large. Par ailleurs, les deux extrémités et la partie centrale de l'alignement sont flanquées de dispositifs de calage de poteaux en partie effondrés, notamment vers l'ouest (fig. 59). Le diamètre des négatifs de poteaux est régulier (30 cm). Les matériaux, qui correspondent à du calcaire ou du grès, et dans une moindre mesure de la meulière et du silex, ne présentent guère de traces de mise en forme, quel que soit leur rôle (fondation, calage etc.).

En coupe, un possible creusement en pente douce à fond arrondi a été observé (fig. 60). Le comblement se caractérise par un limon brun-gris clair compact et homogène au sein duquel les vestiges sont très peu nombreux. Un tesson de sigillée estampillé a pu être rattaché au II^e s. ap. J.-C.

La structure St44 se trouve au nord-est de la structure St43. Également apparue à 0,30 m sous la surface, elle correspond à un alignement de pierres pris dans un comblement également difficile à distinguer de l'encaissant.

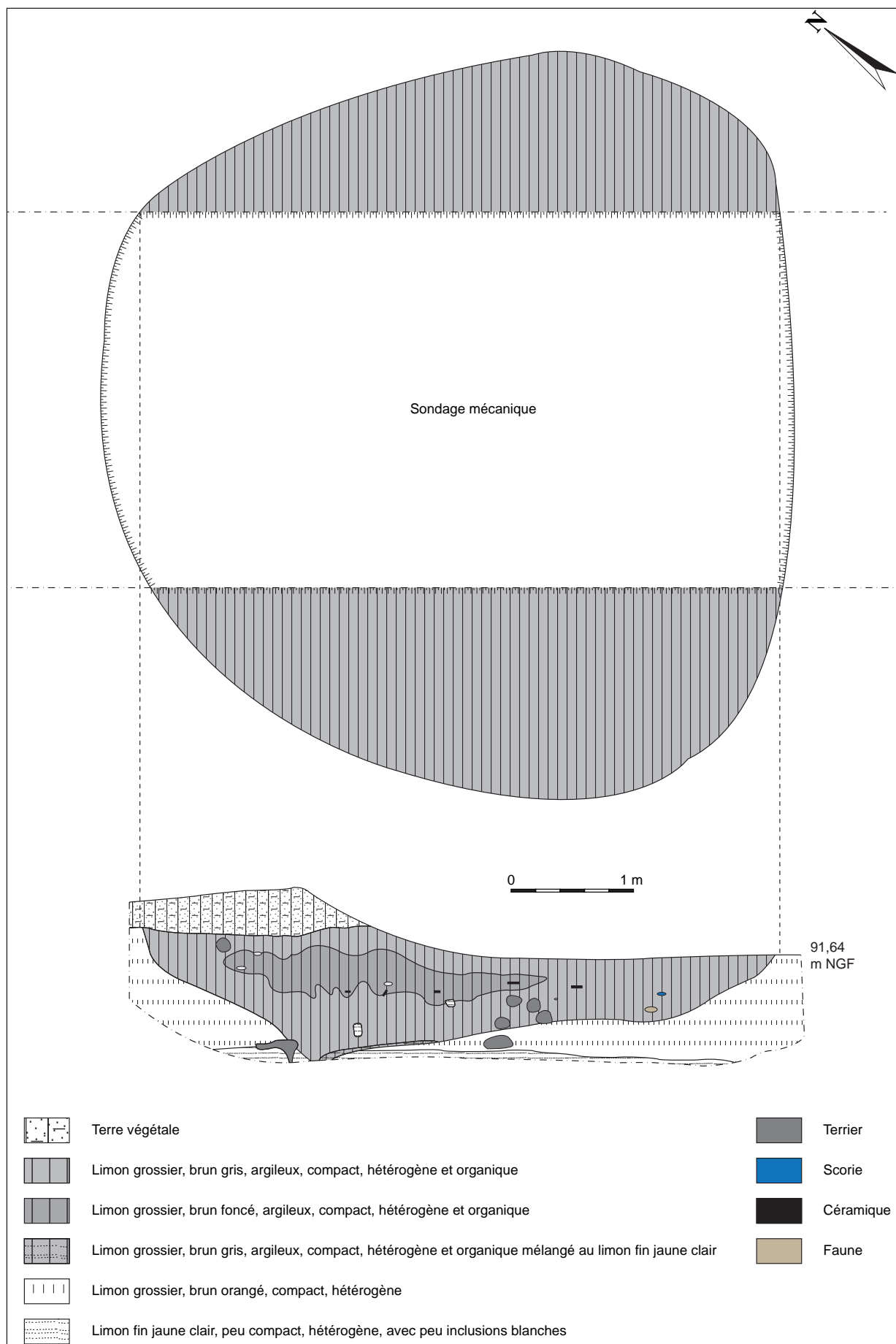


Fig. 61 : Tranchée 6, structure 26, plan et coupe (Relevé : A. Lebrun, B. Bapst, DAO : A. Lebrun).



Fig. 62: Tranchée 6, structure 26, vue en coupe (Cliché: J.-G. Pariat).

La disposition des blocs sur une bande de 6 m de long pour 0,60 m de large, sur une épaisseur de 0,52 m, est en tout point comparable à celle des pierres de la structure 43. Ainsi, l'on retrouve une interruption de 60 cm de large, symétrique par rapport à celle de la structure 43, et trois calages de poteaux aux deux extrémités et au centre. Le diamètre des négatifs de poteaux est de 30 cm.

En coupe, le profil du creusement de l'hypothétique tranchée d'implantation est en pente douce à fond arrondi. Le comblement est limoneux brun-gris clair compact homogène.

Les vestiges se répartissent en 1 tige de clou, 5 fragments de céramique parmi lesquels deux tessons à pâte sombre, deux à pâte claire et un tesson de sigillée, ainsi qu'un éclat de silex correspondant sans doute à une ébauche d'armature néolithique (cf. 5.1).

En somme, le bâtiment fouillé dans cette partie du site se rattache au Haut-Empire, vraisemblablement au II^e siècle de notre ère. Il s'agit d'un type d'architecture mixte faisant intervenir des fondations en pierre sèche et des éléments en bois à l'instar des calages de poteaux observés. Il est toutefois délicat de restituer l'élévation de ce bâtiment tant il est arrasé.

Il rappelle cependant un type de grange décrit sur la *pars rustica* de la villa du Bufosse à Verneuil-

en-Halatte⁵⁴ (Oise). Sur ce site, des bâtiments en matériaux légers ou en pierre possèdent un plancher sur plot, c'est-à-dire surélevé et sans contact direct avec le sol surcreusé. Ces dispositions renvoient peut-être aux préconisations de Varon (I, 13) au sujet de la conservation des denrées sèches (fèves, foin etc.). Le bâtiment de Cergy pourrait donc être une grange de ce genre.

5.3.4 – Un ferrier

La structure St26 se trouve dans la tranchée 6, plutôt en bas de pente. Apparue à 0,50 m sous la surface du sol actuel, elle se présente sous la forme d'une tache sub-circulaire de 6 m par 5,50 m. Un sondage mécanique a été pratiqué en plein milieu sur une largeur de 3 m.

La partie centrale du comblement apparaît limoneuse brun-gris foncé (fig. 61). Elle est ceinte d'une couronne de limon gris clair. En coupe, elle présente des parois asymétriques en pente douce et un fond irrégulier. Sa profondeur maximale atteint 0,90 m.

Passée la terre végétale, le comblement principal correspond à un limon grossier brun-gris argileux compact hétérogène et organique recelant de nombreuses scories (fig. 62). L'épaisseur de

⁵⁴ Collart 1990.

cette couche varie de 40 cm à 90 cm. Une poche de limon argileux brun foncé, hétérogène compact grossier organique de 30 cm d'épaisseur est prise dans le comblement principal. Enfin, le fond est recouvert au sud-est d'un limon grossier brun-gris argileux hétérogène et organique, mélangé à un limon fin jaune clair. Plusieurs terriers viennent perturber la lecture de la stratigraphie, les animaux fouisseurs semblant avoir été particulièrement attirés par ce type de sédiment.

Le mobilier est présent de façon quasiment continue sur toute l'épaisseur du remplissage. Cette structure très riche quantitativement et qualitativement a livré 844 vestiges pour un poids total de 10436 g.

Le métal y est très clairement sur-représenté, en particulier les scories totalisant 462 restes pour un poids de 6129 g (fig. 63). Certaines d'entre elles pèsent jusqu'à 800 g et les plus grosses mesurent 8 cm par 10 cm. Leur couleur varie du gris-vert au noir en passant par le gris rougeâtre, et leur structure est alvéolée (fig. 64). La plupart des pièces comporte des rainures, et certaines peuvent comporter des ajouts de terre rubéfiée.

Un fragment de bandage de frette⁵⁵, un fragment de lingot (fig. 65), une monnaie et une fibule figurent également parmi les vestiges métalliques. La monnaie, retrouvée dans le comblement principal, est antérieure au milieu du III^e s. ap. J.-C. (fig. 66). Cependant, sa corrosion avancée ne permet pas d'être plus précis. La fibule est en alliage cuivreux de type bronze étamé. Elle est incomplète, l'ardillon et le porte-ardillon étant lacunaires. Elle mesure 38 mm de long (fig. 67). Il s'agit d'une fibule à charnière de type «f» caractérisée par un arc bipartite et un porte-ardillon sans ajours. L'arc est constitué par un bourrelet encadré de moulures transversales. Il se prolonge par une arête centrale bordée de deux lignes latérales aboutissant, par une courbure franche, à un pied bouleté. Cet objet de type Feugère 23b connaît une aire de diffusion recouvrant essentiellement le tiers nord-est de la Gaule. Son apparition peut être datée autour de 40 ap. J.-C. (Tibère-Claude), et son utilisation couvre toute la seconde moitié du I^{er} s. ap. J.-C.⁵⁶

55 Les déterminations du mobilier métallique ont été réalisées par A. Lefeuvre (SDAVO).

56 Philippe 2000, p. 111.

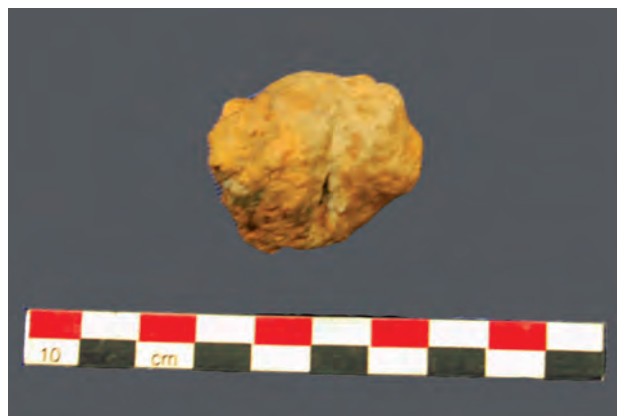


Fig. 65: Tranchée 6, structure 26, fragment de lingot (Cliché: J.-G. Pariat).

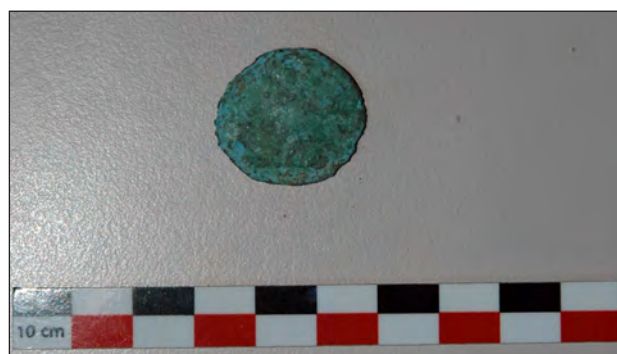


Fig. 66: Tranchée 6, structure 26, monnaie issue du comblement principal (Cliché: J.-G. Pariat).

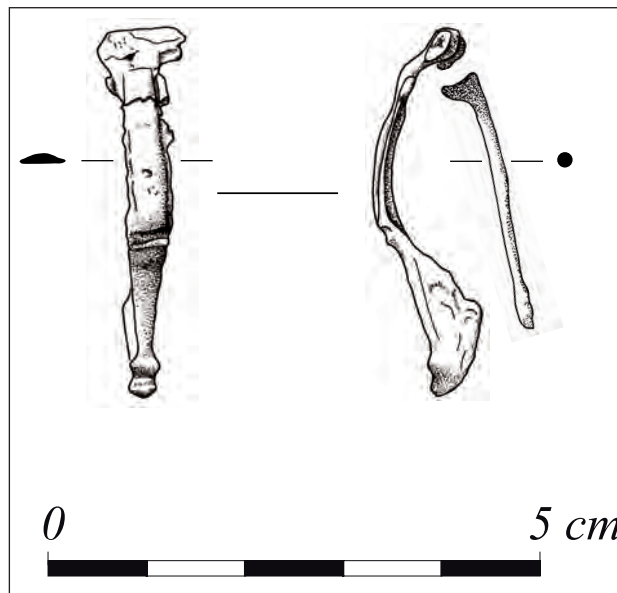


Fig. 67: Tranchée 6, structure 26, fibule de type Feugère 23b (Cliché: J.-G. Pariat).

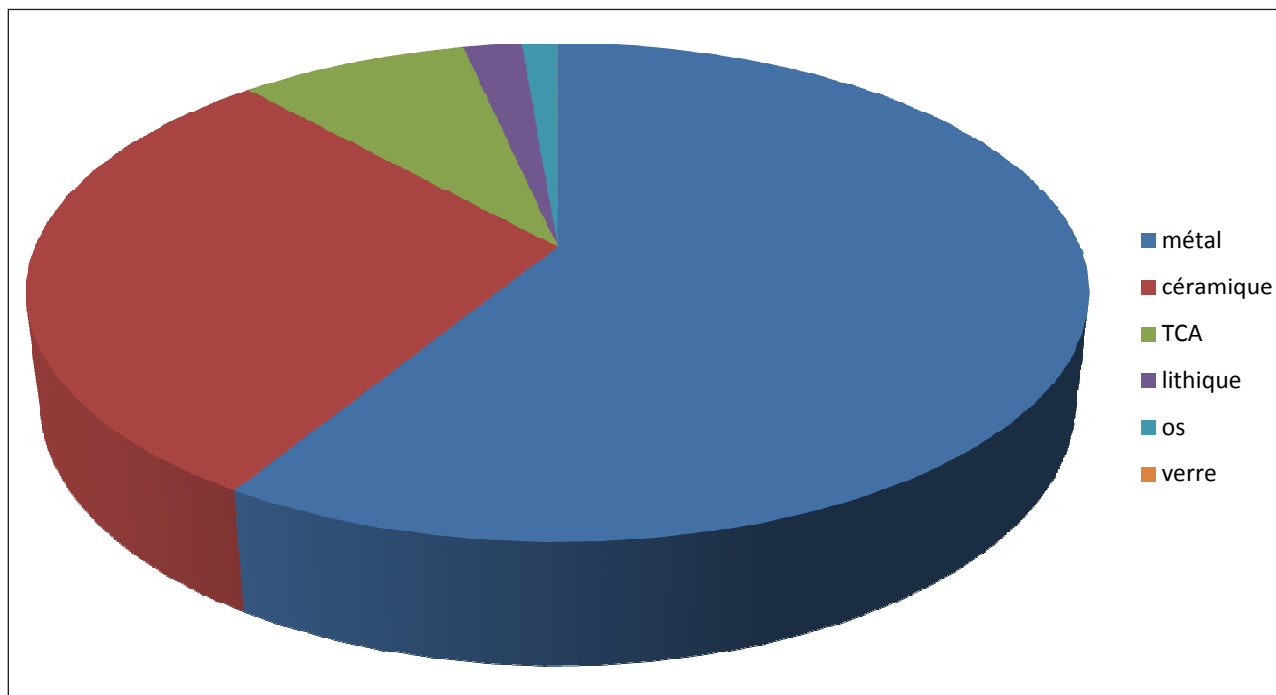


Fig. 63: Tranchée 6, structure 26, diagramme de répartition du mobilier.



Fig. 64: Tranchée 6, structure 26, exemple de scorie associée au comblement (Cliché : A. Lebrun).

Quantitativement la céramique arrive au second rang en nombre des restes, avec 345 tessons pour 3083 g. Le corpus est assez diversifié et renvoie à des formes en vigueur pour certaines à l'époque augustéenne, pour d'autres au I^{er} s. ap. J.-C., ou pour d'autres encore au début du IInd s. de notre ère⁵⁷. Ainsi, des formes à pâte sombre côtoient des formes à pâte claire. On recense également

des fragments d'amphore parmi lesquels un bord de Dressel 20, ou bien encore de la céramique sigillée du centre de type Lezoux. Certaines de ces céramiques sont estampillées (fig. 68).

Pour terminer, loin derrière arrivent des fragments de terre cuite architecturale (7 pour 868 g), des éclats en silex (18 pour 221 g), des ossements animaux (11 pour 133 g) et un morceau de verre de couleur bleue.

57 Détermination D. Vermeersch.

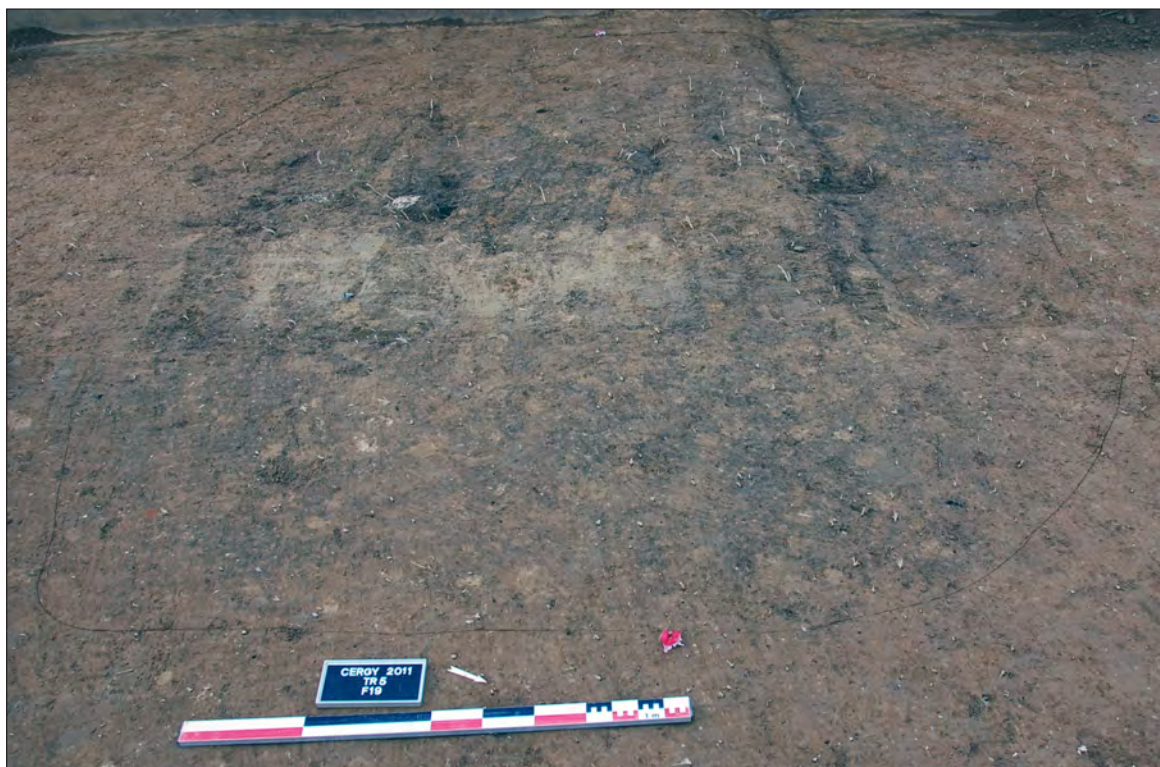


Fig. 69: Tranchée 5, fosse F19, niveau d'apparition de la structure (Cliché : A. Lebrun).



Fig. 68: Tranchée 6, structure 26, exemple d'estampille présente sur un tesson de sigillée (Cliché : A. Lebrun).

La fonction de cette structure a suscité bien des interrogations. Après avoir envisagé l'hypothèse d'une fosse de rejets domestiques, la quantité

anormalement élevée de scories a conduit à envisager une structure liée à des activités sidérurgiques. Cette fosse pourrait correspondre à un ferrier, c'est-à-dire une structure accueillant les déchets issus d'un bas-fourneau.

En effet, le Haut-Empire est une période qui voit l'apogée de la production sidérurgique en France et en Europe⁵⁸. L'originalité du ferrier de Cergy serait double dans la mesure où il est de taille très modeste comparativement à ceux du nord de la France, et où la céramique y est plutôt abondante, ce qui est rare d'ordinaire sur un ferrier⁵⁹. À l'échelle locale, nous n'avons trouvé aucune comparaison avec un site francilien, mais il n'a pas été possible de faire une recherche exhaustive dans le cadre de ce rapport.

La présence vraisemblable d'un ferrier à Cergy soulève des questions sur la localisation des gisements d'extraction du minerai de fer au début de l'Antiquité, ou la présence d'un possible bas-fourneau dans les environs immédiats de la structure St26. Enfin, ces activités métallurgiques ont-elles un lien avec la proximité d'une voirie majeure telle que la Chaussée Jules-César, axe de circulation par excellence très fréquenté ?

58 Sarreste 2008, p. 55.

59 Sarreste 2008, p. 156.

5.3.5 – Les autres structures

Deux autres structures complètent la série de vestiges attribuables à l'Antiquité : la fosse F19 et la structure St18.

La fosse F19 se situe dans la tranchée 5, en bas de pente. Elle est apparue à 0,40 m sous la surface, présente un plan de forme quadrangulaire et mesure 3,60 m de long par 3 m de large (fig. 69).

Cette fosse a été sondée à 50%. En coupe elle présente des parois obliques et un fond irrégulier avec un comblement limoneux grossier brun-gris foncé, peu compact, hétérogène et organique (fig. 70). Sa profondeur depuis la surface du décapage est de 0,40 m.

Le mobilier recueilli est assez diversifié. 71 tessons de céramique pesant 552 g ont été collectés entre 10 et 20 cm de profondeur. Pâtes sombres et claires s'y côtoient. Signalons par ailleurs la présence d'un fragment de cruche blanche à points rouges, de céramique noire à pâte rouge (NPR) et d'un profil complet à fond estampillé de sigillée bilobée du centre (fig. 71). Hélas l'inscription est indéchiffrable. Ce petit ensemble est très homogène puisque toutes les formes renvoient au I^{er} s. ap. J.-C.

Le métal est représenté par 12 pièces d'un poids total de 240 g. Il provient du comblement supérieur, entre 0 et 20 cm sous la surface. Les types d'objets en présence sont des exemplaires de clouterie, une clavette, une plaquette et un fragment de peinture.

Enfin, un ossement animal, un fragment de matériel de mouture et deux éclats de silex complètent cette série.

Cette fosse est interprétée comme une fosse de rejet très érodée.



Fig. 71 : Tranchée 5, fosse F19, céramique sigillée bilobée du centre (Cliché : A. Lebrun).

La structure St18 se trouve à quelques mètres au nord de la fosse F19 dans la tranchée 5. Repérée à 0,35 m sous la surface, elle se présente sous la forme d'un alignement de pierres de 3 m de long par 1 m de large (fig. 72). Les pierres sont en grès ou en calcaire.



Fig. 72 : Tranchée 5, structure St18, vue oblique de la structure (Cliché : A. Lebrun).

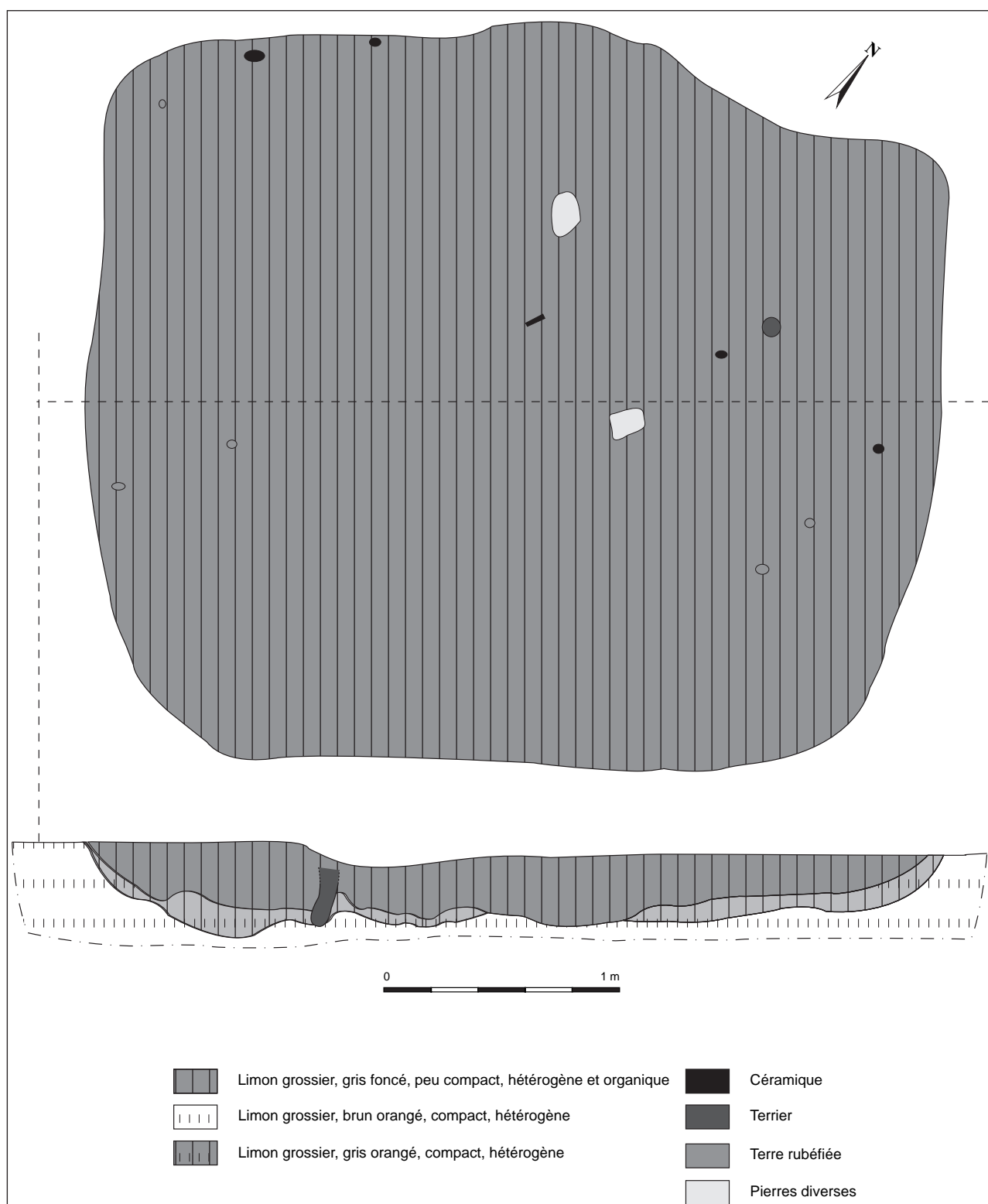


Fig. 70: Tranchée 5, fosse F19, plan et coupe de la structure (Relevé et DAO: A. Lebrun).

La fouille a révélé un remplissage meuble dont la teinte se distingue mal de l'encaissant limoneux brun-orangé, sur environ 20 cm d'épaisseur (fig. 73). En coupe, les parois semblent en pente douce et le fond plat. Le mobilier exhumé correspond à de la céramique antique et à quelques pièces lithiques (petit et gros lithique).

Cette structure est difficile à interpréter. D'abord envisagée comme étant un mur du fait d'un alignement de pierres, elle fut ensuite plutôt interprétée comme un fossé sur la base de son comblement et du profil observé. Compte tenu de la présence de pierres dans le remplissage, il pourrait alors s'agir d'un fossé de drainage.

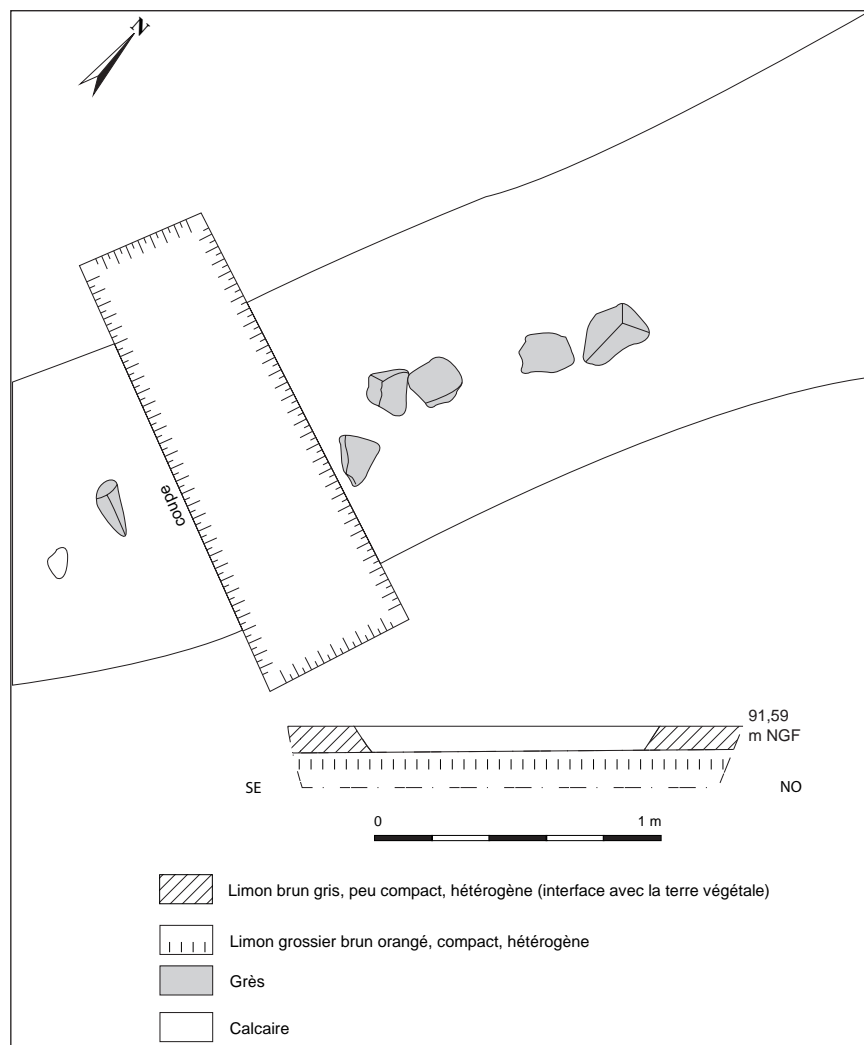


Fig. 73 : Tranchée 5, structure St18, plan et coupe (Relevé et DAO : A. Lebrun).

5.3.6 – Synthèse et perspectives

Le diagnostic de Cergy a conduit à la mise en évidence d'une occupation antique (I^{er}/II^e s.ap. J.-C.) structurée autour d'un enclos.

La découverte d'un probable ferrier (St26) et d'une meule dédiée à la réduction du minerai dans la structure 16 soulèvent la question de possibles activités métallurgiques pratiquées sur le site, à une période qui voit se développer la réduction dans des fours à scories coulées⁶⁰. La présence d'un bas-fourneau dans les environs immédiats du ferrier reste à démontrer par des investigations approfondies. La découverte d'une telle structure permettrait de raisonner sur l'organisation de tout un secteur de production, encore peu documenté à l'échelle de l'Île-de-France. De fait, les zones d'ombre restent

60 Dumasy 2010, p. 151.

nombreuses : comment identifier les gisements d'extraction du minerai ? Les très grandes quantités de charbon de bois qu'exigent les activités métallurgiques nécessitent des ressources forestières au plus près des ateliers. Que sait-on des formes paysagères à cette époque dans ce secteur du département ?

Ailleurs dans l'enclos, la présence d'un petit bâtiment agricole du type grange pose la question du stockage des denrées. Durant le Haut-Empire, la conservation durable des moissons se fait semble-t-il dans des greniers aériens ou dans des granges⁶¹. La caractérisation exacte du bâtiment des Linandes passe par la mise en place d'un protocole de prélèvements pour déceler la présence éventuelle de graines.

Les résultats de ce diagnostic offrent ainsi des pistes de réflexion relatives à l'organisation

61 Trément 2010, p. 168.

interne de l'espace rural et à la place de l'artisanat dans les campagnes romaines.

Pour terminer, cette nouvelle découverte de vestiges antiques aux Linandes de Cergy renforce bien l'image d'une campagne densément occupée dans nos régions, comme cela est le cas à l'échelle de la Gaule septentrionale⁶². La pratique d'activités agricoles et artisanales qui transparait au travers des vestiges recueillis trahit la proximité d'une occupation à caractère domestique (ferme, *villa* moyenne ou importante), comme en territoire biturige⁶³ où les habitats sont presque toujours au cœur ou en bordure de la zone des ateliers, et le plus souvent d'un réseau de voirie structurant l'espace. À Cergy, il pourrait s'agir de la Chaussée Jules César.

5.4 – L'époque moderne

L'unique structure moderne découverte est un axe de circulation connu sous l'appellation chemin d'Osny.

5.4.1 – État des connaissances avant le diagnostic

Le chemin d'Osny également appelé chemin de Gency à Osny est un axe de petit parcours déjà présent sur les documents du XVIII^e s. (cf. annexe 1). Son origine n'est cependant pas connue. Cette voirie reste active jusqu'au milieu du XX^e s..

À l'automne 2010, un diagnostic réalisé dans un autre secteur de la plaine des Linandes permet de suivre et d'examiner ce chemin⁶⁴. D'après l'auteur du rapport, cet ouvrage se présente sous la forme d'un chemin creux flanqué de fossés bordiers. La largeur moyenne du chemin est de 0,90 m et les fossés bordiers atteignent au maximum une largeur de 0,50 m. Quand à la profondeur moyenne des structures, elle atteint 0,20 m. Comme souvent dans ce genre de contexte, le mobilier recueilli est indigent et ne permet aucun affinement des datations.

62 Ouzoulias 2010, p. 192.

63 Dumasy 2010, p. 154.

64 Lefeuvre 2010a.

5.4.2 – Le diagnostic de 2011

Grâce à l'étude préalable du site, il fut décidé d'implanter les tranchées du diagnostic dans le secteur A de façon à recouper systématiquement le chemin d'Osny. De cette manière, la voirie en question a été décapée à neuf reprises (tranchées 1 à 9). Ainsi, le chemin traverse l'emprise selon axe nord-est / sud-ouest.

Il apparaît le plus souvent sous la forme d'une voie de 4 m de large, en moyenne, flanquée de deux fossés bordiers. Mais l'érosion parfois importante fait que les deux fossés bordiers ou la voie ne sont pas toujours présents.

Dans un second temps, la voie a été sondée dans la tranchée 2 (fig. 74). En plan, les parois du fossé bordier nord Fo7 sont rectilignes. En coupe le profil est en cuvette. Cette structure mesure 0,52 m de large pour 0,20 m de profondeur (fig. 75). Son comblement est limoneux brun clair grossier, compact et hétérogène. Un tesson moderne provient du remplissage.

Le fossé bordier sud Fo6 est comparable au fossé Fo7 du point de vue morphologique. Il présente un profil en cuvette, et mesure 0,40 m de large pour 0,20 m de profondeur. Son comblement est limoneux gris clair.

La voie V1 présente, en plan, des parois rectilignes. En coupe, les parois sont en pente douce et le fond est irrégulier. À cet endroit du site, l'axe mesure 4,24 m de large pour 0,54 m de profondeur. Le comblement supérieur se caractérise par un limon brun-gris compact, hétérogène, avec de rares inclusions de charbon et de terre rubéfiée. Vers le sud-est, une poche de sédiment à dominante limoneuse brun-gris très compact hétérogène a été repérée. Enfin, la couche de base correspond à un limon brun-gris compact hétérogène mêlé de limon fin jaune clair.

5.4.3 – Apport du diagnostic de 2011

La voie apparaît systématiquement beaucoup plus large que lorsqu'elle avait été observée en 2010, car elle peut atteindre jusqu'à 4,90 m de largeur. Par contre, il n'a pas été possible d'aff-



Fig. 74 : Tranchée 2, coupe du chemin d'Osny (Cliché : J.-G. Pariat).

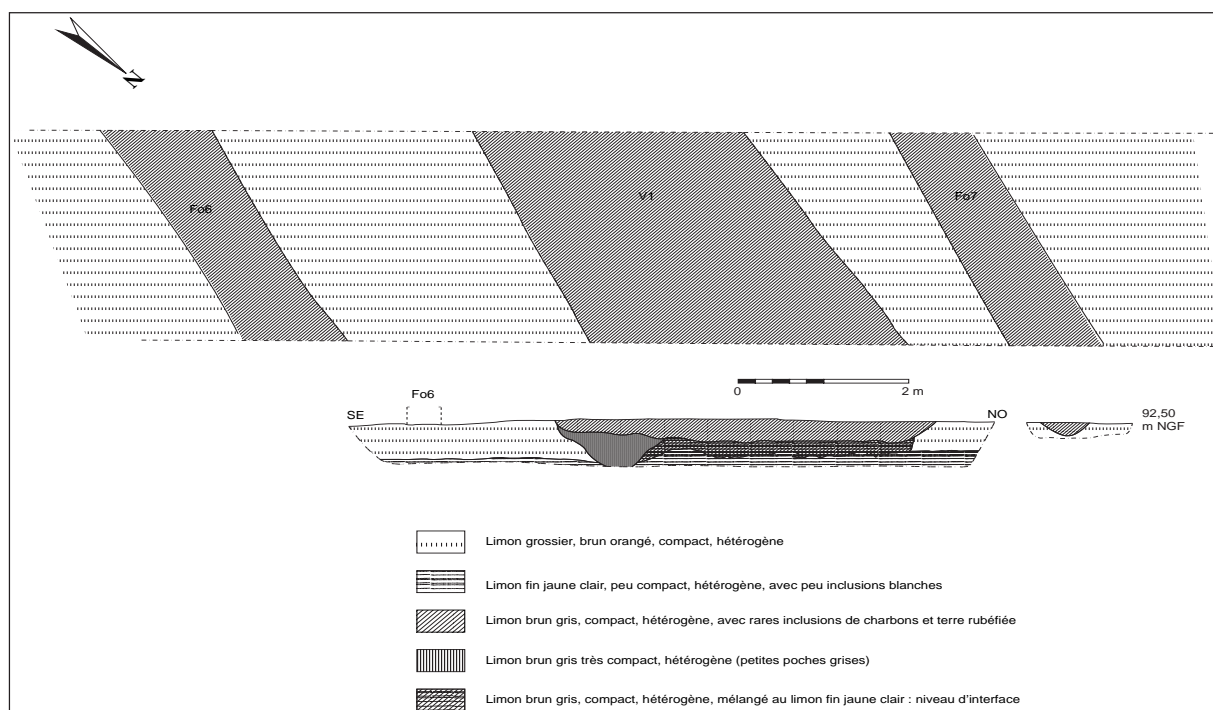


Fig. 75 : Tranchée 2, plan et coupe des fossés Fo6 et Fo7, de la voie V1 (Relevé et DAO : A. Lebrun).

finer sa datation, le mobilier exhumé étant trop rare.

Les investigations pratiquées sur le chemin d'Osny viennent donc une nouvelle fois rappeler combien il est difficile d'appréhender les voies dans l'espace et dans le temps⁶⁵. Voies et chemins sont des structures archéologiques complexes, d'autant plus qu'ils s'étendent au-delà des emprises de fouille, voire du cadre géographique des études, et que leur utilisation dans la très longue durée dépasse le champ des compétences chronologiques habituelles des archéologues.

65 Lefeuve, Pariat à paraître.

5.5 – L'époque contemporaine

Les deux seules structures rattachées à l'époque contemporaine sont une fosse et une tranchée d'infanterie de la Première Guerre Mondiale.

5.5.1 – La fosse F42

La fosse F42 se trouve dans la tranchée 17, localisée dans la partie sud du secteur B. Cette fosse de plan carré de 0,85 m de côté est apparue à 0,66 m sous la surface du sol actuel (fig. 76). Elle n'a pas été fouillée compte tenu des choix qui s'imposaient sur le site. Toutefois, comme

les autres structures, cette fosse a fait l'objet d'observations.

Son comblement en plan se caractérise par un limon sableux gris foncé homogène meuble et grossier. Par ailleurs, quelques vestiges apparaissaient en surface: du plastique, des tuiles, du verre, des clous et du plâtre. Cette structure date du XX^e s..

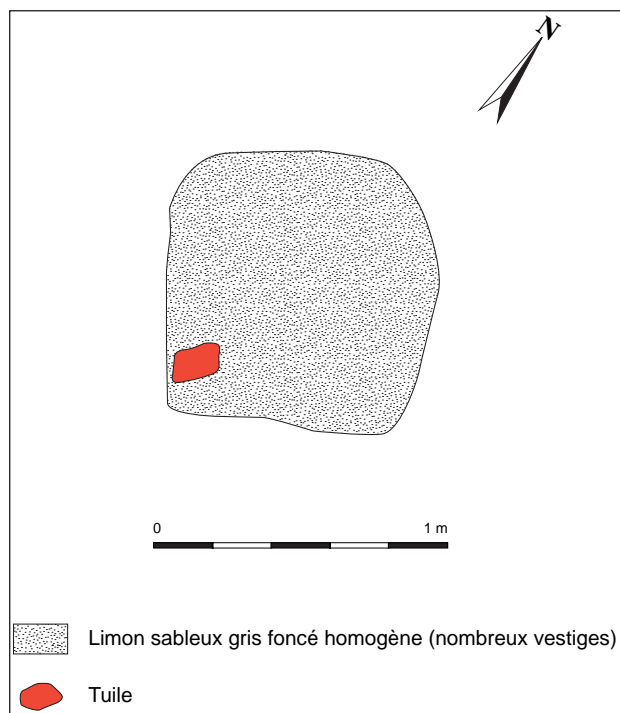


Fig. 76 : Tranchée 17, plan de la fosse F42 (Relevé et DAO : J.-G. Pariat).

5.5.2 – La tranchée d'infanterie de la Première Guerre Mondiale

5.5.2.1 – État des connaissances avant l'opération

Les tranchées d'infanterie de la Première Guerre Mondiale sont régulièrement documentées par la fouille au cours de ces dernières années⁶⁶. En plan, elles dessinent des créneaux. En coupe, elles présentent un profil caractéristique avec un creusement à fond plat qui ménage une banquette intermédiaire. Ce type de tranchée creusé sur une profondeur de 2,40 m permettait à la fois la circulation et la protection des soldats. La moitié la plus encaissée du boyau garantissait des déplacements à couvert, tandis que la banquette

66 Gleize, Gouedo à paraître.

intermédiaire servait de poste de tir. Le mobilier extrait de ces ouvrages est en général assez indigent. Par exemple, il était réduit à quelques tessons contemporains et à des débris métalliques peu caractéristiques sur des opérations réalisées à Beaumont-sur-Oise et à Neuville-sur-Oise⁶⁷.

En 2007, un diagnostic réalisé dans la plaine des Linandes avait permis d'observer une tranchée de ce genre dans la partie sud de l'emprise⁶⁸. La structure au profil à banquette mesurait 1,30 m de large pour 0,64 m de profondeur.

5.5.2.2 – La tranchée d'infanterie explorée en 2011

La tranchée d'infanterie repérée lors du diagnostic de 2007 fut retrouvée dans le secteur B de l'emprise. Elle fut repérée d'abord dans les tranchées 10, 11, 12 et 13 (Fo35, 39, 40) avant d'être décapée sur une surface continue de 100 m linéaires reliant entre elles les différentes tranchées (fig. 77).

Ce choix stratégique a permis d'observer la régularité des créneaux, leur espacement étant constamment de 10 m. Trois sondages ont ensuite été répartis à intervalle régulier sur la surface ouverte, perpendiculairement à l'axe de la tranchée (fig. 78). Ainsi, la largeur de la tranchée d'infanterie est de 1,60 m en moyenne pour une profondeur de 0,70 m à 0,84 m selon les cas. En coupe, on observe un profil à banquette et à fond plat, la banquette se trouvant systématiquement à l'est.

Le comblement principal se caractérise par un limon brun-gris, peu compact, très hétérogène. Dans ce comblement, des poches de limon jaune clair peu compact recelant des inclusions foncées viennent s'intercaler. Enfin, dans un cas, une poche de limon argilo-sableux brun-gris homogène s'intercale entre les couches précédemment évoquées.

Les vestiges retrouvés se scindent en 11 tessons dont trois fragments de porcelaine, 6 fragments de verre dont deux exemplaires de couleur vert irisé,

67 Lefevre 2010b, 2011b.

68 Pariat 2007.



Fig. 77 : Vue générale de la tranchée d'infanterie (Cliché: J.-G. Pariat).

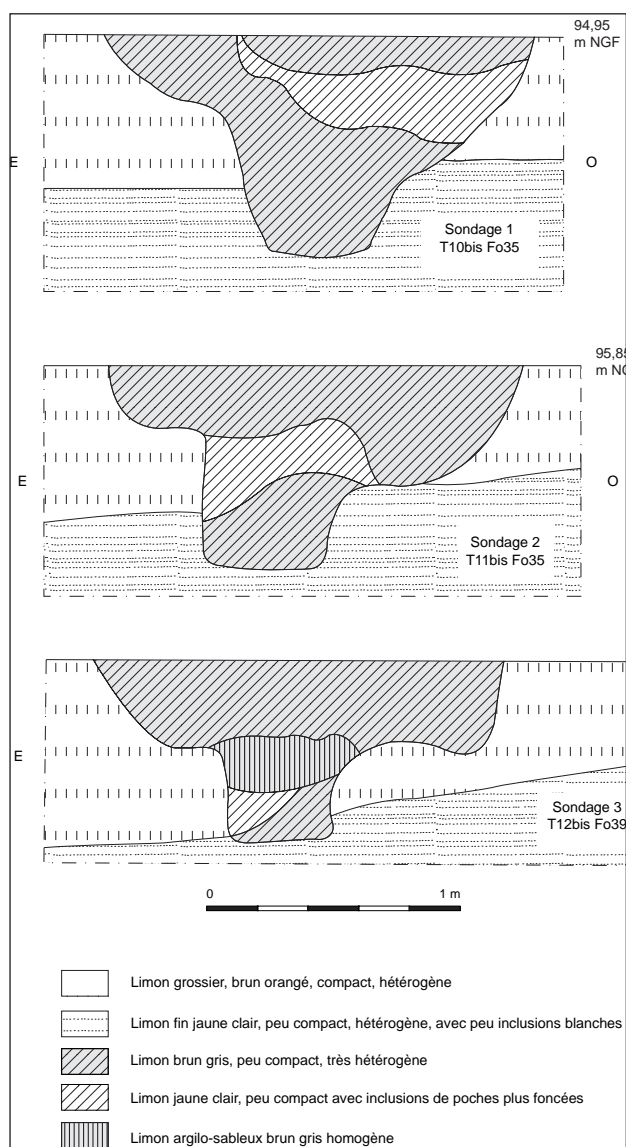


Fig. 78 : Tranchées d’infanterie, coupes des trois sondages (Relevés et DAO : A. Lebrun).

et 19 pièces métalliques parmi lesquelles un gond de porte, deux plaquettes et un boulon carré.

5.5.2.3 – Une connaissance qui s’enrichit

Le diagnostic de 2011 a permis d’appréhender la tranchée d’infanterie sur une plus grande surface que lors des opérations précédentes, et a notamment conduit à observer la régularité de l’espacement des créneaux.

Par ailleurs, les observations effectuées à partir des sondages indiquent un arasement particulièrement fort dans ce secteur du plateau, puisque la tranchée est au mieux conservée sur une profondeur de 1,24 m sous la surface actuelle du sol, alors qu’elle devait mesurer 2,40 m de haut à l’origine.

Conclusion générale

Le diagnostic réalisé à l'automne 2011 sur des parcelles de la plaine des Linandes à Cergy a révélé de multiples indices d'occupation, malgré une érosion importante. Elle est particulièrement marquée au sommet du plateau, sur plus de 1 m d'épaisseur, ce qui explique la rareté des structures rencontrées dans le secteur B.

Pourtant, les vestiges exhumés ont livré un grand nombre d'informations.

Les témoins d'occupation de l'époque néolithique sont relativement nombreux par comparaison avec les découvertes précédentes dans le secteur. Il s'agit de vestiges lithiques retrouvés tantôt dans des structures de l'âge du Fer, tantôt dans des horizons sableux, qui suggèrent la proximité d'une occupation dans les environs immédiats des secteurs explorés. À moins que cette potentielle occupation n'ait été détruite par les occupations plus récentes.

L'âge du Fer est caractérisé par deux batteries de silos distantes de 300 m, rattachées à la transition Hallstatt final / Tène ancienne. Cette période demeure méconnue dans le département et sa connaissance doit être enrichie par l'apport de nouveaux corpus. Par ailleurs, la présence de silos pose la question de l'existence d'un habitat ouvert, pourquoi pas dans l'intervalle des 300 m.

De façon plus générale on peut espérer dans un futur proche construire, en intégrant l'ensemble des données disponibles sur la plaine des Linandes, un tableau évolutif des petites unités domestiques rurales protohistoriques sur une durée de près de 600 ans.

Durant le Haut-Empire (I^{er}/II^e s. ap. J.-C.), une occupation se structure à partir d'un enclos. Outre un bâtiment à vocation agricole, les témoins d'activité métallurgique mis en évidence font ressortir le caractère lacunaire des recherches dans ce domaine. Les pistes de réflexions générées portent donc à la fois sur l'organisation interne de l'espace rural au début de l'Antiquité et sur la place de l'artisanat dans les campagnes romaines.

Les investigations menées sur le chemin d'Osny connu depuis l'époque moderne ont permis de mieux caractériser cette structure, sans toutefois pouvoir la dater plus finement. Enfin, une tranchée d'infanterie de la Première Guerre Mondiale a été décapée sur 100 m linéaires et sondée à trois reprises. Cette approche a notamment permis d'observer plus spécifiquement les modalités de construction d'un tel ouvrage (régularité de l'espacement des créneaux, position systématique de la banquette de tir etc.), et de mettre en évidence l'importance de l'érosion durant la période contemporaine.

Au final, les résultats de ce diagnostic soulèvent de multiples interrogations, que des investigations approfondies paraissent à même de résoudre. Ils ouvrent des perspectives d'analyses spatiales diachroniques engageantes à l'échelle de l'occupation d'un terroir, celui de la plaine des Linandes.

Bibliographie

Allard 2005 : ALLARD (P.) – *L'industrie lithique des populations rubanées du Nord-Est de la France et de la Belgique*. Ralden: Verlag Marie Leidorf GmbH, 2005. 280 p. ; 151 pl. h.t. (Internationale Archäologie, ASTK ; 86).

Arcelin, Truffeau-Libre 1998 : ARCELIN (P.), TRUFFEAU-LIBRE (M.) – *La quantification des céramiques, Conditions et protocoles* : Actes de la table ronde du Centre archéologique européen du Mont Beuvray (Glux-en-Glenne, 7-9 avril 1998). Glux-en-Glenne: Centre archéologique européen du Mont Beuvray, 1998. 157 p. (Bibracte ; 2).

Aubry 1991 : AUBRY (T.) – *L'Exploitation des ressources en matières premières lithiques dans les gisements solutréens et badegouliens du bassin versant de la Creuse (France)* : Thèse de doctorat. Bordeaux : Université de Bordeaux I, 1991.

Augereau et al. 2007 : AUGEREAU (A.), BRUNET (P.), COSTA (L.), COTTIAUX (R.), HAMON (T.), IHUEL (E.), LANGRY-FRANÇOIS (F.), MAGNE (P.), MAINGAUD (A.), MALLET (N.), MARTINEAU (R.), MILLE (B.), MILLET-RICHARD (L.-A.), POLLONI (A.), RENARD (C.), RICHARD (G.), SALANOVA (L.), SAMZUN (A.), SIDÉRA (I.), SOHN (M.) – Le Néolithique récent dans le Centre-Nord de la France (3400/3300 – 2800/2700 av. J.-C.) : l'avenir du Seine-Oise-Marne en question. In : ÉVIN (J.) dir. – *Congrès du Centenaire de la Société Préhistorique Française, Avignon, 21-25 septembre 2004, Un siècle de construction du discours scientifique en Préhistoire. « ...Aux conceptions d'aujourd'hui », XXVI^e Préhistorique de France*. Paris : Société Préhistorique Française, 2007, p. 165-184.

Augereau 1997 : AUGEREAU (A.) – L'économie lithique dans la culture Cerny. In : CONSTANTIN (C.), MORDANT (D.), SIMONIN (D.) – *La culture de Cerny, nouvelle économie, nouvelle société au néolithique* : Actes du colloque international de Nemours, 9-10-11 Mai 1994. Nemours: APRAIF, 1997, p. 269-283. (Mémoires du Musée de Préhistoire d'Ile-de-France).

Bardel 2005 : BARDEL (D.) – Le mobilier archéologique de l'habitat du Hallstatt final à Ecuelles Charmoy (Seine-et-Marne). In : BUCHSENSCHUTZ (O.), BULARD (A.), LEJARS (T.) – *L'âge du Fer en Ile-de-France* : actes du XXVI^e Colloque de l'AFEAF, Paris et Saint-Denis, 9-12 mai 2002. Tours: FERACF, 2005, p. 209-224. (supplément à la Revue archéologique du Centre de la France ; 26).

Bardel 2006 : BARDEL (D.) – Le mobilier céramique de la fin du Premier âge du Fer. In : VIAND (A.) et al. – *Milly-La-Forêt (91, Le Bois Rond* : rapport final d'opération du 14/03/05 au 10/05/05. Paris : Inrap ; Saint-Denis : SRAIF, 2006.

Bardel 2008 : BARDEL (D.) – Le mobilier céramique du Hallstatt final (fin VI^e, début Ve av. J.-C.) [L'habitat hallstattien de Milly-La-Forêt «Le Bois Rond»]. *Revue archéologique d'Ile-de-France*, 1, 2008, p. 139-149.

Bauvais 2004 : BAUVAIS (S.) dir. – *Gonesse (95), La ZAC des Tulipes, site protohistorique II* : Document final de synthèse des fouilles menées du 4 septembre au 31 octobre 2002. Saint-Denis : SRA Ile-de-France, INRAP, [2004].

Besnard-Vauterin 2009 : BESNARD-VAUTERIN (C.-S.) dir. – *En plaine de Caen, une campagne gauloise et antique* : L'occupation du site de l'Étoile à Mondeville. Rennes : Presses Universitaires de Rennes, 2009.

Blancquaert 2000 : BLANCQUAERT (G.) – L'âge du Fer dans le Nord-Pas-de-Calais : les sites de Coquelles et de Fréthun (62). In : MARION (S.), BLANCQUAERT (G.) – *Les installations agricoles de l'âge du Fer en France septentrionale*. Paris : Presses de l'École normale supérieure, 2000, p. 359-370. (Études d'Histoire et d'Archéologie ; 6). **Bruant et al. à paraître** : BRUANT (J.), COTTE (O.), DESRAYAUD (G.), PISSOT (V.) et coll. TOUQUET (R.) – Vases entiers dans des fossés : des pratiques liées au bornage des terres ? Présentation de trois exemples franciliens. *Revue archéologique d'Ile-de-France*, n° 4, à paraître.

Chevallier 1986 : CHEVALLIER (R.) – *Les mines et la métallurgie en Gaule et dans les provinces voisines* : Actes du colloque, 26-27 avril 1986. Paris : Errance, 1986. (Caesarodunum ; 21).

Clavel-Lévêque et al. 1993: CLAVEL-LÉVÊQUE (M.), CONSO (D.), FAVORY (F.), GUILLAUMIN (J.-Y.), ROBIN (P.) – *Siculus Flacus, De conditionibus agrorum*. Naples: Jovene, 1993.

Collart 1990: COLLART (J.-L.) – *Verneuil-en-Halatte, Le Bufosse*: Rapport de fouille. Amiens: SRA Picardie, 1990.

Collin, Toussaint 1998: COLLIN (E.), TOUSSAINT (P.) – Nécropole mérovingienne d'Osny (Seine-et-Oise). *Association française pour l'avancement des sciences*, 1, 1998, p. 188.

Desrayaud et al. 2011: DESRAYAUD (G.), BÉMILLI (C.), DURAND (J.) – Fosses du Halstatt final à Lieusaint, Le Bras de Fer (Seine-et-Marne). *Revue Archéologique d'Île-de-France*, 3, 2010, p. 107-132.

Dumasy 2010: DUMASY (F.) – Villes, agglomérations, campagnes: comment évoluent-elles au début de la période romaine? In: OUZOU-LIAS (P.) dir., TRANOY (L.) dir. – *Comment les Gaules devinrent romaines*. Paris: La Découverte, 2010, p. 143-158.

Durand 2006: DURAND (J.-C.) – *Puiseux-Pontoise, Angle du boulevard du Moulin-à-Vent et impasse de la Boulaye, Val d'Oise, Ile-de-France*: rapport de diagnostic du 11 au 24 mai 2006. Pantin: INRAP; Saint-Denis: SRAIF, 2006.

Durvin et Brunaux 1983: DURVIN (P.), BRUNAU (J.-L.) – Le matériel protohistorique de Thiverny (Oise). In: BARDON (L.) et al. – *Les Celtes dans le Nord du Bassin Parisien (VI^e – I^{er} s. avant J.-C.)*: actes du V^e Colloque de l'AFEAF, Senlis, 30-31 mai 1981. *Revue archéologique de Picardie*, 1, 1983, p. 12-32.

Garmond 2007: GARMOND (N.) – *Les industries lithiques du Chasséen septentrional. Bilan actuel et questions*: mémoire de Master 2 en archéologie. Paris: Université de Paris 1, 2007.

Gleize, Gouedo à paraître: GLEIZE (M.-F.), GOUÉDO (J.-M.) – *Archéologie des conflits récents, le cas de l'Île-de-France* [à paraître].

Gransar 2002: GRANSAR (F.) – La batterie de silos de Soupir, Le Grand Champ Jacques, (Aisne): contribution à l'identification d'une centralisation du stockage à La Tène B dans le Nord

de la France. In: *Repas des vivants et nourriture pour les morts en Gaule*: Actes du XXV^e Colloque de l'AFEAF, Charleville-Mézières 2001. Reims: Société Archéologique Champenoise.; 2002, p. 67-80. (*Supplément au Bulletin de la SAC*; 1).

Joussaume et al. 2002: JOUSSAUME (R.), FOUÉRE (P.), CRÉDOT (R.), ROGER (J.) – Dolmens des Quatre Routes et de Bois Neuf III à Marsac (Creuse). *Bulletin de la Société Préhistorique Française*, 99-1, 2002, p. 49-80.

Lafage dir. 2006: LAFAGE (F.) dir., AUXIETTE (G.), BRUNET (P.), MARION (S.), MARTIAL (E.), MATTERNE (V.), PARIAT (J.-G.) – *Changis-sur-Marne (77), La Pelle à Four Sud, Établissements ruraux du Bronze final et de La Tène*: Rapport final d'opération. Pantin: INRAP; Saint-Denis: SRAIF, 2006.

Lefevre 2010a: LEFEUVRE (A.) – *Cergy, ZAC des Linandes, 2^e tranche, phase 2 (département du Val d'Oise, 95)*: rapport de diagnostic archéologique du 01/09/2010 au 21/09/2010. Saint-Ouen-l'Aumône: SDAVO; Paris: SRAIF, 2010.

Lefevre 2010b: LEFEUVRE (A.) – *Beaumont-sur-Oise, La Blanche Voye, Projet de piscine*: rapport de diagnostic archéologique du 01/10/2009 au 13/11/2009. Saint-Ouen-l'Aumône: SDAVO; Paris: SRAIF, 2010.

Lefevre 2011a: LEFEUVRE (A.) – Note sur une bague à intaille gallo-romaine récemment découverte à Cergy (95). *Revue archéologique du Vexin Français et du Val d'Oise*, n° 42, 2011, p. 55-57.

Lefevre 2011b: LEFEUVRE (A.) – *Neuville-sur-Oise, ZAC Neuville 2, phase 1*: rapport de diagnostic archéologique du 04/04/2011 au 20/04/2011. Saint-Ouen-l'Aumône: SDAVO; Paris: SRAIF, 2010.

Lefevre, Pariat à paraître: LEFEUVRE (A.), PARIAT (J.-G.) – La fouille d'un grand axe médiéval moderne à Cergy: «Le Vieux Chemin de Rouen». In: ROBERT (S.), VERDIER (N.) – *Rapport de PCR Dynarif*, à paraître.

Letterle 1995: LETTERLÉ (F.) – Le site d'habitat Néolithique final – Chalcolithique des Pochailles, commune de Vaudoué, Seine-et-Marne. *Bulletin de la Société Préhistorique Française*, 92-1, 2002, p. 83-96.

- Marion 2004**: MARION (S.) – Recherches sur l'âge du Fer en Ile-de-France, entre Halls-tatt final et La Tène finale: Analyse des sites fouillés, Chronologie et société. Oxford: British Archaeological Reports (BAR), 2004. 2 vol. (BAR International Series; 1231).
- Ouzoulias 2010**: OUZOULIAS (P.) – Les campagnes gallo-romaines: quelle place pour la villa? In: OUZOULIAS (P.) dir., TRANOY (L.) dir. – *Comment les Gaules devinrent romaines*. Paris: La Découverte, 2010, p. 189-212.
- Pariat 2007**: PARIAT (J.-G.) – *Cergy, ZAC des Linandes (95)*: rapport de diagnostic archéologique du 01/10/2007 au 19/10/2007. Saint-Ouen-l'Aumône: SDAVO; Paris: SRAIF, 2007.
- Pariat 2009**: PARIAT (J.-G.) dir., JOUANIN (G.), CORSIEZ (A.), EMERY-BARBIER (A.), GAR-MOND (N.), LEFEUVRE (A.), MARET (V.), MARQUE (R.), RÉROLLE (C.), RODRIGUEZ (P.), WABONT (M.) – *Cergy, ZAC des Linandes (95), un établissement rural de la fin de l'Âge du Fer*: rapport final d'opération du 01/09/08 au 29/11/08. Saint-Ouen-l'Aumône: SDAVO; Paris: SRAIF, 2009.
- Pariat 2010**: PARIAT (J.-G.) – *Cergy, ZAC des Linandes 2, département du Val d'Oise (95), phase 1*: rapport de diagnostic archéologique du 01/06/2010 au 30/06/2010. Saint-Ouen-l'Aumône: SDAVO; Paris: SRAIF, 2010.
- Pariat et al. sous presse**: PARIAT (J.-G.), CORSIEZ (A.), JOUANIN (G.) – *Cergy, ZAC des Linandes (Val d'Oise): une ferme gauloise?* *Revue Archéologique d'Île-de-France*, n° 4, à paraître.
- Philippe 2000**: PHILIPPE (J.) – *Les fibules de Seine-et-Marne du I^{er} s. av. J.-C. au V^e s. ap. J.-C.* Nemours: GASM, 2000. – 234 p. (Mémoires archéologiques de Seine-et-Marne; 1).
- Robert 2010**: ROBERT (S.) dir. – *Commeny/ Guiry-en-Vexin (95), Chaussée Jules-César – La Porte de Mantes*: rapport de sondage archéologique programmé du 01/07/2009 au 31/07/2009 et rapport de prospection géophysique du 08/02/2010 au 09/02/2010. Saint-Ouen-l'Aumône: SDAVO, 2010.
- Rosenberger 2010**: ROSENBERGER (F.) – *Cergy, Parc d'Activités de l'Horloge, lot B (Val-d'Oise)*: rapport de diagnostic archéologique du 02/02/06 au 10/02/06. Paris: INRAP, SRAIF, 2006.
- Sarreste 2008**: SARRESTE (F.) – *La sidérurgie ancienne dans le Bas Maine (VIII^e s. av. J.-C. – XV^e s. ap. J.-C.)*: Thèse de doctorat en Histoire et Archéologie. Tours: Université François-Rabelais, 2008.
- Trément 2010**: TRÉMENT (F.) – Romanisation et développement dans les campagnes des Gaules. In OUZOULIAS (P.) dir., TRANOY (L.) dir. – *Comment les Gaules devinrent romaines*. Paris: La Découverte, 2010, p. 159-176.
- Valais 1994**: VALAIS (A.) – *Herblay (Val d'Oise), opérations archéologiques sur l'emprise de la ZAC Olympium*: Document final de synthèse. Paris: AFAN; Saint-Denis: SRAIF, 1994, vol.1, p.30-41.
- Viand et al. 2006**: VIAND (A.) dir., AUXIETTE (G.), BARDEL (D.), BERTIN (P.), DELATTRE (V.) – *Milly-La-Forêt (91), Le Bois Rond*: rapport final d'opération du 14/03/05 au 10/05/05. Paris: Inrap; Saint-Denis: SRAIF, 2006.

Liste des figures

Fig. 1 : Plan de localisation du site (DAO : J.-G. Pariat).	13
Fig. 2 : Localisation des logs pratiqués dans l'emprise du site (DAO : J.-G. Pariat).	14
Fig. 3 : Les cinq logs (Clichés : A. Lebrun, J.-G. Pariat, DAO : A. Lebrun).	15
Fig. 4 : Sites archéologiques identifiés dans un rayon de 1 km autour de l'emprise du diagnostic (DAO : J.-G. Pariat).	16
Fig. 5 : Vue du secteur A en cours de décapage (Cliché : J.-G. Pariat).	19
Fig. 6 : Vue de détail d'une fibule antique (Cliché : J.-G. Pariat).	21
Fig. 7 : Plan général phasé du site (Topographie et DAO : J.-G. Pariat).	20
Fig. 8 : Tranchée 6, niveau d'apparition de l'horizon limoneux argilo-sableux gris clair (Cliché : J.-G. Pariat).	22
Fig. 9 : Fragment de hache polie issu de la tranchée 5 (Cliché : B. Bapst).	23
Fig. 10 : Armature issue de la tranchée 18, échelle 1 (Dessin : B. Bapst).	23
Fig. 11 : Fragment de hache polie issu de la tranchée 2 (Cliché : B. Bapst).	23
Fig. 12 : Nucléus obtenu par débitage unipolaire issu de la tranchée 6, échelle 1 (Dessin : B. Bapst).	24
Fig. 13 : Grattoir sur lame issu du silo F52, échelle 1 (Dessin : B. Bapst).	24
Fig. 14 : Tranchée 1, silo 4, niveau d'apparition de la structure (Cliché : B. Bapst).	27
Fig. 15 : Tranchée 1, silo 4, plan et coupe (Relevé : B. Bapst, DAO : A. Lebrun).	28
Fig. 16 : Tranchée 1, silo 4, concentration de blocs de torchis près de la paroi (Cliché : B. Bapst).	27
Fig. 17 : Tranchée 1, silo 4, -1,20 m / -1,40 m, fragment de torchis perforé (Cliché : J.-G. Pariat).	29
Fig. 18 : Tranchée 1, silo 4, -1,20 m / -1,40 m, partie active d'un fragment de meule (Cliché : J.-G. Pariat).	29
Fig. 19 : Tranchée 1, silo 46, niveau d'apparition de la structure (Cliché : A. Lebrun).	30
Fig. 20 : Tranchée 1, silo 46, plan et coupe (Relevé : B. Bapst, J.-G. Pariat, DAO : A. Lebrun).	31
Fig. 21 : Tranchée 1, silo 46, coupe (Cliché : A. Lebrun).	32
Fig. 22 : Tranchée 1, silo 47, niveau d'apparition de la structure (Cliché : A. Lebrun).	33
Fig. 23 : Tranchée 1, silo 46, plan et coupe (Relevé : B. Bapst, J.-G. Pariat, DAO : A. Lebrun).	34
Fig. 24 : Tranchée 1, silo 46, coupe (Cliché : J.-G. Pariat).	33
Fig. 25 : Tranchée 1, silo 46, quelques fragments de torchis (Clichés : J.-G. Pariat). a et b : torchis perforé / c et d : négatifs de branchage.	35
Fig. 26 : Tranchée 9, silo 33, vue en plan de la structure (Cliché : A. Lebrun, DAO : A. Lebrun).	36
Fig. 27 : Tranchée 9, silo 33, concentration de mobilier dans la couche supérieure (Cliché : A. Lebrun).	37
Fig. 28 : Tranchée 9, silo 33, coupe (Cliché : J.-G. Pariat).	37

Fig. 29 : Tranchée 9, silo 34, vue en plan de la structure (Cliché : A. Lebrun).	38
Fig. 30 : Tranchée 9, silo 34, plan et coupe (Relevé et DAO : A. Lebrun).	39
Fig. 31 : Tranchée 9, silo 34, coupe (Cliché : J.-G. Pariat).	41
Fig. 32 : Tranchée 9, silo 34, exemple de trace de découpe identifiée sur une côte (Cliché : J.-G. Pariat).	41
Fig. 33 : Tranchée 9, silo 52, vue en plan de la structure (Cliché : A. Lebrun).	42
Fig. 34 : Tranchée 9, silo 52, plan et coupe (Relevé et DAO : A. Lebrun).	42
Fig. 35 : Tranchée 9, silo 52, coupe (Cliché : A. Lebrun).	43
Fig. 36 : Tranchée 9, vue générale des structures dès leur niveau d'apparition (Cliché : J.-G. Pariat).	43
Fig. 37 : Tranchée 9, plans des structures 49, 50, 51, 55 (Relevés : A. Lebrun, J.-G. Pariat, DAO : A. Lebrun).	44
Fig. 38 : Tranchée 1, silo 4, principales formes céramiques (Dessin, DAO : C. Toupet Laporte-Cassagne).	50
Fig. 39 : Tranchée 1, silo 47, principales formes céramiques (Dessin, DAO : C. Toupet Laporte-Cassagne).	52
Fig. 40 : Tranchée 9, silo 34, principales formes céramiques (Dessin, DAO : C. Toupet Laporte-Cassagne).	53
Fig. 41 : Tranchée 9, silos 33 et 52, principales formes céramiques (Dessin, DAO : C. Toupet Laporte-Cassagne).	55
Fig. 42 : Exemples de décors observés sur des tessons issus des silos (Clichés : C. Toupet Laporte-Cassagne).	56
Fig. 43 : Bord de faisselle et fusaïole issues des silos 34 et 47. (Clichés : C. Toupet Laporte-Cassagne).	56
Fig. 44 : Distribution des batteries de silos répartis sur les 60 ha du site de Changis (77, DAO : F. Lafage).	58
Fig. 45 : Plan détaillé de la zone antique, secteur A (Topographie et DAO : J.-G. Pariat).	59
Fig. 46 : Tranchée 7, niveau d'apparition de l'angle sud-est de l'enclos (Cliché : J.-G. Pariat).	60
Fig. 47 : Tranchée 7, plan et coupes du segment de fossé Fo31 (Relevé : J.-G. Pariat, DAO : A. Lebrun).	60
Fig. 48 : Tranchée 5, plan et coupe du fossé Fo20 (Relevé : A. Lebrun, DAO : J.-G. Pariat).	61
Fig. 49 : Tranchée 5, plan et coupes du fossé Fo41 (Relevé et DAO : J.-G. Pariat).	62
Fig. 50 : Tranchée 6, niveau d'apparition du segment de fossé Fo27 (Cliché : B. Bapst).	62
Fig. 51 : Tranchée 6, plan et coupe du fossé Fo27 (Relevé : B. Bapst, DAO : J.-G. Pariat).	63
Fig. 52 : Tranchée 6, niveau d'apparition du segment de fossé Fo22 (Cliché : A. Lebrun).	64
Fig. 53 : Tranchée 6, plan et coupe du fossé Fo22 (Relevé : A. Lebrun, DAO : J.-G. Pariat).	63
Fig. 54 : Tranchée 6, plan et coupe du fossé Fo23 (Relevé : B. Bapst, DAO : J.-G. Pariat).	65

Fig. 55 : Tranchée 5, structure St16, vue zénithale (Clichés : J.-G. Pariat).	65
Fig. 56 : Tranchée 5, structure St16, localisation et vue d'un vase écrasé en place sous l'empierrement (Cliché : J.-G. Pariat).	66
Fig. 57 : Tranchée 5, structure St16, vue de détail d'une meule à va-et-vient (Cliché : J.-G. Pariat).	66
Fig. 58 : Secteur A, entre tranchées 5 et 6, vue des fondations d'un bâtiment (Clichés et montage : J.-G. Pariat).	67
Fig. 59 : Secteur A, entre tranchées 5 et 6, calages de poteau et des interruptions au niveau des fondations d'un bâtiment (Clichés et montage : J.-G. Pariat).	68
Fig. 60 : Secteur A, entre tranchées 5 et 6, coupe des fondations du bâtiment (Relevé et DAO : J.-G. Pariat).	67
Fig. 61 : Tranchée 6, structure 26, plan et coupe (Relevé : A. Lebrun, B. Bapst, DAO : A. Lebrun).	69
Fig. 62 : Tranchée 6, structure 26, vue en coupe (Cliché : J.-G. Pariat).	70
Fig. 63 : Tranchée 6, structure 26, diagramme de répartition du mobilier.	72
Fig. 64 : Tranchée 6, structure 26, exemple de scorie associée au comblement (Cliché : A. Lebrun).	72
Fig. 65 : Tranchée 6, structure 26, fragment de lingot (Cliché : J.-G. Pariat).	71
Fig. 66 : Tranchée 6, structure 26, monnaie issue du comblement principal (Cliché : J.-G. Pariat).	71
Fig. 67 : Tranchée 6, structure 26, fibule de type Feugère 23b (Cliché : J.-G. Pariat).	71
Fig. 68 : Tranchée 6, structure 26, exemple d'estampille présente un tesson de sigillée (Cliché : A. Lebrun).	73
Fig. 69 : Tranchée 5, fosse F19, niveau d'apparition de la structure (Cliché : A. Lebrun).	73
Fig. 70 : Tranchée 5, fosse F19, plan et coupe de la structure (Relevé et DAO : A. Lebrun).	75
Fig. 71 : Tranchée 5, fosse F19, céramique sigillée bilobée du centre (Cliché : A. Lebrun).	74
Fig. 72 : Tranchée 5, structure St18, vue oblique de la structure (Cliché : A. Lebrun).	74
Fig. 73 : Tranchée 5, structure St18, plan et coupe (Relevé et DAO : A. Lebrun).	76
Fig. 74 : Tranchée 2, coupe du chemin d'Osny (Cliché : J.-G. Pariat).	78
Fig. 75 : Tranchée 2, plan et coupe des fossés Fo6 et Fo7, de la voie V1 (Relevé et DAO : A. Lebrun).	78
Fig. 76 : Tranchée 17, plan de la fosse F42 (Relevé et DAO : J.-G. Pariat).	79
Fig. 77 : Vue générale de la tranchée d'infanterie (Cliché : J.-G. Pariat).	80
Fig. 78 : Tranchées d'infanterie, coupes des trois sondages (Relevés et DAO : A. Lebrun).	81
Tableaux :	
Tab. 1 : Répartition du mobilier céramique par structures (les fragments découverts hors contexte n'ont pas été pris en compte, soient 46 tessons).	45

Annexe 1

Étude archéo-géographique (par S. Robert)

I – Environnement oro-hydrographique (fig. 1)

L'emprise de l'opération est située sur la ligne de crête partageant les bassins versants de l'Oise et de la Viosne. La ligne de crête est matérialisée par le passage de la N14 qui est implantée à son sommet. La zone du diagnostic est drainée vers l'Oise, méandre de Cergy, contrairement à l'emprise des tranches 1 et 2 qui était drainée vers la Viosne. Ce secteur n'est actuellement traversé par aucun cours d'eau pérenne cartographié. L'écoulement restitué pour la phase 2 ne se prolonge pas dans l'emprise de la tranche 3. L'autoroute A15, construit en déblai, a profondément entamé les courbes de niveau au sud de l'emprise et a pu renforcer l'écoulement vers le sud de la parcelle.

II – Inscription dans le réseau viaire (d'ap. Robert 2006) (fig. 2)

Inscription dans le réseau de grand parcours : l'itinéraire Paris-Rouen orienté nord-ouest/sud-est.

La zone diagnostiquée est située à 700 m au sud de la *Chaussée Jules-César*, associée traditionnellement à l'itinéraire Paris-Rouen par Pontoise connu par la Table de Peutinger et l'Itinéraire d'Antonin¹. Cette voie a fait l'objet de six opérations de diagnostics et de fouilles entre 1999 et 2011, qui ont permis son observation stratigraphique et sa datation. Elle présente les caractéristiques des grandes voies publiques antiques : tracé arpenté et succession de couches construites en dur. Sa mise en place a été datée à Courcelles-sur-Viosne, Commény et Guerny du I^{er} s. ap. J.-C.². Elle pourrait correspondre à une phase d'activité routière sous Claude (41-54), proposée traditionnellement par les chercheurs à partir de la reconnaissance d'un grand nombre de bornes milliaires datant de son règne³. L'existence d'un chemin antérieur à la voie antique a été mise en évidence à Guiry-en-Vexin et à Commény⁴.

1 Dutilleul 1881 p. 505 et 512

2 Robert 2010

3 Grenier 1985 (1934)

4 Robert 2010

Dans le Vexin français, la *Chaussée Jules-César* a été entretenue jusqu'au III^e s., (aménagement du talus, nouveau niveau de circulation à Commeny), à Courcelles (recharges, nouveau niveau de circulation) et à Guerny (pose de deux nouveaux niveaux de fondation et deux niveaux de circulation), puis une rupture est lisible au début du III^e s. : fin de la construction en dur de la voie à Courcelles et Commeny, abandon des occupations à Guerny et Commeny. Elle semble toutefois utilisée jusqu'au VI^e s. à Commény et a perduré sous la forme d'un chemin de terre sur une grande partie de son parcours.

Cette voie ancienne a été concurrencée à partir du Moyen-Âge par deux chemins plus septentrionaux : le « Vieux Chemin » passant par Genainville et un tracé passant par Puiseux, Le Bord'Haut de Vigny etc., qui a été redressé par la route royale puis aménagé pour constituer l'actuelle nationale 14⁵. L'actuelle N 14 correspond au redressement effectué au XVIII^e s.. Elle délimite l'emprise nord de l'opération.

Le *Chemin de Pontoise à Meulan* passe à une cinquantaine de mètres au sud de l'emprise. Ce chemin permettait de relier Pontoise à un des principaux points de passage sur la Seine où un port est connu depuis l'Antiquité. On note la présence au sud de la limite d'emprise d'une zone de carrefour importante où convergent plusieurs chemins de grand et petit parcours.

Autres voies

L'emprise de l'opération est traversée par l'ancien *Chemin d'Osny* dit aussi *Chemin de Gency à Osny*. Ce chemin n'est pas structurant pour le parcellaire et s'inscrit plutôt dans une relation de petit parcours entre deux communes limitrophes. Il est déjà présent en 1745-1780 puis reste actif jusqu'en 1956-1959. Une partie de ce chemin est cartographié sur le scan 25 au nord de la parcelle mais le reste semble avoir disparu lors des remembrements intervenus à cette date (cf. § Historique de la parcelle).

Le chemin qui limite la parcelle à l'ouest apparaîtrait pour la première fois sur le cadastre napoléonien en 1813. Il ne porte pas de nom mais

5 Robert 2002 et 2006

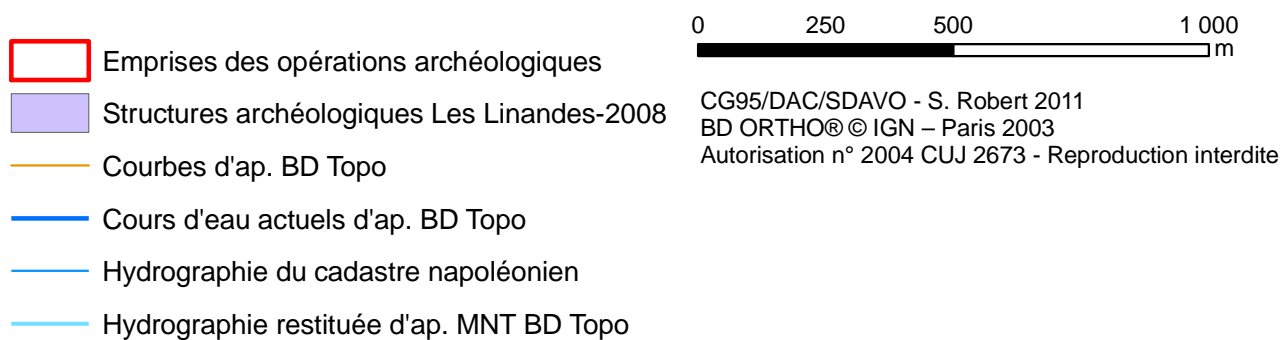
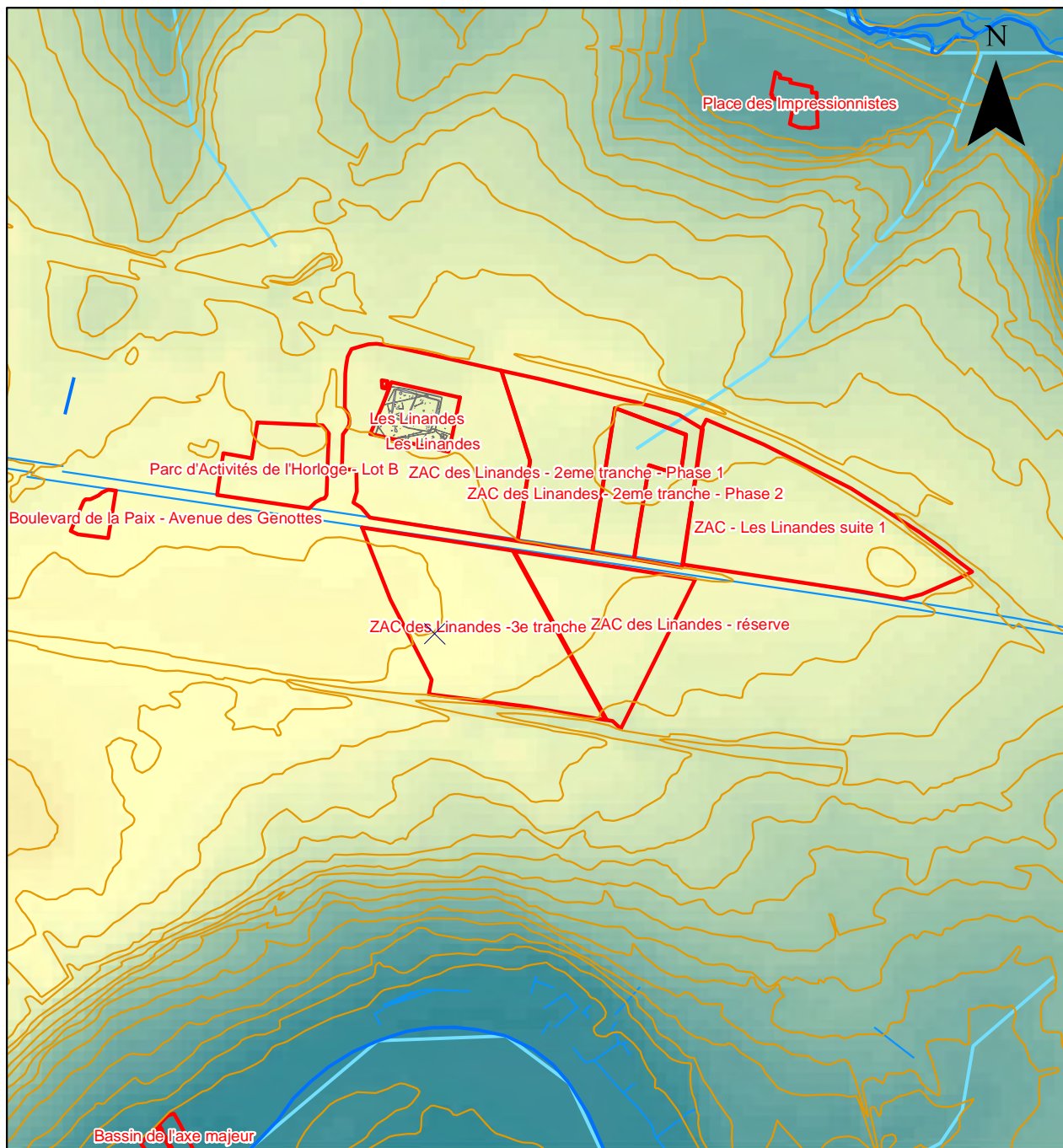


Fig. 1 : Localisation de l'emprise de l'opération dans le contexte oro-hydrographique.

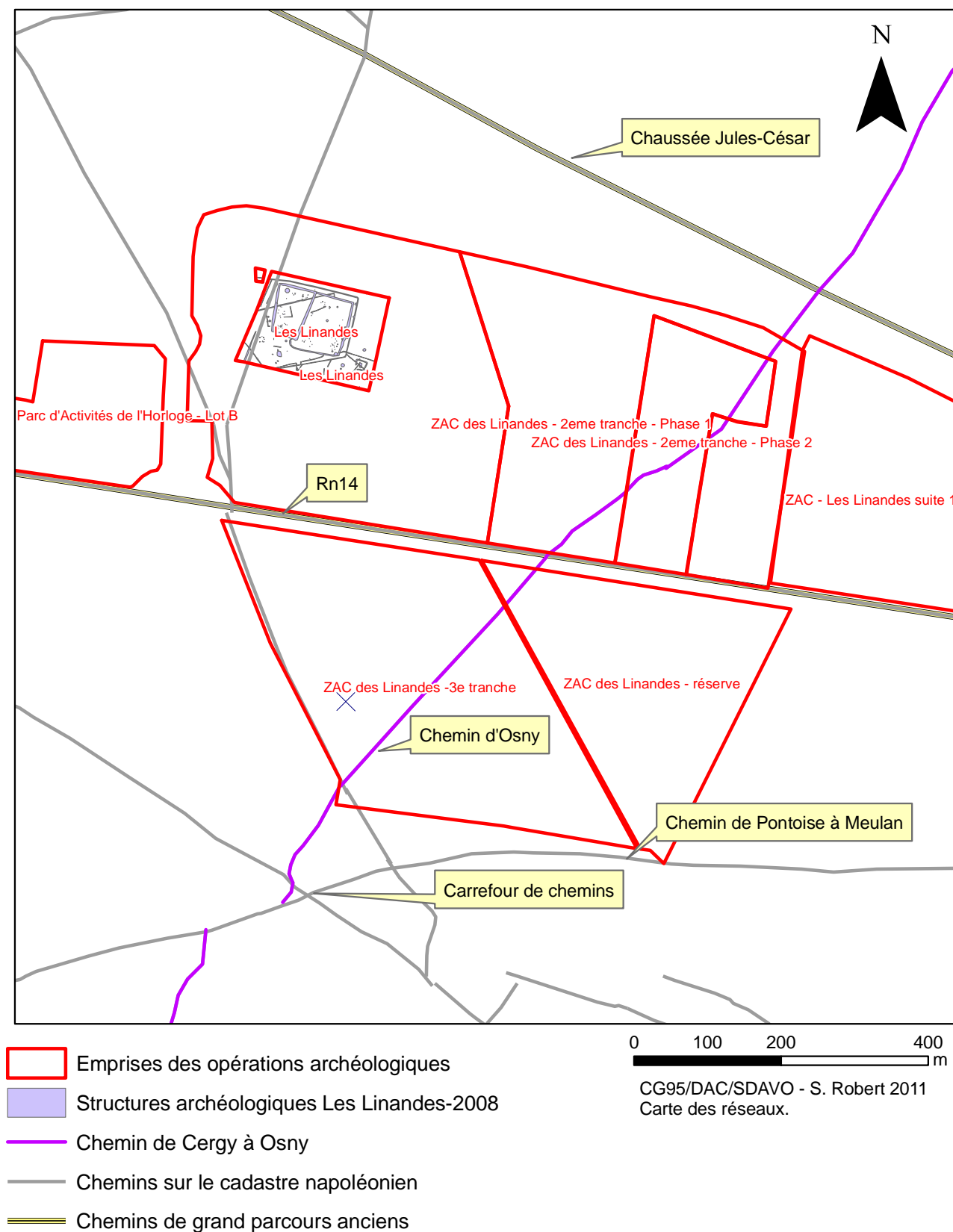


Fig. 2 : Insertion de la zone à diagnostiquer dans le réseau routier.

rejoint la Chaussée Jules-César au chemin de Puiseux à Gency.

III – Organisation des trames parcellaires (fig. 3) :

Une orientation sud-ouest/nord-est structure l'ensemble de la zone. La *Chaussée Jules-César* apparaît nettement comme l'axe morphogénétique pour cette orientation. Plusieurs limites fortes du parcellaire sont parallèles ou perpendiculaires à son axe. Cette orientation a été observée sur les communes de Courcelles-sur-Viosne, Puiseux-Pontoise et Courdimanche où elle a été repérée sur une bande de 4 km sur 1,5 km environ. À Courdimanche, les structures archéologiques repérées lors des opérations de la *ZAC Sainte-Apolline*, du *Fief à Cavan* et de *La Touffe* ont montré que cette orientation était déjà dominante à La Tène Finale, du I^{er} s. au III^e s. ap. J.-C. et jusqu'au VIII^e s. ap. J.-C.⁶. Aux Linandes, l'établissement rural daté du second âge du Fer (Tène D1) fouillé en 2008 entre également dans cette orientation.

C'est également l'orientation générale du plateau axé sur le synclinal de la Viosne. Les écoulements drainant le plateau s'y inscrivent en partie. Localement, la correspondance entre l'oro-hydrographie et un axe de circulation de grand parcours a pu imprimer une orientation durable dans le paysage⁷.

Sur l'emprise de la tranche 3, cette orientation s'est maintenue dans les grandes lanières créées suite au remembrement.

IV – Historique de la parcelle du XVIII^e s. à aujourd'hui : carto et photo-interprétation

– État 1745-1780 : Atlas de Trudaine, planche 9, Archives Nationales, F14 bis/8448.

La parcelle est emblavée. Le chemin d'Osny est actif et traverse l'emprise (fig. 4).

6 Lefevre *et al* 2009 p. 32

7 On note qu'à Pontoise et à Saint-Ouen-l'Aumône, la Chaussée Jules-César n'est pas morphogénétique pour le parcellaire (Robert 2002). On ne peut donc pas supposer la mise en place d'un parcellaire systématique associé à cet axe.

– État 1778 : Plan d'Intendance de Cergy, ADVO 25Fi 23.

L'emprise est sur la paroisse de Cergy. Elle est située dans des terres emblavées au lieu-dit « Les Rougettes » qui peut faire référence à une couleur des sols marquée par la présence de vestiges archéologiques (cf. Les Terres Rouges etc.).

La « Nouvelle Route de Rouen à Pontoise » est tracée. Le « chemin de Gency à Osny » est figuré.

– État 1813 : Cadastre Napoléonien, Parcellaire de Cergy, 1813, Archives départementales du Val-d'Oise.

Le parcellaire foncier est représenté précisément pour la première fois. Son orientation est nord-est/sud-ouest, perpendiculaire à la chaussée Jules-César. Le parcellaire est très nettement recoupé par la nouvelle route royale. L'emprise de l'opération est située sur la commune de Cergy aux lieux-dits « Les Rougettes » et « La Croix-Rouge ». Le chemin d'Osny est toujours actif et a donné son nom à un toponyme. Le chemin à l'ouest de l'emprise apparaît pour la première fois (fig. 5).

– État 1818-1839 : Minutes d'État-Major au 1/10000^e, archives de la cartothèque de l'IGN.

La zone est emblavée. Une remise est figurée au nord-est de la parcelle diagnostiquée. Le chemin d'Osny est figuré. Une zone de vignoble est figurée à l'ouest (fig. 6).

– État 1870 : Plan directeur feuille 2213-3d, archives de la cartothèque de l'IGN.

Le chemin d'Osny est cartographié.

Idem sur la révision en 1929.

– État 1934 : Mission Pontoise 1934, 2213-n° 1, cliché 69, Archives de l'Institut Géographique National.

La zone est emblavée. Le parcellaire n'est pas remembré. Le chemin d'Osny est toujours actif. Une nouvelle zone de plantation apparaît en limite est de l'emprise. Le tirage de mauvaise qualité (rayures) rend difficile la photo-interprétation (fig. 7).

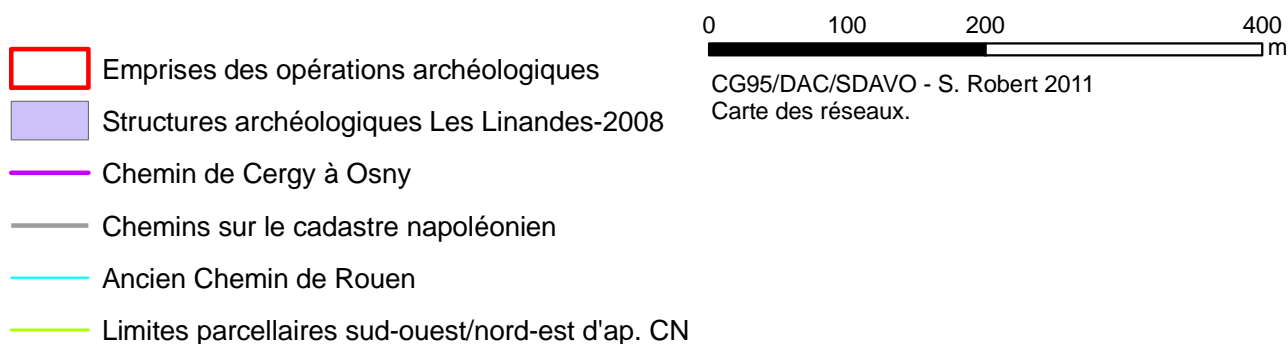
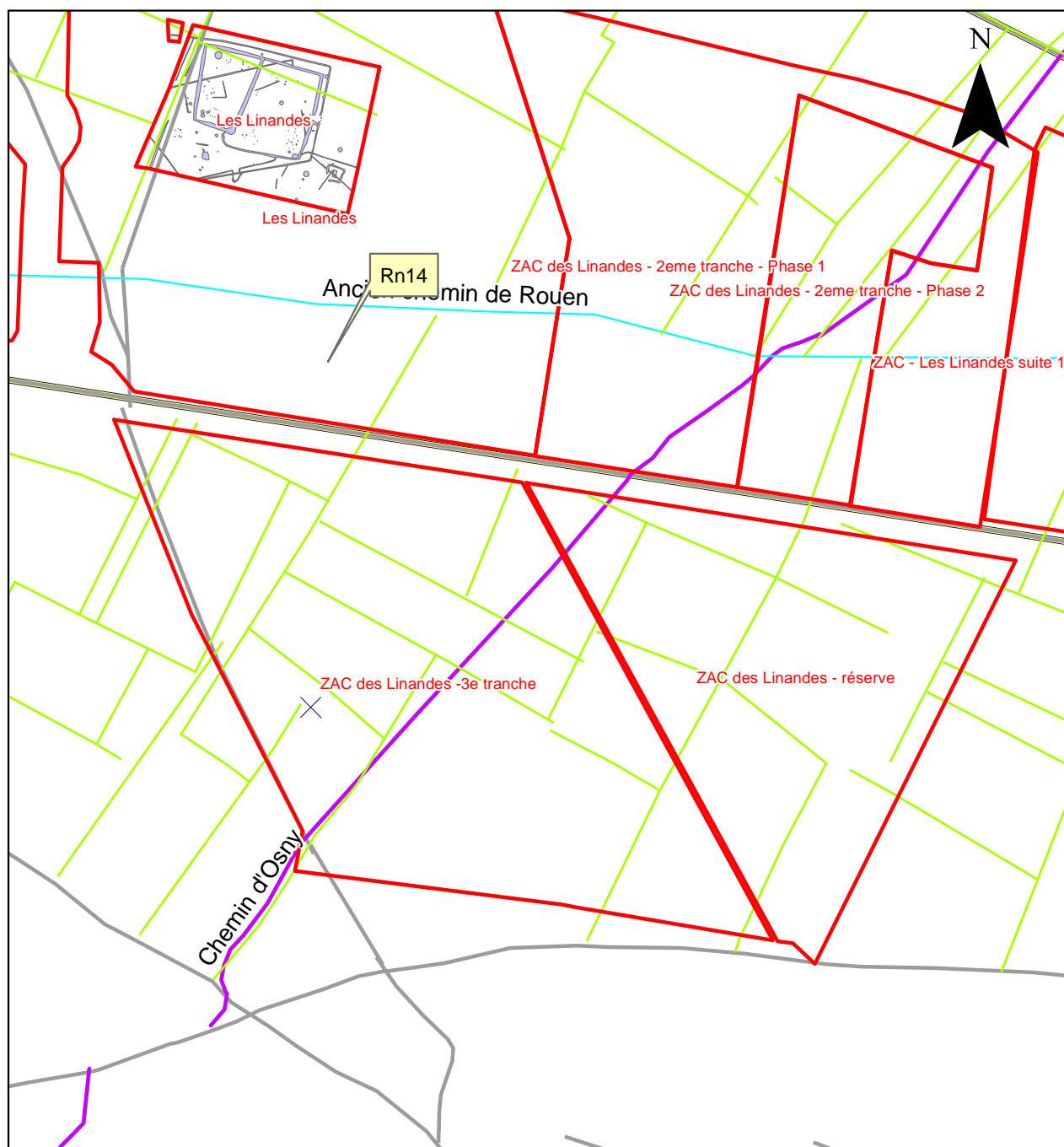


Fig. 3 : Organisation du parcellaire aux Linandes.

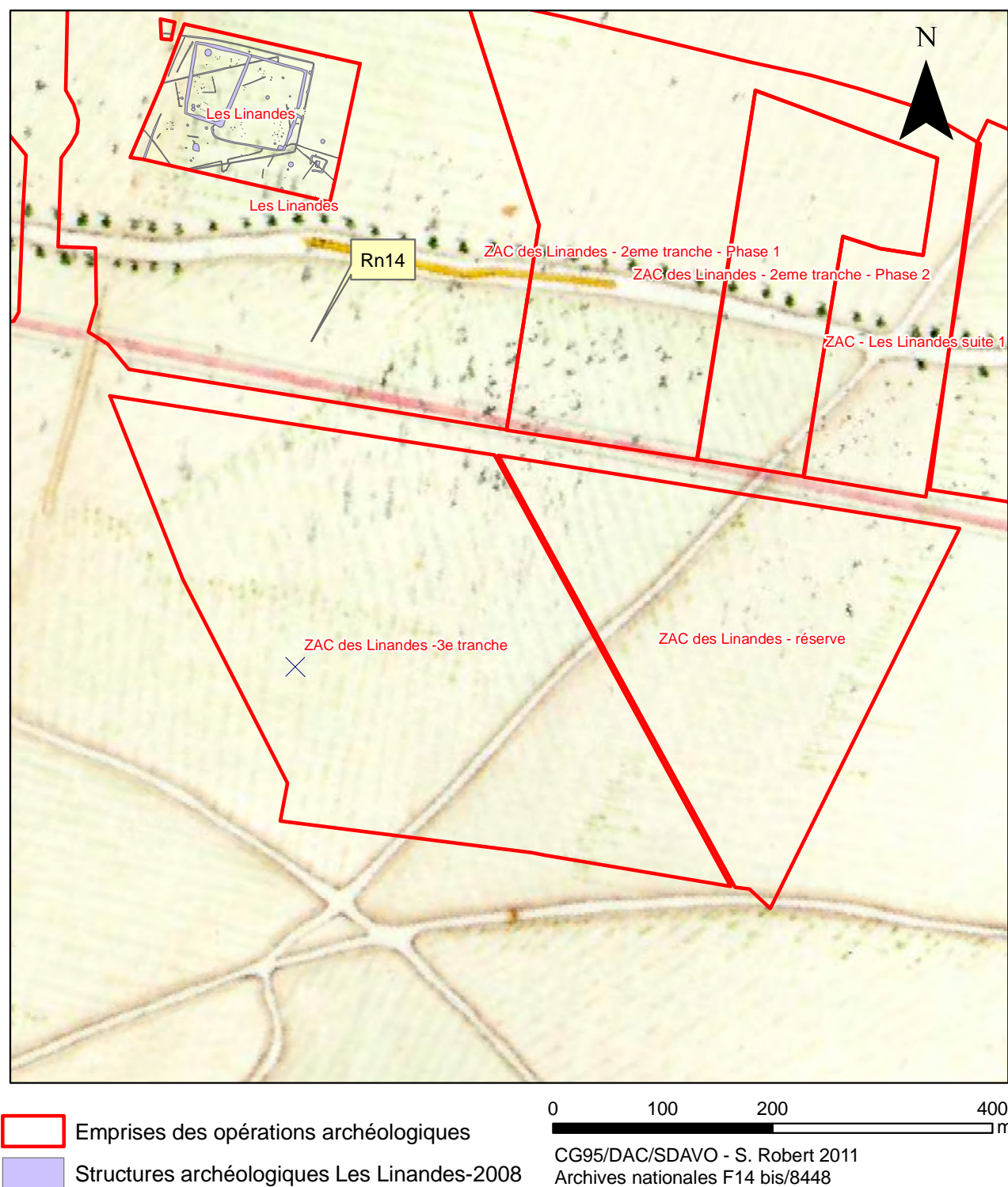


Fig. 4: Emprise de l'opération sur l'Atlas de Trudaine (milieu XVIII^e s.). L'ancienne route de Rouen est figurée ainsi que le projet de la route royale. Le chemin d'Osny est actif. Le carrefour au sud de l'emprise est marqué.

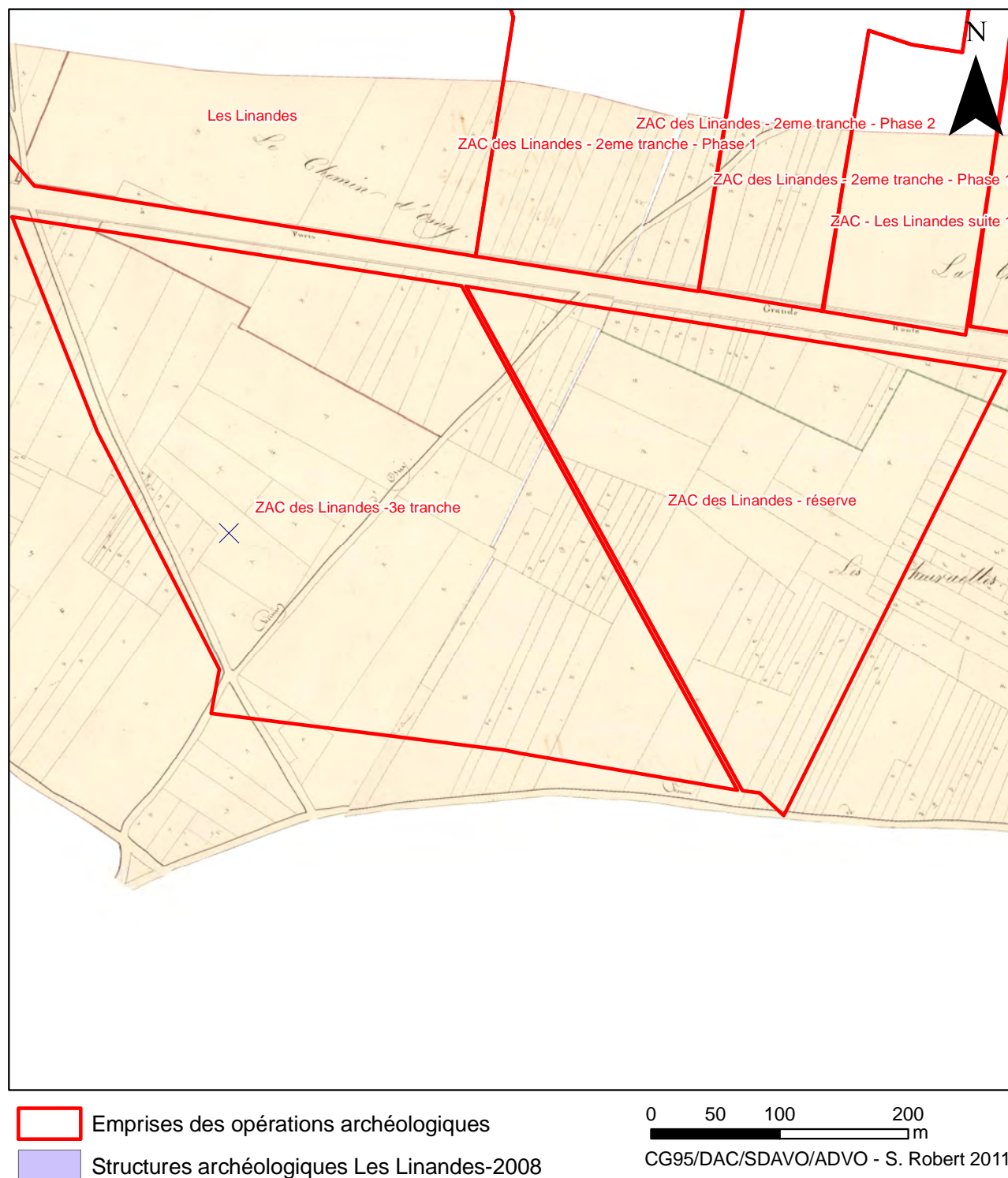


Fig. 5 : Emprise de l'opération sur le cadastre napoléonien (1813).



Fig. 6 : Emprise de l'opération sur la Minute d'Etat-Major au 1/10 000 (1818-1839). Des vignes (en grise) sont cultivées entre le chemin d'Osny et le chemin qui délimite l'emprise à l'ouest.



- Emprises des opérations archéologiques
- Structures archéologiques Les Linandes-2008

0 50 100 200
m

CG95/DAC/SDAVO - S. Robert 2011
Archives de la cartotheque de l'IGN

Fig. 7: Emprise de l'opération sur la mission IGN 1934.

– **État 1949** : Mission Pontoise-Meaux F 2213-2213 1949, 2213- n° 472 – Pontoise, 1949, Archives de l'Institut Géographique National, cliché 181.

La zone est emblavée. Le parcellaire n'est pas remembré. Le chemin d'Osny est toujours actif. Une zone de plantation qui s'appuie sur le chemin ouest est visible en limite sud-ouest d'emprise.

– **État 1956** : Carte de France au 1/20 000^e – Levés directs, XXII 13 F 5-6 – Pontoise, 1956, Archives de l'Institut Géographique National.

Le chemin d'Osny est toujours figuré.

– **État 1959** : Mission aérienne verticale, F 2213-2413, 1/25 000, IGN, 1959. Cliché 191, Archives de l'Institut Géographique National

Le parcellaire apparaît sous la forme de longues lanières. On perçoit quelques limites anciennes. Le Chemin d'Osny n'est plus actif. Une trace quadrangulaire, plus visible dans la mission de 1964, est présente au nord-ouest de l'emprise.

– **État 1964** : Mission aérienne verticale CDP 5087 1964 1964, 1/8 100^e, 2213 – n° 8140 – Archives de l'Institut Géographique National.

Cette mission a montré qu'elle était de bonne qualité pour la révélation des structures archéologiques sur l'emprise 2 des Linandes.

Une forme quadrangulaire de 65 m de coté environ apparaît sous la forme d'une trace sombre au nord-ouest de l'emprise. Elle suit l'orientation du parcellaire ancien mais ne correspond pas à une parcelle du cadastre napoléonien. Elle est à cheval sur plusieurs. Il peut s'agir d'une structure archéologique type enclos (fig. 8).

– **État 1987** : Mission aérienne verticale F 87 200-4053 P de juillet-août et octobre-novembre 1987 au 1/20 000^e, cliché n° 236, Archives de l'Institut Géographique National.

La nature d'occupation des terres (maraîchage ?) ne permet pas une bonne lecture des indices. Les pylônes sont construits.

– **État 1993** : Mission aérienne verticale, F 2213-2214, 1/30 000^e, IGN, 1993, cliché 046, Archives de l'Institut Géographique National.

idem

Au sud-est de l'emprise, une petite zone a été décapée près du pylône.

– **État 2000** : Mission aérienne verticale, 2000 FR 5381/300, des 25 et 26 janvier 2000, au 1/30 000^e, cliché 139, Archives de l'Institut Géographique National.

idem

Une tache plus sombre de forme allongée (85 × 5 m) apparaît au nord à côté d'une ancienne limite parcellaire (fig. 9).

– **État 1999** : Orthophoto IGN 2003, résolution à 1m, dalle sud-ouest.

idem

– **État 2003** : Orthophoto IGN 2003, résolution à 0,50 cm, dalle sud-ouest.

Le parcellaire est toujours très découpé. La zone décapée près du pylône s'est agrandie (décharge ?).

– **État 2008** : Orthophoto IGN 2003, résolution à 0,50 cm, dalle sud-ouest.

Une tache allongée sombre, dans l'orientation du parcellaire ancien apparaît en limite est. Elle est à cheval sur plusieurs limites du parcellaire ancien et peut correspondre à des vestiges archéologiques (fig. 10).

Liste des plans consultés :

– Atlas de Trudaine, PL 9, 1776 © Document conservé au Centre historique des Archives Nationales à Paris, ANF14 bis/8448, Reproduction CG95/DAC/SDAVO.

– Plan d'Intendance ou Cadastre de Berthier de Sauvigny, 95127 – Cergy, 1778 ©, ADVO 25Fi 23, Reproduction CG95/DAC/SDAVO.

– Cadastre Napoléonien, Parcellaire, Impérial ou Ancien Cadastre, feuille C1 de la Croix Rouge, Cergy, 1813, ADVO, Reproduction CG95/DAC/SDAVO.

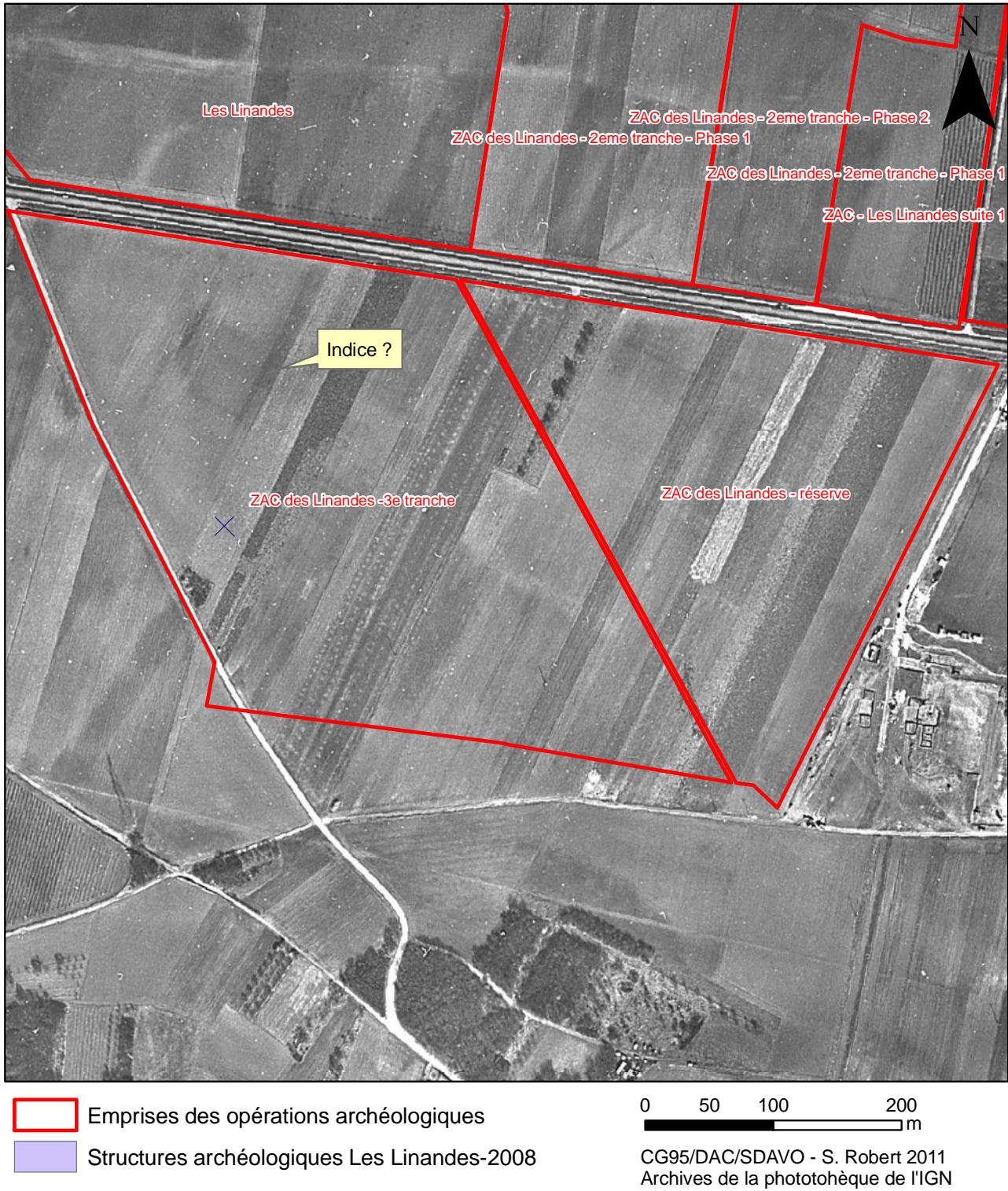


Fig. 8 : Emprise de l'opération sur la mission IGN 1964.

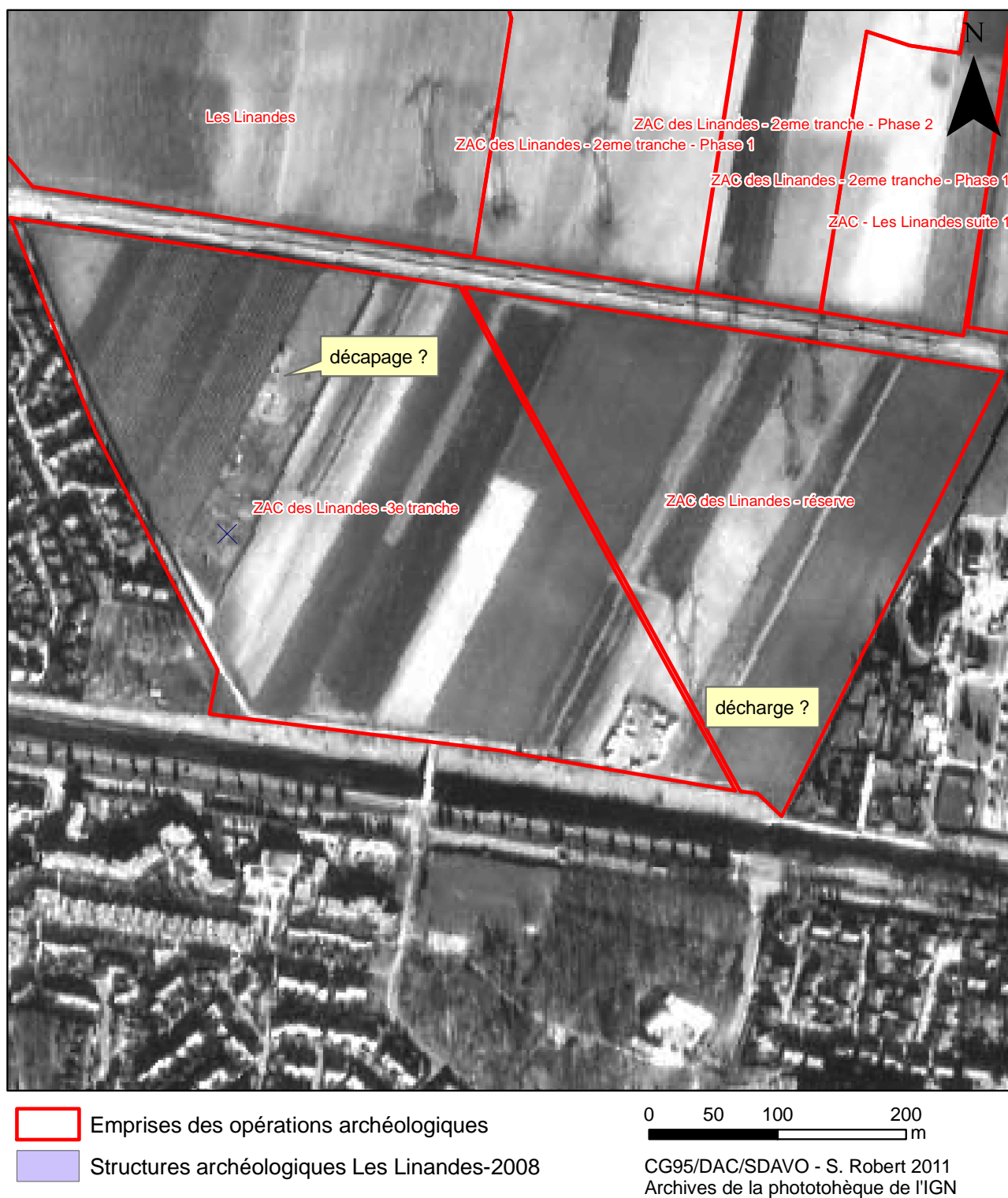
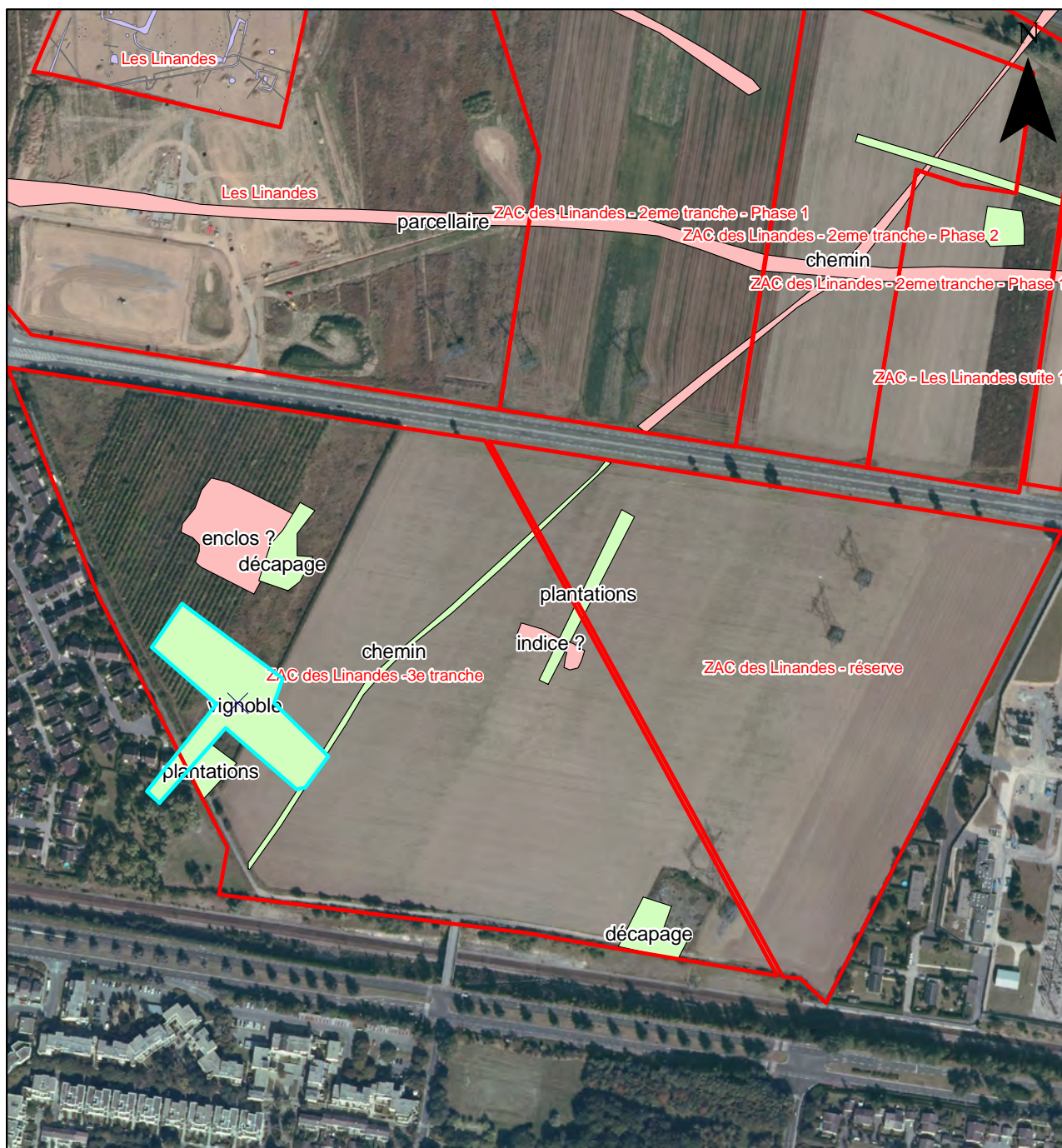


Fig. 9 : Emprise de l'opération sur la mission IGN 2000.



- Emprises des opérations archéologiques
- Structures archéologiques Les Linandes-2008

Carto et photo-interprétation

- actif entre le 18^e s. et aujourd'hui
- fossile

0 50 100 200
m

CG95/DAC/SDAVO - S. Robert 2011
BD ORTHO@HR2008 © IGN – Paris
Autorisation n°2009 – CINO33-180 –
Reproduction interdite

Fig. 10: Synthèse de la carto et photo-interprétation sur l'orthophoto de 2008.

- Cadastre Napoléonien, Parcellaire, Impérial ou Ancien Cadastre, feuille C2 de la Croix Rouge, Cergy, 1813, ADV0, Reproduction CG95/DAC/SDAVO.
- Cadastre Napoléonien, Parcellaire, Impérial ou Ancien Cadastre, feuille B1 des Rougettes, Cergy, 1813, ADV0, Reproduction CG95/DAC/SDAVO.
- Cadastre Napoléonien, Parcellaire, Impérial ou Ancien Cadastre, feuille B2 des Rougettes, Cergy, 1813, ADV0, Reproduction CG95/DAC/SDAVO.
- Cadastre Napoléonien, Parcellaire, Impérial ou Ancien Cadastre, feuille G de la Croix Buche, Osny, 1813, ADV0, Reproduction CG95/DAC/SDAVO.
- Cadastre Napoléonien, Parcellaire, Impérial ou Ancien Cadastre, feuille F des Côtes, Osny, 1813, ADV0, Reproduction CG95/DAC/SDAVO
- Minutes d'État-Major au 1/10000^e, 1818-1839, archives de la cartothèque de l'IGN, fond assemblé CG95/DAC/SDAVO.
- Plan directeur au 1/10000^e, feuille 2213-3d, 1870, archives de la cartothèque de l'IGN.
- Plan directeur au 1/10000^e, feuille 2213-3d, feuille révisée en 1929, archives de la cartothèque de l'IGN.
- Carte de France au 1/20000^e – Levés directs, XXII 13 F 5-6 – Pontoise, 1956, cartothèque du SDAVO.
- SCAN EDR ® 1 : 25000^e © IGN – Paris 2005 Autorisation n° 2005 CUJ 0530 – Reproduction interdite.
- BD TOPO®Pays © IGN – Paris 2007 Autorisation n° 2007 CUJ 1615 – Reproduction interdite.
- Mission aérienne verticale F 2213-2313, Pontoise Meaux, 1/25000^e, © Archives de l'Institut Géographique National, Reproduction CG95/DAC/SDAVO. Cliché 181.
- Mission aérienne verticale, F 2213-2413, 1/25000^e, IGN, 1959. © Archives de l'Institut Géographique National, Reproduction CG95/DAC/SDAVO. Cliché 191.
- Mission aérienne verticale CDP 5087 1964 1964, 1/8100^e, 2213 – n° 8136 – Pontoise, IGN © Archives de l'Institut Géographique National, Reproduction CG95/DAC/SDAVO.1964. Cliché 8140.
- Mission aérienne verticale, FR 1436, 1/5000^e, IGN, 1967 et 1968. © Archives de l'Institut Géographique National, Reproduction CG95/DAC/SDAVO. Aucun cliché sur la zone.
- Mission aérienne verticale, F 4053, 1/20000^e, IGN, 1987. © Archives de l'Institut Géographique National, Reproduction CG95/DAC/SDAVO. Cliché 236.
- Mission aérienne verticale, F 2213-2214, 1/30000^e, IGN, 1993. © Archives de l'Institut Géographique National, Reproduction CG95/DAC/SDAVO. Cliché n° 046.
- Mission aérienne verticale, 2000 FR 5381/300, des 25 et 26 janvier 2000, au 1/30000^e, © Archives de l'Institut Géographique National, Reproduction CG95/DAC/SDAVO. Cliché 139.
- Orthophoto IGN 2003, résolution à 0,50 cm, dalle sud-ouest, CG95/DAC/SDAVO.

Liste des missions aériennes consultées :

- Mission Pontoise 1934, 2213-n° 1 – Région de Pontoise, 1934 © Archives de l'Institut Géographique National, Reproduction CG95/DAC/SDAVO. Cliché 69.

Bibliographie :

- Chouquer 2000: G. Chouquer – *Essai sur les formes du paysage*, Errance, Paris, 2000.
- Chouquer G. 2006: «L'émergence de la planimétrie agraire à l'Âge du Fer», *Études Rurales* n° 175-176, p. 29-52.
- Dutilleux 1881: A. Dutilleux – *Recherches sur les routes anciennes dans le département de Seine-et-Oise*, 1881, pp. 494-558.
- Grenier 1934: A. Grenier – *Manuel d'archéologie gallo-romaine. tome 2, L'archéologie du sol. Les routes*, Éditions Picard, Paris, 1934 (réed. 1985), 468 p.
- Lefeuvre et al.: *Courdimanche «La Touffe II», rapport de diagnostic, archéologique*, CG 95, DRAC – SRA Ile-de-France, juillet 2009.
- Robert 2010: *Sondage programmé sur la Chaussée Jules-César à Guiry-en-Vexin, Commény (95) du 6 au 31 juillet 2009*, CG95, PNR Vexin français, SRA Ile-de-France.
- Robert 2002b: Étude morphologique de la Chaussée Jules-César dans le département du Val-d'Oise. In: *Revue archéologique du Centre de la France*, Tome 41, 2002, pp. 173-186.
- Robert 2006: S. Robert – *Les itinéraires anciens traversant le département du Val-d'Oise*. In: *Bulletin archéologique du Vexin Français et du Val-d'Oise*, n° 38, pp. 7-23 <http://hal.archives-ouvertes.fr/docs/00/40/54/57/PDF/BAVFS.RobertHAL.pdf>.
- Robert soumis: S. Robert – *Sources et techniques de l'archéogéographie planimétrique*. Soumis aux Presses universitaires de Franche-Comté. À paraître en 2010.

Annexe 2

Catalogue des structures non datées

Dans cette section sont présentées toutes les structures non datées ou dont la datation est incertaine, que ce soit parce qu'elles ne recèlent pas de mobilier ou parce qu'elles n'ont pas été fouillées.

Elles sont rassemblées par tranchée et la documentation graphique afférente est jointe.

1 – Tranchée 1

– *le segment de fossé Fo2*: ce tronçon de fossé se trouve dans la partie nord de la tranchée 1. En plan, les parois sont rectilignes et le fossé est orienté sud-est/nord-ouest (fig. 1). Apparu à 0,59 m sous la surface, il mesure 0,80 m de large. En coupe, son profil est en U et son comblement se caractérise par un limon brun-gris, peu compact, homogène. La profondeur sous la surface du décapage est de 0,24 m. Cette structure n'a pas livré de mobilier.

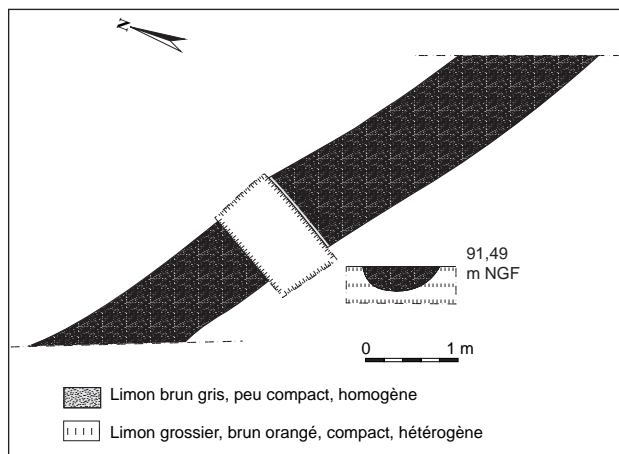


Fig. 1: Plan et coupe du fossé Fo2 (relevé et DAO: J.-G. Pariat).

– *le segment de fossé Fo3*: situé dans la moitié sud de la tranchée 1, ce tronçon de fossé aux parois rectilignes est orienté sud-ouest/nord-est (fig. 2). Apparu à 0,60 m sous la surface, il mesure 0,58 m de large. Son profil est en cuvette et le comblement se caractérise par un limon brun-orangé grossier, peu compact, hétérogène sur toute l'épaisseur du remplissage (40 cm).

Cette portion de fossé correspond sans doute au même ouvrage que les tronçons Fo5, Fo13 et Fo21.

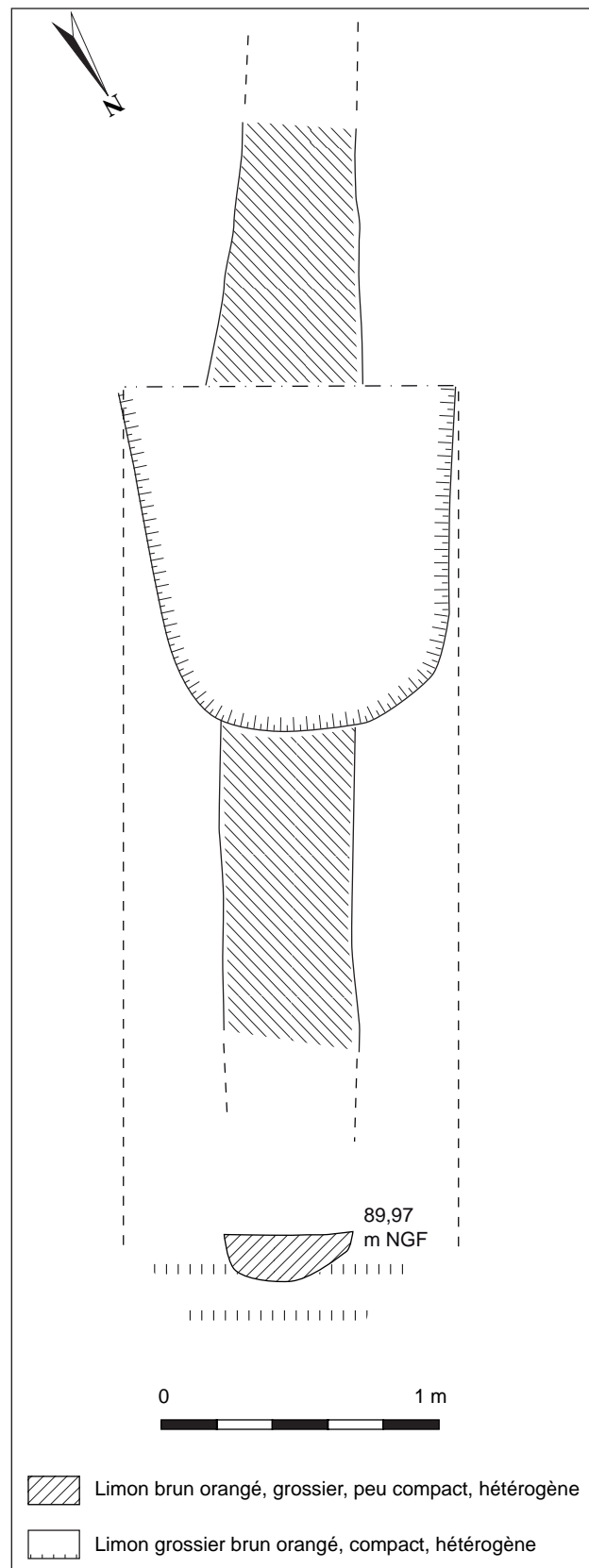


Fig. 2: Plan et coupe du fossé Fo3 (Relevé: B. Bapst, DAO: J.-G. Pariat).

2 – Tranchée 2

– *le segment de fossé Fo5* : ce tronçon de fossé se trouve dans la partie sud de la tranchée 2. Il est orienté sud-ouest/nord-est et n'a pas été sondé.

Cette portion de fossé correspond sans doute au même ouvrage que les tronçons Fo3, Fo13 et Fo21.

3 – Tranchée 3

– *le segment de fossé Fo8* : découvert dans la partie nord de la tranchée 3, ce tronçon de fossé est orienté sud-est/nord-ouest. Apparue à 0,50 m sous la surface, il présente des parois rectilignes et mesure 0,50 m de large (fig. 3). Son profil est en cuvette et son comblement correspond à un limon brun-orangé grossier, peu compact, homogène, qui se démarque mal de l'encaissant. Cette structure est conservée sur 10 cm d'épaisseur et n'a pas livré de vestiges.

– *la fosse F9* : cette fosse est apparue à 0,70 m sous la surface, au milieu de la tranchée 3. En plan, elle se présente sous la forme d'une fosse au contour circulaire et mesure 1,20 m de diamètre (fig. 4). En coupe, son profil est en cuvette et sa profondeur sous décapage est de 0,16 m. La couche supérieure du comblement correspond à un limon brun-gris, grossier, peu compact et hétérogène. Elle recouvre en partie une couche de limon brun-noir, très cendreuse, grossier, peu compact et hétérogène vers l'est. À l'ouest, la couche sous-jacente est limoneuse brun-gris, cendreuse, peu compacte et hétérogène. Aucun vestige n'a été recueilli. Par ailleurs, au vu des concentrations de charbons rencontrés, des prélèvements furent réalisés. Ils se révélèrent stériles.

– *la fosse F10* : la fosse F10 est apparue immédiatement au sud de la fosse F9 à 0,50 m sous la surface. En plan, elle présente un contour circulaire et mesure 1 m de diamètre. En coupe, le profil est en cuvette. Le comblement se caractérise par un limon grossier brun-noir, peu compact, hétérogène comportant des inclusions de cendres, de charbon et de terre rubéfiée. La profondeur sous décapage est de 0,40 m. Un unique tesson de céramique atypique à pâte sombre provient de ce comblement.

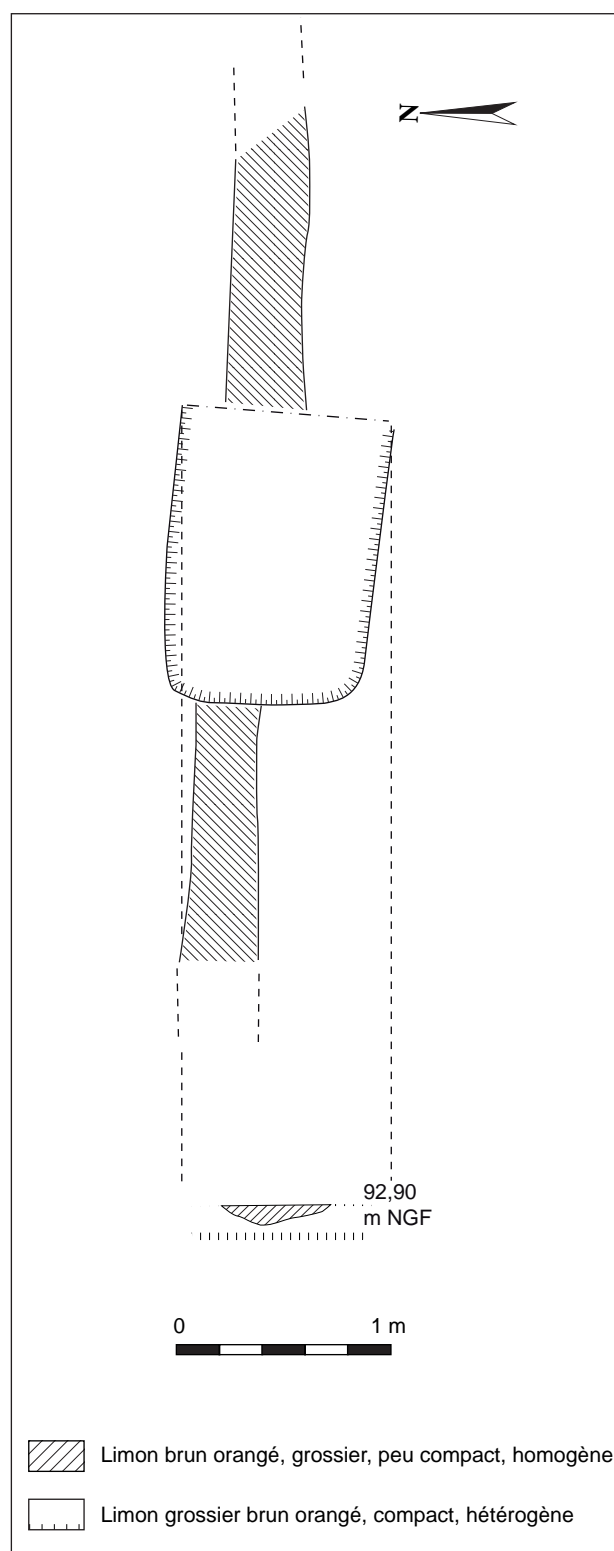


Fig. 3 : Plan et coupe du fossé Fo8
(Relevé : B. Bapst, DAO : J.-G. Pariat).

– *la fosse F11* : cette fosse se trouve au milieu de la tranchée 3. Elle est apparue à 0,50 m sous la surface et présente un plan au contour ovale (fig. 5). Elle mesure 0,60 m de long pour 0,35 m de large et la profondeur sous décapage est de 0,25 m. En coupe, le profil de cette fosse forme

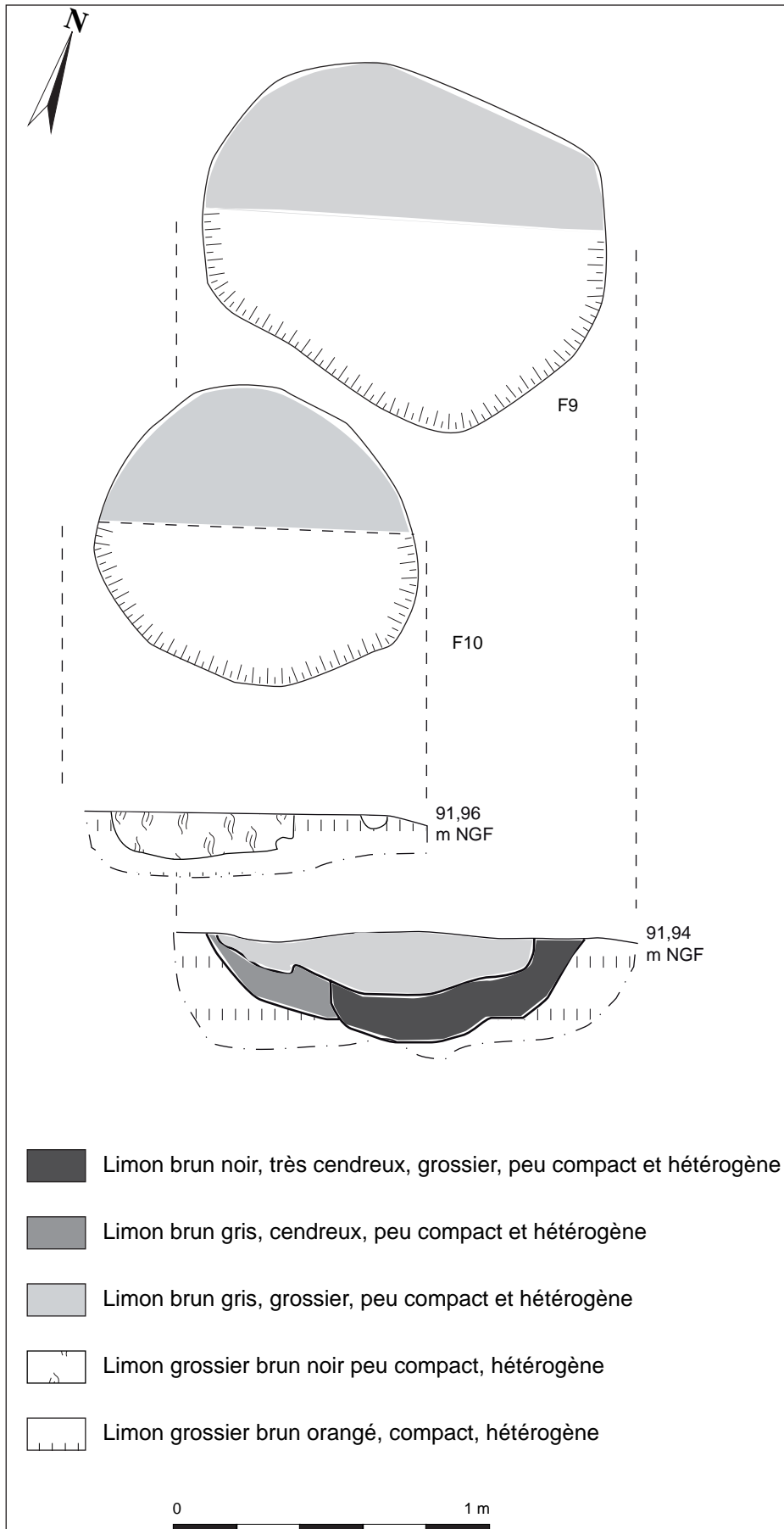


Fig. 4: Plan et coupe des fosses F9 et F10
(Relevé: B. Bapst, DAO: J.-G. Pariat).

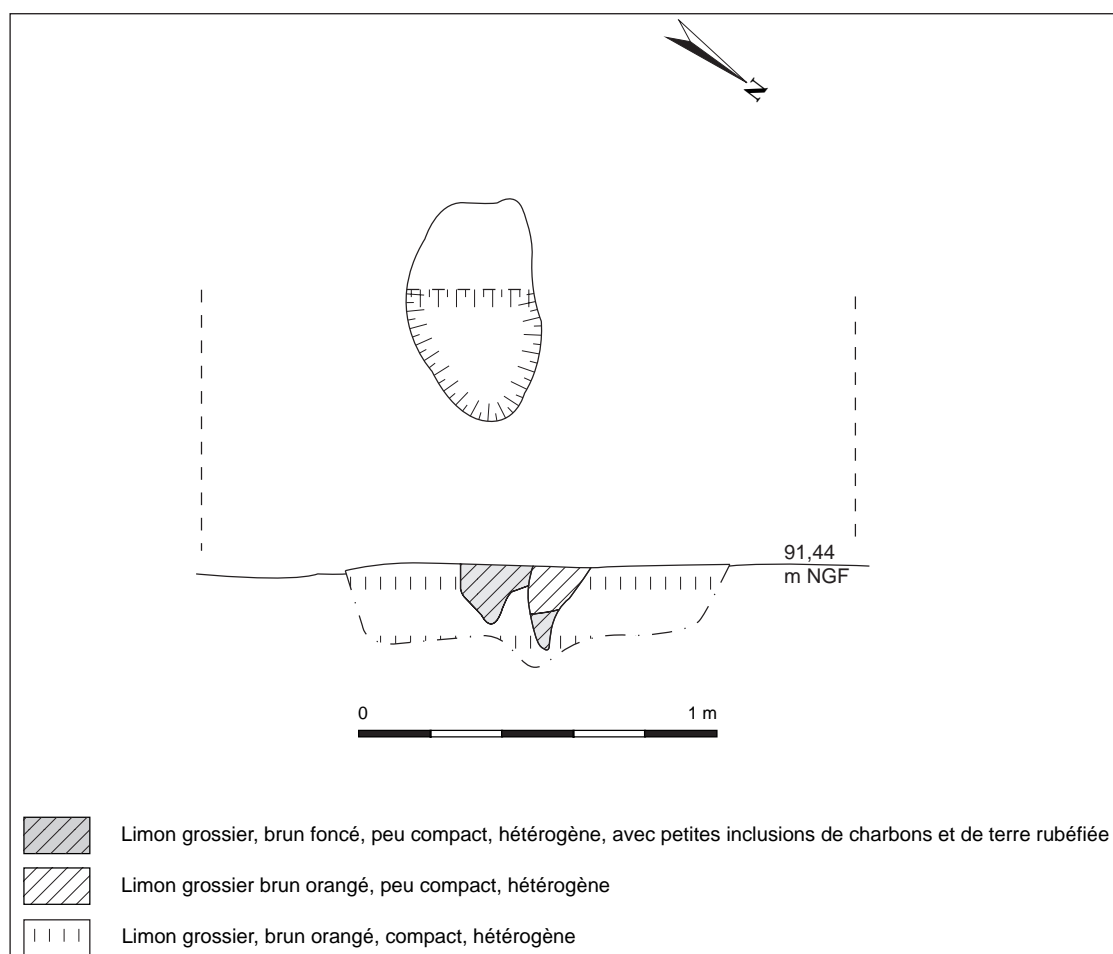


Fig. 5 : Plan et coupe de la fosse F11 (Relevé : B. Bapst, DAO : A. Lebrun).

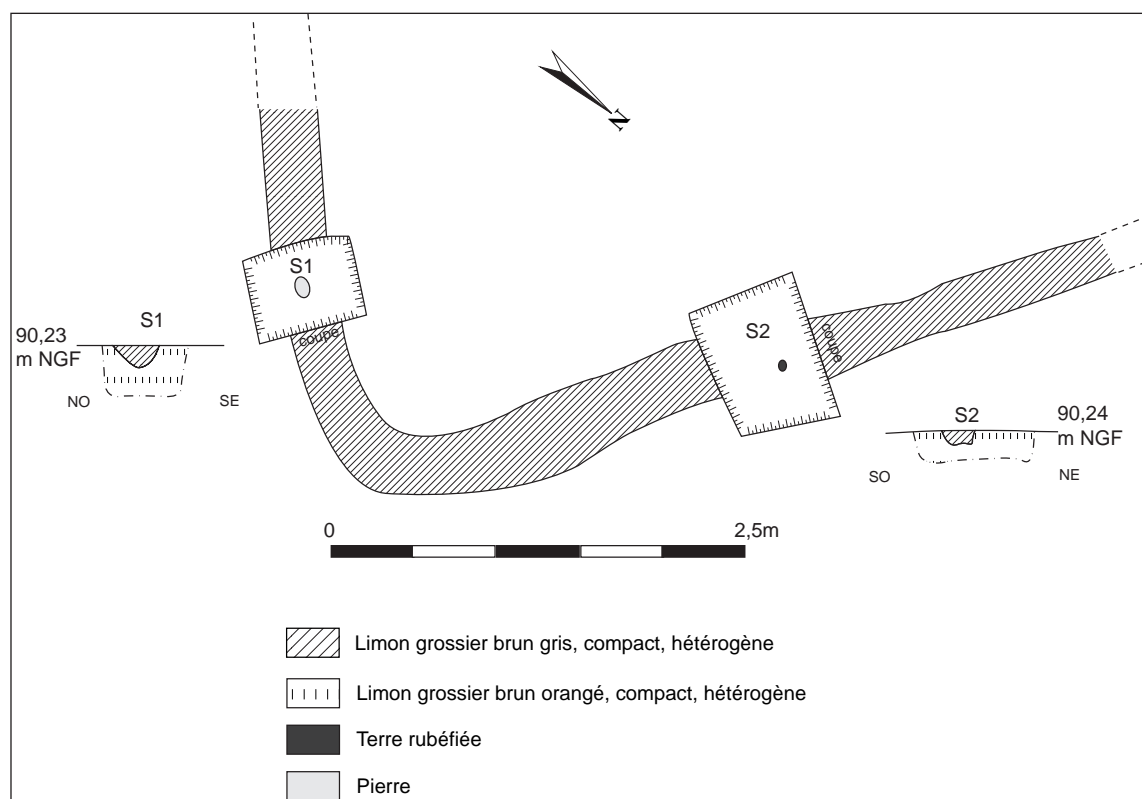


Fig. 6 : Plan et coupes du fossé Fo12 (Relevé : B. Bapst, DAO : A. Lebrun).

un «w». Le comblement principal correspond à un limon grossier brun foncé, peu compact, hétérogène, recelant de petites inclusions de charbon et de terre rubéfiée. Vers le nord-ouest, un second comblement a été observé dans la partie supérieure. Il s'agit d'un limon grossier brun-orangé, peu compact, hétérogène. 10 éclats de silex proviennent de cette structure qui pourrait être rattachée au Néolithique (cf supra).

– *le segment de fossé Fo12*: il s'agit de l'angle d'un fossé repéré à 0,60 m sous la surface dans la partie sud de la tranchée 3. En plan, les parois sont rectilignes et la largeur du fossé est de 0,40 m. En coupe, les deux sondages pratiqués révèlent un profil en cuvette (fig. 6). Le comblement est homogène sur toute l'épaisseur du remplissage. Il correspond à un limon grossier brun-gris, compact, hétérogène sur 15 cm d'épaisseur.

Le mobilier se réduit à un fragment de grès brûlé. Nous proposons de rattacher cette structure à l'Antiquité, car il pourrait s'agir d'un retour de l'enclos décrit dans le chapitre 5.3.1.

4 – La tranchée 4

– *le segment de fossé Fo13*: ce tronçon de fossé se trouve dans la partie sud de la tranchée 4. Il est orienté sud-ouest/nord-est et mesure 0,50 m de large (fig. 7). En plan, les parois sont rectilignes et le fossé apparaît à 0,50 m sous la surface. Le profil est en cuvette et le comblement se caractérise par un limon brun-gris orangé grossier, peu compact, homogène. Aucun vestige ne provient de cette couche.

Cette portion de fossé correspond sans doute au même ouvrage que les tronçons Fo3, Fo5 et Fo21.

– *le segment de fossé Fo14*: le tronçon de fossé Fo14 se trouve dans la moitié nord de la tranchée 4. Il est orienté sud-ouest/nord-est et mesure 0,80 m de large (fig. 8). Apparue à 0,65 m sous la surface, cette portion de fossé présente un profil en cuvette. Son comblement est limoneux argilo-sableux gris peu compact, hétérogène, et sa profondeur maximale est de 0,24 m. Aucun vestige n'a été découvert.

– *la fosse F53*: cette fosse se trouve dans la partie nord de la tranchée 4. Elle est apparue à 0,50 m sous la surface et présente un contour ovale (fig. 9). En coupe, elle présente un profil en U, évasé en son sommet. Elle mesure 1,60 m de long par 0,80 m de large pour 0,40 m de profondeur. Son comblement est à dominante limoneuse. Le mobilier exhumé correspond à de la terre cuite architecturale.

5 – La tranchée 5

– *le trou de poteau TP5*: ce trou de poteau se trouve dans la tranchée 5, au nord. Apparue à 0,40 m sous la surface, il présente un contour circulaire et mesure 0,38 m de diamètre (fig. 10). En coupe, les parois sont évasées et le fond est arrondi. La profondeur sous décapage est de 0,20 m de profondeur. Le comblement correspond à un limon brun-noir avec inclusions de charbon. Aucun vestige ne provient de cette structure.

– *le segment de fossé Fo17*: ce tronçon de fossé orienté nord-est/sud-ouest se trouve dans la partie médiane de la tranchée 5. En plan, les parois sont rectilignes (fig. 11). Ce fossé, apparue à 0,45 m sous la surface, présente un profil en cuvette avec un surcreusement dans la partie centrale. Comblé d'un limon argilo-sableux, brun-gris clair, peu compact et hétérogène sur une épaisseur de 21 cm. Ce fossé mesure 0,65 m de large. Deux éclats en silex proviennent de ce comblement.

– *le segment de fossé Fo21*: ce segment de fossé se trouve dans la partie sud de la tranchée 5. Il est orienté sud-ouest/nord-ouest et n'a pas été fouillé.

Cette portion de fossé correspond sans doute au même ouvrage que les tronçons Fo3, Fo5 et Fo13.

6 – La tranchée 7

– *la fosse F30*: cette fosse se trouve dans la partie nord de la tranchée 7. Elle est apparue à 0,40 m sous la surface, présente un plan sub-circulaire et mesure 0,60 m de diamètre (fig. 12). En coupe, les parois sont sub-verticales et le fond est irrégulier.

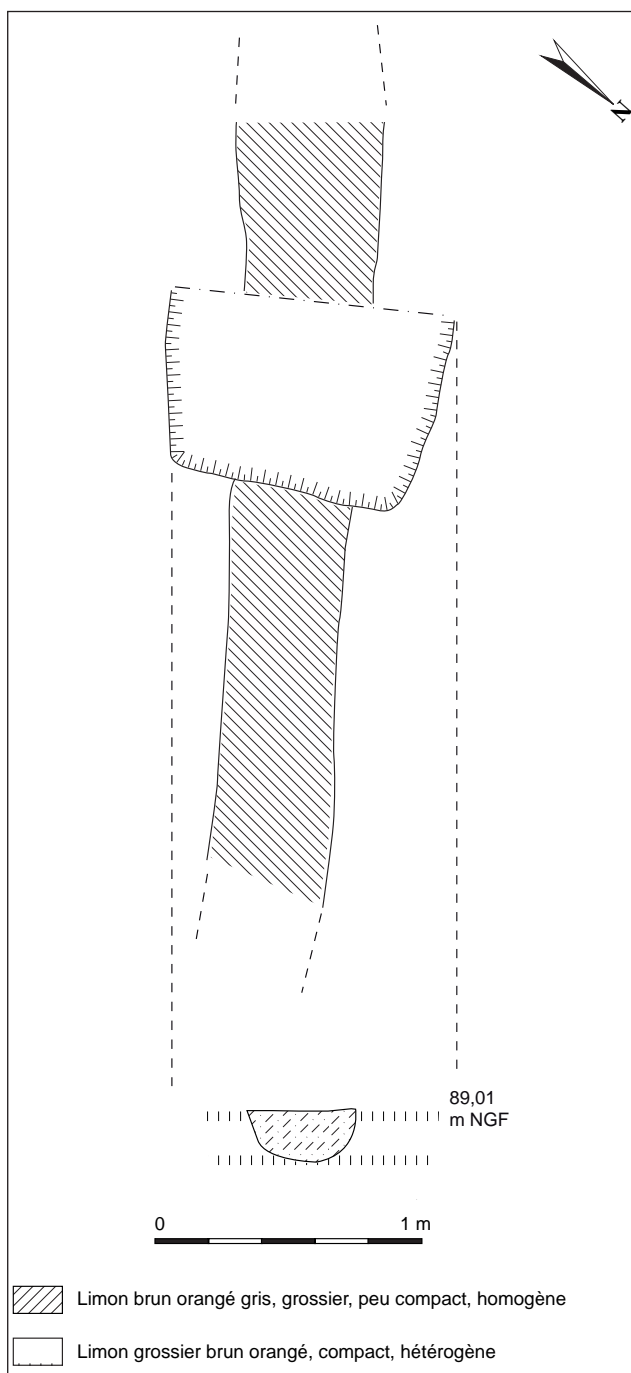


Fig. 7 : Plan et coupe du fossé Fo13
(Relevé : B. Bapst, DAO : J.-G. Pariat).

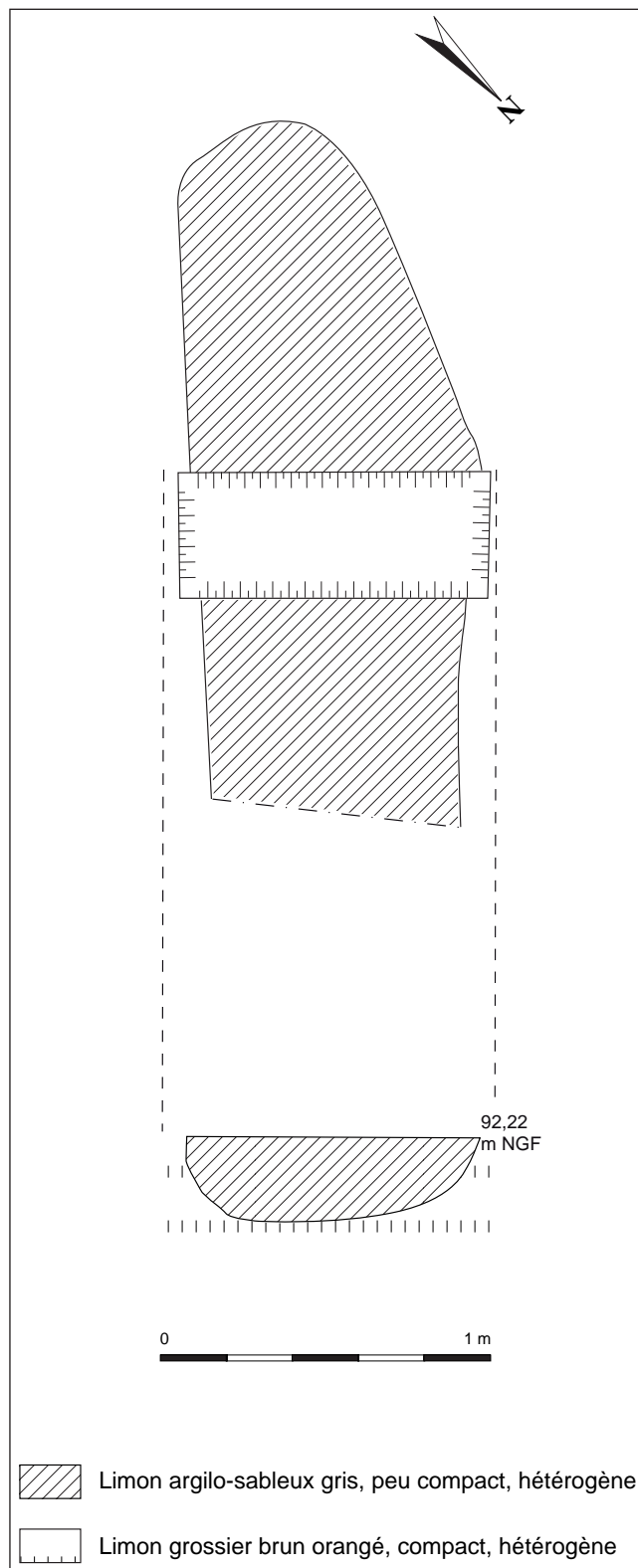


Fig. 8 : Plan et coupe du fossé Fo14
(Relevé et DAO : J.-G. Pariat).

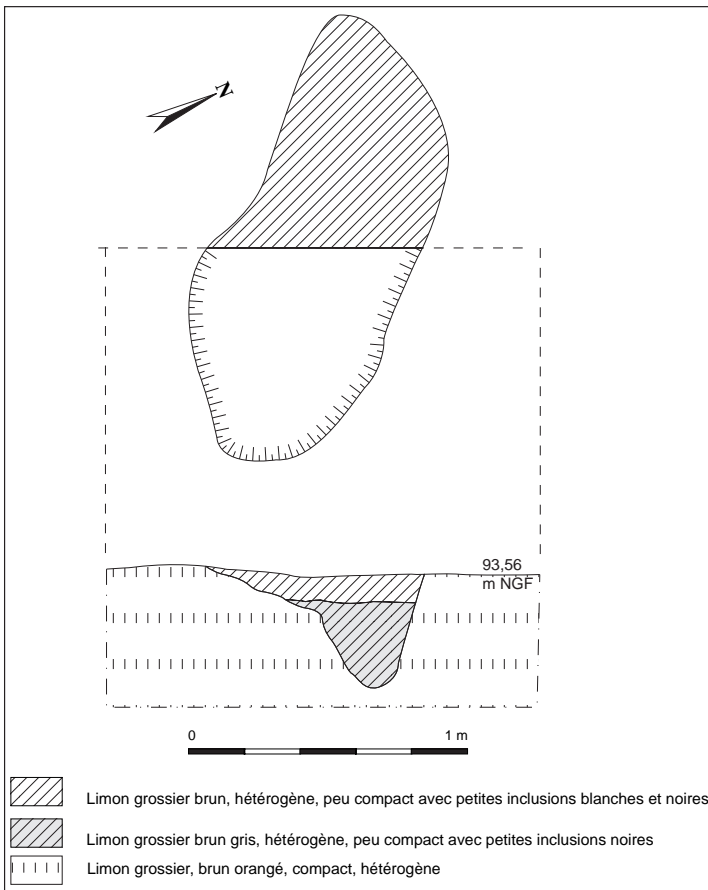


Fig. 9 : Plan et coupe de la fosse F53
(Relevé et DAO : A. Lebrun).

La profondeur du creusement est de 0,24 m. Le comblement supérieur d’une quinzaine de centimètres d’épaisseur est limoneux argilo-sableux noir à inclusions de charbon, compact et hétérogène. Le comblement inférieur est limono-argileux gris à inclusions de charbon, compact et hétérogène. Il n’abrite aucun vestige.

7 – La tranchée 12

– le segment de fossé Fo37 : localisé dans le secteur B, ce tronçon de fossé orienté sud-est/nord-ouest se trouve dans la partie ouest de la tranchée 12. En plan, les parois sont rectilignes et le fossé est apparu à 0,40 m sous la surface (fig. 13). En coupe, le profil de la structure est en cuvette. Elle mesure 0,40 m de large pour 0,14 m de profondeur. Le comblement se caractérise par un limon brun foncé peu compact homogène, à la surface duquel apparaissent quelques blocs de grès et calcaire. Un éclat de silex provient de ce remplissage.

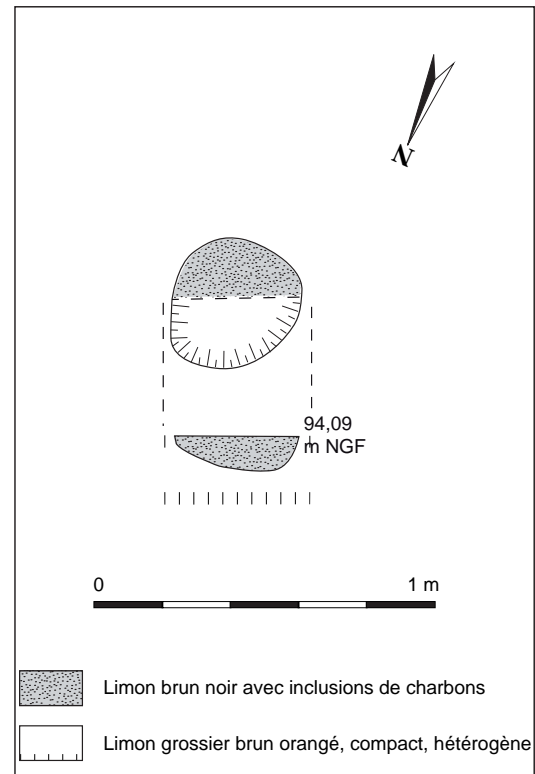


Fig. 10 : Plan et coupe du trou de poteau TP15
(Relevé et DAO : A. Lebrun).

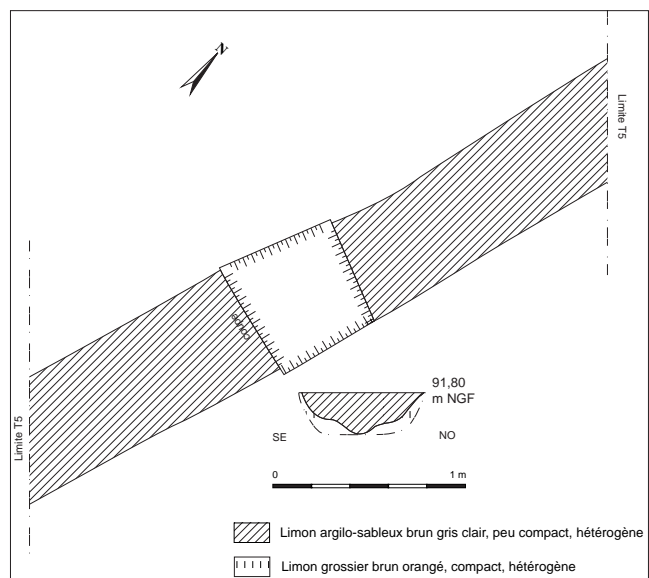


Fig. 11 : Plan et coupe du fossé Fo17
(Relevé et DAO : A. Lebrun).

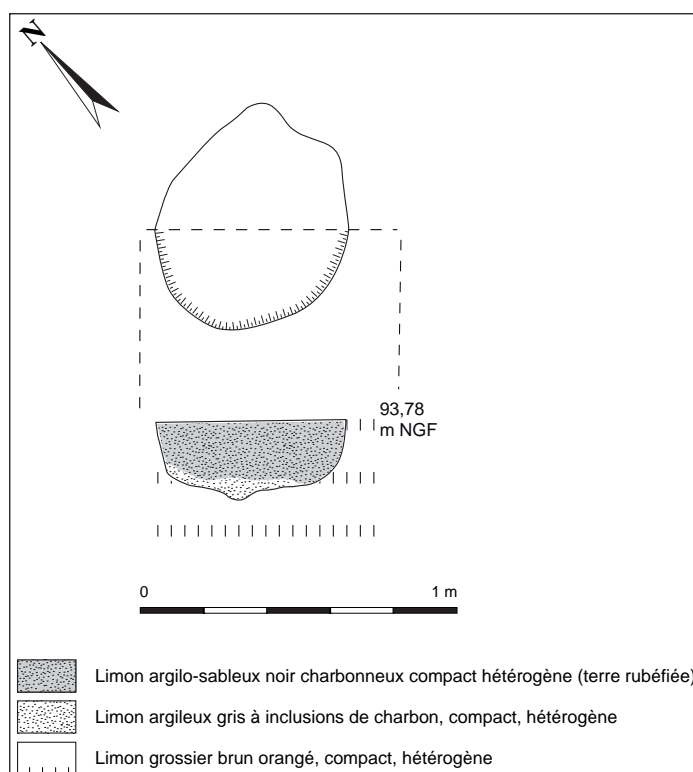


Fig. 12: Plan et coupe de la fosse F30
(Relevé: J.-G. Pariat, DAO: A. Lebrun).

Il pourrait s'agir du même fossé que le segment Fo38.

– le segment de fossé Fo38: situé dans le secteur B, ce segment de fossé est apparu à 0,80 m sous la surface, à 1 m à l'ouest du tronçon de fossé Fo37. En plan, les parois sont rectilignes et le fossé mesure 0,62 m de large (fig. 14). Il est orienté sud-ouest/nord-est. En coupe, les parois sont en pente douce et le fond est irrégulier. Le comblement est un limon brun foncé compact homogène, avec inclusions, sur 14 cm d'épaisseur. Un éclat de silex y a été retrouvé.

Il peut s'agir de la même structure que le tronçon de fossé Fo37, mais l'on perd sa trace vers le nord-est ce qui rend délicat toute affirmation.

– le tronçon de fossé Fo54: localisé dans la partie ouest de la tranchée 12 du secteur B, cette structure pose des difficultés de lecture. Il s'agit vraisemblablement d'un tronçon de fossé apparu à 0,54 m sous la surface et orienté nord-est/sud-ouest (fig. 15). Sa largeur est de 0,50 m et son comblement en surface est un limon argilo-sableux gris peu compact et homogène. Ce segment de fossé n'a pas été fouillé.

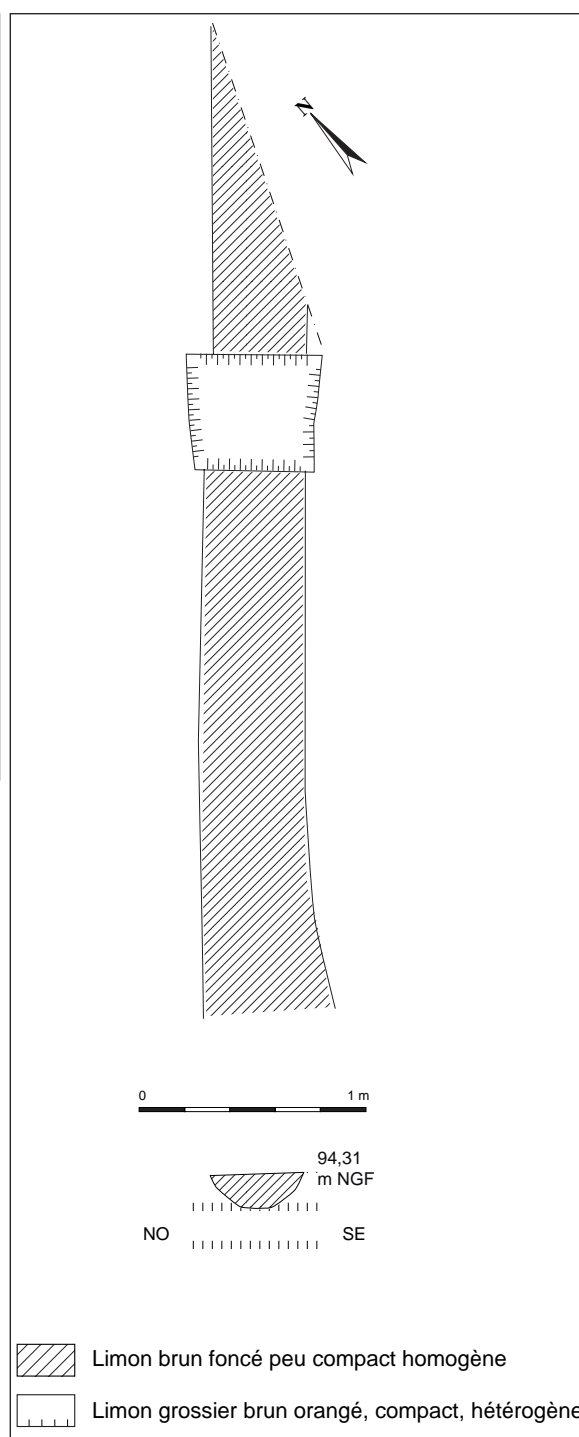


Fig. 13: Plan et coupe du fossé Fo37
(Relevé et DAO: J.-G. Pariat).

8 – La tranchée 18

– le segment de fossé Fo45: ce tronçon de fossé se trouve au sud de la tranchée 18 dans le secteur A. Apparu à 0,50 m sous la surface, il est orienté nord-est/sud-ouest et n'a pas été sondé. Deux vestiges ont été recueillis en surface: une scorie et un fragment de céramique à pâte sombre.

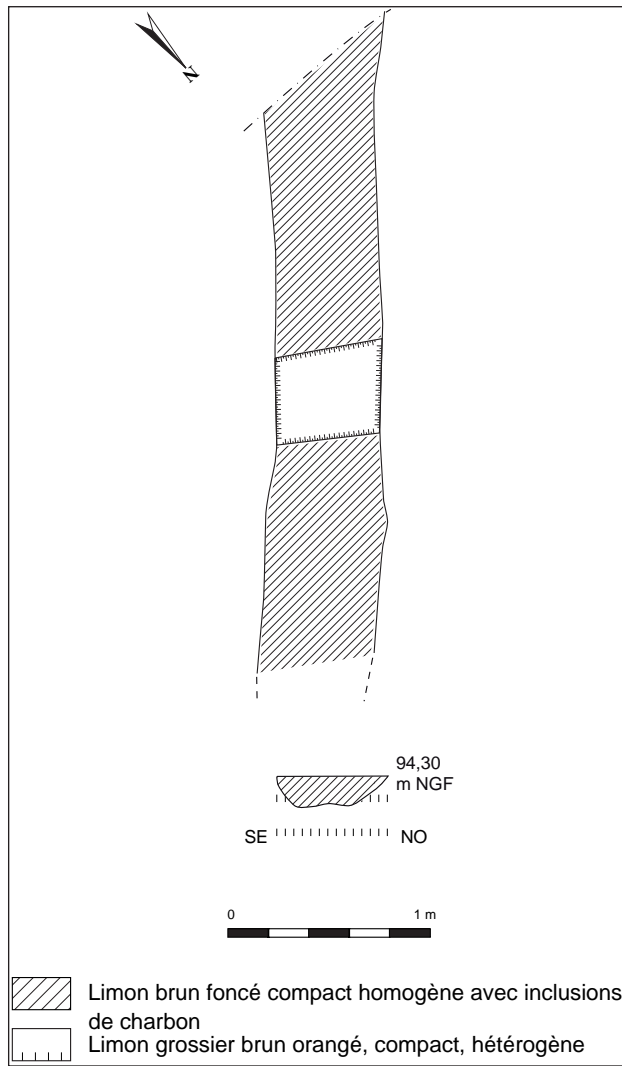


Fig. 14: Plan et coupe du fossé Fo38
(Relevé et DAO: J.-G. Pariat).

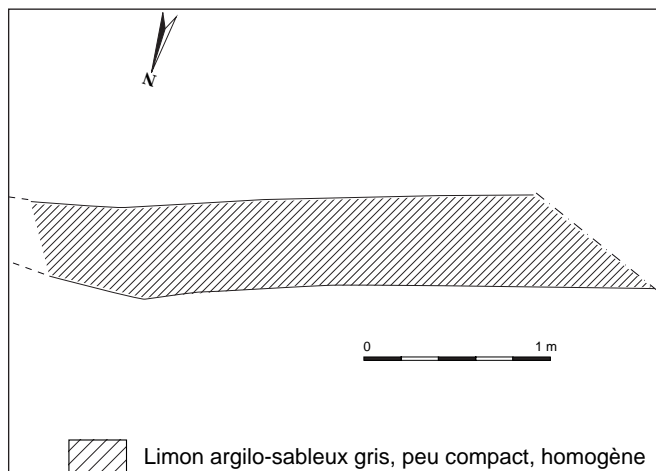


Fig. 15: Plan et coupe du fossé Fo54
(Relevé et DAO: J.-G. Pariat).

– la fosse F48: cette fosse se trouve dans la tranchée 18 à quelques mètres au sud du segment de fossé Fo45. Elle est apparue à 0,50 m sous la surface et présente un contour circulaire (fig. 16). D'un diamètre de 0,40 m et d'une profondeur sous décapage de 0,20 m, cette fosse a un profil en cuvette. Outre un bloc de grès, le comblement se caractérise par un limon brun-orangé gris, compact et hétérogène. Aucun vestige n'y a été découvert.

Au final les structures non datées, ou dont la datation est incertaine, représentent 29,5% des structures exhumées lors du diagnostic, et 76% d'entre elles ont été fouillées en vue d'une caractérisation typo-chronologique.

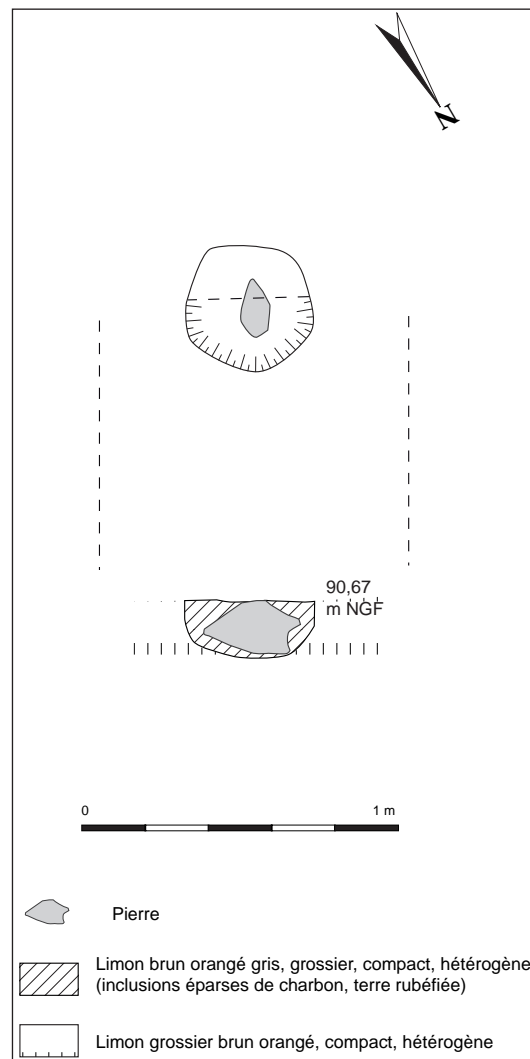


Fig. 16: Plan et coupe de la fosse F48
(Relevé: B. Bapst, DAO: A. Lebrun).

Annexe 3

Fiche d'identification numismatique

(par B. Foucray)

Étude numismatique d'une monnaie exhumée dans la structure antique St 26.

(par B. Foucray, SRA Île-de-France).

Tranchée 6 – St 26 – (-50 / -60 cm)
As au type ROM ET AVG



Droit : Buste de l'empereur à droite

Revers : Autel de Lyon

Dimensions : 22/25 mm

Poids : 6,82 g.

Axe des coins : 3h

Commentaires : Les as à l'autel de Lyon ont essentiellement été frappés sous le règne d'Auguste, soit en son nom soit à celui de Tibère. Le présent exemplaire, bien que nettement corrodé, montre clairement une usure presque totale, conséquence directe d'une longue période de circulation. La période de perte doit donc être située dans un 1^{er} siècle très largement avancé.

Bruno FOUCRAY
Conservateur général du Patrimoine
Décembre 2011

Annexe 4

Inventaire des prélèvements

Inventaire des prélèvements

N° de St.	N° d'échantillon	Type de structure	Couche de comblement	Description	Qté prélevée dans la structure	Mode de récupération	2 mm	500 mm	Pds après tamisage (g)
4	20	silos	<input checked="" type="checkbox"/>	Profondeur : -94/-117 cm, caisse n° 29	25 % 10 %	Au jet Au tamisage	<input type="checkbox"/>	<input checked="" type="checkbox"/>	495
4	11	silos	<input checked="" type="checkbox"/>	Profondeur : -94/-117 cm, caisse n° 29	25 % 10 %	Au jet Au tamisage	<input checked="" type="checkbox"/>	<input type="checkbox"/>	400
4	12	silos	<input checked="" type="checkbox"/>	Profondeur : -94/-117 cm, écailles de poisson, caisse n° 29	25 % 10 %	Au jet Au tamisage	<input checked="" type="checkbox"/>	<input type="checkbox"/>	392
4	14	silos	<input checked="" type="checkbox"/>	Profondeur : -117/-126 cm, caisse n° 29	25 % 10 %	Au jet Au tamisage	<input checked="" type="checkbox"/>	<input type="checkbox"/>	233
4	19	silos	<input checked="" type="checkbox"/>	Profondeur : -117/-126 cm, caisse n° 29	25 % 10 %	Au jet Au tamisage	<input type="checkbox"/>	<input checked="" type="checkbox"/>	397
4	21	silos	<input checked="" type="checkbox"/>	Profondeur : -94/-117 cm, caisse n° 29	25 % 10 %	Au jet Au tamisage	<input type="checkbox"/>	<input checked="" type="checkbox"/>	705
9	23	silos	<input checked="" type="checkbox"/>	Profondeur : 0/-30 cm, caisse n° 29	25 % 10 %	Au jet Au tamisage	<input type="checkbox"/>	<input checked="" type="checkbox"/>	1283
9	13	silos	<input checked="" type="checkbox"/>	Profondeur : 0/-30 cm, caisse n° 29	25 % 10 %	Au jet Au tamisage	<input checked="" type="checkbox"/>	<input type="checkbox"/>	645
34	32	silos	<input checked="" type="checkbox"/>	Profondeur : -100/-120 cm, couche cendreuse, caisse n° 29	25 % 10 %	Au jet Au tamisage	<input type="checkbox"/>	<input checked="" type="checkbox"/>	390
34	8	silos	<input checked="" type="checkbox"/>	Profondeur : -100/-120 cm, couche cendreuse, écailles de poisson, caisse n° 29	25 % 10 %	Au jet Au tamisage	<input checked="" type="checkbox"/>	<input type="checkbox"/>	802
34	31	silos	<input checked="" type="checkbox"/>	Profondeur : -100/-120 cm, couche cendreuse, caisse n° 29	25 % 10 %	Au jet Au tamisage	<input type="checkbox"/>	<input checked="" type="checkbox"/>	419
34	30	silos	<input checked="" type="checkbox"/>	Profondeur : -100/-120 cm, couche cendreuse, caisse n° 29	25 % 10 %	Au jet Au tamisage	<input type="checkbox"/>	<input checked="" type="checkbox"/>	1014
34	29	silos	<input checked="" type="checkbox"/>	Profondeur : -100/-120 cm, couche cendreuse, caisse n° 29	25 % 10 %	Au jet Au tamisage	<input type="checkbox"/>	<input checked="" type="checkbox"/>	1242

N° de St.	N° d'échantillon	Type de structure	Couche de comblement	Description	Cité prélevée dans la structure		Mode de récupération		Pds après tamisage (g)
					2 mm	500 mm	2 mm	500 mm	
34	5	silo	<input checked="" type="checkbox"/>	Profondeur : -100/-120 cm, couche cendreuse, caisse n° 29	25 % 10 %	<input checked="" type="checkbox"/>	Au jet Au tamisage	<input type="checkbox"/>	868
34	26	silo	<input checked="" type="checkbox"/>	Profondeur : -100/-120 cm, couche cendreuse, caisse n° 29	25 % 10 %	<input type="checkbox"/>	Au jet Au tamisage	<input checked="" type="checkbox"/>	1147
34	7	silo	<input checked="" type="checkbox"/>	Profondeur : -100/-120 cm, couche cendreuse, caisse n° 29	25 % 10 %	<input checked="" type="checkbox"/>	Au jet Au tamisage	<input type="checkbox"/>	665
34	28	silo	<input checked="" type="checkbox"/>	Profondeur : -100/-120 cm, couche cendreuse, caisse n° 29	25 % 10 %	<input type="checkbox"/>	Au jet Au tamisage	<input checked="" type="checkbox"/>	807
34	27	silo	<input checked="" type="checkbox"/>	Profondeur : -100/-120 cm, couche cendreuse, caisse n° 29	25 % 10 %	<input type="checkbox"/>	Au jet Au tamisage	<input checked="" type="checkbox"/>	1109
34	4	silo	<input checked="" type="checkbox"/>	Profondeur : -100/-120 cm, couche cendreuse, caisse n° 29	25 % 10 %	<input checked="" type="checkbox"/>	Au jet Au tamisage	<input type="checkbox"/>	376
34	3	silo	<input checked="" type="checkbox"/>	Profondeur : -100/-120 cm, couche cendreuse, caisse n° 29	25 % 10 %	<input checked="" type="checkbox"/>	Au jet Au tamisage	<input type="checkbox"/>	818
34	2	silo	<input checked="" type="checkbox"/>	Profondeur : -100/-120 cm, couche cendreuse, caisse n° 29	25 % 10 %	<input checked="" type="checkbox"/>	Au jet Au tamisage	<input type="checkbox"/>	357
34	6	silo	<input checked="" type="checkbox"/>	Profondeur : -100/-120 cm, couche cendreuse, caisse n° 29	25 % 10 %	<input checked="" type="checkbox"/>	Au jet Au tamisage	<input type="checkbox"/>	743
46	18	silo	<input checked="" type="checkbox"/>	Couche 8, caisse n° 29	25 % 10 %	<input type="checkbox"/>	Au jet Au tamisage	<input checked="" type="checkbox"/>	432
46	17	silo	<input checked="" type="checkbox"/>	Couche 8, caisse n° 29	25 % 10 %	<input type="checkbox"/>	Au jet Au tamisage	<input checked="" type="checkbox"/>	247
46	10	silo	<input checked="" type="checkbox"/>	Couche 8, caisse n° 29	25 % 10 %	<input checked="" type="checkbox"/>	Au jet Au tamisage	<input type="checkbox"/>	91
46	9	silo	<input checked="" type="checkbox"/>	Couche 8, microfaune, coquille, caisse n° 29	25 % 10 %	<input checked="" type="checkbox"/>	Au jet Au tamisage	<input type="checkbox"/>	67
47	16	silo	<input checked="" type="checkbox"/>	Profondeur : -80/-100 cm, caisse n° 29	25 % 10 %	<input checked="" type="checkbox"/>	Au jet Au tamisage	<input type="checkbox"/>	146

N° de St.	N° d'échantillon	Type de structure	Couche de comblement	Description	Qté prélevée dans la structure	Mode de récupération	2 mm	500 mm	Pds après tamisage (g)
47	24	silo	<input checked="" type="checkbox"/>	Profondeur : -80/-100, caisse n° 29	25 % 10 %	Au jet Au tamisage	<input type="checkbox"/>	<input checked="" type="checkbox"/>	443
47	25	silo	<input checked="" type="checkbox"/>	Profondeur : -80/-100, caisse n° 29	25 % 10 %	Au jet Au tamisage	<input type="checkbox"/>	<input checked="" type="checkbox"/>	653
47	15	silo	<input checked="" type="checkbox"/>	Profondeur : -80/-100 cm, caisse n° 29	25 % 10 %	Au jet Au tamisage	<input checked="" type="checkbox"/>	<input type="checkbox"/>	139
52	1	silo	<input type="checkbox"/>	Il s'agit ici du prélèvement de la terre contenu dans un vase : soit moins de 10 % de la structure. Caisse n° 29	25 % 10 %	Au jet Au tamisage	<input checked="" type="checkbox"/>	<input type="checkbox"/>	7,15
52	22	silo	<input checked="" type="checkbox"/>	Il s'agit ici du prélèvement de la terre contenu dans un vase : soit moins de 10 % de la structure. Caisse n° 29	25 % 10 %	Au jet Au tamisage	<input type="checkbox"/>	<input checked="" type="checkbox"/>	14

Annexe 5

Inventaire des structures et des logs

Inventaire des structures

n° St.	n° Tr.	Type de St.	Description	Long.	Larg.	Dia.	Prof.	Datation	Fouille	Plan	Coupe	n°	Photo
1	3	Voie	Fossé rectiligne, profil en cuvette. Comblement : limon gris clair.					moderne contemporain	mécanique non fouillé	<input type="checkbox"/>	<input type="checkbox"/>	0	<input type="checkbox"/>
1	4	Voie	Fossé rectiligne, profil en cuvette. Comblement : limon gris clair.					moderne contemporain	mécanique non fouillé	<input type="checkbox"/>	<input type="checkbox"/>	0	<input type="checkbox"/>
1	2	Voie	Remplissage en plan : limon brun gris meuble homogène. Forme en plan : bords réguliers et parallèles. Forme en coupe : profil en cuvette, parois sub-verticales à fond plat. Comblement : limon brun gris meuble homogène avec inclusions de charbons et terre rubéfiée + limon brun très compact hétérogène (petite poche grise). Encaissant : limon grossier brun orangé compact hétérogène. Profondeur sous végétale : 0,53 m.	4,24			0,54	moderne contemporain	mécanique non fouillé	<input checked="" type="checkbox"/>	<input checked="" type="checkbox"/>	3	<input checked="" type="checkbox"/>
1	1	Voie	Fossé rectiligne, orientation : sud-est / nord-ouest, profil en cuvette. Comblement : limon gris clair.	1,40			0,54	moderne contemporain	mécanique non fouillé	<input checked="" type="checkbox"/>	<input type="checkbox"/>	44	<input checked="" type="checkbox"/>
2	1	Fossé	Remplissage en plan : limon argilo-sableux brun gris peu compact homogène. Fossé très difficile à lire en coupe. Forme en plan : rectiligne. Orientation : nord-ouest / sud-est. Forme en coupe : profil en U. Comblement : limon brun gris peu compact homogène. Encaissant : Limon grossier brun orangé compact hétérogène. Niveau d'apparition sous végétale : 0,59 m.	0,80			0,24	contemporain indéterminé	manuelle mécanique	<input checked="" type="checkbox"/>	<input checked="" type="checkbox"/>	45	<input checked="" type="checkbox"/>
3	1	Fossé	Remplissage en plan : limon brun orangé, peu compact, hétérogène. Forme en plan : rectiligne. Orientation : sud-ouest / nord-est. Forme en coupe : profil en cuvette. Comblement : limon brun orangé, peu compact, hétérogène. Encaissant : Limon grossier brun orangé compact hétérogène. Niveau d'apparition sous végétale : 0,60 m. = Fo5, Fo 13, Fo21	0,58			0,40	contemporain indéterminé	manuelle mécanique	<input checked="" type="checkbox"/>	<input checked="" type="checkbox"/>	40	<input checked="" type="checkbox"/>

n° St.	n° Tr.	Type de St.	Description	Long.	Larg.	Dia.	Prof.	Datation	Fouille	Plan	Coupe	n°	Photo
4	1	Silo	Remplissage en plan : comblement légèrement plus gris que le limon brun orangé caractérisant l'encaisant. Dia ouverture : 1,20 / à la base : 2. Forme en plan : sub-circulaire. Forme en coupe : tronconique. Voir description des couches sur plan n° 7. Forte densité de torchis (dont les plus gros fragments) dans le fond de la structure, près des parois (cf. US 11 sur plan n° 7). Mobilier : Céramique, Mouture, Torchis, Os. Encaisant : Limon grossier brun orangé compact hétérogène et limon fin jaune clair peu compact et homogène. Profondeur sous végétale : 0,40 m. 2nd plan = n° 7. Prélèvement effectué.	1,20	1,30			âge du fer antiquité	manuelle mécanique	<input checked="" type="checkbox"/>	<input checked="" type="checkbox"/>	1	<input checked="" type="checkbox"/>
5	2	Fossé	Encaisant : limon grossier brun orangé compact hétérogène. = Fo3, Fo 13, Fo21					contemporain indéterminé	mécanique non fouillé	<input type="checkbox"/>	<input type="checkbox"/>	0	<input type="checkbox"/>
6	1	Fossé bordier de V1	Comblement : limon gris clair.	0,40				moderne contemporain	mécanique non fouillé	<input checked="" type="checkbox"/>	<input type="checkbox"/>	44	<input checked="" type="checkbox"/>
6	2	Fossé bordier de V1	Fossé non dessiné sur plan mais repéré. Encaisant : limon grossier brun orangé compact hétérogène.	0,40				moderne contemporain	mécanique non fouillé	<input checked="" type="checkbox"/>	<input checked="" type="checkbox"/>	3	<input checked="" type="checkbox"/>
6	8	Fossé bordier de V1	Non fouillé					moderne contemporain	mécanique non fouillé	<input type="checkbox"/>	<input type="checkbox"/>	0	<input type="checkbox"/>
6	4	Fossé bordier de V1	Comblement : limon gris clair.					moderne contemporain	mécanique non fouillé	<input type="checkbox"/>	<input type="checkbox"/>	0	<input type="checkbox"/>
6	3	Fossé bordier de V1	Comblement : limon gris clair.					moderne contemporain	mécanique non fouillé	<input type="checkbox"/>	<input type="checkbox"/>	0	<input type="checkbox"/>
7	4	Fossé bordier de V1	Comblement : limon brun clair, grossier, compact, hétérogène. Forme en plan : rectiligne. Orientation : sud-ouest / nord-est. Forme en coupe : cuvette. Comblement : limon brun clair, grossier, compact, hétérogène. Mobilier : céramique. Encaisant : limon grossier brun orangé compact hétérogène. Profondeur sous végétale : 0,50.	3	0,50		0,20	moderne contemporain	manuelle mécanique	<input type="checkbox"/>	<input type="checkbox"/>	0	<input type="checkbox"/>

n° St. n° Tr.	Type de St.	Description	Long.	Larg.	Dia.	Prof.	Datation	Fouille	Plan	Coupe	n°	Photo
7	2	Fossé bordier de V1	0,52	0,20			moderne contemporain	manuelle mécanique	<input checked="" type="checkbox"/>	<input checked="" type="checkbox"/>	53	<input checked="" type="checkbox"/>
		Forme en plan : rectiligne. Forme en coupe : cuvette. Comblement : limon brun clair, grossier, compact hétérogène. Encaissant : limon grossier brun orangé compact hétérogène.										
7	1	Fossé bordier de V1	0,40				moderne contemporain	mécanique non fouillé	<input checked="" type="checkbox"/>	<input type="checkbox"/>	44	<input checked="" type="checkbox"/>
		Comblement : limon gris clair.										
8	3	Fossé	0,50	0,10			contemporain indéterminé	manuelle mécanique	<input checked="" type="checkbox"/>	<input checked="" type="checkbox"/>	39	<input checked="" type="checkbox"/>
		Remplissage en plan : limon brun orangé grossier, peu compact, homogène. Forme en plan : rectiligne. Orientation : est / ouest. Forme en coupe : cuvette. Comblement : limon brun orangé grossier, peu compact, homogène. Encaissant : limon grossier brun orangé compact hétérogène. Profondeur sous végétale : 0,50.										
9	3	Fosse	1,20	0,16			contemporain indéterminé	manuelle mécanique	<input checked="" type="checkbox"/>	<input checked="" type="checkbox"/>	35	<input checked="" type="checkbox"/>
		Remplissage en plan : limon cendreaux peu compact sur les bords et limon brun gris compact au centre. Forme en plan : subcirculaire. Forme en coupe : cuvette. Comblement : limon cendreaux peu compact sur les bords et le fond, limon brun gris compact au centre. Encaissant : limon grossier brun orangé compact hétérogène. Profondeur sous végétale : 0,70.										
10	3	Fosse	1	0,40			contemporain indéterminé	manuelle mécanique	<input checked="" type="checkbox"/>	<input checked="" type="checkbox"/>	35	<input checked="" type="checkbox"/>
		Remplissage en plan : limon grossier brun / noir, peu compact, hétérogène (nombreuses inclusions cendres, charbons et terre rubéfiée). Forme en plan : circulaire. Forme en coupe : cuvette. Comblement : limon grossier brun / noir, peu compact, hétérogène (nombreuses inclusions cendres, charbons et terre rubéfiée). Mobilier : céramique. Encaissant : limon grossier brun orangé compact hétérogène. Profondeur sous végétale : 0,50.										

n° St. n° Tr.	Type de St.	Description	Long.	Larg.	Dia.	Prof.	Datation	Fouille	Plan	Coupe	n°	Photo
11	3	Fosse	0,60	0,35		0,25	contemporain indéterminé	manuelle mécanique	<input checked="" type="checkbox"/>	<input checked="" type="checkbox"/>	28	<input checked="" type="checkbox"/>
		Remplissage en plan : limon brun grossier peu compact hétérogène (inclusions charbons, cendres, terre rubéfiée). Forme en plan : ovale, orientation nord-est / sud-ouest Forme en coupe : en W. Comblement : voir plan 29. Mobilier : éclats silex. Encaissant : limon grossier brun orangé compact hétérogène. Profondeur sous végétale : 0,50. 2nd plan = n° 29										
12	3	Fossé	6	0,40		0,15	contemporain indéterminé	manuelle mécanique	<input checked="" type="checkbox"/>	<input checked="" type="checkbox"/>	32	<input checked="" type="checkbox"/>
		Remplissage en plan : limon gris brun, grossier, peu compact et homogène. Forme en plan : angle d'un fossé. Forme en coupe : cuvette. Comblement : limon gris brun, grossier, peu compact et homogène. Mobilier : 1 fragment de grès. Encaissant : limon grossier brun orangé compact hétérogène. Profondeur sous végétale : 0,60.										
13	4	Fossé	3	0,50		0,20	contemporain indéterminé	manuelle mécanique	<input checked="" type="checkbox"/>	<input checked="" type="checkbox"/>	42	<input checked="" type="checkbox"/>
		Remplissage en plan : limon brun gris orangé, grossier, peu compact, homogène. Forme en plan : rectiligne, orientation : sud-ouest / nord-est. Forme en coupe : cuvette. Comblement : limon brun gris orangé, grossier, peu compact, homogène. Encaissant : limon grossier brun orangé compact hétérogène. Profondeur sous végétale : 0,50. = Fo3, Fo 5, Fo21										
14	4	Fossé	2,10	0,80		0,24	contemporain indéterminé	manuelle mécanique	<input checked="" type="checkbox"/>	<input checked="" type="checkbox"/>	46	<input checked="" type="checkbox"/>
		Remplissage en plan : limon argilo sableux gris peu compact hétérogène. Forme en plan : rectiligne. Orientation : sud-ouest / nord-est. Forme en coupe : cuvette. Comblement : limon argilo sableux gris peu compact hétérogène. Encaissant : limon grossier brun orangé compact hétérogène. Profondeur sous végétale : 0,65.										
15	5	Trou de poteau			0,38	0,20	contemporain indéterminé	manuelle mécanique	<input checked="" type="checkbox"/>	<input checked="" type="checkbox"/>	38	<input checked="" type="checkbox"/>
		Remplissage en plan : limon grossier brun charbonneux. Forme en plan : circulaire. Forme en coupe : parois évasées et fond arrondi. Comblement : limon brun noir avec inclusions de charbon. Encaissant : limon grossier brun orangé compact hétérogène. Profondeur sous végétale : 0,40.										

n° St. n° Tr.	Type de St.	Description	Long.	Larg.	Dia.	Prof.	Datation	Fouille	Plan	Coupe	n°	Photo
16	5	Fossé Remplissage en plan : limon brun gris, alignement de pierres de gros module (20 à 50 cm). Forme en plan : indéterminé. Orientation : nord-ouest / sud-est. Forme en coupe : parois sub-verticales, fond relativement plat. Comblement : limon brun gris compact avec inclusions de charbons, terre rubéfiée et céramique. Mobilier : céramique, métal. Encaissant : limon grossier brun orangé compact hétérogène. Profondeur sous végétale : 0,40. Ce fossé a posé problème. Au départ, une seule structure a été observée. En fait à la fouille, il semble bien y avoir deux fossés qui se recoupent : Fo 16 et Fo 41. Un empiètement serait plutôt à rapprocher de Fo 16 mais la structure reste incomprise au diag. 2nd plan = n° 50	0,88	0,30	antiquité haut empire	manuelle mécanique	<input checked="" type="checkbox"/>	<input checked="" type="checkbox"/>	<input checked="" type="checkbox"/>	4	<input checked="" type="checkbox"/>	
17	18	Fossé Orientation : nord-est / sud-ouest. Non fouillé. Encaissant : limon grossier brun orangé compact hétérogène. Profondeur sous végétale : 0,46.					contemporain indéterminé	mécanique non fouillé	<input checked="" type="checkbox"/>	<input type="checkbox"/>	54	<input type="checkbox"/>
17	5	Fossé Remplissage en plan : limon argilo-sableux, brun gris-clair, peu compact et hétérogène. Forme en plan : fossé rectiligne. Orientation : nord-est / sud-ouest. Forme en coupe : cuvette, décroché dans la partie centrale (recusement ?). Comblement : 1 seul remplissage (voir plan). Mobilier : lithique. Mobilier : céramique, métal. Encaissant : limon grossier brun orangé compact hétérogène. Profondeur sous végétale : 0,45. 2nd plan = n° 54	3,40	0,65	0,21	contemporain indéterminé	manuelle mécanique	<input checked="" type="checkbox"/>	<input checked="" type="checkbox"/>	33	<input checked="" type="checkbox"/>	
18	5	Fossé ? Remplissage en plan : pas de remplissage visible ni à la fouille ni en coupe. Par contre la texture est plus meuble. 8 pierres ont été dégagées en plan. Les pierres paraissent alignées. Mobilier : céramique. Encaissant : limon brun gris puis limon grossier brun orangé compact, hétérogène. Profondeur sous végétale : 0,35.	3,30	1	0,20	antiquité haut empire	manuelle mécanique	<input checked="" type="checkbox"/>	<input checked="" type="checkbox"/>	34	<input checked="" type="checkbox"/>	

n° St. n° Tr.	Type de St.	Description	Long.	Larg.	Dia.	Prof.	Datation	Fouille	Plan	Coupe	n°	Photo
19	5	Fosse Remplissage en plan : limon grossier brun gris foncé, peu compact, hétérogène et organique. Forme en plan : quadrangulaire. Forme en coupe : parois obliques, fond irrégulier. Mobilier : céramique. Encaissant : limon grossier brun orangé compact hétérogène. Profondeur sous végétale : 0,40.	3,60	3		0,40	haut empire bas empire	mécanique non fouillé	<input checked="" type="checkbox"/>	<input checked="" type="checkbox"/>	15	<input checked="" type="checkbox"/>
20	5	Fosse Remplissage en plan : limon argilo-sableux brun gris, peu compact et homogène. Limites peu nettes. Forme en plan : rectiligne. Orientation : nord-est / sud-ouest. Comblement : limon argilo-sableux brun gris, peu compact et homogène. Mobilier : céramique. Encaissant : limon grossier brun orangé compact hétérogène. Profondeur sous végétale : 0,65.	3,40	1,12		0,18	antiquité haut empire	manuelle mécanique	<input checked="" type="checkbox"/>	<input checked="" type="checkbox"/>	37	<input checked="" type="checkbox"/>
21	5	Fosse					contemporain indéterminé	mécanique non fouillé	<input type="checkbox"/>	<input type="checkbox"/>	0	<input type="checkbox"/>
22	6	Fosse Remplissage en plan : limon sableux brun gris peu compact et homogène. Forme en plan : rectiligne. Orientation : nord / sud. Forme en coupe : parois évasées et fond arrondi, partie centrale légèrement surcreusée. Mobilier : céramique. Comblement : limon sableux brun gris, peu compact et homogène. Au fond du fossé, 1 couche sableuse blanche supérieure à 1 mm d'épaisseur. Quelques pierres de petites dimensions, dans le comblement supérieur. Encaissant : limon grossier brun orangé compact hétérogène. Profondeur sous végétale : 0,50.	3,50	0,84		0,18	antiquité haut empire	manuelle mécanique	<input checked="" type="checkbox"/>	<input checked="" type="checkbox"/>	43	<input checked="" type="checkbox"/>
23	6	Fosse Remplissage en plan : limon marron orangé / gris, grossier, compact, hétérogène, pierres. Forme en plan : rectiligne. Orientation : sud-ouest / nord-est. Forme en coupe : cuvette. Comblement : limon marron orangé / gris, grossier, compact, hétérogène, pierres. Mobilier : céramique, faune. Encaissant : limon grossier brun orangé compact hétérogène. Profondeur sous végétale : 0,50.	3	1		0,35	antiquité haut empire	manuelle mécanique	<input checked="" type="checkbox"/>	<input checked="" type="checkbox"/>	51	<input checked="" type="checkbox"/>

n° St. n° Tr.	Type de St.	Description	Long.	Larg.	Dia.	Prof.	Datation	Fouille	Plan	Coupe	n°	Photo
24	6	Structure Annulée après test					préhistoire paléolithique inférieur	mamelle mécanique	<input type="checkbox"/>	<input type="checkbox"/>	0	<input type="checkbox"/>
25	6	Fosse Non fouillée, mobilier surface : métal.					contemporain indéterminé	mécanique non fouillé	<input type="checkbox"/>	<input type="checkbox"/>	0	<input type="checkbox"/>
26	6	Fosse Rempissage en plan : dans la partie centrale, comblement limoneux organique brun gris foncé. Autour, comblement limoneux gris clair. Forme en plan : subcirculaire. Forme en coupe : le fond de fosse paraît très irrégulier. Profil en pente douce. Comblement : 1- terre végétale, 2- limon argileux hétérogène brun gris compact grossier (gros nodules de scories), 3- limon argileux brun foncé hétérogène compact grossier organique (nombreux charbons, céramique), 4- mélange 3+limon fin jaune clair. Mobilier : métal (dont 1 monnaie, 1 fibule), TCA, scories, céramique, lithique, gros lithique. Encaissant : limon grossier brun orangé compact hétérogène. Profondeur sous végétale : 0,50. 2nd plan : n° 14.	6	5,50		0,90	haut empire bas empire	mécanique non fouillé	<input checked="" type="checkbox"/>	<input checked="" type="checkbox"/>	13	<input checked="" type="checkbox"/>
27	6	Fossé Rempissage en plan : limon brun orangé gris, grossier, peu compact, hétérogène. Forme en plan : rectiligne. Orientation : nord-est / sud-ouest. Forme en coupe : cuvette. Comblement : limon brun orangé gris, grossier, peu compact, hétérogène. Mobilier : céramique, lithique. Encaissant : limon grossier brun orangé compact hétérogène. Profondeur sous végétale : 0,50.	3,20	0,80		0,35	antiquité haut empire	mamelle mécanique	<input checked="" type="checkbox"/>	<input checked="" type="checkbox"/>	41	<input checked="" type="checkbox"/>
28	7	Fossé = Fo 6 (non fouillé) bordier de V1					moderne contemporain	mécanique non fouillé	<input type="checkbox"/>	<input type="checkbox"/>	0	<input type="checkbox"/>
28	6	Fossé = Fo 6 (non fouillé) bordier de V1					moderne contemporain	mécanique non fouillé	<input type="checkbox"/>	<input type="checkbox"/>	0	<input type="checkbox"/>
29	6	Fossé = Fo 7 (non fouillé) bordier de V1					moderne contemporain	mécanique non fouillé	<input type="checkbox"/>	<input type="checkbox"/>	0	<input type="checkbox"/>

n° St. n° Tr.	Type de St.	Description	Long.	Larg.	Dia.	Prof.	Datation	Fouille	Plan	Coupe	n°	Photo
29	7	Fossé bordier de V1					moderne contemporain	mécanique non fouillé	<input type="checkbox"/>	<input type="checkbox"/>	0	<input type="checkbox"/>
30	7	Fosse Remplissage en plan : limon argilo-sableux noir charbonneux compact hétérogène (terre rubéfiée). Forme en plan : sub-circulaire. Forme en coupe : parois sub-verticales. Fond irrégulier. Comblement : 1- Limon argilo-sableux noir charbonneux compact hétérogène (terre rubéfiée). 2- Limon argileux gris à inclusions de charbon, compact, hétérogène. Encaissant : limon grossier brun orangé compact hétérogène. Profondeur sous végétale : 0,40.	0,60	0,24			contemporain indéterminé	manuelle mécanique	<input checked="" type="checkbox"/>	<input checked="" type="checkbox"/>	30	<input checked="" type="checkbox"/>
31	7	Fossé Angle de fossé. Remplissage en plan : limon argilo-sableux brun gris peu compact homogène. Forme en plan : rectiligne. Profil en coupe : U. Comblement : limon argilo-sableux brun gris peu compact homogène. 2 coupes pratiquées : S1 et S2. Mobilier : céramique, métal, lithique. Encaissant : limon grossier brun orangé compact hétérogène. Profondeur sous végétale : 0,67.	0,70	0,20			antiquité haut empire	manuelle mécanique	<input checked="" type="checkbox"/>	<input checked="" type="checkbox"/>	36	<input checked="" type="checkbox"/>
32	9	Fossé Non fouillé					moderne contemporain	mécanique non fouillé	<input type="checkbox"/>	<input type="checkbox"/>	0	<input type="checkbox"/>

n° St. n° Tr.	Type de St.	Description	Long.	Larg.	Dia.	Prof.	Datation	Fouille	Plan	Coupe	n°	Photo
33	9	Silo		1,80		1,60	âge du fer antiquité	manuelle mécanique	<input checked="" type="checkbox"/>	<input type="checkbox"/>	52	<input checked="" type="checkbox"/>
<p>Rempissage en plan : limon gris peu compact homogène. Forme en plan : ovale. Forme en coupe : tronconique. Dia à la base : 2,76 m. À la fouille il est apparu qu'en fait deux silos se recoupaient. Silo non dessiné faute de temps. Comblement : US 1 : limon brun noir organique peu compact, nombreuses céramiques, faune, pierres brûlées (1 photo). US 2 : limon brun gris compact homogène. Quelques céramiques et faune. US 3 : limon fin brun jaune + inclusions torchis et charbon (peu de céram et faune). US 4 : proche US 3 mais plus foncé (brun gris). US 5 : limon cendreuse gris meuble avec inclusions charbon (céramique et faune). Mobilier : os, céramique. Encaissant : limon grossier brun orangé compact hétérogène. Profondeur sous végétale : 0,40. Prélèvement effectué.</p>												
34	9	Silo		1,44		1,40	âge du fer antiquité	manuelle mécanique	<input checked="" type="checkbox"/>	<input checked="" type="checkbox"/>	8	<input checked="" type="checkbox"/>
<p>Le silo 34 recoupe le silo 49. Rempissage en plan : limon brun gris, peu compact, hétérogène avec inclusions de terre rubéfiée et présence de céramique. Forme en plan : sub-circulaire. Diamètre à la base : 2,90. Forme en coupe : tronconique. Comblement : 11 niveaux différents (cf. plan). Limon compact (proche de l'encaissant) très présent le long des parois. Une couche cendreuse importante (n° 4 sur relevé) contient la majorité du mobilier (sédiment prélevé). L'intégralité de cette couche a été fouillée mais pas l'intégralité du silo. Mobilier : céramique (dont céramique peinte), lithique, faune. Encaissant : limon grossier brun orangé compact hétérogène. Profondeur sous végétale : 0,35.</p>												
35	10	Fossé					contemporain indéterminé	mécanique non fouillé	<input type="checkbox"/>	<input type="checkbox"/>	0	<input type="checkbox"/>
<p>Fossé en créneaux.</p>												
35	11	Fossé					contemporain indéterminé	mécanique non fouillé	<input type="checkbox"/>	<input type="checkbox"/>	0	<input type="checkbox"/>
<p>Fossé en créneaux.</p>												

n° St. n° Tr.	Type de St.	Description	Long.	Larg.	Dia.	Prof.	Datation	Fouille	Plan	Coupe	n°	Photo
35	11 bis	Fossé Sondage 2 : remplissage en plan : mélange de limon brun gris et de limon jaune clair. Forme en plan : en créneaux. Orientation : nord-sud. Forme en coupe : profil à banquette à fond plat. Comblement : plusieurs couches de limon brun gris, limon jaune clair. Mobilier : métal, verre, céramique. Encaissant : limon grossier brun orangé compact hétérogène, puis limon fin jaune clair. Profondeur sous végétale : 0,60.	1,64			0,78	contemporain indéterminé	mécanique non fouillé	<input checked="" type="checkbox"/>	<input checked="" type="checkbox"/>	11	<input checked="" type="checkbox"/>
35	10 bis	Fossé Sondage 1 : remplissage en plan : mélange de limon brun gris et de limon jaune clair peu compact. Forme en plan : en créneaux. Orientation : nord-sud. Forme en coupe : profil à banquette à fond plat. Comblement : plusieurs couches de limon brun gris, limon jaune clair. Mobilier : métal, verre, céramique. Encaissant : limon grossier brun orangé compact hétérogène, puis limon fin jaune clair. Profondeur sous végétale : 0,52.	1,68			0,84	contemporain indéterminé	mécanique non fouillé	<input checked="" type="checkbox"/>	<input checked="" type="checkbox"/>	10	<input checked="" type="checkbox"/>
36	11	Fossé Annulé après test.					préhistoire paléolithique inféri	manuelle mécanique	<input type="checkbox"/>	<input type="checkbox"/>	0	<input type="checkbox"/>
37	12	Fossé Remplissage en plan : limon brun foncé peu compact homogène. Forme en plan : rectiligne. Forme en coupe : cuvette. Comblement : en surface, galets calcaires (voir relevé). Mobilier : silex. Encaissant : limon grossier brun orangé compact hétérogène. Profondeur sous végétale : 0,40.	0,40			0,14	contemporain indéterminé	manuelle mécanique	<input checked="" type="checkbox"/>	<input checked="" type="checkbox"/>	31	<input checked="" type="checkbox"/>
38	12	Fossé Remplissage en plan : limon brun foncé compact homogène avec inclusions charbon. Forme en plan : rectiligne. Orientation : sud-ouest / nord-est. Forme en coupe : parois en pente douce et fond irrégulier. Comblement : voir plan. Ce fossé est peut-être le même que Fo 37. Difficile à affirmer car on en perd la trace vers le nord-est. Mobilier : Silex. Encaissant : limon grossier brun orangé compact hétérogène, puis limon fin jaune clair. Profondeur sous végétale : 0,80.	0,52			0,14	contemporain indéterminé	manuelle mécanique	<input checked="" type="checkbox"/>	<input checked="" type="checkbox"/>	25	<input checked="" type="checkbox"/>

n° St. n° Tr.	Type de St.	Description	Long.	Larg.	Dia.	Prof.	Datation	Fouille	Plan	Coupe	n°	Photo
39 12	Fossé	Fossé en créneaux.					contemporain indéterminé	mécanique non fouillé	<input type="checkbox"/>	<input type="checkbox"/>	0	<input type="checkbox"/>
39 12 bis	Fossé	Sondage 3 : remplissage en plan : mélange de limon brun gris peu compact et de limon jaune clair peu compact. Forme en plan : en créneaux. Orientation : nord-sud. Forme en coupe : profil à banquette à fond plat. Comblement : plusieurs couches de limon brun gris, limon jaune clair. Mobilier : métal, verre, céramique. Encaissant : limon grossier brun orangé compact hétérogène, puis limon fin jaune clair. Profondeur sous végétale : 0,35.	1,60			0,70	contemporain indéterminé	mécanique non fouillé	<input checked="" type="checkbox"/>	<input checked="" type="checkbox"/>	12	<input checked="" type="checkbox"/>
40 13	Fossé	Fossé en créneaux.					contemporain indéterminé	mécanique non fouillé	<input type="checkbox"/>	<input type="checkbox"/>	0	<input type="checkbox"/>
41 5	Fossé	Remplissage en plan : limon brun gris sableux. Forme en plan : rectiligne. Orientation : nord-ouest / sud-est. Forme en coupe : cuvette. Comblement : limon sableux brun gris à jaune clair, compact et homogène. Mobilier : céramique, os, métal. Encaissant : limon grossier brun orangé compact hétérogène. Profondeur sous végétale : 0,40. Le fossé 41 est recoupé, semble-t-il, par le fossé 16 mais cette structure, en particulier l'empierrement est mal compris. 2nd plan = n° 50	0,76			0,35	antiquité haut empire	manuelle mécanique	<input checked="" type="checkbox"/>	<input checked="" type="checkbox"/>	4	<input checked="" type="checkbox"/>
42 17	Fosse	Remplissage en plan : limon sableux gris foncé homogène meuble grossier. Forme en plan : carré. Mobilier : plastique, tuile, verre, clou, plâtre. Non fouillé. Encaissant : limon grossier brun orangé compact hétérogène. Profondeur sous végétale : 0,66.				0,85	contemporain indéterminé	mécanique non fouillé	<input checked="" type="checkbox"/>	<input type="checkbox"/>	24	<input checked="" type="checkbox"/>

n° St. n° Tr.	Type de St.	Description	Long.	Larg.	Dia.	Prof.	Datation	Fouille	Plan	Coupe	n°	Photo
43	18	Structure	5	0,85		0,46	antiquité haut empire	manuelle mécanique	<input checked="" type="checkbox"/>	<input checked="" type="checkbox"/>	49	<input checked="" type="checkbox"/>
		Remplissage en plan : limon brun gris clair compact, homogène. A la fouille, limites perçues uniquement sur une dizaine de centimètres. Pas de limites visibles au décapage. Forme en plan : rectiligne avec 3 calages de pierre alignés. Forme en coupe : pentes douces, fond arrondi. Comblement : limon brun gris clair compact homogène. Mobilier : céramique. Encaissant : limon grossier brun orangé compact hétérogène. Profondeur sous végétale : 0,30.										
44	18	Structure	5	0,60		0,52	antiquité haut empire	manuelle mécanique	<input checked="" type="checkbox"/>	<input checked="" type="checkbox"/>	49	<input checked="" type="checkbox"/>
		Remplissage en plan : limon brun gris clair compact. Forme en plan : rectiligne avec 3 calages de pierre alignés. Forme en coupe : pentes douces, fond arrondi. Comblement : limon brun gris clair compact homogène. Mobilier : céramique, clou. Encaissant : limon grossier brun orangé compact hétérogène. Profondeur sous végétale : 0,30.										
45	18	Fossé					contemporain indéterminé	mécanique non fouillé	<input type="checkbox"/>	<input type="checkbox"/>	0	<input type="checkbox"/>
		Mobilier : métal, céramique. Non sondé. Semble fonctionner avec Fo 20.										
46	1	Silo			1,80	1,59	âge du fer antiquité	manuelle mécanique	<input checked="" type="checkbox"/>	<input checked="" type="checkbox"/>	19	<input checked="" type="checkbox"/>
		Remplissage en plan : limon gris hétérogène grossier. Dia ouverture : 1,80 / à la base : 3 m. Forme en plan : contour circulaire. Forme en coupe : profil tronconique. Voir description des couches sur plan n° 21. Mobilier : Céramique, petit lithique, Os. Encaissant : Limon grossier brun orangé compact hétérogène et limon fin jaune clair peu compact et homogène. Profondeur sous végétale : 0,40 m. 2nd plan = n° 21. Prélèvement effectué.										

n° St. n° Tr.	Type de St.	Description	Long.	Larg.	Dia.	Prof.	Datation	Fouille	Plan	Coupe	n°	Photo
47	1	Silo		1,92	1,80		âge du fer antiquité	manuelle mécanique	<input checked="" type="checkbox"/>	<input checked="" type="checkbox"/>	20	<input checked="" type="checkbox"/>
		Remplissage en plan : limon gris hétérogène grossier. Dia ouverture : 1,92 / à la base ; 2,80 m. Forme en plan : contour circulaire. Forme en coupe : profil tronconique. Voir description des couches sur plan n° 22. Mobilier : Céramique, lithique, Os, Métal, Torchis. Encaissant : Limon grossier brun orangé compact hétérogène et limon fin jaune clair peu compact et homogène. Profondeur sous végétale : 0,40 m. 2nd plan = n° 22. Prélèvement effectué.										
48	18	Fossé		0,40	0,20		contemporain indéterminé	manuelle mécanique	<input checked="" type="checkbox"/>	<input checked="" type="checkbox"/>	48	<input checked="" type="checkbox"/>
		Remplissage en plan : limon brun orangé gris, compact, hétérogène. Forme en plan : circulaire. Forme en coupe : cuvette. Comblement : limon brun orangé gris, compact, hétérogène. Mobilier : lithique. Encaissant : limon grossier brun orangé compact hétérogène. Profondeur sous végétale : 0,50.										
49	9	Silo					âge du fer antiquité	mécanique non fouillé	<input checked="" type="checkbox"/>	<input type="checkbox"/>	8	<input type="checkbox"/>
		Silo recoupé par F 34. Non fouillé. Contour : circulaire. Mobilier : os. Encaissant : limon grossier brun orangé compact hétérogène. Profondeur sous végétale : 0,35.										
50	9	Silo					âge du fer antiquité	mécanique non fouillé	<input checked="" type="checkbox"/>	<input type="checkbox"/>	16	<input checked="" type="checkbox"/>
		Remplissage en plan : limon sableux grossier brun gris peu compact et hétérogène. Forme en plan : sub-circulaire. Mobilier : céramique, faune, scorie. Non fouillé. Encaissant : limon grossier brun orangé compact hétérogène. Profondeur sous végétale : 0,35.										
51	9	Silo					âge du fer antiquité	mécanique non fouillé	<input checked="" type="checkbox"/>	<input type="checkbox"/>	17	<input checked="" type="checkbox"/>
		Remplissage en plan : limon grossier brun gris, peu compact et hétérogène. Forme en plan : circulaire. Mobilier : céramique, faune. Non fouillé. Encaissant : limon grossier brun orangé compact hétérogène. Profondeur sous végétale : 0,35. Non fouillé.										

n° St.	n° Tr.	Type de St.	Description	Long.	Larg.	Dia.	Prof.	Datation	Fouille	Plan	Coupe	n°	Photo
52	9	Silo	Remplissage en plan : limon gris foncé, compact, hétérogène, organique. Forme en plan : ovale. Diamètre à la base : 1,50. Forme en coupe : tronconique avec fond irrégulier. Comblement : principalement limon brun gris foncé sableux grossier peu compact, hétérogène et organique avec nombreuses inclusions de torchis, charbons. Plusieurs zones très denses en torchis, compactes. Mobilier : céramique, pierres, torchis, faune. Encaissant : limon grossier brun orangé compact hétérogène, puis limon fin jaune clair. Profondeur sous végétale : 0,25. Prélèvement effectué.	1,10	0,65			âge du fer antiquité	manuelle mécanique	<input checked="" type="checkbox"/>	<input checked="" type="checkbox"/>	18	<input checked="" type="checkbox"/>
53	4	Fosse	Remplissage en plan : limon brun à brun gris grossier peu compact. Forme en plan : ovale. Orientation : nord-est / sud-ouest. Forme en coupe : V. Comblement : limon peu compact. Mobilier : terre cuite architecturale. Encaissant : limon grossier brun orangé compact hétérogène. Profondeur sous végétale : 0,50. 2nd plan = n° 27	1,60	0,80	0,40		contemporain indéterminé	manuelle mécanique	<input checked="" type="checkbox"/>	<input checked="" type="checkbox"/>	26	<input checked="" type="checkbox"/>
54	12	Fossé	Remplissage en plan : limon argilo-sableux gris peu compact homogène. S'agit-il vraiment d'une structure ? Les difficultés de lecture du sédiment font que nous préférons enregistrer et relever cette structure en plan. Non fouillé. Encaissant : limon grossier brun orangé compact hétérogène. Profondeur sous végétale : 0,54.	0,50				contemporain indéterminé	mécanique non fouillé	<input checked="" type="checkbox"/>	<input type="checkbox"/>	23	<input checked="" type="checkbox"/>
55	9	Fosse	Fosse très difficile à circonscrire tant le sédiment se détache mal de l'encaissant. Remplissage en plan : limon argilo sableux gris compact. Forme en plan : subcirculaire. Mobilier : céramique, os. Non fouillé. Encaissant : limon grossier brun orangé compact hétérogène, puis limon fin jaune clair. Profondeur sous végétale : 0,41.	1,60	1,40			âge du fer antiquité	mécanique non fouillé	<input checked="" type="checkbox"/>	<input type="checkbox"/>	47	<input checked="" type="checkbox"/>

Inventaire des logs

N° Log	N° Tr.	Secteur	Orientation	Description comblement	Larg.	Prof.	Relevé	Plan n°	Photo
1	2	A	nord-sud	Terre végétale, limon grossier brun gris meuble hétérogène, limon grossier brun orangé très compact et hétérogène, limon fin jaune clair meuble homogène avec rares inclusions de calcaire pulvérulent.	1,10	1,36	<input checked="" type="checkbox"/>	2	<input checked="" type="checkbox"/>
2	4	A	nord / sud	7 niveaux différents : terre végétale, limon grossier brun gris, 2 niveaux de limon brun orangé compact, 3 niveaux de limon sableux jaune.	1	2,50	<input checked="" type="checkbox"/>	2	<input checked="" type="checkbox"/>
3	8	A	nord-ouest / sud-est	1- terre végétale, 2- limon grossier brun gris, 3- 2 couches de limon grossier brun orangé, 4- 2 couches de limon fin jaune clair. Les marnes et caillaises apparaissent à 3,20 m.	0,60	1,60	<input checked="" type="checkbox"/>	5	<input checked="" type="checkbox"/>
4	10	B	nord-ouest / sud-est	1- terre végétale, 2- limon grossier gris clair hétérogène, compact, 3- limon brun orangé grossier hétérogène compact, 4- limon fin jaune clair homogène peu compact.	0,46	1,38	<input checked="" type="checkbox"/>	6	<input checked="" type="checkbox"/>
5	14	B	est / ouest	1- terre végétale, 2- limon grossier brun orangé compact hétérogène, 3- limon fin jaune clair peu compact homogène, 4- marnes et caillasses compact, hétérogène.	0,48	3	<input checked="" type="checkbox"/>	9	<input checked="" type="checkbox"/>

Cergy "ZAC des Linandes II", 3e tranche - Diagnostic SDAVO 2011

Annexe 6

Inventaire du mobilier artefacts et ecofacts

Inventaire du mobilier (artefacts)

Matériau	N° St.	Description matériau	Datation	NR	NMI	Poids	Boîte n°	Sac n°
céramique		11 protohistoriques, 1 Antique, 2 indéterminés, quelques petits fragments indéterminés	indéterminé	13	0	78	3	104
céramique			indéterminé	4	0	30	3	34
céramique			indéterminé	1	0	5	3	33
céramique		Ouverture sud (zone à silos)	protohistoire	16	0	155	1	32
céramique		Poche sableuse	indéterminé	4	0	20	3	53
céramique			indéterminé	5	0	19	3	54
céramique		Indéterminés	indéterminé	3	0	10	3	191
céramique	4	-55/-86, est	protohistoire	10	1	290	2	13
céramique	4	-117/-139, est	protohistoire	4	2	78	2	36
céramique	4	-25/-34	protohistoire	3	0	22	2	35
céramique	4	Z inconnu	protohistoire	1	0	15	2	37
céramique	4	-86/-117, est	protohistoire	4	2	83	2	14
céramique	4	-86/-117	protohistoire	1	0	4	1	203
céramique	4	-34/-55 cm, est	protohistoire	51	4	827	2	12
céramique	4	-13/-25 cm, est	protohistoire	4	2	83	2	11
céramique	4	-3/-13 cm, est	protohistoire	10	3	330	2	10
céramique	4	Surface	protohistoire	7	2	63	2	9
céramique	7	0/-20	moderne	1	0	9	3	57

Cergy "ZAC des Linandes II", 3e tranche - Diagnostic SDAVO 2011

Matériau	N° St.	Description matériau	Datation	NR	NMI	Poids	Boîte n°	Sac n°
céramique	10	Pâte sombre, détruit au lavage	indéterminé	1	0	1	3	189
céramique	16	F 16-41, surface, 1 pâte claire, 1 pâte orangée	indéterminé	2	0	11	3	185
céramique	16	F 16-41, sondage 1, -10/-20, 8 pâte sombre, 2 pâte orangée, 1 pâte claire (1 anse), 1 indéterminé	antiquité	12	0	85	3	101
céramique	16	F 16-41, sous l'empierrement, 15 pâte sombre (2 bord), 2 indéterminés	antiquité	17	0	241	3	102
céramique	19	0/-10, 10 pâte orangée, 11 pâte claire (1 bord, 1 fragment de cruche blanche à points rouges), 30 pâte sombre (2 bords, 3 fonds, NPR résiduel), 1 sigillée bilobée du centre (profil complet, fond estampillé), 2 indéterminés	antiquité	54	0	515	3	99
céramique	19	-10/-20, 2 pâte claire, 5 pâte orangée, 10 pâte sombre	antiquité	17	0	37	3	100
céramique	20		antiquité	3	0	5	3	107
céramique	21	Surface, 3 pâtes sombres	antiquité	3	0	6	3	188
céramique	22		protohistoire	1	0	8	3	58
céramique	23	0/-20	indéterminé	2	0	7	3	56
céramique	26	-50/-60, 8 pâte sombre (1 fond, 1 bord), 1 sigillée du centre (fond estampillé), 11 pâte claire (1 départ d'anse) dont 1 fragment de céramique coquillée	antiquité	20	0	343	3	97
céramique	26	0/-10, 9 pâte orangée (1 fond), 1 pâte claire, 22 pâte sombre (1 bord), 4 amphores (2 fond, 1 bord), 3 indéterminés	antiquité	39	0	324	3	92
céramique	26	-10/-20, 71 pâte sombre (8 fonds, 8 bords), 9 amphores (1 bord), 11 pâte claire (1 fond, 1 anse), 8 sigillées (1 fond, 2 bords), 13 pâte orangée (2 fonds, 1 fragment de panse décorée), plus petits fragments	antiquité	112	0	911	3	93
céramique	26	-20/-30, 6 sigillées du centre -Lezoux- (3 fonds dont 1 estampillé), 9 amphores (1 bord de Dressel 20), 5 pâte orangée, 24 pâte claire (2 bords, 1 fragment de panse décorée, 1 départ d'anse), 51 pâte sombre (3 fond, 2 bords), 5 indéterminés	antiquité	100	0	917	3	94
céramique	26	-30/-40, 7 pâte sombre (1 fond), 2 sigillées (1 décor, 1 fragment de panse décorée), 4 amphores (1 anse), 5 pâte claire, 1 pâte orangée	antiquité	18	0	132	3	95
céramique	26	-40/-50, 7 sigillées dont 1 bol type Drag 37 (1 bord, 4 fragments de panse décorée), 27 pâte claire (1 anse), 15 pâte sombre, 2 indéterminés	antiquité	51	0	410	3	96

Cergy "ZAC des Linandes II", 3e tranche - Diagnostic SDAVO 2011

Matériau	N° St.	Description matériau	Datation	NR	NMI	Poids	Boîte n°	Sac n°
céramique	26	Nettoyage coupe, 4 pâte sombre, 1 pâte orangée	antiquité	5	0	46	3	98
céramique	27	0/-20	indéterminé	2	0	9	3	55
céramique	28	Surface, indéterminés	indéterminé	4	1	27	3	192
céramique	31	Surface, pâte claire	indéterminé	1	0	2	3	187
céramique	31	Sondage 1	protohistoire	1	0	23	3	52
céramique	33	US 4	protohistoire	1	1	246	1	49
céramique	33	US 3	protohistoire	4	2	159	1	48
céramique	33	US 5	protohistoire	7	3	110	1	50
céramique	33	US 1 & 2	protohistoire	43	7	738	1	47
céramique	34	-120/-140	protohistoire	2	1	84	1	42
céramique	34	-100/-120	protohistoire	18	5	344	1	39
céramique	34	-20/-40 cm	protohistoire	18	3	596	1	8
céramique	34	-60/-80	protohistoire	15	6	832	1	40
céramique	34	-40/-60	protohistoire	11	2	333	1	41
céramique	34	-80/-100, fusarole	protohistoire	1	1	12	1	43
céramique	34	-100/-120 cm, céramique peinte isolée	protohistoire	1	1	76	1	4
céramique	34	-80/-100 cm	protohistoire	16	4	730	1	6
céramique	34	0/-20 cm	protohistoire	26	4	282	1	7

Cergy "ZAC des Linandes II", 3e tranche - Diagnostic SDAVO 2011

Matériau	N° St.	Description matériau	Datation	NR	NMI	Poids	Boîte n°	Sac n°
céramique	35	3 pâte claire poreuse émaillée (1 fond à intérieur vernissé), 1 pâte orangée poreuse émaillée (bord), 3 porcelaines	contemporain	7	0	130	3	106
céramique	39	Sondage 3	contemporain	4	0	30	3	105
céramique	43	1 sigillée (1 fond estampillé)	antiquité	1	0	8	3	103
céramique	44	2 pâte sombre, 2 pâte claire, 1 sigillée	antiquité	5	0	24	3	184
céramique	45	Pâte sombre	contemporain	1	0	1	3	186
céramique	46	-40/-60	protohistoire	2	1	11	2	38
céramique	46	0/-20	protohistoire	7	2	49	2	15
céramique	46	-20/-40	protohistoire	6	1	86	2	16
céramique	46	-60/-80	protohistoire	1	1	0	2	17
céramique	46	Z inconnu	protohistoire	1	0	85	2	21
céramique	46	-100/-120	protohistoire	1	0	6	1	202
céramique	46	-100/-120 cm	protohistoire	3	0	20	2	19
céramique	46	-140/-160 cm	protohistoire	5	1	23	2	20
céramique	46	-80/-100	protohistoire	6	0	70	2	18
céramique	47	-20/-40	protohistoire	10	1	215	2	23
céramique	47	0/-20	protohistoire	43	3	378	2	22
céramique	47	-120/-140	protohistoire	14	2	188	2	28
céramique	47	-140/-160	protohistoire	5	0	28	2	29

Cergy "ZAC des Linandes II", 3e tranche - Diagnostic SDAVO 2011

Matériau	N° St.	Description matériau	Datation	NR	NMI	Poids	Boîte n°	Sac n°
céramique	47	-100/-120	protohistoire	13	2	191	2	27
céramique	47	-40/-60	protohistoire	9	3	144	2	24
céramique	47	-80/-100	protohistoire	17	5	378	2	26
céramique	47	-160/-180	protohistoire	0	0	0	2	30
céramique	47	-60/-80	protohistoire	15	1	261	2	25
céramique	51	Surface	protohistoire	2	0	52	1	31
céramique	52	-40/-60	protohistoire	3	1	283	1	46
céramique	52	-20/-40	protohistoire	4	3	146	1	45
céramique	52	-20/40 cm, un individu, profil compet	protohistoire	1	1	243	1	5
céramique	52	0/-20	protohistoire	16	2	127	1	44
céramique	55	Surface	protohistoire	1	0	1	1	51
lithique		Silex (2 éclats dont 1 grattoir), grès (1 éclat)	préhistoire	3	0	72	7	135
lithique		Silex, éclats	préhistoire	2	0	14	7	132
lithique		Silex, 1 grattoir, 2 éclats retouchés, esquilles	préhistoire	15	0	368	7	134
lithique		Silex, éclats	préhistoire	3	0	70	7	142
lithique		Silex, 3 éclats, 1 bloc testé, 1 fragment de hache polie	préhistoire	5	0	180	7	133
lithique		Dans poche sableuse, 7 éclats, 2 lames, 1 nucléus sur éclat	préhistoire	10	0	116	7	143
lithique		Gros lithique, grès, 1 partie active	indéterminé	1	0	273	10	195
lithique		Silex, grattoir sur éclat	préhistoire	1	0	73	7	141

Cergy "ZAC des Linandes II", 3e tranche - Diagnostic SDAVO 2011

Matériau	N° St.	Description matériau	Datation	NR	NMI	Poids	Boîte n°	Sac n°
lithique		Silex, 3 éclats dont un retouché	préhistoire	3	0	42	7	140
lithique		Silex, grattoir sur éclat	préhistoire	1	0	18	7	139
lithique		Silex, nucléus	préhistoire	2	0	139	7	138
lithique		Silex, 4 éclats, dont 2 grattoirs, 1 bloc testé	préhistoire	5	0	503	7	137
lithique		Silex, 4 éclats	préhistoire	4	0	15	7	136
lithique	4	-25/-34, est, poudingue	protohistoire	6	0	495	11	199
lithique	4	-117/-139, gros lithique, 10 poudingues dont 1 brûlé	protohistoire	11	0	1062	16	227
lithique	4	-117/-139, est, gros lithique, poudingue, 1 partie active, à photographier	protohistoire	1	0	990	11	197
lithique	4	-76, est, gros lithique	protohistoire	1	0	314	15	223
lithique	4	-117/-139, gros lithique, poudingue, 1 partie active à photographier	protohistoire	1	0	983	15	222
lithique	4	-13/-25, est, 1 poudingue	protohistoire	2	0	93	11	200
lithique	4	-55/-86, gros lithique, poudingue, 1 brûlé	protohistoire	5	0	1160	15	221
lithique	4	-118, gros lithique, poudingue, + de 3 kg	protohistoire	1	0		22	237
lithique	4	-34/-55, gros lithique, 17 poudingues dont 1 surface active, 1 galet	protohistoire	18	0	991	14	215
lithique	4	-3/-13, est, gros lithique, 2 brûlés, 3 poudingues	protohistoire	6	0	1085	11	198
lithique	11	Silex, éclats	préhistoire	10	0	21	7	121
lithique	12	Gros lithique, grès brûlé	indéterminé	1	0	492	11	204
lithique	16	F16-41, sous empierrement, gros lithique, + de 30 kg	indéterminé	1	0		24	239
lithique	16	F 16-41, silex, éclat	préhistoire	1	0	19	7	122

Cergy "ZAC des Linandes II", 3e tranche - Diagnostic SDAVO 2011

Matériau	N° St.	Description matériau	Datation	NR	NMI	Poids	Boîte n°	Sac n°
lithique	17	Silex, éclats	préhistoire	2	0	2	7	123
lithique	18	Silex, 2 éclats, 1 fragment de lame polie	préhistoire	3	0	15	7	124
lithique	18	Gros lithique, grès, à trier par un spécialiste	indéterminé	2	0	1138	15	220
lithique	19	0/-10, silex, 2 éclats dont 1 en grès, 1 nucléus Kombéwa	préhistoire	3	0	193	7	116
lithique	19	Surface, gros lithique	antiquité	1	0	59	11	201
lithique	26	-10/-20, silex, 7 éclats dont 1 éclat d'entame retouché	préhistoire	7	0	38	7	113
lithique	26	-20/-30, silex, 4 éclats, 1 bloc testé	préhistoire	5	0	127	7	114
lithique	26	-50/-60, 4 éclats	préhistoire	4	0	51	7	115
lithique	26	0/-10, silex, 2 éclats	préhistoire	2	0	5	7	112
lithique	27	-20/-40, gros lithique brûlé	indéterminé	1	0	949	14	218
lithique	31	Sondage 2, éclat	préhistoire	1	0	1	7	126
lithique	31	Surface, silex, éclat	préhistoire	1	0	1	7	125
lithique	33	US1&2, silex, 1 éclat, 1 lame	préhistoire	2	0	33	7	127
lithique	33	US4, gros lithique, grès brûlé, 1 partie active	protohistoire	1	0	815	11	205
lithique	33	Z inconnu, gros lithique, 4 brûlés, à trier par un spécialiste	protohistoire	9	0	1270	10	194
lithique	34	-80/-100, gros lithique, 2 grès brûlé, 1 face active	protohistoire	2	0	1360	13	210
lithique	34	-100/-120, gros lithique, 4 brûlés, 1 face active ?	protohistoire	16	0	1058	14	217
lithique	34	-20/-40, gros lithique, 6 brûlés, à trier par un spécialiste	protohistoire	10	0	979	14	216
lithique	34	-40/-60, gros lithique, 1 poudingues, 25 brûlés	protohistoire	26	0	1072	17	230

Cergy "ZAC des Linandes II", 3e tranche - Diagnostic SDAVO 2011

Matériau	N° St.	Description matériau	Datation	NR	NMI	Poids	Boîte n°	Sac n°
lithique	34	-100/-120, gros lithique, 5 brûlés	protohistoire	5	0	958	11	207
lithique	34	-80/-100, gros lithique, à trier par un spécialiste	protohistoire	38	0	1120	12	208
lithique	34	-100/-120, gros lithique, grès	protohistoire	1	0	671	13	213
lithique	34	0/-20, gros lithique	protohistoire	22	0	1030	13	212
lithique	34	-80/-100, gros lithique, grès, 1 partie active à photographier	protohistoire	1	0	1104	16	225
lithique	34	-100/-120, silex, 3 éclats	préhistoire	3	0	23	7	183
lithique	34	-60-80, gros lithique, 1 poudingue, 7 brûlés, à trier par un spécialiste, + de 4 kg	protohistoire	14	0		19	233
lithique	34	-78/-97, gros lithique, grès, + de 5 kg	protohistoire	1	0		23	238
lithique	34	0/-10, silex, 3 éclats dont un grattoir	préhistoire	3	0	36	7	117
lithique	34	-80/-100, silex, 2 éclats dont 1 grattoir	préhistoire	2	0	21	7	118
lithique	34	-80/-100, gros lithique	protohistoire	1	0	103	10	196
lithique	34	-80/-100, gros lithique, 1 bloc avec 1 rainure, à trier par un spécialiste	protohistoire	13	0	1144	12	209
lithique	37	Surface, silex, éclat	préhistoire	1	0	34	7	128
lithique	38	Sondage 1, éclat	préhistoire	1	0	1	7	129
lithique	44	Silex, ébauche d'armature perçante	préhistoire	1	0	10	7	130
lithique	46	0/-20, silex, 1 éclat	préhistoire	1	0	30	7	119
lithique	46	-140/-160, gros lithique, poudingue	protohistoire	1	0	488	11	206
lithique	46	-120/-140, silex, 1 éclat	préhistoire	1	0	9	7	120
lithique	47	-40/-60, gros lithique, 4 poudingues, 1 calcaire, 1 grès	protohistoire	6	0	1011	16	224

Cergy "ZAC des Linandes II", 3e tranche - Diagnostic SDAVO 2011

Matériau	N° St.	Description matériau	Datation	NR	NMI	Poids	Boîte n°	Sac n°
lithique	47	-140/-160, gros lithique, + de 3kg	protohistoire	1	0		20	235
lithique	47	-140/-160, gros lithique	protohistoire	3	0	1336	18	231
lithique	47	-60/-80, gros lithique, calcaire	protohistoire	1	0	719	16	226
lithique	47	-80/-100, gros lithique, 2 poudingues	protohistoire	3	0	1073	17	228
lithique	47	-100/-120, gros lithique	protohistoire	1	0	191	17	229
lithique	47	-60/80, gros lithique	protohistoire	2	0	1515	18	232
lithique	47	-60/-80, gros lithique, à trier par un spécialiste	protohistoire	9	0	1600	10	193
lithique	47	-140/-160, gros lithique, brûlé, + de 10 kg	protohistoire	2	0		21	236
lithique	47	-80/-100, gros lithique, objet en grès, + de 3 kg	protohistoire	1	0		20	234
lithique	52	-40/-60, gros lithique, calcaire, 1 bloc perforé à photographier	protohistoire	2	0	969	13	211
lithique	52	-40/-60, silex, grattoir sur lame	préhistoire	1	0	13	7	131
lithique	52	-40/-60, gros lithique, broyon, à photographier	protohistoire	1	0	343	13	214
lithique	52	Z inconnu, gros lithique	protohistoire	1	0	284	14	219
métal		fenêtre sud, scorie, dimensions: 3/3.5, couleur: gris/noir, structure alvéolée, pas d'inclusions visible, pas de terre rubéfiée, pas de rainures	indéterminé	1	0	15	4	66
métal	4	-3/-13, 1 fragment plaque, alliage cuivreux	protohistoire	1	0	0	5	86
métal	4	Surface, 1 fragment plaque (plomb)	protohistoire	1	0	2	5	87
métal	16	F 16-41, sondage 1, tige	antiquité	1	0	2	5	81
métal	16	F 16-41, dans empiérement, 2 clous	antiquité	2	0	12	5	83

Cergy "ZAC des Linandes II", 3e tranche - Diagnostic SDAVO 2011

Matériau	N° St.	Description matériau	Datation	NR	NMI	Poids	Boîte n°	Sac n°
métal	16	F 16-41, surface, 1 tige recourbée, 2 plaquette (plomb?)	antiquité	3	0	15	5	85
métal	19	-10/-20, 1 plaquette, 1 clou	antiquité	2	0	0	5	77
métal	19	0/-10, scories, dimensions: 7.7/5/3(125g), couleur: gris vert/gris rougeâtre à noir, structure alvéolée, inclusions: matériau minéral blanchâtre, pas de terre rubéfiée, pas de rainures	antiquité	4	0	156	4	65
métal	19	0/-20, 3 clous, 1 tige, 1 fragment de peinture, 1 clavette	antiquité	6	0	84	5	76
métal	26	-40/-50, 1 fragment plaque, 1 fragment lingot	antiquité	2	0	79	5	74
métal	26	-10/-20, 4 clous (construction), 4 plaquette, 14 tiges, 1 fragment de plaque de fer (résidu de forge ?), 1 indéterminé	antiquité	24	0	190	5	71
métal	26	-50/-60 cm, monnaie	antiquité	1	0	0	30	1
métal	26	-40/-50 cm, fibule à charnière de type f caractérisée par un arc bipartite et un porte-ardillon triangulaire. L'arc est constitué par un bourrelet encadré de moulures transversales. Il se prolonge par une arête centrale bordée de deux lignes latérales aboutissant, par une courbure franche, à un pied bouleté. Dérivé du type « Aucissa » Type Feugère 23b	antiquité	1	0	1,9	30	2
métal	26	-50/-60, 1 tige, 3 framens d'un bandage de frette (canalisation), 2 indéterminés	antiquité	5	0	76	5	75
métal	26	-20/-30, 1 clou, 8 tiges, 1 fragment bandage de frette	antiquité	10	0	70	5	72
métal	26	-30/-40, 2 tiges, 1 plaquette	antiquité	3	0	12	5	73
métal	26	0/-10, scories, dimensions: 7/4(128g), 6.8/3.9(56g), couleurs: gris vert/gris rougeâtre à noir, structures alvéolée, une est partiellement vitrifiée, inclusions: matériau minéral blanchâtre, présence terre rubéfiée en surface, présence rainures	antiquité	60	0	893	4	59
métal	26	-50/-60, scories, dimensions: 5.1/3.91.8(68g), couleur: gris vert/gris rougeâtre à noir avec plage orangée (oxydation?), structure alvéolée, une est partiellement vitrifiée, inclusions: matériau minéral blanchâtre, pas de terre rubéfiée, pas de rainures	antiquité	42	0	793	4	64
métal	26	-40/-50, scories, dimensions: 6.9/3/5.5(155g), couleur: gris vert/gris rougeâtre à noir, structure alvéolée, inclusions: matériau minéral blanchâtre, présence terre rubéfiée en surface, présence rainures (l=1.1cm)	antiquité	29	0	800	4	63

Cergy "ZAC des Linandes II", 3e tranche - Diagnostic SDAVO 2011

Matériau	N° St.	Description matériau	Datation	NR	NMI	Poids	Boîte n°	Sac n°
métal	26	-30/-40, scories, dimensions: 7.5/5.5(400g), 5.6/3.6(102g), couleur: gris vert/gris rougeâtre à noir, structure alvéolée, inclusions: matériau minéral blanchâtre, 22 ont terre rubéfiée en surface, présence rainures (l=0.6 à 0.9 cm)	antiquité	73	0	940	4	62
métal	26	-20/-30, scories, dimensions: 10.3/8.2(797g), 8.1/5.9(352g), 8.7/5.6(333g), couleur: gris vert/gris rougeâtre à noir, structure alvéolée, une est partiellement vitrifiée, inclusions: matériau minéral blanchâtre, 15 ont terre rubéfiée en surface, présence rainures (l=0.6 à 0.8 cm)	antiquité	112	0	1330	4	61
métal	26	-10/-20, scories, dimensions: 8.6/5.1(137g), couleur: gris vert/gris rougeâtre à noir, structure alvéolée, sauf une très dense, inclusions: matériau minéral blanchâtre, présence rainures (l=0.6 à 0.8 cm)	antiquité	89	0	860	4	60
métal	26	0/-10, 4 clous (dont 1 riveté à tête carré, et clous de menuiserie), 5 tiges, 1 plaquette, 1 tas ou 1 coin	antiquité	11	0	86	5	70
métal	31	Indéterminé	antiquité	1	0	3	5	80
métal	34	0/-20, scorie, dimensions: 3.5/2.8/1.6, couleur: gris/noir, structure non visible, pas d'inclusions visibles, pas de terre rubéfiée, pas de rainures	protohistoire	1	0	18	4	67
métal	35	7 tiges (dont clous tête homme), 2 plaquettes, 1 boulon carré	contemporain	11	0	74	5	78
métal	39	Sondage 3, scorie, dimensions: 3.1/2.6/1.9, couleur: gris/noir, couleur: gris/noir, structure alvéolée, elle est partiellement vitrifiée, pas d'inclusions visibles, pas de terre rubéfiée, pas de rainures	indéterminé	1	0	8	4	69
métal	39	1 gond de porte	contemporain	1	0	121	5	79
métal	39	Sondage 3, 5 tiges, 1 plaquette	contemporain	6	0	13	5	84
métal	44	Tige de clou	antiquité	1	0	5	5	82
métal	45	Scorie, dimensions: 4.9/4.6/2.5(65g), couleur: gris/noir, structure non visible, pas d'inclusions visibles, pas de terre rubéfiée, pas de rainures	antiquité	1	0	65	4	68
métal	47	-40/-60 cm, fragment indéterminé (fil de fer)	protohistoire	1	0	0.3	30	3
TCA	26	-10/-20, indéterminé	antiquité	1	0	127	6	110
TCA	26	-20/-30, tegula	antiquité	1	0	484	6	108
TCA	26	-50/-60, 1 tegula, 2 indéterminés	antiquité	3	0	177	6	109

Cergy "ZAC des Linandes II", 3e tranche - Diagnostic SDAVO 2011

Matériau	N° St.	Description matériau	Datation	NR	NMI	Poids	Boîte n°	Sac n°
TCA	26	0/-10, 1 tegula, 1 indéterminé	antiquité	2	0	80	6	111
TCA	53		indéterminé	1	0	6	6	190
torchis	4	-25/-34, 1 fragment de 4 cm sur 5 cm, épaisseur : 2 cm. Pas de largeur de clayonnage. Couleur brun noir. Pas d'inclusions.	protohistoire	2	0	40	27	252
torchis	4	-13/-25 est, 1 fragment de 3 cm sur 1,5, épaisseur : 1 cm. Pas d'empreinte de clayonnage. Couleur variant de l'orangé au noir. Pas d'inclusions.	protohistoire	9	0	45	25	247
torchis	4	-86/-117, 1 fragment de 9,5 cm sur 5,5 cm, épaisseur : 3,5 cm, 1 fragment de 7 cm sur 4 cm, épaisseur : 2 cm, 1 fragment de 3,5 cm sur 4 cm, épaisseur : 1 cm, largeur clayonnage : 1 cm, 1,5 cm. Couleur : orangée, rose, brune foncée (moins cuit). Inclusions rares et fines.	protohistoire	170	0	3900	27	243
torchis	4	-34/-55 est, 1 fragment de 5,5 cm sur 5 cm, épaisseur : 2 cm. 1 fragment de 4,5 cm sur 3,5 cm, épaisseur : 2 cm. Largeur clayonnage : 1,5 cm. Couleur variant du brun orangé au noir (cuit). Rares inclusions fines.	protohistoire	36	0	839	27	249
torchis	4	-117/-139, 1 fragment de 8 cm sur 7 cm, épaisseur : 3 cm, 1 fragment de 6,5 cm sur 4,5 cm, épaisseur : 3 cm, 1 fragment de 5 cm sur 3,5 cm, épaisseur : 3 cm, largeur clayonnage : 1 cm, 1,5 cm. Couleur variant de l'orangé au noir (cuit). Inclusions rares et fines.	protohistoire	210	0	6300	26	241
torchis	4	-55/-86, 1 fragment de 6 cm sur 5 cm, épaisseur : 4 cm, 1 fragment de 5 cm sur 3,5 cm, épaisseur : 3 cm. Largeur clayonnage : 2 cm, 1 cm. Couleur variant de l'orangé au noir (cuit). Inclusions fines.	protohistoire	55	0	923	25	245
torchis	4	-117/-139, 1 fragment de 8 cm sur 7 cm, épaisseur : 3 cm, 1 fragment de 6,5 cm sur 4,5 cm, épaisseur : 3 cm, 1 fragment de 5 cm sur 3,5 cm, épaisseur : 3 cm, largeur clayonnage : 1 cm, 1,5 cm, 2 cm. Couleur variant de l'orangé au noir (cuit). Inclusions rares et fines.	protohistoire	61	0	3550	27	242
torchis	34	-60/-80, 1 fragment de 6 cm sur 5 cm, épaisseur : 2 cm. 1 fragment plat de 5 cm sur 4 cm, épaisseur : 0,5 cm. Largeur clayonnage : 0,5 cm. Couleur orangée. Pas d'inclusions. Mélange de fragments plats et de fragments angulaires.	protohistoire	25	0	537	27	256
torchis	34	0/-20, 1 fragment de 5,5 cm sur 4 cm, épaisseur : 1,5 cm. Largeur clayonnage : 1 cm. Couleur orangée. Pas d'inclusions.	protohistoire	5	0	154	27	253
torchis	34	-40/-60, 1 fragment de 8 cm sur 7 cm, épaisseur : 2,5 cm. 1 fragment de 6 cm sur 4 cm, épaisseur : 1 cm. Largeur clayonnage : 1,5 cm. Couleur variant du rose au noir (cuit). Rares inclusions, fines.	protohistoire	10	0	507	27	250
torchis	34	-80/-100, 1 fragment de 8 cm sur 8 cm, épaisseur : 2 cm. Fragment plat (sole ?). Pas d'empreinte de clayonnage. Couleur : grise sur le plat / orangée ailleurs. Rares inclusions de charbon	protohistoire	1	0	146	27	254

Cergy "ZAC des Linandes II", 3e tranche - Diagnostic SDAVO 2011

Matériau	N° St.	Description matériau	Datation	NR	NMI	Poids	Boîte n°	Sac n°
torchis	34	-20/-40, 1 fragment de 6 cm sur 4 cm, épaisseur : 3 cm. Couleur brune orangée. Pas de trace de clayonnage. Inclusions fines.	protohistoire	3	0	131	25	246
torchis	47	surface, 1 fragment de 5 cm sur 4 cm, épaisseur : 2 cm. Pas de largeur de clayonnage. Couleur orangée. Pas d'inclusions.	protohistoire	3	0	42	27	251
torchis	47	-100/-120, 1 fragment de 8 cm sur 5,5 cm, épaisseur : 6,5 cm. Largeur clayonnage : 0,5 cm. Couleur noire (cuit). Inclusions fines.	protohistoire	1	0	256	27	255
torchis	47	-140/-160, 1 fragment de 14 cm sur 7 cm, épaisseur : 3,5 cm. Largeur clayonnage : 1,5 cm. Couleur : orangée. Inclusions fines.	protohistoire	1	0	366	25	248
torchis	47	-80/-100, 1 fragment de 12 cm sur 6 cm, épaisseur : 4 cm, 1 fragment de 7 cm sur 4 cm, épaisseur : 4 cm. Largeur clayonnage : 4 cm, 2,5 cm, 0,3 cm, 0,3 cm. Couleur variant du gris orangé au noir (cuit). Inclusions fines.	protohistoire	10	0	1600	27	244
torchis	47	-60/-80, 1 fragment 10 cm sur 7 cm, épaisseur 3,5 cm, 1 fragment de 6 cm sur 7 cm, épaisseur 4,5 cm, 1 fragment 7 cm sur 7 cm, épaisseur : 2 cm. Largeur clayonnage : 5cm, 1,5 cm, 0,5 cm. Couleur variant du orangé au noir (cuit). Inclusions fines.	protohistoire	36	0	4300	25	240
torchis	47	-80/-100, 1 fragment 4 cm sur 5 cm, épaisseur : 1,5 cm. Largeur clayonnage : 1,6 cm. 5 perforations transversales d'un diamètre de 0,6 cm. Couleur : brun foncé. Pas d'inclusions.	protohistoire	1	0	26	25	
verre	26	-20/-30, bleu	antiquité	1	0	2	9	91
verre	35	Sondage 1, blanc	contemporain	1	0	2	9	88
verre	39	Surface, vert clair irisé	contemporain	1	0	37	9	90
verre	39	Sondage 3, vert clair irisé	contemporain	1	0	16	9	89

Inventaire du mobilier (ecofacts)

Matériau	N° St.	Description matériau	Datation	NR	NMI	Poids	Boîte n°	Sac n°
charbon	34	-100/-120, fragments de charbon entiers	protohistoire	6	0	28	28	257
os		Fenêtre sud, 2 épiphyses	indéterminé	9	0	27	8	180
os	4	-117/-139, 1 diaphyse	protohistoire	1	0	1	8	164
os	4	Surface, 2 diaphyses, 2 crânes	protohistoire	15	0	11	8	169
os	4	-25/-34 (est), diaphyse	protohistoire	12	0	2	8	161
os	4	86/-117, 1 diaphyse brûlée	protohistoire	3	0	4	8	163
os	4	-55/-86, 1 diaphyse brûlée	protohistoire	2	0	2	8	162
os	9	Surface, 1 côte brûlée	indéterminé	1	0	1	8	173
os	16	F 16-41, 1 épiphyse	antiquité	2	0	59	8	174
os	19	0/-10, épiphyse	antiquité	1	0	2	8	182
os	23	0/-20, esquilles	indéterminé	2	0	1	8	175
os	26	-40/-50, 4 crânes	antiquité	6	0	23	8	178
os	26	-50/-60, 1 diaphyse	antiquité	2	0	109	8	179
os	26	-20/-30, 1 crâne	antiquité	3	0	1	8	177
os	31	Surface,	antiquité	5	0	3	8	176
os	33	US5, 3 côtes	protohistoire	5	0	14	8	154
os	33	US3, 2 crânes, 1 scapula, 1 côte, 1 diaphyse	protohistoire	10	0	60	8	152
os	33	US4, 6 côtes, 2 crânes	protohistoire	9	0	37	8	153

Cergy "ZAC des Linandes II", 3e tranche - Diagnostic SDAVO 2011

Matériau	N° St.	Description matériau	Datation	NR	NMI	Poids	Boîte n°	Sac n°
os	34	US1&2, 14 crânes, 15 côtes, 6 scapula, 2 épiphyses, 9 diaphyses dont 2 brûlées	protohistoire	116	0	325	8	151
os	34	-80/-100, 6 crânes, 2 os longs complets, 13 côtes dont 1 brûlée, 20 diaphyses dont 1 brûlée et une découpée, 3 épiphyses dont 1 découpée	protohistoire	65	0	682	8	148
os	34	-120/-140, 2 crânes, 6 côtes, 2 épiphyses, 4 diaphyses	protohistoire	17	0	171	8	150
os	34	-100/-120, couche cendreuse, 9 crânes, 8 os complets de membre, 18 côtes, 6 diaphyses dont 2 brûlées, 4 épiphyses, 11 vertèbres dont 1 partiellement brûlée, 2 scapula dont 1 de microfaune	protohistoire	100	0	558	8	149
os	34	0/-20, 5 crânes, 3 scapula, 5 côtes, 1 épiphyse	protohistoire	30	0	154	8	144
os	34	-40/-60, 10 crâne, 5 côtes, 3 diaphyses	protohistoire	37	0	193	8	146
os	34	-20/-40, 8 côtes dont 1 brûlée, 1 scapula, 2 diaphyses, 3 épiphyses dont 1 brûlée	protohistoire	18	0	48	8	145
os	34	-60/-80, 16 côtes, 4 crânes, 5 diaphyses, 4 épiphyses dont 1 brûlée, 2 os complets de membre, 2 vertèbres	protohistoire	42	0	214	8	147
os	46	-20/-40,	protohistoire	1	0	1	8	168
os	46	-80/-100, 1 épiphyses, 3 diaphyses	protohistoire	4	0	19	8	169
os	46	-100/-120, 1 côte, 1 crâne	protohistoire	2	0	5	8	170
os	46	-120/-140, 1 diaphyse	protohistoire	1	0	2	8	171
os	46	-140/-160, 3 crânes, 1 épiphyse, 2 diaphyses	protohistoire	10	0	43	8	172
os	47	-20/-40, 1 côtes, 3 diaphyses	protohistoire	6	0	18	8	155
os	47	-40/-60, 3 côtes, 5 diaphyses	protohistoire	12	0	50	8	156
os	47	-60/-80, 1 crâne, 3 diaphyses, 1 épiphyse, 1 indéterminé brûlé	protohistoire	12	0	34	8	157
os	47	-160/-180	protohistoire	2	0	1	8	158

Cergy "ZAC des Linandes II", 3e tranche - Diagnostic SDAVO 2011

Matériau	N° St.	Description matériau	Datation	NR	NMI	Poids	Boîte n°	Sac n°
os	47	-180/-200, 3 scapula	protohistoire	3	0	2	8	159
os	52	0/-20, 5 crânes, 6 diaphyses, 1 côte	protohistoire	26	0	31	8	165
os	52	-20/-40, 1 crâne, 4 diaphyses	protohistoire	20	0	11	8	166
os	52	-40/-60, 1 crâne, 6 diaphyses dont 1 brûlée, 1 épiphyse, 1 indéterminé brûlé	protohistoire	11	0	67	8	167
os	55	Equilles	protohistoire	2	0	1	8	181

Annexe 7

Inventaire des photographies

Nom du fichier	N° structure	Description	Auteur	Publi-able	Emplacement
ARC11N11424-1		Vue de la base vie	JGP	non	dossier 05-09-11
ARC11N11424-2		Vue de la base vie	JGP	non	dossier 05-09-11
ARC11N11424-3		Vue de la base vie	JGP	non	dossier 05-09-11
ARC11N11424-4		Début du décapage	JGP	non	dossier 05-09-11
ARC11N11424-5		Vue générale du site	JGP	non	dossier 05-09-11
ARC11N11424-6		Vue du champs avant décapage	JGP	non	dossier 05-09-11
ARC11N11424-7		Vue du champs avant décapage	JGP	non	dossier 05-09-11
ARC11N11424-8		Vue du champs avant décapage	JGP	non	dossier 05-09-11
ARC11N11424-9		Vue du champs avant décapage	JGP	non	dossier 05-09-11
ARC11N11424-10	T1 F4	Vue oblique de la structure	BB	non	dossier 06-09-11
ARC11N11424-11	T1 F4	Vue oblique de la structure	BB	non	dossier 06-09-11
ARC11N11424-12	T1 F4	Vue oblique de la structure	BB	non	dossier 06-09-11
ARC11N11424-13	T1 F4	Vue oblique de la structure	BB	non	dossier 06-09-11
ARC11N11424-14	T1 F4	Vue oblique de la structure	BB	non	dossier 06-09-11
ARC11N11424-15	T1 F4	Vue oblique de la structure	BB	non	dossier 06-09-11
ARC11N11424-16	T2 Log1	Coupe	AL	non	dossier 06-09-11
ARC11N11424-17	T2 Log1	Coupe	AL	non	dossier 06-09-11
ARC11N11424-18	T2 Log1	Coupe	AL	non	dossier 06-09-11
ARC11N11424-19	T2 Log1	Coupe	AL	non	dossier 06-09-11
ARC11N11424-20	T2 Log1	Coupe	AL	non	dossier 06-09-11
ARC11N11424-21	T2 Log1	Coupe	AL	non	dossier 06-09-11
ARC11N11424-22	T2 V1	Coupe	JGP	non	dossier 06-09-11
ARC11N11424-23	T2 V1	Coupe	JGP	non	dossier 06-09-11
ARC11N11424-24	T2 V1	Coupe	JGP	non	dossier 06-09-11
ARC11N11424-25		Taggs sur la base de vie	JGP	non	dossier 06-09-11\ taggs
ARC11N11424-26		Taggs sur la base de vie	JGP	non	dossier 06-09-11\ taggs
ARC11N11424-27	T1 F4	Vue oblique de la structure	BB	non	dossier 07-09-11
ARC11N11424-28	T1 F4	Vue oblique de la structure	BB	non	dossier 07-09-11
ARC11N11424-29	T1 F4	Vue oblique de la structure	BB	non	dossier 07-09-11
ARC11N11424-30	T1 F4	Vue verticale de la structure	BB	non	dossier 07-09-11
ARC11N11424-31	T1 F4 P1	Vue verticale de la structure	BB	non	dossier 07-09-11
ARC11N11424-32	T1 F4 P1	Vue verticale de la structure	BB	non	dossier 07-09-11
ARC11N11424-33	T1 F4 P1	Vue verticale de la structure	BB	non	dossier 07-09-11
ARC11N11424-34	T1 F4 P1	Vue verticale de la structure	BB	non	dossier 07-09-11
ARC11N11424-35	T2 V1	Vue oblique de la structure	AL	non	dossier 07-09-11
ARC11N11424-36	T2 V1	Vue oblique de la structure	AL	non	dossier 07-09-11
ARC11N11424-37	T2 V1	Vue oblique de la structure	AL	non	dossier 07-09-11
ARC11N11424-38		Taggs sur la base de vie	JGP	non	dossier 07-09-11
ARC11N11424-39	T4 Log2	Coupe	AL	non	dossier 08-09-11
ARC11N11424-40	T4 Log2	Coupe	AL	non	dossier 08-09-11
ARC11N11424-41	T4 Log2	Coupe	AL	non	dossier 08-09-11
ARC11N11424-42	T5 Fo16	Vue oblique de la structure	AL	non	dossier 09-09-11
ARC11N11424-43	T5 Fo16	Vue oblique de la structure	AL	non	dossier 09-09-11
ARC11N11424-44	T5 F19	Vue oblique de la structure, surface de décapage	AL	non	dossier 12-09-11
ARC11N11424-45	T5 F19	Coupe	AL	non	dossier 12-09-11
ARC11N11424-46	T5 Fo16	Coupe	AL	non	dossier 12-09-11
ARC11N11424-47	T5 Fo16	Coupe	AL	non	dossier 12-09-11
ARC11N11424-48	T5 Fo16	Coupe	AL	non	dossier 12-09-11
ARC11N11424-49	T6 St 26	Vue oblique de la structure	AL	non	dossier 12-09-11
ARC11N11424-50	T6 St 26	Vue oblique de la structure	AL	non	dossier 12-09-11
ARC11N11424-51	T6 St 26	Vue oblique de la structure	AL	non	dossier 12-09-11
ARC11N11424-52	T6 St 26	Vue oblique de la structure	AL	non	dossier 12-09-11
ARC11N11424-53	T6 St 26	Vue oblique de la structure	AL	non	dossier 12-09-11
ARC11N11424-54	T6 St 26	Vue oblique de la structure	AL	non	dossier 12-09-11
ARC11N11424-55	T6 St 26	Vue oblique de la structure	AL	non	dossier 12-09-11
ARC11N11424-56	T6 St 26	Vue oblique de la structure	AL	non	dossier 12-09-11
ARC11N11424-57	T6 St 26	Vue oblique de la structure	AL	non	dossier 12-09-11
ARC11N11424-58	T6 St 26	Vue oblique de la structure	AL	non	dossier 12-09-11
ARC11N11424-59	T6 St 26	Vue oblique de la structure	AL	non	dossier 12-09-11
ARC11N11424-60	T6 St 26	Vue oblique de la structure	AL	non	dossier 12-09-11
ARC11N11424-61	T5 Fo16 S2	Coupe	JGP	non	dossier 13-09-11
ARC11N11424-62	T5 Fo16 S2	Coupe	JGP	non	dossier 13-09-11
ARC11N11424-63	T5 Fo16 S2	Coupe	JGP	non	dossier 13-09-11
ARC11N11424-64	T1 F4	Coupe	BB	oui	dossier 13-09-11
ARC11N11424-65	T1 F4	Coupe	BB	oui	dossier 13-09-11

Nom du fichier	N° structure	Description	Auteur	Publi-able	Emplacement
ARC11N11424-66	T1 F4	Coupe	BB	oui	dossier 13-09-11
ARC11N11424-67	T1 F4	Coupe	BB	oui	dossier 13-09-11
ARC11N11424-68	T1 F4	Coupe	BB	oui	dossier 13-09-11
ARC11N11424-69	T1 F4	Coupe	BB	oui	dossier 13-09-11
ARC11N11424-70	T1 F4	Coupe	BB	oui	dossier 13-09-11
ARC11N11424-71	T8 Log3	Coupe	AL	non	dossier 13-09-11
ARC11N11424-72	T8 Log3	Coupe	AL	non	dossier 13-09-11
ARC11N11424-73	T9	Vue oblique de la structure, surface de décapage, érodée	JGP	non	dossier 13-09-11
ARC11N11424-74	T9	Vue oblique de la structure, surface de décapage, érodée	JGP	non	dossier 13-09-11
ARC11N11424-75	T9	Vue oblique de la structure, surface de décapage, érodée	JGP	non	dossier 13-09-11
ARC11N11424-76	T9	Vue oblique de la structure, surface de décapage, érodée	JGP	non	dossier 13-09-11
ARC11N11424-77	T9	Vue oblique de la structure, surface de décapage, érodée	JGP	non	dossier 13-09-11
ARC11N11424-78	T9 F33	Vue oblique de la structure, surface de décapage	AL	non	dossier 13-09-11
ARC11N11424-79	T9 F33	Vue oblique de la structure, surface de décapage	AL	non	dossier 13-09-11
ARC11N11424-80	T9 F33	Vue oblique de la structure, surface de décapage	AL	non	dossier 13-09-11
ARC11N11424-81	T9 St 34	Vue oblique de la structure, surface de décapage	AL	oui	dossier 13-09-11
ARC11N11424-82	T9 St 34	Vue oblique de la structure, surface de décapage	AL	oui	dossier 13-09-11
ARC11N11424-83	T9 St 34	Vue oblique de la structure, surface de décapage	AL	oui	dossier 13-09-11
ARC11N11424-84	T9 St 34	Vue oblique de la structure, surface de décapage	AL	oui	dossier 13-09-11
ARC11N11424-85	T9 St 34	Vue oblique de la structure, surface de décapage	AL	oui	dossier 13-09-11
ARC11N11424-86	T10 Log4	Coupe	JGP	non	dossier 13-09-11
ARC11N11424-87	T10 Log4	Coupe	JGP	non	dossier 13-09-11
ARC11N11424-88	Tranchées	Vue oblique des tranchées	JGP	non	dossier 13-09-11
ARC11N11424-89	Tranchées	Vue oblique des tranchées	JGP	non	dossier 13-09-11
ARC11N11424-90	Tranchées	Vue oblique des tranchées	JGP	non	dossier 13-09-11
ARC11N11424-91	Tranchées	Vue oblique des tranchées	JGP	non	dossier 13-09-11
ARC11N11424-92	Tranchées	Vue oblique des tranchées	JGP	non	dossier 13-09-11
ARC11N11424-93	T1 F4	Vue oblique de la coupe	BB	oui	dossier 14-09-11
ARC11N11424-94	T1 F4	Vue oblique de la coupe	BB	oui	dossier 14-09-11
ARC11N11424-95	T1 F4	Vue oblique de la coupe	BB	oui	dossier 14-09-11
ARC11N11424-96	T1 F4	Coupe, fond de la structure	BB	oui	dossier 14-09-11
ARC11N11424-97	T1 F4	Vue oblique du fond de la coupe, avec meule	BB	non	dossier 14-09-11
ARC11N11424-98	T1 F4	Vue oblique du fond de la coupe, avec meule	BB	non	dossier 14-09-11
ARC11N11424-99	T1 F4	Vue oblique de la paroi de la coupe	BB	oui	dossier 14-09-11
ARC11N11424-100	T1 F4	Vue oblique de la paroi de la coupe	BB	non	dossier 14-09-11
ARC11N11424-101	T1 F4	Vue oblique de la paroi de la coupe	BB	non	dossier 14-09-11
ARC11N11424-102	T1 F4	Vue oblique de la paroi de la coupe	BB	non	dossier 14-09-11
ARC11N11424-103		Paysage d'aurore aux Linandes	JGP	non	dossier 15-09-11
ARC11N11424-104		Paysage d'aurore aux Linandes	JGP	non	dossier 15-09-11
ARC11N11424-105	T5 Fo16	Coupe	AL	non	dossier 15-09-11
ARC11N11424-106	T5 Fo16	Coupe	AL	non	dossier 15-09-11
ARC11N11424-107	T5 Fo41	Coupe	AL	non	dossier 15-09-11
ARC11N11424-108	T5 Fo41	Coupe	AL	non	dossier 15-09-11
ARC11N11424-109	T6 M24	Vue oblique	BB	non	dossier 15-09-11
ARC11N11424-110	T6 M24	Vue oblique	BB	non	dossier 15-09-11
ARC11N11424-111	T6 M24	Vue oblique	BB	non	dossier 15-09-11
ARC11N11424-112	T14 Log5	Vue oblique de la coupe	JGP	non	dossier 15-09-11
ARC11N11424-113	T14 Log5	Vue oblique de la coupe	JGP	non	dossier 15-09-11
ARC11N11424-114	T14 Log5	Vue oblique du fond de la structure	JGP	non	dossier 15-09-11
ARC11N11424-115		Paysage, vue de la centrale d'électricité	JGP	non	dossier 16-09-11
ARC11N11424-116		Paysage, pelle et délais de terre	JGP	non	dossier 16-09-11
ARC11N11424-117	T10 bis Fo35	Vue oblique de la surface de décapage de la structure	JGP	non	dossier 16-09-11
ARC11N11424-118	T10 bis Fo35	Vue oblique de la surface de décapage de la structure	JGP	non	dossier 16-09-11
ARC11N11424-119	T10 bis Fo35 S1	Coupe	AL	non	dossier 16-09-11
ARC11N11424-120	T10 bis Fo35 S1	Coupe	AL	non	dossier 16-09-11
ARC11N11424-121	T11 bis Fo35	Vue oblique de la surface de décapage de la structure	AL	non	dossier 16-09-11
ARC11N11424-122	T11 bis Fo35	Vue oblique de la surface de décapage de la structure	AL	non	dossier 16-09-11
ARC11N11424-123	T11 bis Fo35 S2	Coupe	JGP	non	dossier 16-09-11
ARC11N11424-124	T11 bis Fo35 S2	Coupe	JGP	non	dossier 16-09-11
ARC11N11424-125	T12 Fo39	Vue oblique de la surface de décapage de la structure	AL	non	dossier 16-09-11
ARC11N11424-126	T12 bis Fo39 S3	Coupe	AL	non	dossier 16-09-11
ARC11N11424-127	T12 bis Fo39 S3	Coupe	AL	non	dossier 16-09-11
ARC11N11424-128	T12 bis Fo39 S3	Coupe	AL	non	dossier 16-09-11
ARC11N11424-129	T12 bis Fo39 S3	Coupe	AL	non	dossier 16-09-11
ARC11N11424-130	T14 Log5	Coupe	JGP	non	dossier 16-09-11
ARC11N11424-131	T14 Log5	Coupe	JGP	non	dossier 16-09-11

Nom du fichier	N° structure	Description	Auteur	Publi-able	Emplacement
ARC11N11424-132	T10 bis, T11 bis, T12 bis	Vue générale oblique	JGP	oui	dossier 16-09-11
ARC11N11424-133	T10 bis, T11 bis, T12 bis	Vue générale oblique	JGP	oui	dossier 16-09-11
ARC11N11424-134	T10 bis, T11 bis, T12 bis	Vue générale oblique	JGP	oui	dossier 16-09-11
ARC11N11424-135	T10 bis, T11 bis, T12 bis	Vue générale oblique	JGP	oui	dossier 16-09-11
ARC11N11424-136	T10 bis, T11 bis, T12 bis	Vue générale oblique	JGP	oui	dossier 16-09-11
ARC11N11424-137	T10 bis, T11 bis, T12 bis	Vue générale oblique	JGP	oui	dossier 16-09-11
ARC11N11424-138	T10 bis, T11 bis, T12 bis	Vue générale oblique	JGP	oui	dossier 16-09-11
ARC11N11424-139	T10 bis, T11 bis, T12 bis	Vue générale oblique	JGP	oui	dossier 16-09-11
ARC11N11424-140	T10 bis, T11 bis, T12 bis	Vue générale oblique	JGP	oui	dossier 16-09-11
ARC11N11424-141		Tri de la terre de la pelle	JGP	oui	dossier 19-09-11
ARC11N11424-142		Tri de la terre de la pelle	JGP	non	dossier 19-09-11
ARC11N11424-143	T6 St26	Sondage en cours, vue oblique de la surface de décapage de la structure	JGP	non	dossier 19-09-11
ARC11N11424-144	T6 St26	Sondage en cours, vue oblique de la surface de décapage de la structure	JGP	non	dossier 19-09-11
ARC11N11424-145	T6 St26	Sondage en cours, vue oblique de la surface de décapage de la structure	JGP	non	dossier 19-09-11
ARC11N11424-146	T6 St26	Sondage en cours, vue oblique de la surface de décapage de la structure	JGP	non	dossier 19-09-11
ARC11N11424-147		Ambiance de travail	JGP	oui	dossier 20-09-11
ARC11N11424-148		Ambiance de travail	JGP	oui	dossier 20-09-11
ARC11N11424-149		Paysage, aurore	JGP	non	dossier 20-09-11
ARC11N11424-150		Relevé de Benjamin et d' Anaïs	JGP	oui	dossier 20-09-11
ARC11N11424-151		Relevé de Benjamin	JGP	oui	dossier 20-09-11
ARC11N11424-152		Pelle	JGP	non	dossier 20-09-11
ARC11N11424-153	T1 F46	Vue oblique de la surface de décapage de la structure	AL	non	dossier 20-09-11
ARC11N11424-154	T1 F46	Vue oblique de la surface de décapage de la structure	AL	non	dossier 20-09-11
ARC11N11424-155	T6 St26	Coupe	JGP	non	dossier 20-09-11
ARC11N11424-156	T6 St26	Coupe	JGP	non	dossier 20-09-11
ARC11N11424-157	T6 St26	Coupe	JGP	non	dossier 20-09-11
ARC11N11424-158	T6 St26	Coupe	JGP	non	dossier 20-09-11
ARC11N11424-159	T6 St26	Coupe	JGP	non	dossier 20-09-11
ARC11N11424-160	T6 St26	Vue oblique de la coupe	JGP	oui	dossier 20-09-11
ARC11N11424-161	T6 St26	Vue oblique de la coupe	JGP	oui	dossier 20-09-11
ARC11N11424-162	T6 St26	Vue oblique de la coupe	JGP	oui	dossier 20-09-11
ARC11N11424-163	T1 F47	Vue oblique de la surface de décapage de la structure	AL	non	dossier 21-09-11
ARC11N11424-164	T1 F47	Vue oblique de la surface de décapage de la structure	AL	non	dossier 21-09-11
ARC11N11424-165	T1 F47	Vue oblique de la surface de décapage de la structure	AL	non	dossier 21-09-11
ARC11N11424-166	T9 F50	Vue oblique de la surface de décapage de la structure	AL	non	dossier 21-09-11
ARC11N11424-167	T9 F50	Vue oblique de la surface de décapage de la structure	AL	non	dossier 21-09-11
ARC11N11424-168	T9 F50	Vue oblique de la surface de décapage de la structure	AL	non	dossier 21-09-11
ARC11N11424-169	T9 F51	Vue oblique de la surface de décapage de la structure	BB	non	dossier 21-09-11
ARC11N11424-170	T9 F51	Vue oblique de la surface de décapage de la structure	BB	non	dossier 21-09-11
ARC11N11424-171	T9 F51	Vue oblique de la surface de décapage de la structure	BB	non	dossier 21-09-11
ARC11N11424-172	T9 F52	Vue oblique de la surface de décapage de la structure	AL	non	dossier 21-09-11
ARC11N11424-173	T9 F52	Vue oblique de la surface de décapage de la structure	AL	non	dossier 21-09-11
ARC11N11424-174	T9 F52	Vue oblique de la surface de décapage de la structure	AL	non	dossier 21-09-11
ARC11N11424-175	T1 F46	Vue oblique de la coupe	AL	oui	dossier 22-09-11
ARC11N11424-176	T1 F46	Vue oblique de la coupe	AL	oui	dossier 22-09-11
ARC11N11424-177	T1 F46	Vue oblique de la coupe	AL	oui	dossier 22-09-11
ARC11N11424-178	T1 F46	Vue oblique la surface de décapage de la structure	AL	non	dossier 22-09-11
ARC11N11424-179	T1 F46	Vue oblique la surface de décapage de la structure	AL	non	dossier 22-09-11
ARC11N11424-180	T1 F46	Vue oblique la surface de décapage de la structure	AL	non	dossier 22-09-11
ARC11N11424-181	T5 F19	Vue oblique la surface de décapage de la structure	AL	non	dossier 22-09-11
ARC11N11424-182	T5 F19	Vue oblique la surface de décapage de la structure	AL	non	dossier 22-09-11
ARC11N11424-183	T5 F19	Vue oblique la surface de décapage de la structure	AL	non	dossier 22-09-11
ARC11N11424-184	T5 F19	Coupe	AL	non	dossier 22-09-11
ARC11N11424-185	T5 F19	Coupe	AL	non	dossier 22-09-11

Nom du fichier	N° structure	Description	Auteur	Publi-able	Emplacement
ARC11N11424-186	T5 F19	Coupe	AL	non	dossier 22-09-11
ARC11N11424-187	T5 F19	Coupe	AL	non	dossier 22-09-11
ARC11N11424-188	T5 F19	Coupe	AL	non	dossier 22-09-11
ARC11N11424-189	T5 F19	Coupe	AL	non	dossier 22-09-11
ARC11N11424-190	T5 F19	Coupe	AL	non	dossier 22-09-11
ARC11N11424-191	T5 F19	Coupe	AL	non	dossier 22-09-11
ARC11N11424-192	T5 F19	Coupe	AL	non	dossier 22-09-11
ARC11N11424-193	T5 F19	Coupe	AL	non	dossier 22-09-11
ARC11N11424-194	T5 F19	Coupe	AL	non	dossier 22-09-11
ARC11N11424-195	T5 F19	Coupe	AL	non	dossier 22-09-11
ARC11N11424-196	T5 F19	Coupe	AL	oui	dossier 22-09-11
ARC11N11424-197	T5 F19	Coupe	AL	oui	dossier 22-09-11
ARC11N11424-198		Vue générale du site après décapage	JGP	oui	dossier 23-09-11
ARC11N11424-199		Vue générale du site après décapage	JGP	oui	dossier 23-09-11
ARC11N11424-200		Vue oblique de dessus de structures sécurisées	JGP	oui	dossier 23-09-11
ARC11N11424-201		Vue oblique de dessus de structures sécurisées	JGP	oui	dossier 23-09-11
ARC11N11424-202	T1 F47	Vue oblique de la coupe	BB	oui	dossier 23-09-11
ARC11N11424-203	T1 F47	Vue oblique de la coupe	BB	oui	dossier 23-09-11
ARC11N11424-204	T1 F47	Vue oblique de la coupe	BB	oui	dossier 23-09-11
ARC11N11424-205	T1 F47	Vue oblique de la coupe	BB	oui	dossier 23-09-11
ARC11N11424-206	T1 F47	Vue oblique de la coupe	BB	oui	dossier 23-09-11
ARC11N11424-207	T1 F46	Vue oblique de la coupe	JGP	non	dossier 26-09-11
ARC11N11424-208	T1 F46	Vue oblique de la coupe	JGP	non	dossier 26-09-11
ARC11N11424-209	T1 F47	Vue oblique de la coupe	JGP	oui	dossier 26-09-11
ARC11N11424-210	T1 F47	Vue oblique de la coupe	JGP	oui	dossier 26-09-11
ARC11N11424-211	T4 F53	Vue oblique la surface de décapage de la structure	JGP	non	dossier 26-09-11
ARC11N11424-212	T4 F53	Vue oblique la surface de décapage de la structure	JGP	non	dossier 26-09-11
ARC11N11424-213	T4 F53	Vue oblique la surface de décapage de la structure	JGP	non	dossier 26-09-11
ARC11N11424-214	T4 F53	Vue oblique la surface de décapage de la structure	JGP	non	dossier 26-09-11
ARC11N11424-215	T3 F11	Vue oblique la surface de décapage de la structure	BB	non	dossier 27-09-11
ARC11N11424-216	T3 F11	Vue oblique la surface de décapage de la structure	BB	non	dossier 27-09-11
ARC11N11424-217	T3 F11	Vue oblique la surface de décapage de la structure	BB	non	dossier 27-09-11
ARC11N11424-218	T3 F11	Vue oblique la surface de décapage de la structure	BB	non	dossier 27-09-11
ARC11N11424-219	T12 Fo38	Vue oblique la surface de décapage de la structure	JGP	non	dossier 27-09-11
ARC11N11424-220	T12 Fo38	Vue oblique la surface de décapage de la structure	JGP	non	dossier 27-09-11
ARC11N11424-221	T12 Fo38	Vue oblique la surface de décapage de la structure	JGP	non	dossier 27-09-11
ARC11N11424-222	T12 Fo38 S1	Vue oblique la structure	JGP	non	dossier 27-09-11
ARC11N11424-223	T12 Fo38 S1	Vue oblique la structure	JGP	non	dossier 27-09-11
ARC11N11424-224	T12 Fo38 S1	Vue oblique la structure	JGP	non	dossier 27-09-11
ARC11N11424-225	T12 Fo54	Vue oblique la surface de décapage de la structure	JGP	non	dossier 27-09-11
ARC11N11424-226	T12 Fo54	Vue oblique la surface de décapage de la structure	JGP	non	dossier 27-09-11
ARC11N11424-227	T12 Fo54	Vue oblique la surface de décapage de la structure	JGP	non	dossier 27-09-11
ARC11N11424-228	T12 Fo54	Vue oblique la surface de décapage de la structure	JGP	non	dossier 27-09-11
ARC11N11424-229	T17 Fo42	Vue oblique la surface de décapage de la structure	JGP	non	dossier 27-09-11
ARC11N11424-230	T17 Fo42	Vue oblique la surface de décapage de la structure	JGP	non	dossier 27-09-11
ARC11N11424-231	T17 Fo42	Vue oblique la surface de décapage de la structure	JGP	non	dossier 27-09-11
ARC11N11424-232	T17 Fo42	Vue oblique la surface de décapage de la structure	JGP	non	dossier 27-09-11
ARC11N11424-233	T17 Fo42	Vue verticale de la surface de décapage de la structure	JGP	non	dossier 27-09-11
ARC11N11424-234	T3 F11	Vue oblique de la structure	BB	non	dossier 28-09-11
ARC11N11424-235	T3 F11	Vue oblique de la structure	BB	non	dossier 28-09-11
ARC11N11424-236	T3 F11	Vue oblique de la structure	BB	non	dossier 28-09-11
ARC11N11424-237	T12 Fo37	Vue oblique la surface de décapage de la structure	JGP	non	dossier 28-09-11
ARC11N11424-238	T12 Fo37	Vue oblique la surface de décapage de la structure	JGP	non	dossier 28-09-11
ARC11N11424-239	T3 Fo12	Vue oblique la surface de décapage de la structure	BB	non	dossier 29-09-11
ARC11N11424-240	T3 Fo12	Vue oblique la surface de décapage de la structure	BB	non	dossier 29-09-11
ARC11N11424-241	T3 Fo12	Vue oblique la surface de décapage de la structure	BB	non	dossier 29-09-11
ARC11N11424-242	T3 Fo12	Vue oblique la surface de décapage de la structure	BB	non	dossier 29-09-11
ARC11N11424-243	T3 Fo12	Vue oblique la surface de décapage de la structure	BB	non	dossier 29-09-11
ARC11N11424-244	T3 Fo12	Vue oblique la surface de décapage de la structure	BB	non	dossier 29-09-11
ARC11N11424-245	T3 Fo12	Vue oblique la surface de décapage de la structure	BB	non	dossier 29-09-11
ARC11N11424-246	T3 F12 S1	Vue oblique de la coupe de la structure	BB	non	dossier 29-09-11
ARC11N11424-247	T3 F12 S2	Vue oblique de la coupe de la structure	BB	non	dossier 29-09-11
ARC11N11424-248	T3 F12 S2	Vue oblique de la coupe de la structure	BB	non	dossier 29-09-11
ARC11N11424-249	T3 F12 S2	Vue oblique de la coupe de la structure	BB	non	dossier 29-09-11
ARC11N11424-250	T3 F12 S2	Vue oblique de la coupe de la structure	BB	non	dossier 29-09-11
ARC11N11424-251	T7 F30	Vue oblique la surface de décapage de la structure	JGP	non	dossier 29-09-11
ARC11N11424-252	T7 F30	Vue oblique la surface de décapage de la structure	JGP	non	dossier 29-09-11

Nom du fichier	N° structure	Description	Auteur	Publi-able	Emplacement
ARC11N11424-253	T7 F30	Vue oblique la surface de décapage de la structure	JGP	non	dossier 29-09-11
ARC11N11424-254	T9 F34	Vue oblique de la coupe de la structure	AL	non	dossier 29-09-11
ARC11N11424-255	T9 F34	Vue oblique de la coupe de la structure	AL	non	dossier 29-09-11
ARC11N11424-256	T9 F34	Vue oblique de la coupe de la structure	AL	non	dossier 29-09-11
ARC11N11424-257	T9 F34	Vue oblique de la coupe de la structure	AL	non	dossier 29-09-11
ARC11N11424-258	T9 F34	Coupe de la structure	AL	non	dossier 29-09-11
ARC11N11424-259	T9 F34	Coupe de la structure	AL	non	dossier 29-09-11
ARC11N11424-260	T9 F34	Coupe de la structure	AL	non	dossier 29-09-11
ARC11N11424-261	T9 F34	Détail de la coupe de la structure	AL	non	dossier 29-09-11
ARC11N11424-262	T9 F34	Parois	AL	non	dossier 29-09-11
ARC11N11424-263	T9 F34	Parois	AL	non	dossier 29-09-11
ARC11N11424-264	T9 F34	Parois	AL	non	dossier 29-09-11
ARC11N11424-265	T9 F34	Parois	AL	non	dossier 29-09-11
ARC11N11424-266	T9 F34	Parois	AL	non	dossier 29-09-11
ARC11N11424-267	T12 Fo37	Coupe de la structure	JGP	non	dossier 29-09-11
ARC11N11424-268	T12 Fo37	Coupe de la structure	JGP	non	dossier 29-09-11
ARC11N11424-269	T3 F9	Vue oblique de la structure	BB	non	dossier 30-09-11
ARC11N11424-270	T3 F9	Vue oblique de la structure	BB	non	dossier 30-09-11
ARC11N11424-271	T3 F9	Vue oblique de la structure	BB	non	dossier 30-09-11
ARC11N11424-272	T3 F9	Vue oblique de la structure	BB	non	dossier 30-09-11
ARC11N11424-273	T3 F9	Vue oblique de la structure	BB	non	dossier 30-09-11
ARC11N11424-274	T5 M18	Vue oblique de la structure	AL	non	dossier 30-09-11
ARC11N11424-275	T5 M18	Vue oblique de la structure	AL	non	dossier 30-09-11
ARC11N11424-276	T7 F30	Vue oblique d'une coupe de la structure	JGP	non	dossier 30-09-11
ARC11N11424-277	T7 F30	Vue oblique d'une coupe de la structure	JGP	non	dossier 30-09-11
ARC11N11424-278	T7 F30	Vue oblique d'une coupe de la structure	JGP	oui	dossier 30-09-11
ARC11N11424-279	T7 F30	Vue verticale	JGP	oui	dossier 30-09-11
ARC11N11424-280	T7 Fo31	Vue oblique de la structure	JGP	non	dossier 30-09-11
ARC11N11424-281	T7 Fo31	Vue oblique de la structure	JGP	non	dossier 30-09-11
ARC11N11424-282	T7 Fo31	Vue oblique de la structure	JGP	non	dossier 30-09-11
ARC11N11424-283	T7 Fo31	Vue oblique de la structure	JGP	non	dossier 30-09-11
ARC11N11424-284	T7 Fo31	Vue oblique de la structure	JGP	non	dossier 30-09-11
ARC11N11424-285	T7 Fo31	Vue oblique de la structure	JGP	non	dossier 30-09-11
ARC11N11424-286	T7 Fo31	Vue oblique de la structure	JGP	non	dossier 30-09-11
ARC11N11424-287	T7 Fo31	Vue oblique de la structure	JGP	non	dossier 30-09-11
ARC11N11424-288	T7 Fo31	Vue oblique de la structure	JGP	non	dossier 30-09-11
ARC11N11424-289	T3 F9	Vue oblique de la structure	BB	non	dossier 03-10-11
ARC11N11424-290	T3 F9	Vue oblique de la structure	BB	non	dossier 03-10-11
ARC11N11424-291	T3 F9	Vue oblique de la structure	BB	non	dossier 03-10-11
ARC11N11424-292	T3 F9	Vue oblique de la structure	BB	oui	dossier 03-10-11
ARC11N11424-293	T3 F9	Vue oblique de la structure	BB	oui	dossier 03-10-11
ARC11N11424-294	T3 F10	Vue oblique de la structure	BB	non	dossier 03-10-11
ARC11N11424-295	T3 F10	Vue oblique de la structure	BB	non	dossier 03-10-11
ARC11N11424-296	T3 F10	Vue oblique de la structure	BB	non	dossier 03-10-11
ARC11N11424-297	T5 Fo17	Vue oblique de la structure	AL	non	dossier 03-10-11
ARC11N11424-298	T5 Fo17	Vue oblique de la structure	AL	non	dossier 03-10-11
ARC11N11424-299	T5 Fo17	Vue oblique de la structure	AL	non	dossier 03-10-11
ARC11N11424-300	T5 Fo17	Vue oblique de la structure	AL	non	dossier 03-10-11
ARC11N11424-301	T5 St18	Vue oblique de la structure	AL	non	dossier 03-10-11
ARC11N11424-302	T5 St18	Vue oblique de la structure	AL	non	dossier 03-10-11
ARC11N11424-303	T5 St18	Coupe	AL	non	dossier 03-10-11
ARC11N11424-304	T5 St18	Coupe	AL	non	dossier 03-10-11
ARC11N11424-305	T5 St18	Coupe	AL	non	dossier 03-10-11
ARC11N11424-306	T5 St18	Coupe	AL	non	dossier 03-10-11
ARC11N11424-307	T5 St18	Coupe	AL	non	dossier 03-10-11
ARC11N11424-308	T5 St18	Échantillon de pierres, vue verticale	AL	non	dossier 03-10-11
ARC11N11424-309	T1 Fo2	Vue oblique de la structure	JGP	non	dossier 04-10-11
ARC11N11424-310	T1 Fo2	Vue oblique de la structure	JGP	non	dossier 04-10-11
ARC11N11424-311	T1 Fo2	Vue oblique de la structure	JGP	non	dossier 04-10-11
ARC11N11424-312	T1 Fo2	Vue oblique de la structure	JGP	non	dossier 04-10-11
ARC11N11424-313	T1	Poche de sable dans la tranchée, vue oblique	JGP	non	dossier 04-10-11
ARC11N11424-314	T1	Poche de sable dans la tranchée, vue oblique	JGP	non	dossier 04-10-11
ARC11N11424-315	T3 F9	Coupe, vue oblique	BB	oui	dossier 04-10-11
ARC11N11424-316	T3 F9	Coupe, vue oblique	BB	oui	dossier 04-10-11
ARC11N11424-317	T3 F9	Coupe, vue oblique	BB	oui	dossier 04-10-11
ARC11N11424-318	T3 F9	Coupe, vue oblique	BB	oui	dossier 04-10-11
ARC11N11424-319	T3 Fo8	Vue oblique la surface de décapage de la structure	BB	oui	dossier 04-10-11

Nom du fichier	N° structure	Description	Auteur	Publi-able	Emplacement
ARC11N11424-320	T3 Fo8	Vue oblique la surface de décapage de la structure	BB	oui	dossier 04-10-11
ARC11N11424-321	T3 Fo8	Vue oblique la surface de décapage de la structure	BB	non	dossier 04-10-11
ARC11N11424-322	T3 Fo8	Vue oblique la surface de décapage de la structure	BB	non	dossier 04-10-11
ARC11N11424-323	T3 Fo8	Coupe, vue oblique	BB	non	dossier 04-10-11
ARC11N11424-324	T3 Fo8	Coupe, vue oblique	BB	non	dossier 04-10-11
ARC11N11424-325	T3 Fo8	Coupe, vue oblique	BB	non	dossier 04-10-11
ARC11N11424-326	T5 Fo20 S1	Coupe, vue oblique	AL	non	dossier 04-10-11
ARC11N11424-327	T5 Fo20 S1	Coupe, vue oblique	AL	non	dossier 04-10-11
ARC11N11424-328	T5 Fo20 S1	Coupe, vue oblique	AL	non	dossier 04-10-11
ARC11N11424-329	T5 TP15	Trou de poteau, vue verticale	AL	non	dossier 04-10-11
ARC11N11424-330	T5 TP15	Trou de poteau, vue verticale	AL	non	dossier 04-10-11
ARC11N11424-331	T5 TP15	Trou de poteau, coupe, vue oblique	AL	non	dossier 04-10-11
ARC11N11424-332	T5 TP15	Trou de poteau, coupe, vue oblique	AL	non	dossier 04-10-11
ARC11N11424-333	T5 TP15	Trou de poteau, coupe, vue oblique	AL	non	dossier 04-10-11
ARC11N11424-334	T5 TP15	Trou de poteau, coupe, vue oblique	AL	non	dossier 04-10-11
ARC11N11424-335	T7 Fo31 S1	Coupe de la structure, vue oblique	JGP	non	dossier 04-10-11
ARC11N11424-336	T7 Fo31 S1	Coupe de la structure, vue oblique	JGP	non	dossier 04-10-11
ARC11N11424-337	T7 Fo31 S1	Coupe de la structure, vue oblique	JGP	non	dossier 04-10-11
ARC11N11424-338	T7 Fo31 S1	Coupe de la structure, vue oblique	JGP	non	dossier 04-10-11
ARC11N11424-339	T7 Fo31 S2	Coupe de la structure, vue oblique	JGP	non	dossier 04-10-11
ARC11N11424-340	T7 Fo31 S2	Coupe de la structure, vue oblique	JGP	non	dossier 04-10-11
ARC11N11424-341	T7 Fo31 S2	Coupe de la structure, vue oblique	JGP	non	dossier 04-10-11
ARC11N11424-342	T7 Fo31 S2	Coupe de la structure, vue oblique	JGP	non	dossier 04-10-11
ARC11N11424-343	T1 Fo3	Vue oblique la surface de décapage de la structure	BB	non	dossier 05-10-11
ARC11N11424-344	T1 Fo3	Vue oblique la surface de décapage de la structure	BB	non	dossier 05-10-11
ARC11N11424-345	T1 Fo3	Vue oblique la surface de décapage de la structure	BB	non	dossier 05-10-11
ARC11N11424-346	T1 Fo3	Vue oblique la surface de décapage de la structure	BB	non	dossier 05-10-11
ARC11N11424-347	T1 Fo3	Coupe de la structure, vue oblique	BB	non	dossier 05-10-11
ARC11N11424-348	T1 Fo3	Coupe de la structure, vue oblique	BB	non	dossier 05-10-11
ARC11N11424-349	T1 Fo3	Coupe de la structure, vue oblique	BB	non	dossier 05-10-11
ARC11N11424-350	T1 Fo3	Coupe de la structure, vue oblique	BB	non	dossier 05-10-11
ARC11N11424-351	T4 Fo13	Vue oblique la surface de décapage de la structure	BB	non	dossier 05-10-11
ARC11N11424-352	T4 Fo13	Vue oblique la surface de décapage de la structure	BB	non	dossier 05-10-11
ARC11N11424-353	T4 Fo13	Vue oblique la surface de décapage de la structure	BB	non	dossier 05-10-11
ARC11N11424-354	T18 St43	Vue oblique de la structure	AL	oui	dossier 05-10-11
ARC11N11424-355	T18 St43	Vue oblique de la structure	AL	oui	dossier 05-10-11
ARC11N11424-356	T18 St44	Vue oblique de la structure	AL	oui	dossier 05-10-11
ARC11N11424-357	T18 St44	Vue oblique de la structure	AL	oui	dossier 05-10-11
ARC11N11424-358	T18 St43, St44	Vue oblique des 2 structures	AL	oui	dossier 05-10-11
ARC11N11424-359	T18 St43, St44	Vue oblique des 2 structures	AL	oui	dossier 05-10-11
ARC11N11424-360	T1 Fo2	Coupe de la structure, vue oblique	JGP	non	dossier 06-10-11
ARC11N11424-361	T1 Fo2	Coupe de la structure, vue oblique	JGP	non	dossier 06-10-11
ARC11N11424-362	T1 Fo2	Coupe de la structure, vue oblique	JGP	non	dossier 06-10-11
ARC11N11424-363	T4 Fo13	Coupe de la structure, vue oblique	BB	non	dossier 06-10-11
ARC11N11424-364	T4 Fo13	Coupe de la structure, vue oblique	BB	non	dossier 06-10-11
ARC11N11424-365	T4 Fo13	Coupe de la structure, vue oblique	BB	non	dossier 06-10-11
ARC11N11424-366	T4 Fo13	Coupe de la structure, vue oblique	BB	non	dossier 06-10-11
ARC11N11424-367	T4 Fo14	Vue oblique la surface de décapage de la structure	JGP	non	dossier 06-10-11
ARC11N11424-368	T4 Fo14	Vue oblique la surface de décapage de la structure	JGP	non	dossier 06-10-11
ARC11N11424-369	T4 Fo14	Vue oblique la surface de décapage de la structure	JGP	non	dossier 06-10-11
ARC11N11424-370	T4 Fo14	Vue oblique la surface de décapage de la structure	JGP	non	dossier 06-10-11
ARC11N11424-371	T4 Fo14	Vue oblique la surface de décapage de la structure	JGP	non	dossier 06-10-11
ARC11N11424-372	T6 Fo22	Vue oblique de la structure	AL	oui	dossier 06-10-11
ARC11N11424-373	T6 Fo22	Vue oblique de la structure	AL	oui	dossier 06-10-11
ARC11N11424-374	T6 Fo22	Coupe de la structure, vue oblique	AL	non	dossier 06-10-11
ARC11N11424-375	T6 Fo22	Coupe de la structure, vue oblique	AL	non	dossier 06-10-11
ARC11N11424-376	T6 Fo27	Vue oblique la surface de décapage de la structure	BB	oui	dossier 06-10-11
ARC11N11424-377	T6 Fo27	Vue oblique la surface de décapage de la structure	BB	oui	dossier 06-10-11
ARC11N11424-378	T6 Fo27	Vue oblique la surface de décapage de la structure	BB	oui	dossier 06-10-11
ARC11N11424-379	T6 Fo27	Vue oblique la surface de décapage de la structure	BB	oui	dossier 06-10-11
ARC11N11424-380	T6 Fo27	Coupe de la structure, vue oblique	BB	non	dossier 06-10-11
ARC11N11424-381	T6 Fo27	Coupe de la structure, vue oblique	BB	non	dossier 06-10-11
ARC11N11424-382	T6 Fo27	Coupe de la structure, vue oblique	BB	non	dossier 06-10-11
ARC11N11424-383	T18 St43, St44	Détail, vue verticale	AL	non	dossier 06-10-11
ARC11N11424-384	T18 St43, St44	Détail, vue verticale	AL	non	dossier 06-10-11
ARC11N11424-385	T18 St43, St44	Détail, vue verticale	AL	non	dossier 06-10-11
ARC11N11424-386	T18 St43, St44	Détail, vue verticale	AL	non	dossier 06-10-11

Nom du fichier	N° structure	Description	Auteur	Publi-able	Emplacement
ARC11N11424-387	T18 St43, St44	Détail, vue verticale	AL	non	dossier 06-10-11
ARC11N11424-388	T18 St43, St44	Détail, vue verticale	AL	non	dossier 06-10-11
ARC11N11424-389	T18 St43, St44	Détail, vue verticale	AL	non	dossier 06-10-11
ARC11N11424-390	T18 St43, St44	Détail, vue verticale	AL	non	dossier 06-10-11
ARC11N11424-391	T18 St43, St44	Détail, vue verticale	AL	non	dossier 06-10-11
ARC11N11424-392	T18 St43, St44	Détail, vue verticale	AL	non	dossier 06-10-11
ARC11N11424-393	T18 St43, St44	Détail, vue verticale	AL	non	dossier 06-10-11
ARC11N11424-394	T18 St43, St44	Détail, vue verticale	AL	non	dossier 06-10-11
ARC11N11424-395	T18 St43, St44	Détail, vue verticale	AL	non	dossier 06-10-11
ARC11N11424-396	T18 St43, St44	Détail, vue verticale	AL	non	dossier 06-10-11
ARC11N11424-397	T18 St43, St44	Détail, vue verticale	AL	non	dossier 06-10-11
ARC11N11424-398	T18 St43, St44	Détail, vue verticale	AL	non	dossier 06-10-11
ARC11N11424-399	T18 St43, St44	Détail, vue verticale	AL	non	dossier 06-10-11
ARC11N11424-400	T18 St43, St44	Détail, vue verticale	AL	non	dossier 06-10-11
ARC11N11424-401	T18 St43, St44	Détail, vue verticale	AL	non	dossier 06-10-11
ARC11N11424-402	T18 St43, St44	Détail, vue verticale	AL	non	dossier 06-10-11
ARC11N11424-403	T18 St43, St44	Détail, vue verticale	AL	non	dossier 06-10-11
ARC11N11424-404	T18 St43, St44	Détail, vue verticale	AL	non	dossier 06-10-11
ARC11N11424-405	T18 St43, St44	Détail, vue verticale	AL	non	dossier 06-10-11
ARC11N11424-406	T18 St43, St44	Détail, vue verticale	AL	non	dossier 06-10-11
ARC11N11424-407	T18 St43, St44	Détail, vue verticale	AL	non	dossier 06-10-11
ARC11N11424-408	T18 St43, St44	Détail, vue verticale	AL	non	dossier 06-10-11
ARC11N11424-409	T18 St43, St44	Détail, vue verticale	AL	non	dossier 06-10-11
ARC11N11424-410	T18 St43, St44	Détail, vue verticale	AL	non	dossier 06-10-11
ARC11N11424-411	T18 St43, St44	Détail, vue verticale	AL	non	dossier 06-10-11
ARC11N11424-412	T18 St43, St44	Détail, vue verticale	AL	non	dossier 06-10-11
ARC11N11424-413	T18 St43, St44	Détail, vue verticale	AL	non	dossier 06-10-11
ARC11N11424-414	T18 St43, St44	Détail, vue verticale	AL	non	dossier 06-10-11
ARC11N11424-415	T18 St43, St44	Détail, vue verticale	AL	non	dossier 06-10-11
ARC11N11424-416	T4 Fo14	Coupe de la structure, vue oblique	JGP	non	dossier 10-10-11
ARC11N11424-417	T4 Fo14	Coupe de la structure, vue oblique	JGP	non	dossier 10-10-11
ARC11N11424-418	T4 Fo14	Coupe de la structure, vue oblique	JGP	non	dossier 10-10-11
ARC11N11424-419	T6	Poche de sable dans la tranchée, vue oblique	JGP	oui	dossier 10-10-11
ARC11N11424-420	T6	Poche de sable dans la tranchée, vue oblique	JGP	oui	dossier 10-10-11
ARC11N11424-421	T9 F52	Vue verticale de la structure	AL	non	dossier 10-10-11
ARC11N11424-422	T9 F52	Vue verticale de la structure	AL	non	dossier 10-10-11
ARC11N11424-423	T9 F52	Vue oblique de la structure	AL	oui	dossier 10-10-11
ARC11N11424-424	T9 F52	Vue oblique de la structure	AL	oui	dossier 10-10-11
ARC11N11424-425	T9 F55	Vue oblique la surface de décapage de la structure	JGP	non	dossier 10-10-11
ARC11N11424-426	T9 F55	Vue oblique la surface de décapage de la structure	JGP	non	dossier 10-10-11
ARC11N11424-427	T9 F55	Vue oblique la surface de décapage de la structure	JGP	non	dossier 10-10-11
ARC11N11424-428	T9 F55	Vue oblique la surface de décapage de la structure	JGP	non	dossier 10-10-11
ARC11N11424-429	T9	Vue oblique la surface de décapage des structures proto.	JGP	oui	dossier 10-10-11
ARC11N11424-430	T9	Vue oblique la surface de décapage des structures proto.	JGP	oui	dossier 10-10-11
ARC11N11424-431	T9	Vue oblique la surface de décapage des structures proto.	JGP	non	dossier 10-10-11
ARC11N11424-432		Vandalisme	JGP	non	dossier 10-10-11\ Vandalisme
ARC11N11424-433		Vandalisme	JGP	non	dossier 10-10-11\ Vandalisme
ARC11N11424-434		Vandalisme	JGP	non	dossier 10-10-11\ Vandalisme
ARC11N11424-435		Vandalisme	JGP	non	dossier 10-10-11\ Vandalisme
ARC11N11424-436		Vandalisme	JGP	non	dossier 10-10-11\ Vandalisme
ARC11N11424-437	T9 F52	Coupe de la structure, vue oblique	AL	non	dossier 11-10-11
ARC11N11424-438	T9 F52	Coupe de la structure, vue oblique	AL	non	dossier 11-10-11
ARC11N11424-439	T9 F52	Coupe de la structure, vue oblique	AL	non	dossier 11-10-11
ARC11N11424-440	T9 F52	Coupe de la structure, vue oblique	AL	oui	dossier 11-10-11
ARC11N11424-441	T9 F52	Coupe de la structure, vue oblique	AL	oui	dossier 11-10-11
ARC11N11424-442	T9 F52	Coupe de la structure, vue oblique	AL	oui	dossier 11-10-11
ARC11N11424-443	T9 F52	Détail de terre rubéfiée	AL	oui	dossier 11-10-11
ARC11N11424-444	T9 F52	Détail de terre rubéfiée	AL	non	dossier 11-10-11
ARC11N11424-445	T9 F52	Détail de terre rubéfiée	AL	non	dossier 11-10-11
ARC11N11424-446	T9 F52	Détail de terre rubéfiée	AL	non	dossier 11-10-11
ARC11N11424-447		Ambiance de travail	JGP	oui	dossier 12-10-11
ARC11N11424-448		Ambiance de travail	JGP	oui	dossier 12-10-11

Nom du fichier	N° structure	Description	Auteur	Publi-able	Emplacement
ARC11N11424-449	T9 F33	Rejets, vue verticale	AL	non	dossier 12-10-11
ARC11N11424-450	T9 F33	Rejets, vue oblique	AL	non	dossier 12-10-11
ARC11N11424-451	T9 F33	Rejets, vue oblique	AL	oui	dossier 12-10-11
ARC11N11424-452	T18 F48	Vue oblique la surface de décapage de la structure	BB	non	dossier 12-10-11
ARC11N11424-453	T18 F48	Vue oblique la surface de décapage de la structure	BB	non	dossier 12-10-11
ARC11N11424-454	T18 F48	Vue oblique la surface de décapage de la structure	BB	non	dossier 12-10-11
ARC11N11424-455	T18 F48	Coupe de la structure, vue oblique	BB	non	dossier 12-10-11
ARC11N11424-456	T18 F48	Coupe de la structure, vue oblique	BB	non	dossier 12-10-11
ARC11N11424-457	T18 F48	Coupe de la structure, vue oblique	BB	non	dossier 12-10-11
ARC11N11424-458	T18 St43, St44	Coupe de la structure, vue oblique	JGP	non	dossier 12-10-11
ARC11N11424-459	T18 St43, St44	Coupe de la structure, vue oblique	JGP	oui	dossier 12-10-11
ARC11N11424-460	T18 St43, St44	Coupe de la structure, vue oblique	JGP	non	dossier 12-10-11
ARC11N11424-461	T18 St43, St44	Coupe de la structure, vue oblique	JGP	non	dossier 12-10-11
ARC11N11424-462	T18 St43, St44	Coupe de la structure, vue oblique	JGP	oui	dossier 12-10-11
ARC11N11424-463	T18 St43, St44	Coupe de la structure, vue oblique	JGP	non	dossier 12-10-11
ARC11N11424-464	T18 St43, St44	Détail de la coupe de la structure, vue oblique	JGP	non	dossier 12-10-11
ARC11N11424-465	T18 St43, St44	Détail de la coupe de la structure, vue oblique	JGP	non	dossier 12-10-11
ARC11N11424-466		Paysage, matin aux Linandes	JGP	non	dossier 13-10-11
ARC11N11424-467		Paysage, matin aux Linandes	JGP	non	dossier 13-10-11
ARC11N11424-468	T2 Fo7	Coupe de la structure, vue oblique	BB	non	dossier 13-10-11
ARC11N11424-469	T2 Fo7	Coupe de la structure, vue oblique	BB	non	dossier 13-10-11
ARC11N11424-470	T5 Fo16-41	Détail, vue verticale	JGP	non	dossier 13-10-11
ARC11N11424-471	T5 Fo16-41	Détail, vue verticale	JGP	non	dossier 13-10-11
ARC11N11424-472	T5 Fo16-41	Détail, vue verticale	JGP	non	dossier 13-10-11
ARC11N11424-473	T5 Fo16-41	Vue oblique	JGP	oui	dossier 13-10-11
ARC11N11424-474	T5 Fo16-41	Vue oblique	JGP	oui	dossier 13-10-11
ARC11N11424-475	T5 Fo16-41	Vue oblique	JGP	oui	dossier 13-10-11
ARC11N11424-476	T5 Fo16-41	Vue oblique	JGP	oui	dossier 13-10-11
ARC11N11424-477	T5 Fo16-41	Détail, vue verticale	JGP	non	dossier 13-10-11
ARC11N11424-478	T5 Fo16-41	Détail, vue verticale	JGP	non	dossier 13-10-11
ARC11N11424-479	T5 Fo16-41	Détail, vue verticale	JGP	non	dossier 13-10-11
ARC11N11424-480	T5 Fo16-41	Détail, vue verticale	JGP	non	dossier 13-10-11
ARC11N11424-481	T5 Fo16-41	Détail, vue verticale	JGP	non	dossier 13-10-11
ARC11N11424-482	T5 Fo16-41	Détail, vue verticale	JGP	non	dossier 13-10-11
ARC11N11424-483	T5 Fo16-41	Détail, vue verticale	JGP	non	dossier 13-10-11
ARC11N11424-484	T6 Fo23	Vue oblique	BB	non	dossier 13-10-11
ARC11N11424-485	T6 Fo23	Vue oblique	BB	non	dossier 13-10-11
ARC11N11424-486	T6 Fo23	Coupe de la structure, vue oblique	BB	non	dossier 13-10-11
ARC11N11424-487	T6 Fo23	Coupe de la structure, vue oblique	BB	non	dossier 13-10-11
ARC11N11424-488	T6 Fo23	Coupe de la structure, vue oblique	BB	non	dossier 13-10-11
ARC11N11424-489		Ambiance, équipe	JGP	oui	dossier 14-10-11
ARC11N11424-490	T9 F33	Coupe de la structure, vue oblique, fouille partielle	JGP	non	dossier 14-10-11
ARC11N11424-491	T9 F33	Coupe de la structure, vue oblique, fouille partielle	JGP	non	dossier 14-10-11
ARC11N11424-492	T9 F33	Coupe de la structure, vue oblique, fouille partielle	JGP	non	dossier 14-10-11
ARC11N11424-493	T9 F33	Coupe de la structure, vue oblique, fouille partielle	JGP	non	dossier 14-10-11
ARC11N11424-494	T9 F33	Coupe de la structure, vue oblique, fouille partielle	JGP	non	dossier 14-10-11
ARC11N11424-495	T9 F33	Coupe de la structure, vue oblique, fouille partielle	JGP	oui	dossier 14-10-11
ARC11N11424-496	T9 F33	Coupe de la structure, vue oblique, fouille partielle	JGP	non	dossier 14-10-11
ARC11N11424-497	T9 F33	Coupe de la structure, vue oblique, fouille partielle	JGP	oui	dossier 14-10-11
ARC11N11424-498	T9 F33	Coupe de la structure, vue oblique, fouille partielle	JGP	non	dossier 14-10-11
ARC11N11424-499	T9	Zone T9 rebouchée	AL	non	dossier 14-10-11
ARC11N11424-500	T9	Zone T9 rebouchée	AL	non	dossier 14-10-11
ARC11N11424-501	T1 F47	Céramique, faisselle	CLC	oui	dossier 25-10-11\ Ceramproto
ARC11N11424-502	T1 F4	Céramique à cordon digité	CLC	oui	dossier 25-10-11\ Ceramproto
ARC11N11424-503	F34	Céramique peinte	CLC	oui	dossier 25-10-11\ Ceramproto
ARC11N11424-504	F34	Céramique	CLC	oui	dossier 25-10-11\ Ceramproto
ARC11N11424-505	F34	Céramique	CLC	oui	dossier 25-10-11\ Ceramproto
ARC11N11424-506	F34	Céramique peinte	CLC	oui	dossier 25-10-11\ Ceramproto
ARC11N11424-507	F34	Céramique peinte	CLC	oui	dossier 25-10-11\ Ceramproto

Nom du fichier	N° structure	Description	Auteur	Publi-able	Emplacement
ARC11N11424-508	F34	Fusaïole	CLC	oui	dossier 25-10-11\ Ceramproto
ARC11N11424-509	F34	Fusaïole	CLC	oui	dossier 25-10-11\ Ceramproto
ARC11N11424-510	F47	Céramique peinte	CLC	oui	dossier 25-10-11\ Ceramproto
ARC11N11424-511	F47	Céramique décorée	CLC	oui	dossier 25-10-11\ Ceramproto
ARC11N11424-512	F47	Céramique décorée	CLC	oui	dossier 25-10-11\ Ceramproto
ARC11N11424-513	Fo16-41	Montage de photos, vue verticale	JGP	oui	dossier 25-10-11\ MontageLinandes
ARC11N11424-514	Fo16-41A	Montage de photos, vue verticale	JGP	oui	dossier 25-10-11\ MontageLinandes
ARC11N11424-515	Fo16-41B	Montage de photos, vue verticale	JGP	oui	dossier 25-10-11\ MontageLinandes
ARC11N11424-516	St43, St44	Montage de photos, vue verticale	JGP	oui	dossier 25-10-11\ MontageLinandes
ARC11N11424-517	St43	Montage de photos, vue verticale	JGP	oui	dossier 25-10-11\ MontageLinandes
ARC11N11424-518	St43	Montage de photos, vue verticale	JGP	oui	dossier 25-10-11\ MontageLinandes
ARC11N11424-519	St43	Montage de photos, vue verticale	JGP	oui	dossier 25-10-11\ MontageLinandes
ARC11N11424-520	St44	Montage de photos, vue verticale	JGP	oui	dossier 25-10-11\ MontageLinandes
ARC11N11424-521	St44	Montage de photos, vue verticale	JGP	oui	dossier 25-10-11\ MontageLinandes
ARC11N11424-522		Vue aérienne	BP	oui	dossier 25-10-11\ Photo aérienne Bp des Linandes
ARC11N11424-523		Vue aérienne	BP	oui	dossier 25-10-11\ Photo aérienne Bp des Linandes
ARC11N11424-524		Vue aérienne	BP	oui	dossier 25-10-11\ Photo aérienne Bp des Linandes
ARC11N11424-525		Vue aérienne	BP	oui	dossier 25-10-11\ Photo aérienne Bp des Linandes
ARC11N11424-526		Vue aérienne	BP	oui	dossier 25-10-11\ Photo aérienne Bp des Linandes
ARC11N11424-527	T1 F4 Torchis	Torchis perforé (-117 -139 cm)	JGP	oui	dossier 27-10-11
ARC11N11424-528	T1 F4 Torchis	Torchis perforé (-117 -139 cm)	JGP	oui	dossier 27-10-11
ARC11N11424-529	T1 F4 Torchis	Torchis perforé (-117 -139 cm)	JGP	oui	dossier 27-10-11
ARC11N11424-530	T1 F47 Torchis	Torchis avec empreintes de clayonage (-60 -80 cm)	JGP	oui	dossier 27-10-11
ARC11N11424-531	T1 F47 Torchis	Torchis avec empreintes de clayonage (-60 -80 cm)	JGP	oui	dossier 27-10-11
ARC11N11424-532	T1 F47 Torchis	Torchis avec empreintes de clayonage (-60 -80 cm)	JGP	oui	dossier 27-10-11
ARC11N11424-533	T1 F47 Torchis	Torchis avec empreintes de clayonage (-60 -80 cm)	JGP	oui	dossier 27-10-11
ARC11N11424-534	T1 F47 Torchis	Torchis avec empreintes (80 -100 cm)	JGP	oui	dossier 27-10-11
ARC11N11424-535	T1 F47 Torchis	Torchis avec empreintes (80 -100 cm)	JGP	oui	dossier 27-10-11
ARC11N11424-536	T1 F47 Torchis	Torchis avec empreintes (80 -100 cm)	JGP	oui	dossier 27-10-11
ARC11N11424-537	T1 F47 Torchis	Torchis avec empreintes (80 -100 cm)	JGP	oui	dossier 27-10-11
ARC11N11424-538	T1 F47 Torchis	Torchis avec empreintes (80 -100 cm)	JGP	oui	dossier 27-10-11
ARC11N11424-539	T1 F47 Torchis	Torchis avec empreintes (80 -100 cm)	JGP	oui	dossier 27-10-11
ARC11N11424-540	T1 F47 Torchis	Bloc de torchis brûlé (-100 - 120 cm)	JGP	oui	dossier 27-10-11
ARC11N11424-541	T1 F47 Torchis	Bloc de torchis brûlé (-100 - 120 cm)	JGP	oui	dossier 27-10-11
ARC11N11424-542	T1 F47 Torchis	Bloc de torchis brûlé (-100 - 120 cm)	JGP	oui	dossier 27-10-11
ARC11N11424-543	T1 F47 TorchisB	Torchis avec empreintes de liens (-60 -80 cm)	JGP	oui	dossier 27-10-11
ARC11N11424-544	T1 F47 TorchisB	Torchis avec empreintes de liens (-60 -80 cm)	JGP	oui	dossier 27-10-11
ARC11N11424-545	T1 F47 TorchisB	Torchis avec empreintes de liens (-60 -80 cm)	JGP	oui	dossier 27-10-11
ARC11N11424-546	T1 F47 TorchisB	Torchis avec empreintes de liens (-60 -80 cm)	JGP	oui	dossier 27-10-11
ARC11N11424-547	T1 F47 TorchisB	Torchis avec empreintes de branches (-80 -100 cm)	JGP	oui	dossier 27-10-11
ARC11N11424-548	T1 F47 TorchisB	Torchis avec empreintes de branches (-80 -100 cm)	JGP	oui	dossier 27-10-11
ARC11N11424-549	T1 F47 TorchisB	Torchis avec empreintes de branches (-80 -100 cm)	JGP	oui	dossier 27-10-11
ARC11N11424-550	T9 F34 Torchis	Torchis d'angle (-40 -60 cm)	JGP	oui	dossier 27-10-11

Nom du fichier	N° structure	Description	Auteur	Publi-able	Emplacement
ARC11N11424-551	T9 F34 Torchis	Torchis d'angle (-40 -60 cm)	JGP	oui	dossier 27-10-11
ARC11N11424-552	T9 F34 Torchis	Torchis d'angle (-40 -60 cm)	JGP	oui	dossier 27-10-11
ARC11N11424-553	T9 F34 Torchis	Torchis fond plat (-80 -100 cm)	JGP	oui	dossier 27-10-11
ARC11N11424-554	T9 F34 Torchis	Torchis fond plat (-80 -100 cm)	JGP	oui	dossier 27-10-11
ARC11N11424-555	T6 St26	Monnaie	JGP	non	28-09-11\ Monnaie28-09-11
ARC11N11424-556	T6 St26	Monnaie	JGP	non	28-09-11\ Monnaie28-09-11
ARC11N11424-557	T6 St26	Monnaie	JGP	non	28-09-11\ Monnaie28-09-11
ARC11N11424-558	T6 St26	Monnaie	JGP	non	28-09-11\ Monnaie28-09-11
ARC11N11424-559	T6 St26	Monnaie	JGP	non	28-09-11\ Monnaie28-09-11
ARC11N11424-560	T6 St26	Monnaie	JGP	non	28-09-11\ Monnaie28-09-11
ARC11N11424-561	T6 St26	Monnaie	JGP	non	28-09-11\ Monnaie28-09-11
ARC11N11424-562	T6 St26	Monnaie	JGP	non	28-09-11\ Monnaie28-09-11
ARC11N11424-563	T6 St26	Monnaie	JGP	non	28-09-11\ Monnaie28-09-11
ARC11N11424-564	T6 St26	Monnaie	JGP	non	28-09-11\ Monnaie28-09-11
ARC11N11424-565	T6 St26	Description de la référence sur le contenant	JGP	non	28-09-11\ Monnaie28-09-11
ARC11N11424-566	T2 HC	Fragment de hâche polie	BB	oui	dossier 28-10-11
ARC11N11424-567	T5 F19	Fragment de céramique Sigillée avec estampille	AL	oui	dossier 28-10-11
ARC11N11424-568	T5 F19	Fragment de céramique Sigillée avec estampille	AL	oui	dossier 28-10-11
ARC11N11424-569	T5 F19	Fragment de céramique Sigillée avec estampille	AL	oui	dossier 28-10-11
ARC11N11424-570	T5 F19	Fragment de céramique Sigillée avec estampille	AL	oui	dossier 28-10-11
ARC11N11424-571	T5 F19	Fragment de céramique Sigillée avec estampille	AL	oui	dossier 28-10-11
ARC11N11424-572	T5 F19	Fragment de céramique Sigillée avec estampille	AL	oui	dossier 28-10-11
ARC11N11424-573	T5 F19	Fragment de céramique Sigillée avec estampille	AL	oui	dossier 28-10-11
ARC11N11424-574	T5 F19	Fragment de céramique Sigillée avec estampille	AL	oui	dossier 28-10-11
ARC11N11424-575	T5 F19	Fragment de céramique Sigillée avec estampille	AL	oui	dossier 28-10-11
ARC11N11424-576	T5 Fo16	Fragment de céramique antique	JGP	oui	dossier 28-10-11
ARC11N11424-577	T5 Fo16	Fragment de céramique antique	JGP	oui	dossier 28-10-11
ARC11N11424-578	T5 Fo16	Fragment de céramique antique	JGP	oui	dossier 28-10-11
ARC11N11424-579	T5 Fo16	Fragment de céramique antique	JGP	oui	dossier 28-10-11
ARC11N11424-580	T5 Fo16	Fragment de céramique antique	JGP	oui	dossier 28-10-11
ARC11N11424-581	T5 Fo16	Fragment de céramique antique	JGP	oui	dossier 28-10-11
ARC11N11424-582	T5 Fo16	Fragment de céramique antique	JGP	oui	dossier 28-10-11
ARC11N11424-583	T5 St18	Fragment de hâche polie	BB	oui	dossier 28-10-11
ARC11N11424-584	T6 F26	Fragment de céramique Sigillée avec estampille (-50 -60cm)	AL	oui	dossier 28-10-11
ARC11N11424-585	T6 F26	Fragment de céramique Sigillée avec estampille (-50 -60cm)	AL	oui	dossier 28-10-11
ARC11N11424-586	T6 F26	Fragment de céramique Sigillée avec estampille (-50 -60cm)	AL	oui	dossier 28-10-11
ARC11N11424-587	T6 F26	Fragment de céramique Sigillée avec estampille (-50 -60cm)	AL	oui	dossier 28-10-11
ARC11N11424-588	T6 F26	Fragment de céramique Sigillée avec estampille (-50 -60cm)	AL	oui	dossier 28-10-11
ARC11N11424-589	T6 F26	Fragment de céramique Sigillée avec estampille (-50 -60cm)	AL	oui	dossier 28-10-11
ARC11N11424-590	T6 F26	Fragment de céramique Sigillée avec estampille (-50 -60cm)	AL	oui	dossier 28-10-11
ARC11N11424-591	T6 F26	Fragment de céramique Sigillée avec estampille (-50 -60cm)	AL	oui	dossier 28-10-11
ARC11N11424-592	T6 F26	Fragment de céramique Sigillée (-40 -50 cm)	AL	oui	dossier 28-10-11
ARC11N11424-593	T6 F26	Fragment de céramique Sigillée (-40 -50 cm)	AL	oui	dossier 28-10-11
ARC11N11424-594	T6 F26	Fragment de céramique Sigillée (-40 -50 cm)	AL	oui	dossier 28-10-11
ARC11N11424-595	T6 F26	Fragment de céramique Sigillée (-40 -50 cm)	AL	oui	dossier 28-10-11
ARC11N11424-596	T6 F26	Fragment de céramique Sigillée (-40 -50 cm)	AL	oui	dossier 28-10-11
ARC11N11424-597	T1 F4	Fragment de meule (-117 -139 cm)	JGP	oui	dossier 07-11-11
ARC11N11424-598	T1 F4	Fragment de meule (-117 -139 cm)	JGP	oui	dossier 07-11-11

Nom du fichier	N° structure	Description	Auteur	Publi-able	Emplacement
ARC11N11424-599	T1 F4	Fragment de meule (-117 -139 cm)	JGP	oui	dossier 07-11-11
ARC11N11424-600	T1 F4	Fragment de meule (-117 -139 cm)	JGP	oui	dossier 07-11-11
ARC11N11424-601	T5 Fo16	Fragment de vertèbre avec trace de découpe	JGP	oui	dossier 07-11-11
ARC11N11424-602	T6 F26	Fragment de scorie	JGP	oui	dossier 07-11-11
ARC11N11424-603	T6 F26	Fragment de scorie	JGP	oui	dossier 07-11-11
ARC11N11424-604	T6 F26	Fragment de scorie avec traces (-20 -30 cm)	JGP	oui	dossier 07-11-11
ARC11N11424-605	T6 F26	Fragment de scorie avec traces (-20 -30 cm)	JGP	oui	dossier 07-11-11
ARC11N11424-606	T6 F26	Fragment de TCA (-20 -30 cm)	JGP	oui	dossier 07-11-11
ARC11N11424-607	T6 F26	Fragment de TCA (-20 -30 cm)	JGP	oui	dossier 07-11-11
ARC11N11424-608	T6 F26	Fragment de scorie (-30 -40 cm)	JGP	oui	dossier 07-11-11
ARC11N11424-609	T6 F26	Fragment de scorie (-30 -40 cm)	JGP	oui	dossier 07-11-11
ARC11N11424-610	T6 F26	Fragment de scorie (-30 -40 cm)	JGP	oui	dossier 07-11-11
ARC11N11424-611	T6 F26	Fragment de lingot (-40 -60 cm)	JGP	oui	dossier 07-11-11
ARC11N11424-612	T6 F26	Fragment de lingot (-40 -60 cm)	JGP	oui	dossier 07-11-11
ARC11N11424-613	T6 F26	Fragment de lingot (-40 -60 cm)	JGP	oui	dossier 07-11-11
ARC11N11424-614	T6 F26	Fragment de scorie avec empreinte négative (-40 -50 cm)	JGP	oui	dossier 07-11-11
ARC11N11424-615	T6 F26	Fragment de scorie avec empreinte négative (-40 -50 cm)	JGP	oui	dossier 07-11-11
ARC11N11424-616	T6 F26	Fragment de scorie avec empreinte	JGP	oui	dossier 07-11-11
ARC11N11424-617	T6 F26	Fragment de scorie avec empreinte	JGP	oui	dossier 07-11-11
ARC11N11424-618	T6 F26	Tas	JGP	oui	dossier 07-11-11
ARC11N11424-619	T6 Fo16, Fo41	Sous empierrement, meule	JGP	oui	dossier 07-11-11
ARC11N11424-620	T6 Fo16, Fo41	Sous empierrement, meule	JGP	oui	dossier 07-11-11
ARC11N11424-621	T6 Fo16, Fo41	Sous empierrement, meule	JGP	oui	dossier 07-11-11
ARC11N11424-622	T6 Fo16, Fo41	Sous empierrement, meule	JGP	oui	dossier 07-11-11
ARC11N11424-623	T9 F34	Corne (-40 -60 cm)	JGP	oui	dossier 07-11-11
ARC11N11424-624	T9 F34	Corne (-40 -60 cm)	JGP	oui	dossier 07-11-11
ARC11N11424-625	T9 F34	Corne (-40 -60 cm)	JGP	oui	dossier 07-11-11
ARC11N11424-626	T9 F34	Côte découpée (-60 -80 cm)	JGP	oui	dossier 07-11-11
ARC11N11424-627	T9 F34	Côte découpée (-60 -80 cm)	JGP	oui	dossier 07-11-11
ARC11N11424-628	T9 F34	Corne (-80 -100 cm)	JGP	oui	dossier 07-11-11
ARC11N11424-629	T9 F34	Corne (-80 -100 cm)	JGP	oui	dossier 07-11-11
ARC11N11424-630	T6 St26	Fibule (-40 -50 cm)	JGP	oui	dossier 24-11-11
ARC11N11424-631	T6 St26	Fibule (-40 -50 cm)	JGP	oui	dossier 24-11-11
ARC11N11424-632	T6 St26	Fibule (-40 -50 cm)	JGP	oui	dossier 24-11-11
ARC11N11424-633	T6 St26	Fibule (-40 -50 cm)	JGP	oui	dossier 24-11-11
ARC11N11424-634	T6 St26	Fibule (-40 -50 cm)	JGP	oui	dossier 24-11-11
ARC11N11424-635	T6 St26	Fibule (-40 -50 cm)	JGP	oui	dossier 24-11-11
ARC11N11424-636	T6 St26	Fibule (-40 -50 cm)	JGP	oui	dossier 24-11-11
ARC11N11424-637	T6 St26	Fibule (-40 -50 cm)	JGP	oui	dossier 24-11-11
ARC11N11424-638	T6 St26	Fibule (-40 -50 cm)	JGP	oui	dossier 24-11-11
ARC11N11424-639	T6 St26	Fibule (-40 -50 cm)	JGP	oui	dossier 24-11-11